

Datenmodell Geologie

Beschreibung und Objektkatalog, Version 3.5

2024-04-11

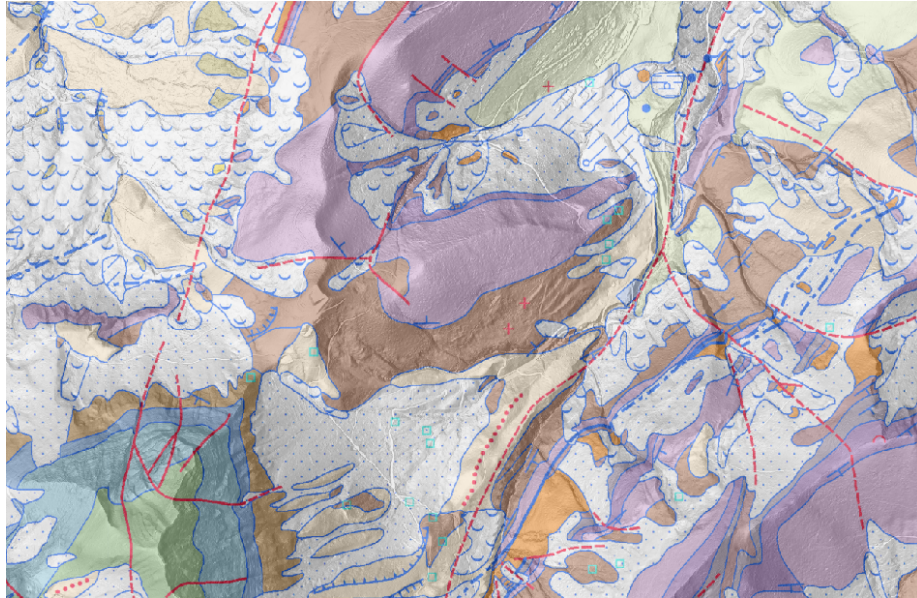


Figure 1: Extrait GeoCover vers le Moléson

Bundesamt für Landestopographie swisstopo

Theme ROCK_BODIES

Class Unconsolidated_Deposits_PT

Die Klasse Unconsolidated_Deposits_PT umfasst einzelne Gesteine (Korngrösse: Steine bis Blöcke), die durch gravitative, glaziale oder anthropogene Transportprozesse an ihren heutigen Ort gelangten, respektive sich an Ort und Stelle durch Verwitterung des umliegenden Gesteins gebildet haben.

| Name | Type | Description |
|------------|-------------------------|---|
| kind | subtype | Objektart |
| [1] | 14401 | |
| status | CD | Zustand der Objektart |
| [1] | GC_PNT_RUNC_STATUS_CD | |
| rock_type | CD | Gesteinstyp (Kristallingestein / Sedimentgestein) |
| [0..1] | GC_PNT_RUNC_ROCK_TYP_CD | |
| rock_spe | CD | Bezeichnung des Leitgesteins |
| [0..1] | GC_PNT_RUNC_ROCK_SPE_CD | |
| mat_type | | Materialbezeichnung (lithologische Einheit) |
| [0..1] | GC_LITHO_UNCO_CD | |
| orig_descr | string | Originalbezeichnung gemäss der Legende der zugrundeliegenden geologischen Karte |
| [0..1] | | |
| protected | boolean | Geschütztes geologisches Objekt |
| [0..1] | | |

kind *Objektart*

| GeolCode | Deutsch | Français |
|----------|--|--|
| 14401001 | Runc erratischer Block | Runc erratischer Block |
| 14401002 | Runc Schwarm erratischer Blöcke | Runc Schwarm erratischer Blöcke |
| 14401003 | Runc anthropogene Ansammlung von erratischen Blöcken | Runc anthropogene Ansammlung von erratischen Blöcken |
| 14401004 | Runc Wanderblock | Runc Wanderblock |
| 14401005 | Runc Geschiebe | Runc Geschiebe |
| 14401006 | Runc Sturzblock | Runc Sturzblock |

| GeolCode | Deutsch | Français |
|----------|---|---|
| 14401007 | Runc Lesesteinhaufen | Runc Lesesteinhaufen |
| 14401008 | Runc Verwitterungsrückstände (Gerölle und/oder Konkretionen) | Runc Verwitterungsrückstände (Gerölle und/oder Konkretionen) |

status Zustand der Objektart

| GeolCode | Deutsch | Français |
|----------|----------------|----------------|
| 14402003 | in Situ | in Situ |
| 14402004 | umgelagert | umgelagert |
| 14402001 | versetzt | versetzt |
| 14402002 | zerstört | zerstört |
| 999997 | Unknown | Unknown |
| 999998 | Not applicable | Not applicable |

rock_type Gesteinstyp (Kristallingestein / Sedimentgestein)

| GeolCode | Deutsch | Français |
|----------|---------------------------------------|---------------------------------------|
| 14403003 | Basisches / Ultrabasisches Gestein | Basisches / Ultrabasisches Gestein |
| 14403001 | Kristallingestein | Kristallingestein |
| 14403002 | Sedimentgestein | Sedimentgestein |
| 999997 | Unknown | Unknown |
| 999998 | Not applicable | Not applicable |

rock_spe Bezeichnung des Leitgesteins

| GeolCode | Deutsch | Français |
|----------|--------------------------|--------------------------|
| 14404008 | Aare-Granit | Aare-Granit |
| 14404017 | Albula-Granit | Albula-Granit |
| 14404002 | Allalin-Gabbro | Allalin-Gabbro |
| 14404024 | Alpines Sedimentgestein | Alpines Sedimentgestein |
| 14404020 | Degersheim-Kalknagelfluh | Degersheim-Kalknagelfluh |
| 14404009 | Gastern-Granit | Gastern-Granit |
| 14404012 | Glarner Verrucano | Glarner Verrucano |
| 14404007 | Grindelwald-Marmor | Grindelwald-Marmor |
| 14404026 | Gruontal-Konglomerat | Gruontal-Konglomerat |
| 14404010 | Habkern-Granit | Habkern-Granit |
| 14404006 | Hohgant-Sandstein | Hohgant-Sandstein |
| 14404014 | Ilanz-Verrucano | Ilanz-Verrucano |

| GeolCode | Deutsch | Français |
|----------|--|--|
| 14404013 | Kalknagelfluh des Speer- und Stockberggebietes | Kalknagelfluh des Speer- und Stockberggebietes |
| 14404023 | Karbon-Brekzie | Karbon-Brekzie |
| 14404015 | Mels-Sandstein | Mels-Sandstein |
| 14404025 | Molassegestein | Molassegestein |
| 14404003 | Mont-Blanc-Granit | Mont-Blanc-Granit |
| 14404022 | Muschelsandstein | Muschelsandstein |
| 14404005 | Niesen-Brekzie | Niesen-Brekzie |
| 14404018 | Punteglias-Granit | Punteglias-Granit |
| 14404019 | Rofna-Porphyr | Rofna-Porphyr |
| 14404004 | Serpentinit | Serpentinit |
| 14404016 | Taspinit-Brekzie | Taspinit-Brekzie |
| 14404021 | Taveyannaz-Sandstein | Taveyannaz-Sandstein |
| 14404001 | Vallorcine-Konglomerat | Vallorcine-Konglomerat |
| 14404011 | Windgällen-Porphyr | Windgällen-Porphyr |
| 999997 | Unknown | Unknown |
| 999998 | Not applicable | Not applicable |

mat_type *Materialbezeichnung (lithologische Einheit)*

orig_descr *Originalbezeichnung gemäss der Legende der zugrundeliegenden geologischen Karte*

protected *Geschütztes geologisches Objekt*

Class Unconsolidated_Deposits_PLG

Die Klasse Unconsolidated_Deposits_PLG beinhaltet alle flächenhaft ausgeschiedenen Lockergesteine. Die Angabe, ob eine Lockergesteinsmasse bewegt (durch Gravitation versetzt) wurde, geht aus der Klasse Instabilities_within_Unconsolidated_Deposits_PLG (Thema Geomorphology) hervor. Eine Ausnahme bilden Lockergesteinsmassen, welche unter dem Einfluss der Schwerkraft bewegt wurden und keine Angaben zum Ausgangsmaterial enthalten (Rutschmassen oder zerrüttete Gesteinsmassen «Sackungsmassen»). Solche Lockergesteine werden sowohl in der Klasse Unconsolidated_Deposits_PLG als auch in der Klasse Instabilities_within_Unconsolidated_Deposits_PLG erfasst. Zur näheren Erklärung der verschiedenen Objektarten sind im Anhang A einige Fallbeispiele abgebildet.

| Name | Type | Description |
|----------|---------------------|-------------|
| kind | subtype | Objektart |
| [1] | 14517 | |
| litstrat | CD | |
| [1] | GC_LITSTRAT_UNCO_CD | |
| litho | CD | |

| Name | Type | Description |
|----------------------|---|--|
| [1..3] chrono_t | GC_LITHO_CD CD | |
| [1] chrono_b | GC_CHRONO_CD CD | |
| [1] mat_type | GC_CHRONO_CD | |
| [0..3] buried_out | Lithostratigraphic_Units_Litho boolean | |
| [1] composit | table | |
| [0..3] admixture | gc_composit table | |
| [0..2] structur | gc_admixture CD | Textur des Lockergesteins |
| [0..1] charact | GC_UN_DEP_RUNC_STRUCTURE_CD table | Spezifische Eigenschaft |
| [0..3] morpholo | gc_charcat CD | Morphologie der Lockergesteinseinheit |
| [0..1] glac_type | GC_UN_DEP_RUNC_MORPHOLO_CD CD | Gletschertyp; Attribut nur für Moränen |
| [0..1] ref_year | GC_UN_DEP_RUNC_GLAC_TYP_CD string | Zeitpunkt oder Zeitperiode. Zum Beispiel «1940 1943, Periode der Drainage» (muss präzisiert werden) |
| [0..1] thin_cover | CD | Lockermaterialbedeckung, wenn vorhanden. |
| [0..1] orig_descr | GC_UN_DEP_RUNC_THIN_COV_CD | Originalbezeichnung gemäss der Legende der zugrundeliegenden geologischen Karte |
| [1] | string | |

kind *Objektart*

| GeolCode | Deutsch | Français |
|----------|--------------------|--------------------|
| 14517001 | Runc Lockergestein | Runc Lockergestein |

litstrat __

| GeolCode | Deutsch | Français |
|----------|---|---|
| 15201044 | 1. letzteiszeitlichs Vorstoss | 1. letzteiszeitlichs Vorstoss |
| 15201043 | 2. letzteiszeitlichs Vorstoss | 2. letzteiszeitlichs Vorstoss |
| 15201210 | Aabach-Schotter | Aabach-Schotter |
| 15201055 | Aarau-Schotter | Aarau-Schotter |
| 15201167 | Aarburg-Schotter | Aarburg-Schotter |
| 15201136 | Aare-Schotter | Aare-Schotter |
| 15201271 | Aatal-Seebodenlehm | Aatal-Seebodenlehm |
| 15201075 | Aathal-Schotter | Aathal-Schotter |
| 15201540 | Alluvion von Ransun | Alluvion von Ransun |
| 15201012 | Altberg-Till | Altberg-Till |
| 15201183 | Alte Doubsschotter | Alte Doubsschotter |
| 15201135 | Altenburg-Fulach-Terrasse | Altenburg-Fulach-Terrasse |
| 15201001 | Ältere Ablagerungen, undifferenziert | Ältere Ablagerungen, undifferenziert |
| 15201071 | Ältere Beckenfüllungen | Ältere Beckenfüllungen |
| 15201189 | Alterswil-Schotter | Alterswil-Schotter |
| 15201028 | Ämmert-Schotter | Ämmert-Schotter |
| 15201029 | Ämmert-Till | Ämmert-Till |
| 15201512 | Ämmet-Schotter | Ämmet-Schotter |
| 15201160 | Attiswil-Schotter | Attiswil-Schotter |
| 15201326 | Bachschutt der Gamsa | Bachschutt der Gamsa |
| 15201331 | Bachschutt der Gürbe | Bachschutt der Gürbe |
| 15201328 | Bachschutt der Lonza | Bachschutt der Lonza |
| 15201329 | Bachschutt der Saltina | Bachschutt der Saltina |
| 15201330 | Bachschutt der Vispa | Bachschutt der Vispa |
| 15201323 | Bachschutt des Baltschiederbachs | Bachschutt des Baltschiederbachs |
| 15201324 | Bachschutt des Bietschbachs | Bachschutt des Bietschbachs |
| 15201325 | Bachschutt des Chelchbachs | Bachschutt des Chelchbachs |
| 15201327 | Bachschutt des Jolibachs | Bachschutt des Jolibachs |
| 15201332 | Bachschutt des Lombachs | Bachschutt des Lombachs |
| 15201550 | Balm-Schotter | Balm-Schotter |
| 15201248 | Bänkel-Schotter | Bänkel-Schotter |
| 15201548 | Bannhalden-Schotter | Bannhalden-Schotter |
| 15201256 | Bannholz-Schotter | Bannholz-Schotter |
| 15201097 | Bärengaben-Schotter und -Till | Bärengaben-Schotter und -Till |
| 15201336 | Bärenholz-Till | Bärenholz-Till |
| 15201194 | Bennau-Schotter | Bennau-Schotter |
| 15201017 | Berg-Schotter | Berg-Schotter |
| 15201532 | Bergsturzablagerung von Bargis | Bergsturzablagerung von Bargis |

| GeolCode | Deutsch | Français |
|----------|---|---|
| 15201533 | Bergsturzablagerung von Fidaz | Bergsturzablagerung von Fidaz |
| 15201531 | Bergsturzablagerung von Ralligen (im Thunersee) | Bergsturzablagerung von Ralligen (im Thunersee) |
| 15201299 | Bergsturzablagerungen vom Chapf | Bergsturzablagerungen vom Chapf |
| 15201302 | Bergsturzablagerungen vom Delenwald | Bergsturzablagerungen vom Delenwald |
| 15201301 | Bergsturzablagerungen vom Drusetschawald | Bergsturzablagerungen vom Drusetschawald |
| 15201306 | Bergsturzablagerungen vom Kernwald | Bergsturzablagerungen vom Kernwald |
| 15201460 | Bergsturzablagerungen vom Stützwald | Bergsturzablagerungen vom Stützwald |
| 15201296 | Bergsturzablagerungen von Brienz | Bergsturzablagerungen von Brienz |
| 15201298 | Bergsturzablagerungen von Brüsis | Bergsturzablagerungen von Brüsis |
| 15201291 | Bergsturzablagerungen von Castasegna | Bergsturzablagerungen von Castasegna |
| 15201288 | Bergsturzablagerungen von Chessel-Noville | Bergsturzablagerungen von Chessel-Noville |
| 15201287 | Bergsturzablagerungen von Chiètres | Bergsturzablagerungen von Chiètres |
| 15201300 | Bergsturzablagerungen von Derborence | Bergsturzablagerungen von Derborence |
| 15201303 | Bergsturzablagerungen von Elm | Bergsturzablagerungen von Elm |
| 15201297 | Bergsturzablagerungen von Flims | Bergsturzablagerungen von Flims |
| 15201304 | Bergsturzablagerungen von Goldau | Bergsturzablagerungen von Goldau |
| 15201290 | Bergsturzablagerungen von Gwelber-Lau-Weid | Bergsturzablagerungen von Gwelber-Lau-Weid |
| 15201305 | Bergsturzablagerungen von Iragell | Bergsturzablagerungen von Iragell |
| 15201295 | Bergsturzablagerungen von Mutta | Bergsturzablagerungen von Mutta |
| 15201289 | Bergsturzablagerungen von Novalles-Vugelles | Bergsturzablagerungen von Novalles-Vugelles |
| 15201293 | Bergsturzablagerungen von Prapan | Bergsturzablagerungen von Prapan |
| 15201294 | Bergsturzablagerungen von Schaingels | Bergsturzablagerungen von Schaingels |
| 15201286 | Bergsturzablagerungen von Sierre | Bergsturzablagerungen von Sierre |
| 15201292 | Bergsturzablagerungen von Sogno | Bergsturzablagerungen von Sogno |

| GeolCode | Deutsch | Français |
|----------|---|---|
| 15201310 | Bergsturzablagerungen von Tamins | Bergsturzablagerungen von Tamins |
| 15201307 | Bergsturzablagerungen von Triesenberg | Bergsturzablagerungen von Triesenberg |
| 15201053 | Beringen-Eiszeit | Beringen-Eiszeit |
| 15201164 | Berken-Sand | Berken-Sand |
| 15201163 | Berken-Schotter | Berken-Schotter |
| 15201156 | Bersturzmasse von Selzach | Bersturzmasse von Selzach |
| 15201523 | Beuggen-Schotter | Beuggen-Schotter |
| 15201153 | Bick-Till | Bick-Till |
| 15201263 | Bire- Bergsturzablagerungen | Bire- Bergsturzablagerungen |
| 15201462 | Birkenhof-Formation | Birkenhof-Formation |
| 15201009 | Birmenstorf- Vergletscherung (2. LGM-Vorstoss) | Birmenstorf- Vergletscherung (2. LGM-Vorstoss) |
| 15201013 | Birmenstorf-Vorstoss | Birmenstorf-Vorstoss |
| 15201014 | Birr-Schotter | Birr-Schotter |
| 15201052 | Birrfeld- und Klettgau-Paläoböden | Birrfeld- und Klettgau-Paläoböden |
| 15201006 | Birrfeld-Eiszeit (Letzte Eiszeit) | Birrfeld-Eiszeit (Letzte Eiszeit) |
| 15201255 | Bohlingen-Schotter | Bohlingen-Schotter |
| 15201308 | Bonaduz-Formation | Bonaduz-Formation |
| 15201309 | Bonfol-Ton | Bonfol-Ton |
| 15201465 | Böschmatt-Schotter | Böschmatt-Schotter |
| 15201466 | Bramegg-Schotter | Bramegg-Schotter |
| 15201221 | Brandflue-Schotter | Brandflue-Schotter |
| 15201150 | Breite-Terrasse | Breite-Terrasse |
| 15201520 | Bruderhäusle-Schotter | Bruderhäusle-Schotter |
| 15201339 | Brüggstutz-Schotter | Brüggstutz-Schotter |
| 15201120 | Buechen-Formation | Buechen-Formation |
| 15201470 | Büel-Schotter | Büel-Schotter |
| 15201469 | Büelm-Schotter | Büelm-Schotter |
| 15201085 | Buerfeld-Schotter | Buerfeld-Schotter |
| 15201471 | Bünten-Schotter | Bünten-Schotter |
| 15201094 | Bünten-Till | Bünten-Till |
| 15201558 | Burgacher-Schotter | Burgacher-Schotter |
| 15201243 | Butteberg-Schotter | Butteberg-Schotter |
| 15201458 | Ceppo | Ceppo |
| 15201233 | Chälen-Schotter | Chälen-Schotter |
| 15201234 | Chälen-Till | Chälen-Till |
| 15201559 | Chatzenstig-Schotter | Chatzenstig-Schotter |
| 15201223 | Chatzenstrick-Schotter | Chatzenstrick-Schotter |
| 15201258 | Chilchstapfen-Schotter | Chilchstapfen-Schotter |
| 15201191 | Chisetel-Schotter | Chisetel-Schotter |
| 15201242 | Chräjeloch-Schotter | Chräjeloch-Schotter |

| GeolCode | Deutsch | Français |
|----------|-------------------------------------|-------------------------------------|
| 15201214 | Dagmersellen-Vorstoss | Dagmersellen-Vorstoss |
| 15201250 | Deckenschotter, undifferenziert | Deckenschotter, undifferenziert |
| 15201116 | Degermoos-Schotter | Degermoos-Schotter |
| 15201115 | Dürn-Formation | Dürn-Formation |
| 15201472 | Durnagel-Schotter | Durnagel-Schotter |
| 15201473 | Dürrenroth-Schotter | Dürrenroth-Schotter |
| 15201117 | Ebnet-Schotter | Ebnet-Schotter |
| 15201123 | Egg-Schotter | Egg-Schotter |
| 15201119 | Egghalden-Schotter | Egghalden-Schotter |
| 15201547 | Eggholz-Formation | Eggholz-Formation |
| 15201474 | Egghüsli-Schotter | Egghüsli-Schotter |
| 15201197 | Einsiedeln-Lehm | Einsiedeln-Lehm |
| 15201546 | Ellikerholz-Formation | Ellikerholz-Formation |
| 15201284 | Embrach- Seeablagerungen | Embrach- Seeablagerungen |
| 15201144 | Emme-Schotter | Emme-Schotter |
| 15201475 | Emmental-Schotter | Emmental-Schotter |
| 15201030 | Emmet-Vorstoss | Emmet-Vorstoss |
| 15201180 | Endingen-Schotter | Endingen-Schotter |
| 15201159 | Enge-Schotter | Enge-Schotter |
| 15201065 | Engiwald-Vorstoss | Engiwald-Vorstoss |
| 15201054 | Entfelden-Schotter | Entfelden-Schotter |
| 15201476 | Ergolztal-Schotter | Ergolztal-Schotter |
| 15201510 | Ermensee-Schotter | Ermensee-Schotter |
| 15201272 | Eschenbach-Formation | Eschenbach-Formation |
| 15201265 | Fankhusgrabe-Schotter | Fankhusgrabe-Schotter |
| 15201524 | Feldhof-Schotter | Feldhof-Schotter |
| 15201121 | Feusi-Schotter | Feusi-Schotter |
| 15201096 | Fisibach-Schotter | Fisibach-Schotter |
| 15201262 | Fisistock- Bergsturzablagerungen | Fisistock- Bergsturzablagerungen |
| 15201174 | Fislisbach-Schotter | Fislisbach-Schotter |
| 15201154 | Flüe-Till | Flüe-Till |
| 15201011 | Flüefeld-Schotter | Flüefeld-Schotter |
| 15201146 | Flumenthal-Lehm | Flumenthal-Lehm |
| 15201051 | Flurlingen-Quelltuff | Flurlingen-Quelltuff |
| 15201106 | Forenirchel-Schotter | Forenirchel-Schotter |
| 15201105 | Fornech-Schotter | Fornech-Schotter |
| 15201018 | Fornholz-Till | Fornholz-Till |
| 15201217 | Forst-Schotter | Forst-Schotter |
| 15201477 | Gammenthal-Schotter | Gammenthal-Schotter |
| 15201145 | Gäu-Schotter | Gäu-Schotter |
| 15201079 | Geisslingen-Schotter | Geisslingen-Schotter |
| 15201251 | Girenbad-Schotter | Girenbad-Schotter |
| 15201047 | Glazi-lakustrische Serie | Glazi-lakustrische Serie |
| 15201343 | Glütschtal-Formation | Glütschtal-Formation |
| 15201478 | Gondiswil-Formation | Gondiswil-Formation |

| GeolCode | Deutsch | Français |
|----------|---|---|
| 15201050 | Gondiswil-Interglazial (Letztes Integlazial) | Gondiswil-Interglazial (Letztes Integlazial) |
| 15201203 | Gontenschwil-Lehm | Gontenschwil-Lehm |
| 15201020 | Gontenschwil-Till | Gontenschwil-Till |
| 15201019 | Gontenschwil-Vorstoss | Gontenschwil-Vorstoss |
| 15201038 | Gossau-Interstadial | Gossau-Interstadial |
| 15201169 | Grandson-Formation | Grandson-Formation |
| 15201083 | Gränichen-Schotter | Gränichen-Schotter |
| 15201192 | Grauholz-Schotter | Grauholz-Schotter |
| 15201267 | Grundtal-Schotter | Grundtal-Schotter |
| 15201232 | Gubel-Schotter | Gubel-Schotter |
| 15201275 | Gublen-Schotter | Gublen-Schotter |
| 15201031 | Gündelmoos-Lehm | Gündelmoos-Lehm |
| 15201341 | Guntelsei-Schotter | Guntelsei-Schotter |
| 15201340 | Guntelsei-Till | Guntelsei-Till |
| 15201274 | Günterstall-Schotter | Günterstall-Schotter |
| 15201240 | Gutsch-Schotter | Gutsch-Schotter |
| 15201082 | Habsburg-Eiszeit | Habsburg-Eiszeit |
| 15201080 | Habsburg-Hagenholz- Interglazial | Habsburg-Hagenholz- Interglazial |
| 15201088 | Habsburg-Schotter | Habsburg-Schotter |
| 15201086 | Habsburg-Vergletscherung | Habsburg-Vergletscherung |
| 15201087 | Habsburg-Vorstoss | Habsburg-Vorstoss |
| 15201072 | Hagenholz-Eiszeit | Hagenholz-Eiszeit |
| 15201073 | Hagenholz- Vergletscherung | Hagenholz- Vergletscherung |
| 15201074 | Hagenholz-Vorstoss | Hagenholz-Vorstoss |
| 15201506 | Hagnau-Niveau | Hagnau-Niveau |
| 15201344 | Hahni-Schotter | Hahni-Schotter |
| 15201530 | Hahni-Till | Hahni-Till |
| 15201278 | Halden-Seeablagerungen | Halden-Seeablagerungen |
| 15201208 | Haselbach-Schotter | Haselbach-Schotter |
| 15201479 | Hasewald-Schotter | Hasewald-Schotter |
| 15201264 | Hasle-Schotter | Hasle-Schotter |
| 15201270 | Haslentobel-Schotter | Haslentobel-Schotter |
| 15201564 | Hasli-Formation | Hasli-Formation |
| 15201177 | Hausen-Lehm | Hausen-Lehm |
| 15201178 | Hausen-Moräne | Hausen-Moräne |
| 15201245 | Heitere-Schotter | Heitere-Schotter |
| 15201515 | Heubeerihübel-Schotter | Heubeerihübel-Schotter |
| 15201480 | Hirzmatt-Schotter | Hirzmatt-Schotter |
| 15201244 | Höchi-Schotter | Höchi-Schotter |
| 15201003 | Hochterrasse | Hochterrasse |
| 15201464 | Höhenschotter | Höhenschotter |
| 15201005 | Höhere Deckenschotter | Höhere Deckenschotter |
| 15201246 | Holziken-Schotter | Holziken-Schotter |
| 15201513 | Homberg-Till | Homberg-Till |

| GeolCode | Deutsch | Français |
|----------|--|--|
| 15201041 | Hombrechtikon- Vergletscherung (Frühletzteiszeitliche Vergl.) | Hombrechtikon- Vergletscherung (Frühletzteiszeitliche Vergl.) |
| 15201257 | Hungerbol-Schotter | Hungerbol-Schotter |
| 15201195 | Hütten-Schotter | Hütten-Schotter |
| 15201098 | Iberig-Schotterkomplex | Iberig-Schotterkomplex |
| 15201032 | Igliste-Schotter | Igliste-Schotter |
| 15201311 | Informell benannte Bergsturzablagerungen | Informell benannte Bergsturzablagerungen |
| 15201319 | Informell benannte fluviale Schotter | Informell benannte fluviale Schotter |
| 15201312 | Informell benannte künstliche Ablagerungen | Informell benannte künstliche Ablagerungen |
| 15201317 | Informell benannte Sackungsmassen | Informell benannte Sackungsmassen |
| 15201322 | Informell benannter Bachscht | Informell benannter Bachscht |
| 15201111 | Irchel-Dolomitschotter | Irchel-Dolomitschotter |
| 15201108 | Irchel-Schotterkomplex | Irchel-Schotterkomplex |
| 15201077 | Ittingen-Schotter | Ittingen-Schotter |
| 15201209 | Jonen-Schotter | Jonen-Schotter |
| 15201241 | Junkerenwald-Schotter | Junkerenwald-Schotter |
| 15201182 | Juraschotter | Juraschotter |
| 15201467 | Kaltenegg-Schotter | Kaltenegg-Schotter |
| 15201166 | Käppelhof-Schotter | Käppelhof-Schotter |
| 15201190 | Karlsruhe-Schotter | Karlsruhe-Schotter |
| 15201142 | Kiessande von Madretsch | Kiessande von Madretsch |
| 15201147 | Killwangen-Schaffhausen- Mellingen-Stadium | Killwangen-Schaffhausen- Mellingen-Stadium |
| 15201037 | Kirchleerau-Till | Kirchleerau-Till |
| 15201036 | Kirchleerau-Vorstoss | Kirchleerau-Vorstoss |
| 15201219 | Kleinhöchstetten-Kies- Sand-Komplex | Kleinhöchstetten-Kies- Sand-Komplex |
| 15201045 | Klettgau-Schotter | Klettgau-Schotter |
| 15201236 | Kollbrunn-Schotter | Kollbrunn-Schotter |
| 15201220 | Krauchthal-Schotter | Krauchthal-Schotter |
| 15201539 | Kunkels-Formation | Kunkels-Formation |
| 15201315 | Künstliche Ablagerungen der Gamsenried-Deponie | Künstliche Ablagerungen der Gamsenried-Deponie |
| 15201313 | Künstliche Ablagerungen des Bahnhofs Brig | Künstliche Ablagerungen des Bahnhofs Brig |
| 15201316 | Künstliche Ablagerungen des Riedertals | Künstliche Ablagerungen des Riedertals |
| 15201314 | Künstliche Ablagerungen Golar | Künstliche Ablagerungen Golar |
| 15201222 | Küsnacht-Schotter | Küsnacht-Schotter |
| 15201158 | La-Côte-Schotter | La-Côte-Schotter |

| GeolCode | Deutsch | Français |
|----------|--|--|
| 15201202 | La-Tuffière-Schotter | La-Tuffière-Schotter |
| 15201114 | Langacher-Schotter | Langacher-Schotter |
| 15201059 | Langwiesen- Vergletscherung | Langwiesen- Vergletscherung |
| 15201060 | Langwiesen-Vorstoss | Langwiesen-Vorstoss |
| 15201007 | Last Glacial Maximum (LGM), undiff. | Last Glacial Maximum (LGM), undiff. |
| 15201008 | LGM-Rückzug | LGM-Rückzug |
| 15201514 | Lindenberg-Till | Lindenberg-Till |
| 15201122 | Lindhau-Schotter | Lindhau-Schotter |
| 15201024 | Lindmühle- Vergletscherung (1. LGM-Vorstoss) | Lindmühle- Vergletscherung (1. LGM-Vorstoss) |
| 15201027 | Lindmühle-Vorstoss | Lindmühle-Vorstoss |
| 15201064 | Löhningen-Engiwald- Vergletscherung | Löhningen-Engiwald- Vergletscherung |
| 15201067 | Löhningen-Vorstoss | Löhningen-Vorstoss |
| 15201161 | Lommiswil-Schotter | Lommiswil-Schotter |
| 15201444 | Löss, undifferenziert | Löss, undifferenziert |
| 15201063 | Lupfig-Schotter | Lupfig-Schotter |
| 15201186 | Malmkalk-Schotter der Randen-Täler | Malmkalk-Schotter der Randen-Täler |
| 15201151 | Maximalstand (Kilwangen- Schaffhausen-Stadium) | Maximalstand (Kilwangen- Schaffhausen-Stadium) |
| 15201070 | Meikirch-Interglazial | Meikirch-Interglazial |
| 15201141 | Mély-Formation | Mély-Formation |
| 15201201 | Menzingen-Schotter | Menzingen-Schotter |
| 15201185 | Merenbach-Schotter | Merenbach-Schotter |
| 15201481 | Mettlen-Schotter | Mettlen-Schotter |
| 15201125 | Mischschotter | Mischschotter |
| 15201101 | Mittlere Iberigschotter | Mittlere Iberigschotter |
| 15201112 | Mittlere Irchelschotter | Mittlere Irchelschotter |
| 15201048 | Mittlere Klettgauschotter | Mittlere Klettgauschotter |
| 15201091 | Möhlín-Eiszeit (Grösste Eiszeit) | Möhlín-Eiszeit (Grösste Eiszeit) |
| 15201092 | Möhlín-Vergletscherung | Möhlín-Vergletscherung |
| 15201093 | Möhlín-Vorstoss | Möhlín-Vorstoss |
| 15201081 | Möhlín-erfeld-Paläoboden | Möhlín-erfeld-Paläoboden |
| 15201482 | Möhlín-erfeld-Schotter | Möhlín-erfeld-Schotter |
| 15201511 | Mooretal-Schotter | Mooretal-Schotter |
| 15201204 | Mooslerau-Lehm | Mooslerau-Lehm |
| 15201039 | Mülligen-Paläoboden | Mülligen-Paläoboden |
| 15201042 | Mülligen-Schotter | Mülligen-Schotter |
| 15201521 | Mumpf-Schotter | Mumpf-Schotter |
| 15201148 | Munot-Terrasse | Munot-Terrasse |
| 15201188 | Münsingen- Schotterkomplex | Münsingen- Schotterkomplex |
| 15201268 | Murg-Schieferkohle | Murg-Schieferkohle |

| GeolCode | Deutsch | Français |
|----------|---|---|
| 15201483 | Muttenfeld-Schotter | Muttenfeld-Schotter |
| 15201033 | Niderholz-Till | Niderholz-Till |
| 15201527 | Niderstalden-Schotter | Niderstalden-Schotter |
| 15201484 | Nidfurn-Schotter | Nidfurn-Schotter |
| 15201002 | Niederterrasse | Niederterrasse |
| 15201536 | Niederterrassenschotter, oberste Terrasse | Niederterrassenschotter, oberste Terrasse |
| 15201534 | Niederterrassenschotter, tiefere Niveaus | Niederterrassenschotter, tiefere Niveaus |
| 15201535 | Niederterrassenschotter, zweitoberste Terrasse | Niederterrassenschotter, zweitoberste Terrasse |
| 15201040 | Niederweningen- Formation | Niederweningen- Formation |
| 15201542 | Niklaushalden-Formation | Niklaushalden-Formation |
| 15201134 | Nohl-Terrasse | Nohl-Terrasse |
| 15201459 | Novazzano-Sand | Novazzano-Sand |
| 15201099 | Obere Iberigschotter | Obere Iberigschotter |
| 15201109 | Obere Irchelschotter | Obere Irchelschotter |
| 15201046 | Obere Klettgauschotter | Obere Klettgauschotter |
| 15201132 | Obere Singen-Terrasse | Obere Singen-Terrasse |
| 15201100 | Oberer Till | Oberer Till |
| 15201015 | Oberhard-Till | Oberhard-Till |
| 15201485 | Oberhöhe-Grundmoräne | Oberhöhe-Grundmoräne |
| 15201273 | Oberkirch-Seebodenlehm | Oberkirch-Seebodenlehm |
| 15201486 | Obermoos-Schotter | Obermoos-Schotter |
| 15201269 | Oberricken-Schotter | Oberricken-Schotter |
| 15201162 | Oensingen-Moos-Lehm | Oensingen-Moos-Lehm |
| 15201261 | Oeschinensee- Bergsturzlagerungen | Oeschinensee- Bergsturzlagerungen |
| 15201259 | Ofenloch-Karstfüllung | Ofenloch-Karstfüllung |
| 15201487 | Öflingen-Schotter | Öflingen-Schotter |
| 15201215 | Oftringen-Schotter | Oftringen-Schotter |
| 15201138 | Orvin-Schotter | Orvin-Schotter |
| 15201025 | Otelfingen-Vorstoss | Otelfingen-Vorstoss |
| 15201561 | Paradiesgärtli-Schotter | Paradiesgärtli-Schotter |
| 15201076 | Pfyn-Vorstoss | Pfyn-Vorstoss |
| 15201566 | Plaffeien-Seetone | Plaffeien-Seetone |
| 15201567 | Plasselb-Stauschotter | Plasselb-Stauschotter |
| 15201157 | Plateauschotter | Plateauschotter |
| 15201333 | Pliozäne Ablagerungen | Pliozäne Ablagerungen |
| 15201170 | Poissine-Formation | Poissine-Formation |
| 15201212 | Port-Stauschotter | Port-Stauschotter |
| 15201249 | Quartär, undifferenziert | Quartär, undifferenziert |
| 15201224 | Rabennest-Schotter | Rabennest-Schotter |
| 15201218 | Raintal-Deltaschotter | Raintal-Deltaschotter |
| 15201225 | Ratengütsch-Schotter | Ratengütsch-Schotter |
| 15201277 | Regelstein-Till | Regelstein-Till |
| 15201230 | Reidbach-Schotter | Reidbach-Schotter |

| GeolCode | Deutsch | Français |
|----------|--|--|
| 15201069 | Remigen-Schotter | Remigen-Schotter |
| 15201068 | Remigen-Vorstoss | Remigen-Vorstoss |
| 15201213 | Rempen-Stauschotter | Rempen-Stauschotter |
| 15201062 | Reuenthal-Vorstoss | Reuenthal-Vorstoss |
| 15201505 | Reuss-Schotterkomplex | Reuss-Schotterkomplex |
| 15201176 | Reusstal-Lehm | Reusstal-Lehm |
| 15201175 | Reusstal-Sand | Reusstal-Sand |
| 15201507 | Reusstal- Seebodensediment | Reusstal- Seebodensediment |
| 15201181 | Rhein- und Aareschotter | Rhein- und Aareschotter |
| 15201133 | Rheinau-Terrasse | Rheinau-Terrasse |
| 15201545 | Rheinau-Till | Rheinau-Till |
| 15201228 | Richterswil-Seeton | Richterswil-Seeton |
| 15201509 | Rickenbach-Schotter | Rickenbach-Schotter |
| 15201522 | Riedmatt-Schotter | Riedmatt-Schotter |
| 15201554 | Risibüel-Schotter | Risibüel-Schotter |
| 15201238 | Ritteren-Schotterkomplex | Ritteren-Schotterkomplex |
| 15201516 | Ritzhans-Schotter | Ritzhans-Schotter |
| 15201084 | Roggehuse-Schotter | Roggehuse-Schotter |
| 15201266 | Rossgaden-Schotter | Rossgaden-Schotter |
| 15201488 | Rottal-Schotter | Rottal-Schotter |
| 15201179 | Ruckfeld-Schotter | Ruckfeld-Schotter |
| 15201489 | Rüdelwald-Schotter | Rüdelwald-Schotter |
| 15201541 | Rüdlingen-Till | Rüdlingen-Till |
| 15201247 | Ruedertal-Schotter | Ruedertal-Schotter |
| 15201066 | Rüfenach-Vorstoss | Rüfenach-Vorstoss |
| 15201490 | Rufswil-Schotter | Rufswil-Schotter |
| 15201491 | Rütimatt-Schotter | Rütimatt-Schotter |
| 15201078 | Ryhirt-Formation | Ryhirt-Formation |
| 15201519 | Säckingen-Schotter | Säckingen-Schotter |
| 15201318 | Sackungsmasse des Heinzenbergs | Sackungsmasse des Heinzenbergs |
| 15201252 | Sagenbach-Schotter | Sagenbach-Schotter |
| 15201556 | Saxegrabe-Schotter | Saxegrabe-Schotter |
| 15201279 | Schafbüel-Formation | Schafbüel-Formation |
| 15201061 | Schaffhausen-Schotter | Schaffhausen-Schotter |
| 15201226 | Scherenspitz-Schotter | Scherenspitz-Schotter |
| 15201095 | Schleitheim-Vorstoss | Schleitheim-Vorstoss |
| 15201131 | Schlieren-Diessenhofen- Stetten-Stadien | Schlieren-Diessenhofen- Stetten-Stadien |
| 15201553 | Schlossbuck-Schotter | Schlossbuck-Schotter |
| 15201338 | Schlyffi-Till | Schlyffi-Till |
| 15201555 | Schmerlet- und Toktri-Formation, undifferenziert | Schmerlet- und Toktri-Formation, undifferenziert |
| 15201196 | Schnabelsberg- Stauchotter | Schnabelsberg- Stauchotter |
| 15201518 | Schöneegg-Formation | Schöneegg-Formation |

| GeolCode | Deutsch | Français |
|----------|--|--|
| 15201320 | Schotter und Sand der Rhône | Schotter und Sand der Rhône |
| 15201321 | Schotter und Sand der Vispa | Schotter und Sand der Vispa |
| 15201253 | Schrotzburg-Schotter | Schrotzburg-Schotter |
| 15201254 | Schrotzburg-Till | Schrotzburg-Till |
| 15201137 | Schüss-Schotter | Schüss-Schotter |
| 15201493 | Schwande-Seebodensedimente | Schwande-Seebodensedimente |
| 15201229 | Schwanden-Schotter | Schwanden-Schotter |
| 15201492 | Schwanderholzwald-Schotter | Schwanderholzwald-Schotter |
| 15201165 | Schwarzhäusern-Lehm | Schwarzhäusern-Lehm |
| 15201139 | Seeablagerungen von Frinvillier und Rondchâtel | Seeablagerungen von Frinvillier und Rondchâtel |
| 15201143 | Seeland-Schotter | Seeland-Schotter |
| 15201016 | Seon-Vorstoss | Seon-Vorstoss |
| 15201207 | Sihl-Schotter | Sihl-Schotter |
| 15201235 | Sihlsprung-Schotter | Sihlsprung-Schotter |
| 15201187 | Solothurn-Stadium | Solothurn-Stadium |
| 15201494 | Soppensee-Seebodensedimente | Soppensee-Seebodensedimente |
| 15201525 | Spärgacher-Schotter | Spärgacher-Schotter |
| 15201495 | Speicherboden-Lokalmoräne | Speicherboden-Lokalmoräne |
| 15201529 | Spiez-Schotter | Spiez-Schotter |
| 15201543 | Stadel-Till | Stadel-Till |
| 15201022 | Staffelbach-Schotter | Staffelbach-Schotter |
| 15201023 | Staffelbach-Till | Staffelbach-Till |
| 15201021 | Staffelbach-Vorstoss | Staffelbach-Vorstoss |
| 15201211 | Starrberg-Schotter | Starrberg-Schotter |
| 15201140 | Stauschotter von Diessbach | Stauschotter von Diessbach |
| 15201342 | Steghalden-Schotter | Steghalden-Schotter |
| 15201107 | Steig-Schotter | Steig-Schotter |
| 15201468 | Steinhuserberg-Schotter | Steinhuserberg-Schotter |
| 15201565 | Stetten-Schotter | Stetten-Schotter |
| 15201334 | Stockesee-Sediment | Stockesee-Sediment |
| 15201149 | Stokar-Terrasse | Stokar-Terrasse |
| 15201335 | Strätligen-Till | Strätligen-Till |
| 15201058 | Stüsslingen-Schotter | Stüsslingen-Schotter |
| 15201552 | Südranden-Till | Südranden-Till |
| 15201056 | Suhr-Schotter | Suhr-Schotter |
| 15201124 | Sundgau-Schotter | Sundgau-Schotter |
| 15201171 | Surbtal-Lehm | Surbtal-Lehm |
| 15201173 | Surbtal-Schotter | Surbtal-Schotter |
| 15201172 | Surbtal-Till | Surbtal-Till |
| 15201026 | Tägerhard-Schotter | Tägerhard-Schotter |

| GeolCode | Deutsch | Français |
|----------|--|--|
| 15201496 | terrasse lémanique de 10 m | terrasse lémanique de 10 m |
| 15201497 | terrasse lémanique de 3 m | terrasse lémanique de 3 m |
| 15201090 | Thalgut-Interglazial | Thalgut-Interglazial |
| 15201282 | Tiefenwinkel-Seebodensedimente | Tiefenwinkel-Seebodensedimente |
| 15201004 | Tiefere Deckenschotter | Tiefere Deckenschotter |
| 15201538 | Tiefere Deckenschotter, oberes Niveau | Tiefere Deckenschotter, oberes Niveau |
| 15201537 | Tiefere Deckenschotter, unteres Niveau | Tiefere Deckenschotter, unteres Niveau |
| 15201193 | Trachslau-Schotter | Trachslau-Schotter |
| 15201206 | Triengen-Lehm | Triengen-Lehm |
| 15201205 | Triengen-Schotter | Triengen-Schotter |
| 15201562 | Tubeschwanz-Schotter | Tubeschwanz-Schotter |
| 15201168 | Tuileries-Formation | Tuileries-Formation |
| 15201276 | Unter-Buechwald-Schotter | Unter-Buechwald-Schotter |
| 15201517 | Unterdorf-Schotter | Unterdorf-Schotter |
| 15201102 | Untere Iberigschotter | Untere Iberigschotter |
| 15201113 | Untere Irchelschotter | Untere Irchelschotter |
| 15201049 | Untere Klettgauschotter | Untere Klettgauschotter |
| 15201130 | Untere Singen-Terrasse | Untere Singen-Terrasse |
| 15201498 | Untere Zeller Schotter | Untere Zeller Schotter |
| 15201103 | Unterer Till | Unterer Till |
| 15201280 | Unteres-Huttenbüel-Schotter | Unteres-Huttenbüel-Schotter |
| 15201499 | Untergrabehüsli-Schotter | Untergrabehüsli-Schotter |
| 15201089 | Unterschlatt-Vorstoss | Unterschlatt-Vorstoss |
| 15201500 | Untertreie-Schotter | Untertreie-Schotter |
| 15201283 | Uznach-Schieferkohle | Uznach-Schieferkohle |
| 15201057 | Veltheim-Schotter | Veltheim-Schotter |
| 15201544 | Volken-Lehm | Volken-Lehm |
| 15201239 | Vorholz-Schotter | Vorholz-Schotter |
| 15201526 | Wagenmoos-Till | Wagenmoos-Till |
| 15201237 | Walenberg-Schotter | Walenberg-Schotter |
| 15201501 | Wallbach-Schotter | Wallbach-Schotter |
| 15201227 | Walsenhaus-Schotter | Walsenhaus-Schotter |
| 15201118 | Wannen-Schotter | Wannen-Schotter |
| 15201337 | Wässerifluh-Formation | Wässerifluh-Formation |
| 15201560 | Wasterkingen-Schotter | Wasterkingen-Schotter |
| 15201152 | Wehntal-Schotter | Wehntal-Schotter |
| 15201549 | Weiach-Schotter | Weiach-Schotter |
| 15201126 | Weisse Serie | Weisse Serie |
| 15201563 | Weisweil-Schotter | Weisweil-Schotter |
| 15201502 | Werthenstein-Schotter | Werthenstein-Schotter |
| 15201155 | Wettingen-Schotter | Wettingen-Schotter |
| 15201010 | Wettingen-Vorstoss | Wettingen-Vorstoss |
| 15201200 | Wiggen-Schotter | Wiggen-Schotter |

| GeolCode | Deutsch | Français |
|----------|-------------------------------------|-------------------------------------|
| 15201503 | Willburg-Formation | Willburg-Formation |
| 15201198 | Willisau-Schotter | Willisau-Schotter |
| 15201504 | Wilzigen- Seebodensedimente | Wilzigen- Seebodensedimente |
| 15201281 | Winden-Schieferkohle | Winden-Schieferkohle |
| 15201551 | Windlach-Till | Windlach-Till |
| 15201104 | Wolfacher-Schotter und -Till | Wolfacher-Schotter und -Till |
| 15201199 | Wolhusen-Schotter | Wolhusen-Schotter |
| 15201260 | Wurmsbach- Deltaablagerungen | Wurmsbach- Deltaablagerungen |
| 15201184 | Wutach-Schotter | Wutach-Schotter |
| 15201508 | Wyna-Schotter | Wyna-Schotter |
| 15201463 | Zeiningen-Till | Zeiningen-Till |
| 15201216 | Zelg-Schotter | Zelg-Schotter |
| 15201231 | Zell-Schotterkomplex | Zell-Schotterkomplex |
| 15201035 | Zetzwil-Till | Zetzwil-Till |
| 15201034 | Zetzwil-Vorstoss | Zetzwil-Vorstoss |
| 15201528 | Zulgtal-Schotter | Zulgtal-Schotter |
| 15201129 | Zürich-Stein-Bremgarten- Stadien | Zürich-Stein-Bremgarten- Stadien |
| 15201557 | Zweidlen-Schotter | Zweidlen-Schotter |
| 999997 | Unknown | Unknown |
| 999998 | Not applicable | Not applicable |

litho __

| GeolCode | Deutsch | Français |
|----------|---|---|
| 15104015 | (Meso)Kataklasit | (Meso)Kataklasit |
| 15104044 | Adergneis | Adergneis |
| 15104046 | agmatischer Gneis | agmatischer Gneis |
| 15104087 | Albitit | Albitit |
| 15103040 | Alkalirhyolith | Alkalirhyolith |
| 15103013 | Alkalisyenit | Alkalisyenit |
| 15103046 | Alkalitrachyt | Alkalitrachyt |
| 15103006 | Alkalogranit | Alkalogranit |
| 15101039 | Alluvion, undifferenziert | Alluvion, undifferenziert |
| 15104060 | Amphibolit | Amphibolit |
| 15104063 | Amphibolitgneis | Amphibolitgneis |
| 15104074 | Anatexit, undifferenziert | Anatexit, undifferenziert |
| 15103045 | Andesit | Andesit |
| 15102071 | Anhydrit | Anhydrit |
| 15102059 | Anthrazit | Anthrazit |
| 15101067 | anthropogene Elemente, undifferenziert | anthropogene Elemente, undifferenziert |
| 15101062 | äolischer Sand, Flugsand | äolischer Sand, Flugsand |

| GeolCode | Deutsch | Français |
|----------|--|--|
| 15101061 | äolisches Sediment, undifferenziert | äolisches Sediment, undifferenziert |
| 15103030 | Aplit | Aplit |
| 15102044 | Aptychenkalk | Aptychenkalk |
| 15102038 | Arenit | Arenit |
| 15102016 | Arkose | Arkose |
| 15103058 | Aschentuff | Aschentuff |
| 15101071 | Auffüllung | Auffüllung |
| 15101070 | Aufschüttung, Damm | Aufschüttung, Damm |
| 15104042 | Augengneis | Augengneis |
| 15101041 | Bachschutt | Bachschutt |
| 15104061 | Bänderamphibolit | Bänderamphibolit |
| 15104043 | Bändergneis | Bändergneis |
| 15103048 | Basalt | Basalt |
| 15103068 | basisches Ganggestein | basisches Ganggestein |
| 15103069 | Basisches Gestein | Basisches Gestein |
| 15103066 | Bentonit | Bentonit |
| 15101006 | Bergsturzablagerung | Bergsturzablagerung |
| 15102045 | biogener Kalkstein, undifferenziert | biogener Kalkstein, undifferenziert |
| 15102032 | biogenes / biochemisches / organisches Sedimentgestein, undifferenziert | biogenes / biochemisches / organisches Sedimentgestein, undifferenziert |
| 15102106 | bioklastischer Kalk | bioklastischer Kalk |
| 15104085 | Biotitit | Biotitit |
| 15101015 | Blockgletscher | Blockgletscher |
| 15101010 | Blockschutt | Blockschutt |
| 15102082 | Bohnerz | Bohnerz |
| 15102087 | Boluston | Boluston |
| 15102006 | Brekzie | Brekzie |
| 15102093 | Caliche | Caliche |
| 15102068 | chemisches Sedimentgestein, undifferenziert | chemisches Sedimentgestein, undifferenziert |
| 15104089 | Chloritit | Chloritit |
| 15104034 | Chloritschiefer | Chloritschiefer |
| 15103043 | Dazit | Dazit |
| 15101072 | Deponie | Deponie |
| 15101049 | detritische Verlandungsbildung | detritische Verlandungsbildung |
| 15102046 | detritischer Kalk | detritischer Kalk |
| 15104079 | Diatexit mit nebulitischer Textur | Diatexit mit nebulitischer Textur |
| 15104080 | Diatexit mit Schlierentextur | Diatexit mit Schlierentextur |
| 15104081 | Diatexit mit Schollentextur | Diatexit mit Schollentextur |
| 15103011 | Diorit | Diorit |

| GeolCode | Deutsch | Français |
|----------|--|--|
| 15103035 | Dolerit | Dolerit |
| 15102049 | Dolomit | Dolomit |
| 15102109 | Dolomitbrekzie | Dolomitbrekzie |
| 15104216 | dolomitischer Marmor | dolomitischer Marmor |
| 15102012 | Dolomitsandstein | Dolomitsandstein |
| 15101075 | dünne Lockermaterialbedeckung | dünne Lockermaterialbedeckung |
| 15102100 | Echinodermenkalk | Echinodermenkalk |
| 15102061 | Eisenoolith | Eisenoolith |
| 15102103 | Eisensandstein | Eisensandstein |
| 15102108 | eisenschüssiger Kalk | eisenschüssiger Kalk |
| 15104064 | Eklogit | Eklogit |
| 15101086 | Entwässerungssediment | Entwässerungssediment |
| 15103039 | Ergussgestein, undifferenziert | Ergussgestein, undifferenziert |
| 15103023 | Essexit | Essexit |
| 15102070 | Evaporit, undifferenziert | Evaporit, undifferenziert |
| 15103037 | Extrusivgestein, undifferenziert | Extrusivgestein, undifferenziert |
| 15104053 | Fels, undifferenziert | Fels, undifferenziert |
| 15101007 | Felssturzablagerung | Felssturzablagerung |
| 15101040 | fluviatiler Schotter | fluviatiler Schotter |
| 15101026 | fluviatiles Sediment, undifferenziert | fluviatiles Sediment, undifferenziert |
| 15102017 | Flyschsandstein, Grauwacke | Flyschsandstein, Grauwacke |
| 15103015 | Gabbro | Gabbro |
| 15103026 | Ganggestein, undifferenziert | Ganggestein, undifferenziert |
| 15101035 | gemischter Schutt | gemischter Schutt |
| 15101076 | geringmächtige Lockergesteinsbedeckung | geringmächtige Lockergesteinsbedeckung |
| 15104210 | Geröll führender Metasandstein | Geröll führender Metasandstein |
| 15102018 | Geröll führender Sandstein | Geröll führender Sandstein |
| 15104027 | Gestein der Regional- und Kontaktmetamorphose, undifferenziert | Gestein der Regional- und Kontaktmetamorphose, undifferenziert |
| 15104002 | Gestein der Störungszone | Gestein der Störungszone |
| 15104003 | Gestein der Störungszone, undifferenziert | Gestein der Störungszone, undifferenziert |
| 15104006 | Gesteinsmehl | Gesteinsmehl |
| 15102072 | Gips | Gips |
| 15102101 | glaukonitischer Kalkstein | glaukonitischer Kalkstein |
| 15102104 | glaukonitischer Mergel | glaukonitischer Mergel |
| 15102020 | Glaukonitsandstein | Glaukonitsandstein |
| 15104036 | Glaukophanschiefer | Glaukophanschiefer |
| 15101031 | glazifluviatiler Schotter | glazifluviatiler Schotter |

| GeolCode | Deutsch | Français |
|----------|---|---|
| 15101028 | glazifluviatiles Sediment, undifferenziert | glazifluviatiles Sediment, undifferenziert |
| 15101019 | glazigenes Sediment, undifferenziert | glazigenes Sediment, undifferenziert |
| 15101047 | glazilakustrisches Deltasediment | glazilakustrisches Deltasediment |
| 15101046 | glazilakustrisches Sediment, undifferenziert | glazilakustrisches Sediment, undifferenziert |
| 15102019 | Glimmersandstein | Glimmersandstein |
| 15104035 | Glimmerschiefer | Glimmerschiefer |
| 15104072 | Gneis mit Feldspatblasten | Gneis mit Feldspatblasten |
| 15104041 | Gneis, undifferenziert | Gneis, undifferenziert |
| 15104097 | Granat-Glimmerschiefer | Granat-Glimmerschiefer |
| 15103007 | Granit | Granit |
| 15103008 | Granodiorit | Granodiorit |
| 15103024 | Granophyr | Granophyr |
| 15104058 | Granulit | Granulit |
| 15101003 | gravitative Sedimente und Verwitterungsbildungen, undifferenziert | gravitative Sedimente und Verwitterungsbildungen, undifferenziert |
| 15104071 | Greisen | Greisen |
| 15104098 | Grünschiefer | Grünschiefer |
| 15101079 | Gyttja | Gyttja |
| 15101073 | Halde | Halde |
| 15101014 | Hanglehm, Schwemmlehm | Hanglehm, Schwemmlehm |
| 15101009 | Hangschutt | Hangschutt |
| 15104086 | Hornblendit | Hornblendit |
| 15104067 | Hornfels | Hornfels |
| 15102054 | Hornstein, Chert | Hornstein, Chert |
| 15102088 | Huppererde | Huppererde |
| 15101081 | hydrochemische Bildungen (Kalksinter) | hydrochemische Bildungen (Kalksinter) |
| 15103054 | Ignimbrit | Ignimbrit |
| 15101083 | In-situ-Verwitterungsschutt | In-situ-Verwitterungsschutt |
| 15103003 | Intrusivgestein, undifferenziert | Intrusivgestein, undifferenziert |
| 15104005 | Kakirit, undifferenziert | Kakirit, undifferenziert |
| 15102041 | Kalkbrekzie | Kalkbrekzie |
| 15102029 | Kalkmergelstein | Kalkmergelstein |
| 15102042 | Kalkoolith | Kalkoolith |
| 15102011 | Kalksandstein | Kalksandstein |
| 15104037 | Kalkschiefer | Kalkschiefer |
| 15104054 | Kalksilikatfels | Kalksilikatfels |
| 15102034 | Kalkstein, undifferenziert | Kalkstein, undifferenziert |
| 15104056 | Karbonat- und Silikat führendes Gestein | Karbonat- und Silikat führendes Gestein |
| 15102075 | Karbonat, undifferenziert | Karbonat, undifferenziert |

| GeolCode | Deutsch | Français |
|----------|--|--|
| 15103051 | Karbonatit | Karbonatit |
| 15104010 | Kataklasit, undifferenziert | Kataklasit, undifferenziert |
| 15102013 | kieseliger Sandstein | kieseliger Sandstein |
| 15102051 | kieseliges Gestein, undifferenziert | kieseliges Gestein, undifferenziert |
| 15102035 | Kieselkalk | Kieselkalk |
| 15104051 | Kinzigit | Kinzigit |
| 15102003 | klastisches Sedimentgestein, undifferenziert | klastisches Sedimentgestein, undifferenziert |
| 15104007 | Kluftletten | Kluftletten |
| 15102056 | Kohle, undifferenziert | Kohle, undifferenziert |
| 15102007 | Konglomerat | Konglomerat |
| 15102005 | Konglomerat und Brekzie, undifferenziert (Psephit, Korngrösse: Kies, Steine und Blöcke) | Konglomerat und Brekzie, undifferenziert (Psephit, Korngrösse: Kies, Steine und Blöcke) |
| 15102105 | kreidiger Kalk | kreidiger Kalk |
| 15103057 | Kristalltuff | Kristalltuff |
| 15102094 | Krustenkalk | Krustenkalk |
| 15101069 | künstliche Ablagerung, undifferenziert | künstliche Ablagerung, undifferenziert |
| 15101057 | lakustrisches Deltasediment | lakustrisches Deltasediment |
| 15101044 | lakustrisches Sediment, undifferenziert | lakustrisches Sediment, undifferenziert |
| 15103033 | Lamprophyr | Lamprophyr |
| 15103056 | Lapillituff | Lapillituff |
| 15101008 | Lawinenschutt | Lawinenschutt |
| 15104047 | Leptinit | Leptinit |
| 15102057 | Lignit (organisches Sedimentgestein) | Lignit (organisches Sedimentgestein) |
| 15101054 | Lignit (palustrisches Sediment) | Lignit (palustrisches Sediment) |
| 15102102 | Lithothamniensandstein | Lithothamniensandstein |
| 15101001 | Lockergestein | Lockergestein |
| 15101063 | Löss, Lösslehm | Löss, Lösslehm |
| 15103001 | Magmatit | Magmatit |
| 15104055 | Marmor (Fels) | Marmor (Fels) |
| 15104215 | Marmor (sedimentärer Protolith) | Marmor (sedimentärer Protolith) |
| 15102014 | mergeliger Sandstein | mergeliger Sandstein |
| 15102107 | Mergelkalk | Mergelkalk |
| 15102027 | Mergelstein | Mergelstein |
| 15104433 | Metaalkalirhyolith | Metaalkalirhyolith |
| 15104411 | Metaalkalisyenit | Metaalkalisyenit |
| 15104439 | Metaalkalitrachyt | Metaalkalitrachyt |
| 15104404 | Metaalkalogranit | Metaalkalogranit |

| GeolCode | Deutsch | Français |
|----------|--|--|
| 15104438 | Metaandesit | Metaandesit |
| 15104427 | Metaaplit | Metaaplit |
| 15104208 | Metaarkose | Metaarkose |
| 15104441 | Metabasalt | Metabasalt |
| 15104203 | Metabrekzie | Metabrekzie |
| 15104436 | Metadazit | Metadazit |
| 15104409 | Metadiorit | Metadiorit |
| 15104432 | Metadolerit | Metadolerit |
| 15104421 | Metaessexit | Metaessexit |
| 15104413 | Metagabbro | Metagabbro |
| 15104423 | Metaganggestein | Metaganggestein |
| 15104405 | Metagranit | Metagranit |
| 15104406 | Metagranodiorit | Metagranodiorit |
| 15104422 | Metagranophyr | Metagranophyr |
| 15104209 | Metagrauwacke | Metagrauwacke |
| 15104445 | Metaignimbrit | Metaignimbrit |
| 15104218 | Metakarbonat | Metakarbonat |
| 15104204 | Metakonglomerat | Metakonglomerat |
| 15104430 | Metalamprophyr | Metalamprophyr |
| 15104401 | Metamagmatit | Metamagmatit |
| 15104214 | Metamergel | Metamergel |
| 15104428 | Metamikrodiorit | Metamikrodiorit |
| 15104429 | Metamikrogabbro | Metamikrogabbro |
| 15104424 | Metamikrogranit | Metamikrogranit |
| 15104415 | Metamonzodiorit | Metamonzodiorit |
| 15104416 | Metamonzogabbro | Metamonzogabbro |
| 15104417 | Metamonzonit | Metamonzonit |
| 15104402 | metamorph überprägtes Intrusivgestein | metamorph überprägtes Intrusivgestein |
| 15104444 | metamorph überprägtes pyroklastisches Gestein | metamorph überprägtes pyroklastisches Gestein |
| 15104001 | Metamorphit | Metamorphit |
| 15104095 | Metamorphit (magmatischer Protolith erkennbar) | Metamorphit (magmatischer Protolith erkennbar) |
| 15104092 | Metamorphit (Protolith erkennbar) | Metamorphit (Protolith erkennbar) |
| 15104093 | Metamorphit (sedimentärer Protolith erkennbar) | Metamorphit (sedimentärer Protolith erkennbar) |
| 15104414 | Metanorit | Metanorit |
| 15104426 | Metapegmatit | Metapegmatit |
| 15104211 | Metapelit | Metapelit |
| 15104419 | Metaperidotit | Metaperidotit |
| 15104443 | Metaphonolit | Metaphonolit |
| 15104431 | Metapikrit | Metapikrit |
| 15104403 | Metaplutonit | Metaplutonit |
| 15104207 | Metapsammit | Metapsammit |

| GeolCode | Deutsch | Français |
|----------|--|--|
| 15104202 | Metapsephit | Metapsephit |
| 15104418 | Metapyroxenit | Metapyroxenit |
| 15104437 | Metaquarzandesit | Metaquarzandesit |
| 15104407 | Metaquarzdiorit | Metaquarzdiorit |
| 15104412 | Metaquarzgabbro | Metaquarzgabbro |
| 15104217 | Metaradiolarit | Metaradiolarit |
| 15104435 | Metarhyodazit | Metarhyodazit |
| 15104434 | Metarhyolith | Metarhyolith |
| 15104205 | Metasandstein | Metasandstein |
| 15104201 | Metasediment | Metasediment |
| 15104212 | Metasiltstein | Metasiltstein |
| 15104069 | Metasomatit, undifferenziert | Metasomatit, undifferenziert |
| 15104410 | Metasyenit | Metasyenit |
| 15104076 | Metatexit mit Fleckentextur | Metatexit mit Fleckentextur |
| 15104078 | Metatexit mit Netztextur | Metatexit mit Netztextur |
| 15104077 | Metatexit mit stromatitischer Textur | Metatexit mit stromatitischer Textur |
| 15104408 | Metatonalit | Metatonalit |
| 15104440 | Metatrachyt | Metatrachyt |
| 15104446 | Metavulkanit | Metavulkanit |
| 15104075 | Migmatit | Migmatit |
| 15102037 | Mikrit | Mikrit |
| 15103031 | Mikrodiorit | Mikrodiorit |
| 15103032 | Mikrogabbro | Mikrogabbro |
| 15103027 | Mikrogranit | Mikrogranit |
| 15104084 | monomineralischer Metamorphit, undifferenziert | monomineralischer Metamorphit, undifferenziert |
| 15103017 | Monzodiorit | Monzodiorit |
| 15103018 | Monzogabbro | Monzogabbro |
| 15103019 | Monzonit | Monzonit |
| 15101021 | Moräne (Till), undifferenziert | Moräne (Till), undifferenziert |
| 15101024 | Moräne auf Gletscher oder Toteis (Glacier or Dead Ice covered by Till) | Moräne auf Gletscher oder Toteis (Glacier or Dead Ice covered by Till) |
| 15101037 | Murgangablagerung | Murgangablagerung |
| 15102022 | Muschelsandstein | Muschelsandstein |
| 15104020 | Mylonit | Mylonit |
| 15104018 | Mylonit, undifferenziert | Mylonit, undifferenziert |
| 15104420 | nephelinitischer Metasyenit | nephelinitischer Metasyenit |
| 15103022 | nephelinitischer Syenit | nephelinitischer Syenit |
| 15103016 | Norit | Norit |
| 15102043 | Nummulitenkalk | Nummulitenkalk |
| 15102021 | Nummulitensandstein | Nummulitensandstein |

| GeolCode | Deutsch | Français |
|----------|--|--|
| 15104099 | Ophikalzit | Ophikalzit |
| 15104049 | Orthogneis | Orthogneis |
| 15101050 | palustrisches Sediment | palustrisches Sediment |
| 15101051 | palustrisches Sediment, undifferenziert | palustrisches Sediment, undifferenziert |
| 15104048 | Paragneis | Paragneis |
| 15102092 | pedogenes Karbonat, undifferenziert | pedogenes Karbonat, undifferenziert |
| 15103029 | Pegmatit | Pegmatit |
| 15102024 | Pelit, undifferenziert | Pelit, undifferenziert |
| 15103021 | Peridotit (Intrusivgestein) | Peridotit (Intrusivgestein) |
| 15104065 | Peridotit (Metamorphit) | Peridotit (Metamorphit) |
| 15103050 | Phonolith | Phonolith |
| 15102065 | phosphoritreicher Kalkstein | phosphoritreicher Kalkstein |
| 15102066 | phosphoritreicher Mergelstein | phosphoritreicher Mergelstein |
| 15102064 | phosphoritreicher Sandstein | phosphoritreicher Sandstein |
| 15102063 | phosphoritreiches Gestein, undifferenziert | phosphoritreiches Gestein, undifferenziert |
| 15104029 | Phyllit | Phyllit |
| 15104023 | Phyllonit | Phyllonit |
| 15103049 | Pikrit (Effusiva) | Pikrit (Effusiva) |
| 15103034 | Pikrit (Intrusivgestein) | Pikrit (Intrusivgestein) |
| 15101013 | Plateaulehm | Plateaulehm |
| 15104038 | Prasinit | Prasinit |
| 15104014 | Protokataklasit | Protokataklasit |
| 15104019 | Protomylonit | Protomylonit |
| 15104025 | Pseudotachylit | Pseudotachylit |
| 15103055 | Pyroklastische Brekzie | Pyroklastische Brekzie |
| 15103053 | pyroklastisches Gestein, undifferenziert (vulkanischer Tuff, > 75 % pyroklast. Komp.) | pyroklastisches Gestein, undifferenziert (vulkanischer Tuff, > 75 % pyroklast. Komp.) |
| 15103020 | Pyroxenit (Intrusivgestein) | Pyroxenit (Intrusivgestein) |
| 15104088 | Pyroxenit (monomineralischer Metamorphit) | Pyroxenit (monomineralischer Metamorphit) |
| 15103044 | Quarzandesit | Quarzandesit |
| 15103009 | Quarzdiorit | Quarzdiorit |
| 15103014 | Quarzgabbro | Quarzgabbro |
| 15104091 | Quarzit (monomineralischer Metamorphit) | Quarzit (monomineralischer Metamorphit) |
| 15104206 | Quarzit (sedimentärer Protolith) | Quarzit (sedimentärer Protolith) |
| 15102089 | Quarzsand | Quarzsand |

| GeolCode | Deutsch | Français |
|----------|--|--|
| 15102010 | Quarzsandstein | Quarzsandstein |
| 15104096 | Quarzschiefer | Quarzschiefer |
| 15101080 | Quelltuff (Kalksinter, Lockergestein) | Quelltuff (Kalksinter, Lockergestein) |
| 15102077 | Quelltuff (Kalksinter, Sedimentgestein) | Quelltuff (Kalksinter, Sedimentgestein) |
| 15102052 | Radiolarit | Radiolarit |
| 15101030 | randglazialer Schotter | randglazialer Schotter |
| 15104011 | Rauwacke (Kataklasit) | Rauwacke (Kataklasit) |
| 15102076 | Rauwacke (Sedimentgestein) | Rauwacke (Sedimentgestein) |
| 15102080 | Residualgestein / pedogen überprägtes Gestein, undifferenziert | Residualgestein / pedogen überprägtes Gestein, undifferenziert |
| 15103042 | Rhyodazit | Rhyodazit |
| 15103041 | Rhyolith | Rhyolith |
| 15103028 | Rhyolithporphyr | Rhyolithporphyr |
| 15102040 | Riffkalk | Riffkalk |
| 15104059 | Rodingit | Rodingit |
| 15101033 | Rückzugsschotter | Rückzugsschotter |
| 15102039 | Rudit | Rudit |
| 15101017 | Rutschmasse | Rutschmasse |
| 15102009 | Sandstein, undifferenziert (Psammit: Sandkorngrösse) | Sandstein, undifferenziert (Psammit: Sandkorngrösse) |
| 15103067 | saures Ganggestein | saures Ganggestein |
| 15104031 | Schiefer, undifferenziert | Schiefer, undifferenziert |
| 15102030 | Schlammstein | Schlammstein |
| 15104062 | Schollenamphibolit | Schollenamphibolit |
| 15101087 | Sedimentärer Gang (clastic dike) | Sedimentärer Gang (clastic dike) |
| 15102001 | Sedimentgestein | Sedimentgestein |
| 15101058 | Seebodensediment | Seebodensediment |
| 15101059 | Seekreide | Seekreide |
| 15104033 | Serizitschiefer | Serizitschiefer |
| 15104090 | Serpentinit | Serpentinit |
| 15102084 | siderolithische Verwitterungsbildungen | siderolithische Verwitterungsbildungen |
| 15102090 | Silcrete | Silcrete |
| 15104057 | silikatreicher Marmor | silikatreicher Marmor |
| 15102086 | silikatreiches Gestein, undifferenziert | silikatreiches Gestein, undifferenziert |
| 15102025 | Siltstein | Siltstein |
| 15104070 | Skarn | Skarn |
| 15102036 | Spatkalk | Spatkalk |
| 15102053 | Spiculit | Spiculit |
| 15101034 | Stauschotter | Stauschotter |
| 15102058 | Steinkohle | Steinkohle |

| GeolCode | Deutsch | Français |
|----------|---|---|
| 15102073 | Steinsalz | Steinsalz |
| 15101056 | Strandablagerungen | Strandablagerungen |
| 15104050 | Stronalit | Stronalit |
| 15101084 | strukturierter Hangschutt | strukturierter Hangschutt |
| 15101005 | Sturzablagerung, undifferenziert | Sturzablagerung, undifferenziert |
| 15101048 | subaquatisch abgelagerte Moräne (Waterlaid Till) | subaquatisch abgelagerte Moräne (Waterlaid Till) |
| 15101052 | Sumpf | Sumpf |
| 15102047 | Süßwasserkalk | Süßwasserkalk |
| 15103012 | Syenit | Syenit |
| 15104039 | Talkschiefer | Talkschiefer |
| 15104008 | tektonische Brekzie (kohäsionslos) | tektonische Brekzie (kohäsionslos) |
| 15104013 | tektonische Brekzie (mit Kohäsion) | tektonische Brekzie (mit Kohäsion) |
| 15104012 | tektonische Dolomitbrekzie | tektonische Dolomitbrekzie |
| 15104448 | tektonische Kalkbrekzie | tektonische Kalkbrekzie |
| 15103005 | Tiefengestein, undifferenziert | Tiefengestein, undifferenziert |
| 15101078 | tiefgründige Verwitterungsdecke | tiefgründige Verwitterungsdecke |
| 15103010 | Tonalit | Tonalit |
| 15102015 | toniger Sandstein | toniger Sandstein |
| 15102028 | Tonmergelstein | Tonmergelstein |
| 15104032 | Tonschiefer (Schiefer) | Tonschiefer (Schiefer) |
| 15104213 | Tonschiefer (sedimentärer Protolith) | Tonschiefer (sedimentärer Protolith) |
| 15102026 | Tonstein | Tonstein |
| 15101053 | Torfmoor, Torf | Torfmoor, Torf |
| 15103047 | Trachyt | Trachyt |
| 15101082 | Travertin (Kalksinter, Lockergestein) | Travertin (Kalksinter, Lockergestein) |
| 15102078 | Travertin (Kalksinter, Sedimentgestein) | Travertin (Kalksinter, Sedimentgestein) |
| 15101085 | Tsunamiablagerung | Tsunamiablagerung |
| 15103060 | Tuffit, undifferenziert (pyroklast. und nicht vulk. Sedimente, 75-25 % pyroklast. Komp.) | Tuffit, undifferenziert (pyroklast. und nicht vulk. Sedimente, 75-25 % pyroklast. Komp.) |
| 15103061 | tuffitische Brekzie | tuffitische Brekzie |
| 15103063 | tuffitischer Sandstein | tuffitischer Sandstein |
| 15103064 | tuffitischer Siltstein | tuffitischer Siltstein |
| 15103065 | tuffitischer Tonstein | tuffitischer Tonstein |
| 15103062 | tuffitisches Konglomerat | tuffitisches Konglomerat |
| 15101042 | Überschwemmungssediment | Überschwemmungssediment |
| 15103070 | Ultrabasisches Gestein | Ultrabasisches Gestein |

| GeolCode | Deutsch | Français |
|----------|---------------------------------------|---------------------------------------|
| 15104016 | Ultrakataklasit | Ultrakataklasit |
| 15104447 | ultramafisches Gestein | ultramafisches Gestein |
| 15104021 | Ultramylonit | Ultramylonit |
| 15101012 | Verwitterungslehm, undifferenziert | Verwitterungslehm, undifferenziert |
| 15101032 | Vorstossschotter | Vorstossschotter |
| 15101065 | vulkanische Asche | vulkanische Asche |
| 15101016 | zerrüttete Sackungsmasse | zerrüttete Sackungsmasse |
| 15104045 | Zweiglimmergneis | Zweiglimmergneis |
| 999997 | Unknown | Unknown |
| 999998 | Not applicable | Not applicable |

chrono_t __

| GeolCode | Deutsch | Français |
|----------|---------------|---------------|
| 15001074 | Aalénien | Aalénien |
| 15001059 | Albien | Albien |
| 15001087 | Anisien | Anisien |
| 15001060 | Aptien | Aptien |
| 15001028 | Aquitanién | Aquitanién |
| 15001153 | Archaikum | Archaikum |
| 15001113 | Artinskien | Artinskien |
| 15001117 | Assélien | Assélien |
| 15001073 | Bajocien | Bajocien |
| 15001061 | Barrémien | Barrémien |
| 15001041 | Bartonien | Bartonien |
| 15001140 | Bashkirien | Bashkirien |
| 15001072 | Bathonien | Bathonien |
| 15001064 | Berriasien | Berriasien |
| 15001025 | Burdigalien | Burdigalien |
| 15001010 | Calabrien | Calabrien |
| 15001071 | Callovien | Callovien |
| 15001053 | Campanien | Campanien |
| 15001102 | Capitanien | Capitanien |
| 15001084 | Carnien | Carnien |
| 15001057 | Cénomanién | Cénomanién |
| 15001096 | Changhsingien | Changhsingien |
| 15001031 | Chattien | Chattien |
| 15001151 | Chibanien | Chibanien |
| 15001110 | Cisuralien | Cisuralien |
| 15001055 | Coniacien | Coniacien |
| 15001048 | Danien | Danien |
| 15001128 | Devon | Devon |
| 15001035 | Eozän | Eozän |
| 15001058 | Frühe Kreide | Frühe Kreide |
| 15001088 | Frühe Trias | Frühe Trias |

| GeolCode | Deutsch | Français |
|----------|-------------------------|-------------------------|
| 15001075 | Früher Jura | Früher Jura |
| 15001027 | frühes Burdigalien | frühes Burdigalien |
| 15001033 | frühes Chattien | frühes Chattien |
| 15001129 | Frühes Devon | Frühes Devon |
| 15001043 | Frühes Eozän | Frühes Eozän |
| 15001024 | Frühes Miozän | Frühes Miozän |
| 15001127 | Frühes Mississippien | Frühes Mississippien |
| 15001150 | Frühes Ordovizium | Frühes Ordovizium |
| 15001123 | Frühes Pennsylvanien | Frühes Pennsylvanien |
| 15001009 | Frühes Pleistozän | Frühes Pleistozän |
| 15001039 | frühes Priabonien | frühes Priabonien |
| 15001011 | Gélasien | Gélasien |
| 15001101 | Guadalupien | Guadalupien |
| 15001137 | Gzhélien | Gzhélien |
| 15001062 | Hauterivien | Hauterivien |
| 15001079 | Hettangien | Hettangien |
| 15001004 | Holozän | Holozän |
| 15001090 | Indusien | Indusien |
| 15001065 | Jura | Jura |
| 15001135 | Kambrium | Kambrium |
| 15001002 | Känozoikum | Känozoikum |
| 15001119 | Karbon | Karbon |
| 15001138 | Kasimovien | Kasimovien |
| 15001068 | Kimméridgien | Kimméridgien |
| 15001050 | Kreide | Kreide |
| 15001111 | Kungurien | Kungurien |
| 15001086 | Ladinien | Ladinien |
| 15001023 | Langhien | Langhien |
| 15001147 | Llandovery | Llandovery |
| 15001095 | Lopingien | Lopingien |
| 15001145 | Ludlow | Ludlow |
| 15001042 | Lutétien | Lutétien |
| 15001052 | Maastrichtien | Maastrichtien |
| 15001049 | Mesozoikum | Mesozoikum |
| 15001019 | Messinien | Messinien |
| 15001017 | Miozän | Miozän |
| 15001124 | Mississippien | Mississippien |
| 15001085 | Mittlere Trias | Mittlere Trias |
| 15001070 | Mittlerer Jura | Mittlerer Jura |
| 15001130 | Mittleres Devon | Mittleres Devon |
| 15001040 | Mittleres Eozän | Mittleres Eozän |
| 15001021 | Mittleres Miozän | Mittleres Miozän |
| 15001126 | Mittleres Mississippien | Mittleres Mississippien |
| 15001149 | Mittleres Ordovizium | Mittleres Ordovizium |
| 15001122 | Mittleres Pennsylvanien | Mittleres Pennsylvanien |
| 15001007 | Mittleres Pleistozän | Mittleres Pleistozän |
| 15001139 | Moscovien | Moscovien |
| 15001013 | Neogen | Neogen |

| GeolCode | Deutsch | Français |
|----------|----------------------|----------------------|
| 15001083 | Norien | Norien |
| 15001089 | Olénékien | Olénékien |
| 15001030 | Oligozän | Oligozän |
| 15001134 | Ordovizium | Ordovizium |
| 15001069 | Oxfordien | Oxfordien |
| 15001029 | Paläogen | Paläogen |
| 15001091 | Paläozoikum | Paläozoikum |
| 15001045 | Paleozän | Paleozän |
| 15001120 | Pennsylvanien | Pennsylvanien |
| 15001093 | Perm | Perm |
| 15001001 | Phanerozoikum | Phanerozoikum |
| 15001015 | Plaisancien | Plaisancien |
| 15001005 | Pleistozän | Pleistozän |
| 15001077 | Pliensbachien | Pliensbachien |
| 15001014 | Pliozän | Pliozen |
| 15001152 | Präkambrium | Präkambrium |
| 15001037 | Priabonien | Priabonien |
| 15001144 | Pridoli | Pridoli |
| 15001136 | Proterozoikum | Proterozoikum |
| 15001003 | Quartär | Quartär |
| 15001082 | Rhät | Rhät |
| 15001108 | Roadien | Roadien |
| 15001034 | Rupélien | Rupélien |
| 15001115 | Sakmarien | Sakmarien |
| 15001054 | Santonien | Santonien |
| 15001047 | Sélandien | Sélandien |
| 15001141 | Serpukhovien | Serpukhovien |
| 15001022 | Serravallien | Serravallien |
| 15001133 | Silur | Silur |
| 15001078 | Sinémurien | Sinémurien |
| 15001051 | Späte Kreide | Späte Kreide |
| 15001081 | Späte Trias | Späte Trias |
| 15001066 | Später Jura | Später Jura |
| 15001026 | spätes Burdigalien | spätes Burdigalien |
| 15001032 | spätes Chattien | spätes Chattien |
| 15001131 | Spätes Devon | Spätes Devon |
| 15001036 | Spätes Eozän | Spätes Eozän |
| 15001018 | Spätes Miozän | Spätes Miozän |
| 15001125 | Spätes Mississippien | Spätes Mississippien |
| 15001148 | Spätes Ordovizium | Spätes Ordovizium |
| 15001121 | Spätes Pennsylvanien | Spätes Pennsylvanien |
| 15001006 | Spätes Pleistozän | Spätes Pleistozän |
| 15001038 | spätes Priabonien | spätes Priabonien |
| 15001012 | Tertiär | Tertiär |
| 15001046 | Thanétien | Thanétien |
| 15001067 | Tithonien | Tithonien |
| 15001076 | Toarcien | Toarcien |
| 15001020 | Tortonien | Tortonien |

| GeolCode | Deutsch | Français |
|----------|----------------|----------------|
| 15001143 | Tournaisien | Tournaisien |
| 15001080 | Trias | Trias |
| 15001056 | Turonien | Turonien |
| 15001063 | Valanginien | Valanginien |
| 15001142 | Viséen | Viséen |
| 15001146 | Wenlock | Wenlock |
| 15001106 | Wordien | Wordien |
| 15001098 | Wuchiapingien | Wuchiapingien |
| 15001044 | Yprésien | Yprésien |
| 15001016 | Zancléen | Zancléen |
| 999997 | Unknown | Unknown |
| 999998 | Not applicable | Not applicable |

chrono_b __

| GeolCode | Deutsch | Français |
|----------|---------------|---------------|
| 15001074 | Aalénien | Aalénien |
| 15001059 | Albien | Albien |
| 15001087 | Anisien | Anisien |
| 15001060 | Aptien | Aptien |
| 15001028 | Aquitanién | Aquitanién |
| 15001153 | Archaikum | Archaikum |
| 15001113 | Artinskien | Artinskien |
| 15001117 | Assélien | Assélien |
| 15001073 | Bajocien | Bajocien |
| 15001061 | Barrémien | Barrémien |
| 15001041 | Bartonien | Bartonien |
| 15001140 | Bashkirien | Bashkirien |
| 15001072 | Bathonien | Bathonien |
| 15001064 | Berriasien | Berriasien |
| 15001025 | Burdigalien | Burdigalien |
| 15001010 | Calabrien | Calabrien |
| 15001071 | Callovien | Callovien |
| 15001053 | Campanien | Campanien |
| 15001102 | Capitanien | Capitanien |
| 15001084 | Carnien | Carnien |
| 15001057 | Cénomanién | Cénomanién |
| 15001096 | Changhsingien | Changhsingien |
| 15001031 | Chattien | Chattien |
| 15001151 | Chibanien | Chibanien |
| 15001110 | Cisuralien | Cisuralien |
| 15001055 | Coniacien | Coniacien |
| 15001048 | Danien | Danien |
| 15001128 | Devon | Devon |
| 15001035 | Eozän | Eozän |
| 15001058 | Frühe Kreide | Frühe Kreide |

| GeolCode | Deutsch | Français |
|----------|-------------------------|-------------------------|
| 15001088 | Frühe Trias | Frühe Trias |
| 15001075 | Früher Jura | Früher Jura |
| 15001027 | frühes Burdigalien | frühes Burdigalien |
| 15001033 | frühes Chattien | frühes Chattien |
| 15001129 | Frühes Devon | Frühes Devon |
| 15001043 | Frühes Eozän | Frühes Eozän |
| 15001024 | Frühes Miozän | Frühes Miozän |
| 15001127 | Frühes Mississippien | Frühes Mississippien |
| 15001150 | Frühes Ordovizium | Frühes Ordovizium |
| 15001123 | Frühes Pennsylvanien | Frühes Pennsylvanien |
| 15001009 | Frühes Pleistozän | Frühes Pleistozän |
| 15001039 | frühes Priabonien | frühes Priabonien |
| 15001011 | Gélasien | Gélasien |
| 15001101 | Guadalupien | Guadalupien |
| 15001137 | Gzhélien | Gzhélien |
| 15001062 | Hauterivien | Hauterivien |
| 15001079 | Hettangien | Hettangien |
| 15001004 | Holozän | Holozän |
| 15001090 | Indusien | Indusien |
| 15001065 | Jura | Jura |
| 15001135 | Kambrium | Kambrium |
| 15001002 | Känozoikum | Känozoikum |
| 15001119 | Karbon | Karbon |
| 15001138 | Kasimovien | Kasimovien |
| 15001068 | Kimméridgien | Kimméridgien |
| 15001050 | Kreide | Kreide |
| 15001111 | Kungurien | Kungurien |
| 15001086 | Ladinien | Ladinien |
| 15001023 | Langhien | Langhien |
| 15001147 | Llandovery | Llandovery |
| 15001095 | Lopingien | Lopingien |
| 15001145 | Ludlow | Ludlow |
| 15001042 | Lutétien | Lutétien |
| 15001052 | Maastrichtien | Maastrichtien |
| 15001049 | Mesozoikum | Mesozoikum |
| 15001019 | Messinien | Messinien |
| 15001017 | Miozän | Miozän |
| 15001124 | Mississippien | Mississippien |
| 15001085 | Mittlere Trias | Mittlere Trias |
| 15001070 | Mittlerer Jura | Mittlerer Jura |
| 15001130 | Mittleres Devon | Mittleres Devon |
| 15001040 | Mittleres Eozän | Mittleres Eozän |
| 15001021 | Mittleres Miozän | Mittleres Miozän |
| 15001126 | Mittleres Mississippien | Mittleres Mississippien |
| 15001149 | Mittleres Ordovizium | Mittleres Ordovizium |
| 15001122 | Mittleres Pennsylvanien | Mittleres Pennsylvanien |
| 15001007 | Mittleres Pleistozän | Mittleres Pleistozän |
| 15001139 | Moscovien | Moscovien |

| GeolCode | Deutsch | Français |
|----------|----------------------|----------------------|
| 15001013 | Neogen | Neogen |
| 15001083 | Norien | Norien |
| 15001089 | Olénékien | Olénékien |
| 15001030 | Oligozän | Oligozän |
| 15001134 | Ordovizium | Ordovizium |
| 15001069 | Oxfordien | Oxfordien |
| 15001029 | Paläogen | Paläogen |
| 15001091 | Paläozoikum | Paläozoikum |
| 15001045 | Paleozän | Paleozän |
| 15001120 | Pennsylvanien | Pennsylvanien |
| 15001093 | Perm | Perm |
| 15001001 | Phanerozoikum | Phanerozoikum |
| 15001015 | Plaisancien | Plaisancien |
| 15001005 | Pleistozän | Pleistozän |
| 15001077 | Pliensbachien | Pliensbachien |
| 15001014 | Pliozän | Pliozen |
| 15001152 | Präkambrium | Präkambrium |
| 15001037 | Priabonien | Priabonien |
| 15001144 | Pridoli | Pridoli |
| 15001136 | Proterozoikum | Proterozoikum |
| 15001003 | Quartär | Quartär |
| 15001082 | Rhät | Rhät |
| 15001108 | Roadien | Roadien |
| 15001034 | Rupélien | Rupélien |
| 15001115 | Sakmarien | Sakmarien |
| 15001054 | Santonien | Santonien |
| 15001047 | Sélandien | Sélandien |
| 15001141 | Serpukhovien | Serpukhovien |
| 15001022 | Serravallien | Serravallien |
| 15001133 | Silur | Silur |
| 15001078 | Sinémurien | Sinémurien |
| 15001051 | Späte Kreide | Späte Kreide |
| 15001081 | Späte Trias | Späte Trias |
| 15001066 | Später Jura | Später Jura |
| 15001026 | spätes Burdigalien | spätes Burdigalien |
| 15001032 | spätes Chattien | spätes Chattien |
| 15001131 | Spätes Devon | Spätes Devon |
| 15001036 | Spätes Eozän | Spätes Eozän |
| 15001018 | Spätes Miozän | Spätes Miozän |
| 15001125 | Spätes Mississippien | Spätes Mississippien |
| 15001148 | Spätes Ordovizium | Spätes Ordovizium |
| 15001121 | Spätes Pennsylvanien | Spätes Pennsylvanien |
| 15001006 | Spätes Pleistozän | Spätes Pleistozän |
| 15001038 | spätes Priabonien | spätes Priabonien |
| 15001012 | Tertiär | Tertiär |
| 15001046 | Thanétien | Thanétien |
| 15001067 | Tithonien | Tithonien |
| 15001076 | Toarcien | Toarcien |

| GeolCode | Deutsch | Français |
|----------|----------------|----------------|
| 15001020 | Tortonien | Tortonien |
| 15001143 | Tournaisien | Tournaisien |
| 15001080 | Trias | Trias |
| 15001056 | Turonien | Turonien |
| 15001063 | Valanginien | Valanginien |
| 15001142 | Viséen | Viséen |
| 15001146 | Wenlock | Wenlock |
| 15001106 | Wordien | Wordien |
| 15001098 | Wuchiapingien | Wuchiapingien |
| 15001044 | Yprésien | Yprésien |
| 15001016 | Zancléen | Zancléen |
| 999997 | Unknown | Unknown |
| 999998 | Not applicable | Not applicable |

mat_type __

buried_out __

composit __

admixture __

structur *Textur des Lockergesteins*

| GeolCode | Deutsch | Français |
|----------|--|--|
| 14510011 | bioturbiert | bioturbiert |
| 14510002 | geschichtet | geschichtet |
| 14510005 | glaziale Überprägung (Glazitektonik) | glaziale Überprägung (Glazitektonik) |
| 14510004 | grossmassstäbliche Schrägschichtung (z.B. Deltaschichtung) | grossmassstäbliche Schrägschichtung (z.B. Deltaschichtung) |
| 14510010 | invers gradiert | invers gradiert |
| 14510007 | laminieren | laminieren |
| 14510008 | mit Warven | mit Warven |
| 14510009 | normal gradiert | normal gradiert |
| 14510012 | pedogen überprägt | pedogen überprägt |
| 14510006 | periglazial gestörte Schichtung (Diapir, Eiskeil, etc.) | periglazial gestörte Schichtung (Diapir, Eiskeil, etc.) |
| 14510003 | schräg-/kreuzgeschichtet | schräg-/kreuzgeschichtet |
| 14510001 | texturlos | texturlos |
| 999997 | Unknown | Unknown |
| 999998 | Not applicable | Not applicable |

charact *Spezifische Eigenschaft*

morpholo *Morphologie der Lockergesteinseinheit*

| GeolCode | Deutsch | Français |
|----------|----------------|----------------|
| 14512008 | Bastion | Bastion |
| 14512003 | Düne | Düne |
| 14512001 | Kegel / Fächer | Kegel / Fächer |
| 14512007 | Os | Os |
| 14512006 | Sander | Sander |
| 14512002 | Schleier | Schleier |
| 14512005 | Terrasse | Terrasse |
| 14512004 | Wall | Wall |
| 999997 | Unknown | Unknown |
| 999998 | Not applicable | Not applicable |

glac_type Gletschertyp; Attribut nur für Moränen

| GeolCode | Deutsch | Français |
|----------|----------------------------------|----------------------------------|
| 14513009 | Aaregletscher | Aaregletscher |
| 14513004 | Bodensee-Rheingletscher | Bodensee-Rheingletscher |
| 14513013 | Brünig-Aaregletscher | Brünig-Aaregletscher |
| 14513003 | Bündner Gletscher | Bündner Gletscher |
| 14513012 | Engelberger Gletscher | Engelberger Gletscher |
| 14513002 | grosse Tal- und Vorlandgletscher | grosse Tal- und Vorlandgletscher |
| 14513005 | Linth-Rheingletscher | Linth-Rheingletscher |
| 14513001 | Lokalgletscher | Lokalgletscher |
| 14513006 | Reussgletscher | Reussgletscher |
| 14513010 | Saanegletscher | Saanegletscher |
| 14513011 | Schlierengletscher | Schlierengletscher |
| 14513007 | Waldemme- und Entlegletscher | Waldemme- und Entlegletscher |
| 14513008 | Walliser Gletscher | Walliser Gletscher |
| 999997 | Unknown | Unknown |
| 999998 | Not applicable | Not applicable |

ref_year Zeitpunkt oder Zeitperiode. Zum Beispiel «1940 1943, Periode der Drainage» (muss präzisiert werden)

thin_cover Lockermaterialbedeckung, wenn vorhanden.

| GeolCode | Deutsch | Français |
|----------|---|---|
| 14515001 | geringmächtige Lockergesteinsbedeckung, undifferenziert | geringmächtige Lockergesteinsbedeckung, undifferenziert |
| 14515005 | geringmächtige Löss- oder Lösslehmbedeckung | geringmächtige Löss- oder Lösslehmbedeckung |
| 14515002 | geringmächtige Moränenbedeckung | geringmächtige Moränenbedeckung |

| GeolCode | Deutsch | Français |
|----------|--|--|
| 14515003 | geringmächtige Schotterbedeckung | geringmächtige Schotterbedeckung |
| 14515004 | geringmächtige Schwemmlehmbedeckung | geringmächtige Schwemmlehmbedeckung |
| 14515006 | tiefgründige Verwitterungsdecke | tiefgründige Verwitterungsdecke |
| 999997 | Unknown | Unknown |
| 999998 | Not applicable | Not applicable |

orig_descr *Originalbezeichnung gemäss der Legende der zugrundeliegenden geologischen Karte*

Class Bedrock_PLG

Die Klasse Bedrock_PLG enthält alle flächenbildenden lithostratigraphischen Festgesteinseinheiten. Die Angabe, ob ein Festgestein bewegt (durch Gravitation versetzt) wurde, geht aus der Klasse Instabilities_within_Bedrock_PLG (Thema Geomorphology) hervor.

| Name | Type | Description |
|--------------------|--------------------------|---|
| kind | subtype | Spezifische Eigenschaft |
| [1] fm_homog | 14334001 | Gesteinsaufbau |
| [1] lustrat | CD | Lithostratigraphische Einheit |
| [1] litho | GC_LITSTRAT_BED_CD CD | Lithologische Beschreibung |
| [1..3] chrono_t | GC_LITHO_CD CD | Chronostratigraphische Zuordnung der Obergrenze der Kartiereinheit (Top) |
| [1] chrono_b | GC_CHRONO_CD CD | Chronostratigraphische Zuordnung der Untergrenze der Kartiereinheit (Basis) |
| [1] tecto | GC_CHRONO_CD CD | Tektonische Zugehörigkeit |
| [1] | GC_TECTO_CD | |

| Name | Type | Description |
|-------------------------|----------------------|--|
| orig_descr | string | Originalbezeichnung gemäss der Legende der zugrundeliegenden geologischen Karte |
| [1] buried_out | boolean | Wurde das Festgestein wieder verdeckt (ja / nein)? |
| [1] exotic_ele | | Handelt es sich bei der Objektart um ein exotisches Element; z.B. Einschluss, Linse, Tasche, Olistholith (ja / nein)? |
| [1] colour | boolean string | Farbe des Gesteins. Präzisieren ob es sich um die Bruchfarbe, die Verwitterungsfarbe, etc. handelt; z.B. Verwitterungsfarbe grau. |
| [0..1] sedi_main_com | CD | Hauptgesteinskomponente des klastischen Sedimentgesteins |
| [0..1] sedi_seco_com | GC_MAIN_COM_CD CD | Nebengesteinskomponente des Sedimentgesteins |
| [0..2] sedi_bond_mat | GC_SECO_COM_CD CD | Bindemittel des Sedimentgesteins |
| [0..1] sedi_bedding | GC_BOND_MAT_CD CD | Schichtung des Sedimentgesteins |
| [0..2] sedi_str | GC_BEDDING_CD CD | Textur des Sedimentgesteins |
| [0..2] sedi_tex | GC_SEDI_STR_CD CD | Sedimentstruktur |
| [] igne_text | GC_SEDI_TEX_CD CD | Struktur des magmatischen Gesteins |

| Name | Type | Description |
|-------------------------|--------------------------|--|
| [0..1] igne_grain_si | GC_IGNE_TEX_CD CD | Korngrösse des magmatischen Gesteins |
| [0..1] igne_affinity | GC_GRAIN_SI_CD CD | Affinität zu einer magmatischen Serie. |
| [] meta_full_name | GC_AFFINITY_CD string | Bezeichnung des metamorphen Gesteins |
| [0..1] meta_mineral | CD | Wichtiges Mineral des metamorphen Gesteins |
| [0..3] meta_str | GC_MINERAL_CD CD | Textur des metamorphen Gesteins |
| [0..3] | GC_META_STR_CD | |

kind *Spezifische Eigenschaft*

| GeolCode | Deutsch | Français |
|----------|------------------|------------------|
| 14334001 | Rbed Festgestein | Rbed Festgestein |

fm_homog *Gesteinsaufbau*

lustrat *Lithostratigraphische Einhei*

| GeolCode | Deutsch | Français |
|----------|-----------------------------------|-----------------------------------|
| 15204121 | «Ältere Orthogneise» | «Ältere Orthogneise» |
| 15203300 | «Arblatsch-Flysch» | «Arblatsch-Flysch» |
| 15203302 | «Arblatsch-Konglomerat» | «Arblatsch-Konglomerat» |
| 15202417 | «Basaler Quarzit» (Coroi-Fm.) | «Basaler Quarzit» (Coroi-Fm.) |
| 15202437 | «Calcaire à ciment» (Bifé-Fm.) | «Calcaire à ciment» (Bifé-Fm.) |
| 15202428 | «Calcaire siliceux brunâtre» | «Calcaire siliceux brunâtre» |
| 15200674 | «Calcaires à Entroques» | «Calcaires à Entroques» |
| 15202433 | «Calcaires bréchiques» | «Calcaires bréchiques» |
| 15202426 | «Calcaires gréso-glauconieux» | «Calcaires gréso-glauconieux» |

| GeolCode | Deutsch | Français |
|----------|--|--|
| 15202427 | «Calcarénites beiges oolitiques» | «Calcarénites beiges oolitiques» |
| 15202420 | «Equisetenschiefer» | «Equisetenschiefer» |
| 15200594 | «Formation de la Chambotte Inférieure» | «Formation de la Chambotte Inférieure» |
| 15200593 | «Formation de la Chambotte Supérieure» | «Formation de la Chambotte Supérieure» |
| 15204120 | «Jüngere Orthogneise» | «Jüngere Orthogneise» |
| 15200510 | «Juranagelfluh-Mergel» | «Juranagelfluh-Mergel» |
| 15202406 | «Leitoolith» | «Leitoolith» |
| 15202425 | «Marnes noires pyriteuses» | «Marnes noires pyriteuses» |
| 15202099 | «Mergelband» | «Mergelband» |
| 15203339 | «Mittlere Rauwacke» (St-Triphon-Fm.) | «Mittlere Rauwacke» (St-Triphon-Fm.) |
| 15202415 | «Obere Tonschiefer» (Bommerstein-Fm.) | «Obere Tonschiefer» (Bommerstein-Fm.) |
| 15202412 | «Obere Zementsteinschichten» | «Obere Zementsteinschichten» |
| 15202398 | «Oberer Betliskalk» | «Oberer Betliskalk» |
| 15202383 | «Oberer Öhrlikalk» | «Oberer Öhrlikalk» |
| 15202384 | «Oberer Öhrlimergel» | «Oberer Öhrlimergel» |
| 15202300 | «Oberer Schrattenkalk» | «Oberer Schrattenkalk» |
| 15200592 | «Pierre Jaune Inférieure» | «Pierre Jaune Inférieure» |
| 15200591 | «Pierre Jaune Supérieure» | «Pierre Jaune Supérieure» |
| 15203077 | «Posidonienschiefer» (der Stanserhorn-Fm.) | «Posidonienschiefer» (der Stanserhorn-Fm.) |
| 15203331 | «Roffna-Porphyr» | «Roffna-Porphyr» |
| 15202414 | «Rote Echinodermenbrekzie» | «Rote Echinodermenbrekzie» |
| 15202395 | «Roter Seewenkalk» | «Roter Seewenkalk» |
| 15202103 | «Schilt-Kalk» | «Schilt-Kalk» |
| 15202102 | «Schilt-Mergel» | «Schilt-Mergel» |
| 15205090 | «Série Rubanée» | «Série Rubanée» |
| 15203338 | «Silex-Niveau» (St-Triphon-Fm.) | «Silex-Niveau» (St-Triphon-Fm.) |
| 15202413 | «Untere Zementsteinschichten» | «Untere Zementsteinschichten» |
| 15202399 | «Unterer Betliskalk» | «Unterer Betliskalk» |
| 15202385 | «Unterer Öhrlikalk» | «Unterer Öhrlikalk» |
| 15202301 | «Unterer Schrattenkalk» | «Unterer Schrattenkalk» |
| 15202360 | «Wildflysch», undifferenziert | «Wildflysch», undifferenziert |
| 15200397 | Aargauer Juranagelfluh | Aargauer Juranagelfluh |
| 15200559 | Aarwangen-Molasse | Aarwangen-Molasse |
| 15200291 | Abtwil-Konglomerat | Abtwil-Konglomerat |
| 15200494 | Achdorf-Formation | Achdorf-Formation |
| 15206004 | Adamello-Intrusiva | Adamello-Intrusiva |

| GeolCode | Deutsch | Français |
|----------|--|--|
| 15203198 | Adlerflüe-Formation | Adlerflüe-Formation |
| 15204021 | Adnet-Kalk | Adnet-Kalk |
| 15203515 | Adula-D.: Albit-Oligoklasgneis | Adula-D.: Albit-Oligoklasgneis |
| 15203256 | Adula-D.: Amphibolit | Adula-D.: Amphibolit |
| 15203512 | Adula-D.: Basaler Gneis | Adula-D.: Basaler Gneis |
| 15203255 | Adula-D.: Glimmerschiefer und Paragneis | Adula-D.: Glimmerschiefer und Paragneis |
| 15203532 | Adula-D.: Kalkschiefer und Marmor | Adula-D.: Kalkschiefer und Marmor |
| 15203535 | Adula-D.: Ultramafitit | Adula-D.: Ultramafitit |
| 15200285 | Aeugstertal-Bentonit | Aeugstertal-Bentonit |
| 15204020 | Agnelli-Formation | Agnelli-Formation |
| 15203058 | Agreblierai-Member | Agreblierai-Member |
| 15202291 | Ahornen-Member | Ahornen-Member |
| 15203334 | Aigremont-Brekzie | Aigremont-Brekzie |
| 15203416 | Aiguilles-Rouges-d'Arolla- Metagabbro | Aiguilles-Rouges-d'Arolla- Metagabbro |
| 15200373 | Ajoie-Gompholit | Ajoie-Gompholit |
| 15200384 | Ajoie-Member | Ajoie-Member |
| 15200459 | Akzessorische Mumienbänke | Akzessorische Mumienbänke |
| 15205045 | Albenza-Formation | Albenza-Formation |
| 15203270 | Albeuve-Serie | Albeuve-Serie |
| 15206069 | Albit-Muskowitschiefer, undifferenziert | Albit-Muskowitschiefer, undifferenziert |
| 15203463 | Albitaugenschiefer (SOPA) der Adlerflüe-Formation | Albitaugenschiefer (SOPA) der Adlerflüe-Formation |
| 15203379 | Albitquarzit der Grava- und Tomül-Decke | Albitquarzit der Grava- und Tomül-Decke |
| 15200563 | Albstein | Albstein |
| 15200231 | Albtal-Granit | Albtal-Granit |
| 15200154 | Alectryonia-Kalk | Alectryonia-Kalk |
| 15204133 | alkalische Intrusiva des Ostalpins | alkalische Intrusiva des Ostalpins |
| 15203229 | Allalin-Gabbro | Allalin-Gabbro |
| 15204016 | Allgäu-Formation | Allgäu-Formation |
| 15203031 | Allières-Member | Allières-Member |
| 15203451 | Almagelhorn-Migmatit | Almagelhorn-Migmatit |
| 15202338 | Alp-Cavradi-Gneiskomplex | Alp-Cavradi-Gneiskomplex |
| 15202530 | Alp-Crap-Ner-Granit | Alp-Crap-Ner-Granit |
| 15202344 | Alp-Ramosa-Granitgneis | Alp-Ramosa-Granitgneis |
| 15203560 | Alpbach-Schiefer | Alpbach-Schiefer |
| 15206012 | Alpe-Cameraccio- Granodiorit | Alpe-Cameraccio- Granodiorit |
| 15203353 | Alpe-Tamia-Campo- Wildflysch | Alpe-Tamia-Campo- Wildflysch |
| 15203479 | Alpigia-Gneis | Alpigia-Gneis |

| GeolCode | Deutsch | Français |
|----------|--|--|
| 15204148 | Alpiner Muschelkalk | Alpiner Muschelkalk |
| 15204029 | Alplihorn-Member | Alplihorn-Member |
| 15200634 | Altbach-Süsswasserkalk | Altbach-Süsswasserkalk |
| 15204051 | Altein-Formation | Altein-Formation |
| 15200228 | Ältere Flussablagerungen | Ältere Flussablagerungen |
| 15200527 | Ältere Juranagelfluh | Ältere Juranagelfluh |
| 15202481 | Altkristallin des Aiguilles-Rouges-Massivs, migmatitisch | Altkristallin des Aiguilles-Rouges-Massivs, migmatitisch |
| 15202478 | Altkristallin des Mont-Blanc-Massivs, amphibolitreich | Altkristallin des Mont-Blanc-Massivs, amphibolitreich |
| 15202477 | Altkristallin des Mont-Blanc-Massivs, migmatitisch | Altkristallin des Mont-Blanc-Massivs, migmatitisch |
| 15202479 | Altkristallin des Mont-Blanc-Massivs, mylonitisch | Altkristallin des Mont-Blanc-Massivs, mylonitisch |
| 15202078 | Altmann-Member | Altmann-Member |
| 15204023 | Alv-Brekzie | Alv-Brekzie |
| 15200577 | Amaltheenton-Formation | Amaltheenton-Formation |
| 15202049 | Amden-Mergel | Amden-Mergel |
| 15204006 | Ammergau-Formation | Ammergau-Formation |
| 15205120 | Amphibolit der Valpelline-Gruppe | Amphibolit der Valpelline-Gruppe |
| 15203466 | Amphibolit des Ergischhorn-Ensembles | Amphibolit des Ergischhorn-Ensembles |
| 15206037 | Amphibolit, undifferenziert | Amphibolit, undifferenziert |
| 15200574 | Ancepsoolith- Subformation | Ancepsoolith- Subformation |
| 15205067 | Andesit und Dazit | Andesit und Dazit |
| 15203489 | Andolla-Eklogit | Andolla-Eklogit |
| 15203097 | Andonces-Member | Andonces-Member |
| 15200047 | Ängistein-Member | Ängistein-Member |
| 15200581 | Angulatenton-Formation | Angulatenton-Formation |
| 15203358 | Antabia-Gruppe | Antabia-Gruppe |
| 15203365 | Antigorio-Orthogneis | Antigorio-Orthogneis |
| 15200286 | Äntlisberg-Doldertobel- Süsswasserkalk | Äntlisberg-Doldertobel- Süsswasserkalk |
| 15200052 | Anwil-Bank | Anwil-Bank |
| 15206039 | Aplit | Aplit |
| 15206112 | Aplitgneis, undifferenziert | Aplitgneis, undifferenziert |
| 15202326 | Aplitische Randfazies des Zentralen Aare-Granits | Aplitische Randfazies des Zentralen Aare-Granits |
| 15200290 | Appenzellergranit- Leitniveau | Appenzellergranit- Leitniveau |
| 15203136 | Aptychenkalk | Aptychenkalk |
| 15206116 | Aptychenkalk, undiff. | Aptychenkalk, undiff. |

| GeolCode | Deutsch | Français |
|----------|--|--|
| 15202137 | Arandellys-Formation | Arandellys-Formation |
| 15203301 | Arblatsch-Sandstein | Arblatsch-Sandstein |
| 15200462 | Arenicolites-Bank | Arenicolites-Bank |
| 15203378 | Areua-Bruschghorn-Melange | Areua-Bruschghorn-Melange |
| 15200580 | Arietenkalk-Formation | Arietenkalk-Formation |
| 15204049 | Arlberg-Formation | Arlberg-Formation |
| 15203159 | Aroley-Schichten | Aroley-Schichten |
| 15205004 | Arolla-Serie | Arolla-Serie |
| 15203561 | Arosa-D.: Gabbro | Arosa-D.: Gabbro |
| 15203230 | Arosa-Mélange | Arosa-Mélange |
| 15202474 | Arpette-Leukogranit | Arpette-Leukogranit |
| 15203053 | Arvel-Formation | Arvel-Formation |
| 15202446 | Arveyes-Flysch | Arveyes-Flysch |
| 15200155 | Arzier-Mergel | Arzier-Mergel |
| 15200131 | Asp-Member | Asp-Member |
| 15200450 | Astieria-Mergel | Astieria-Mergel |
| 15202358 | Au-d'Arbignon-Schiefer | Au-d'Arbignon-Schiefer |
| 15202055 | Aubrig-Schichten | Aubrig-Schichten |
| 15203401 | Augengneis der Berisal-Decke | Augengneis der Berisal-Decke |
| 15203478 | Augengneis der Maggia-Decke | Augengneis der Maggia-Decke |
| 15206067 | Augengneis, undifferenziert | Augengneis, undifferenziert |
| 15204110 | Augsten-Brekzie | Augsten-Brekzie |
| 15203249 | Aul-Marmor | Aul-Marmor |
| 15203517 | Aula-Spruga-Gneiskomplex | Aula-Spruga-Gneiskomplex |
| 15202258 | Ausserberg-Avat-Zone | Ausserberg-Avat-Zone |
| 15202268 | Ausserbinn-Piz-Cavel-Zone | Ausserbinn-Piz-Cavel-Zone |
| 15202130 | Bachalp-Formation | Bachalp-Formation |
| 15200104 | Baden-Member | Baden-Member |
| 15200457 | Balmberg-Oolith | Balmberg-Oolith |
| 15202484 | Balmenegg-Granit | Balmenegg-Granit |
| 15203278 | Balmi-Member | Balmi-Member |
| 15200188 | Balsthal-Formation | Balsthal-Formation |
| 15200648 | Baltersweil-Nagelfluh | Baltersweil-Nagelfluh |
| 15202187 | Baltschieder-Granodiorit | Baltschieder-Granodiorit |
| 15202549 | Baltschieder-Granodiorit: Biotittonalit | Baltschieder-Granodiorit: Biotittonalit |
| 15202550 | Baltschieder-Granodiorit: Hornblende Biotittonalit | Baltschieder-Granodiorit: Hornblende Biotittonalit |
| 15202030 | Band-Member | Band-Member |
| 15206097 | Bänder- und Schollenamphibolit, undifferenziert | Bänder- und Schollenamphibolit, undifferenziert |

| GeolCode | Deutsch | Français |
|----------|--|--|
| 15203464 | Bänderamphibolit der Adlerflüe-Formation | Bänderamphibolit der Adlerflüe-Formation |
| 15203477 | Bändergneis der Maggia-Decke | Bändergneis der Maggia-Decke |
| 15203445 | Bändergneis der Monte-Rosa-Decke | Bändergneis der Monte-Rosa-Decke |
| 15206093 | Bändergneis, undifferenziert | Bändergneis, undifferenziert |
| 15200128 | Bänkerjoch-Formation | Bänkerjoch-Formation |
| 15202110 | Bannalp-Konglomerat | Bannalp-Konglomerat |
| 15200020 | Banné-Member | Banné-Member |
| 15204012 | Bardella-Formation | Bardella-Formation |
| 15202328 | Bäregg-Gneiskomplex | Bäregg-Gneiskomplex |
| 15202567 | Bäregg-Gneiskomplex: Metavulkanite | Bäregg-Gneiskomplex: Metavulkanite |
| 15202565 | Bäregg-Gneiskomplex: mylonitischer Orthogneis | Bäregg-Gneiskomplex: mylonitischer Orthogneis |
| 15202566 | Bäregg-Gneiskomplex: mylonitischer Paragneis | Bäregg-Gneiskomplex: mylonitischer Paragneis |
| 15203178 | Bärenhorn-Formation | Bärenhorn-Formation |
| 15203580 | Bärenhorn-Formation: Quarzsandstein | Bärenhorn-Formation: Quarzsandstein |
| 15203531 | Bargella-Brekzie | Bargella-Brekzie |
| 15200223 | Bärhalde-Granit | Bärhalde-Granit |
| 15203182 | Barrhorn-Serie | Barrhorn-Serie |
| 15200672 | Bärschwil- bis St-Ursanne-Formation, undifferenziert | Bärschwil- bis St-Ursanne-Formation, undifferenziert |
| 15200006 | Bärschwil-Formation | Bärschwil-Formation |
| 15203380 | Basale Tonschiefer der Grava- und Tomül-Decke | Basale Tonschiefer der Grava- und Tomül-Decke |
| 15202452 | Basaler Mines-Lias | Basaler Mines-Lias |
| 15203123 | Basaler Schlieren-Flysch | Basaler Schlieren-Flysch |
| 15205069 | Basaler Tuf | Basaler Tuf |
| 15202172 | Basales Konglomerat (Bifertengrätli) | Basales Konglomerat (Bifertengrätli) |
| 15205068 | Basalt | Basalt |
| 15206079 | Basalt, undifferenziert | Basalt, undifferenziert |
| 15200394 | Basisbildungen der USM-J | Basisbildungen der USM-J |
| 15206049 | Basischer Gang | Basischer Gang |
| 15200433 | Basiskonglomerat (der Luzern-Fm.) | Basiskonglomerat (der Luzern-Fm.) |
| 15203173 | Basiskonglomerat der Stätzerhorn-Gruppe | Basiskonglomerat der Stätzerhorn-Gruppe |
| 15203148 | Basisserie | Basisserie |
| 15200396 | Basler Juranagelfluh | Basler Juranagelfluh |
| 15203521 | Batnall-Gneis | Batnall-Gneis |
| 15202039 | Batöni-Member | Batöni-Member |

| GeolCode | Deutsch | Français |
|----------|--|--|
| 15203208 | Bavugls-Gruppe | Bavugls-Gruppe |
| 15203024 | Beaumont-Konglomerat | Beaumont-Konglomerat |
| 15202528 | Beesten-Fazies | Beesten-Fazies |
| 15200086 | Beggingen-Member | Beggingen-Member |
| 15200340 | Beichlen-Formation | Beichlen-Formation |
| 15200127 | Belchen-Member | Belchen-Member |
| 15204081 | Bellaluna-Member | Bellaluna-Member |
| 15205062 | Bellano-Formation | Bellano-Formation |
| 15200662 | Bellegarde-Bank | Bellegarde-Bank |
| 15200402 | Belpberg-Formation | Belpberg-Formation |
| 15205024 | Bergamo-Flysch | Bergamo-Flysch |
| 15206006 | Bergell-Granodiorit | Bergell-Granodiorit |
| 15206003 | Bergell-Intrusiva | Bergell-Intrusiva |
| 15206007 | Bergell-Tonalit | Bergell-Tonalit |
| 15202377 | Berglikehle-Bank | Berglikehle-Bank |
| 15200208 | Berlingen-Member | Berlingen-Member |
| 15205097 | Berrio-Gabbro | Berrio-Gabbro |
| 15205060 | Besano-Formation | Besano-Formation |
| 15205039 | Besazio-Kalk | Besazio-Kalk |
| 15202135 | Besoëns-Formation | Besoëns-Formation |
| 15202084 | Betlis-Formation | Betlis-Formation |
| 15203530 | Bettlerjoch-Brekzie | Bettlerjoch-Brekzie |
| 15202115 | Bietenhorn-Member | Bietenhorn-Member |
| 15202436 | Bifé-Formation | Bifé-Formation |
| 15202193 | Bifertenfirn-Formation | Bifertenfirn-Formation |
| 15202169 | Bifertengrätli-Formation | Bifertengrätli-Formation |
| 15206046 | Biogener Kalk (Eozän) | Biogener Kalk (Eozän) |
| 15203126 | Biot-Formation | Biot-Formation |
| 15206092 | Biotit-Plagioklasgneis, undifferenziert | Biotit-Plagioklasgneis, undifferenziert |
| 15203444 | Biotitgneis der Monte-Rosa-Decke | Biotitgneis der Monte-Rosa-Decke |
| 15200117 | Birmenstorf-Member | Birmenstorf-Member |
| 15200271 | Bischofzell-Bentonit | Bischofzell-Bentonit |
| 15202475 | Bitschji-Augengneis | Bitschji-Augengneis |
| 15200124 | Blagdeni-Schichten | Blagdeni-Schichten |
| 15200489 | Blagdeni-Subformation | Blagdeni-Subformation |
| 15204007 | Blais-Formation | Blais-Formation |
| 15204018 | Blaisun-Member | Blaisun-Member |
| 15200259 | Blapbach-Kohleflöz | Blapbach-Kohleflöz |
| 15202287 | Blattengrat-Sandstein | Blattengrat-Sandstein |
| 15200233 | Blauen-Granit | Blauen-Granit |
| 15200492 | Blaukalk-Subformation | Blaukalk-Subformation |
| 15202109 | Blegi-Eisenoolith | Blegi-Eisenoolith |
| 15200461 | Bleiglanz-Bank | Bleiglanz-Bank |
| 15203306 | Bleis-Pintgas-Formation | Bleis-Pintgas-Formation |
| 15202535 | Blockmergel (Spirstock) | Blockmergel (Spirstock) |
| 15203279 | Bodeflue-Member | Bodeflue-Member |

| GeolCode | Deutsch | Français |
|----------|--|--|
| 15200583 | Bodensee-Nagelfluh | Bodensee-Nagelfluh |
| 15202318 | Bodevena-Melange | Bodevena-Melange |
| 15203286 | Boëge-Mergel | Boëge-Mergel |
| 15200175 | Bohnerzton | Bohnerzton |
| 15203057 | Bois-de-Luan-Member | Bois-de-Luan-Member |
| 15200301 | Bois-de-Raube-Formation | Bois-de-Raube-Formation |
| 15200385 | Bois-de-Raube-Member | Bois-de-Raube-Member |
| 15200333 | Bois-Genoud-Bentonit | Bois-Genoud-Bentonit |
| 15200652 | Bôle-Member | Bôle-Member |
| 15200046 | Bollement-Member | Bollement-Member |
| 15200176 | Boluston | Boluston |
| 15202583 | Bommerstein- und Reischiben-Formation, undifferenziert | Bommerstein- und Reischiben-Formation, undifferenziert |
| 15202116 | Bommerstein-Formation | Bommerstein-Formation |
| 15203103 | Bonave-Formation | Bonave-Formation |
| 15203265 | Bonaveau-Kalk | Bonaveau-Kalk |
| 15203311 | Bonigersee-Augengneis | Bonigersee-Augengneis |
| 15200585 | Bonneville-Sandstein | Bonneville-Sandstein |
| 15202232 | Borel-Gneiskomplex | Borel-Gneiskomplex |
| 15203520 | Bosco-Gneis | Bosco-Gneis |
| 15203425 | Böshorn-Gneis | Böshorn-Gneis |
| 15200242 | Böttstein-Granit | Böttstein-Granit |
| 15205088 | Bouquetins-Quarzdiorit | Bouquetins-Quarzdiorit |
| 15200049 | Bözen-Member | Bözen-Member |
| 15204065 | Brachiopodenkalk-Member | Brachiopodenkalk-Member |
| 15203079 | Brand-Formation | Brand-Formation |
| 15200499 | Brand-Herrentisch-Tuffit | Brand-Herrentisch-Tuffit |
| 15203383 | Brasses-Formation | Brasses-Formation |
| 15200460 | Brauner Oolith | Brauner Oolith |
| 15205048 | Brecce Retiche | Brecce Retiche |
| 15200079 | Breitenmatt-Member | Breitenmatt-Member |
| 15203487 | Breithorn-Serpentinit | Breithorn-Serpentinit |
| 15203504 | Brekzie-Formation | Brekzie-Formation |
| 15200328 | Brendenbach-Mergel | Brendenbach-Mergel |
| 15205021 | Brenno-Formation | Brenno-Formation |
| 15202215 | Breya-Rhyolith | Breya-Rhyolith |
| 15203510 | Brione-Gabbro | Brione-Gabbro |
| 15202065 | Brisi-Kalk | Brisi-Kalk |
| 15202064 | Brisi-Member | Brisi-Member |
| 15202066 | Brisi-Sandstein | Brisi-Sandstein |
| 15202190 | Bristenstock-Syenit | Bristenstock-Syenit |
| 15205044 | Broccatello d'Arzo | Broccatello d'Arzo |
| 15200204 | Brot-Schichten | Brot-Schichten |
| 15200065 | Brüggli-Member | Brüggli-Member |
| 15203183 | Bruneggjoch-Formation | Bruneggjoch-Formation |
| 15203347 | Bruneggjoch-Metabauxit | Bruneggjoch-Metabauxit |
| 15202178 | Brunni-Granit | Brunni-Granit |

| GeolCode | Deutsch | Français |
|----------|---|---|
| 15202121 | Brunnistock-Formation | Brunnistock-Formation |
| 15200417 | Brüttelen- Muschelnagelfluh | Brüttelen- Muschelnagelfluh |
| 15200185 | Bryozoen-Mergel | Bryozoen-Mergel |
| 15204130 | Buffalora-Gruppe | Buffalora-Gruppe |
| 15202163 | Bugnei-Granodiorit | Bugnei-Granodiorit |
| 15200034 | Buix-Member | Buix-Member |
| 15202087 | Büls-Bank | Büls-Bank |
| 15200535 | Bumbach-Nagelfluh | Bumbach-Nagelfluh |
| 15206084 | Bündnerschiefer, kalkig | Bündnerschiefer, kalkig |
| 15206085 | Bündnerschiefer, tonig | Bündnerschiefer, tonig |
| 15206066 | Bündnerschiefer, undifferenziert | Bündnerschiefer, undifferenziert |
| 15200324 | Bunte Rigi-Nagelfluh | Bunte Rigi-Nagelfluh |
| 15203570 | Bunter schiefriger Dolomit und Rauwacke der Klippen-Decke | Bunter schiefriger Dolomit und Rauwacke der Klippen-Decke |
| 15202503 | Buntgefleckte Schiefer | Buntgefleckte Schiefer |
| 15200143 | Buntsandstein | Buntsandstein |
| 15200029 | Bure-Member | Bure-Member |
| 15202288 | Burg-Sandstein | Burg-Sandstein |
| 15202595 | Bürgen- und Wildstrubel-Formation, undiff. | Bürgen- und Wildstrubel-Formation, undiff. |
| 15202032 | Bürgen-Formation | Bürgen-Formation |
| 15200102 | Burghorn-Formation | Burghorn-Formation |
| 15203332 | Burgruinen-Gneis | Burgruinen-Gneis |
| 15200407 | Bütschelbach-Nagelfluh | Bütschelbach-Nagelfluh |
| 15203238 | Buufal-Konglomerat | Buufal-Konglomerat |
| 15202222 | Cacciola-Granit | Cacciola-Granit |
| 15205012 | Cagno-Sandstein | Cagno-Sandstein |
| 15200455 | Calcaire âpre | Calcaire âpre |
| 15200654 | Calcaire Roux | Calcaire Roux |
| 15200383 | Calcaire roux marneux | Calcaire roux marneux |
| 15205035 | Calcari a bivalvi planctonici | Calcari a bivalvi planctonici |
| 15202264 | Calmut-Gneiskomplex | Calmut-Gneiskomplex |
| 15203234 | Calpionellenkalk der Arosa-Zone | Calpionellenkalk der Arosa-Zone |
| 15203498 | Calpionellenkalk der Platta-Decke | Calpionellenkalk der Platta-Decke |
| 15204142 | Campocologno-Gabbro | Campocologno-Gabbro |
| 15200036 | Caquerelle-Pisolith | Caquerelle-Pisolith |
| 15204114 | Carale-Paraschiefer | Carale-Paraschiefer |
| 15202132 | Cardinia-Member | Cardinia-Member |
| 15203174 | Carnusa-Formation | Carnusa-Formation |
| 15205055 | Cassina-Bank | Cassina-Bank |
| 15205008 | Castel-di-Sotto-Ton | Castel-di-Sotto-Ton |

| GeolCode | Deutsch | Français |
|----------|---|---|
| 15202472 | Catogne-Gneiskomplex | Catogne-Gneiskomplex |
| 15205057 | Cava Inferiore | Cava Inferiore |
| 15205056 | Cava Superiore | Cava Superiore |
| 15203437 | Cavalli-Formation | Cavalli-Formation |
| 15202191 | Cavardiras-Gruppe | Cavardiras-Gruppe |
| 15204143 | Celerina-Orthogneis | Celerina-Orthogneis |
| 15205084 | Ceneri-Gneis | Ceneri-Gneis |
| 15203529 | Cenomanbrekzien-Serie | Cenomanbrekzien-Serie |
| 15200668 | Censeau-Mergel | Censeau-Mergel |
| 15202445 | Cernement-Member | Cernement-Member |
| 15200014 | Chailley-Member | Chailley-Member |
| 15203035 | Chällihorn-Member | Chällihorn-Member |
| 15200098 | Chambotte-Formation | Chambotte-Formation |
| 15200630 | Champ-Vuillerat-Süsswasserkalk | Champ-Vuillerat-Süsswasserkalk |
| 15202498 | Chamseeli-Konglomerat | Chamseeli-Konglomerat |
| 15203392 | Chandoline-Sandstein | Chandoline-Sandstein |
| 15204002 | Chanèls-Formation | Chanèls-Formation |
| 15202149 | Chartegg-Formation | Chartegg-Formation |
| 15204106 | Chaschauna-Brekzie | Chaschauna-Brekzie |
| 15202241 | Chastelhorn-Metagabbro | Chastelhorn-Metagabbro |
| 15200053 | Châtillon-Member | Châtillon-Member |
| 15203055 | Chauderon-Formation | Chauderon-Formation |
| 15203591 | Chavanette- und Rubli-Member, undifferenziert | Chavanette- und Rubli-Member, undifferenziert |
| 15203093 | Chavanette-Member | Chavanette-Member |
| 15204075 | Chazforà-Formation | Chazforà-Formation |
| 15203019 | Chenaux-Rouges-Formation | Chenaux-Rouges-Formation |
| 15203021 | Chenaux-Rouges-Mineralkruste | Chenaux-Rouges-Mineralkruste |
| 15202335 | Chéserys-Gneis | Chéserys-Gneis |
| 15203002 | Chesselbach-Formation | Chesselbach-Formation |
| 15200035 | Chestel-Member | Chestel-Member |
| 15203127 | Chétillon-Formation | Chétillon-Formation |
| 15203050 | Chevalets-Member | Chevalets-Member |
| 15200187 | Chevenez-Member | Chevenez-Member |
| 15205018 | Chiasso-Formation | Chiasso-Formation |
| 15206081 | Chloritschiefer, undifferenziert | Chloritschiefer, undifferenziert |
| 15203015 | Chlussli-Formation | Chlussli-Formation |
| 15200415 | Chnebelburg-Schichten | Chnebelburg-Schichten |
| 15202051 | Choltal-Member | Choltal-Member |
| 15202076 | Chopf-Bank | Chopf-Bank |
| 15202080 | Chriesiloch-Echinodermenkalk | Chriesiloch-Echinodermenkalk |
| 15202040 | Chruteren-Member | Chruteren-Member |

| GeolCode | Deutsch | Français |
|----------|---|---|
| 15202454 | Chrüzlistock-Migmatit | Chrüzlistock-Migmatit |
| 15203101 | Chumi-Formation | Chumi-Formation |
| 15203542 | Cima-Lunga-D.: Amphibolit | Cima-Lunga-D.: Amphibolit |
| 15203537 | Cima-Lunga-D.: Dolomitmarmor | Cima-Lunga-D.: Dolomitmarmor |
| 15203543 | Cima-Lunga-D.: Eklogit | Cima-Lunga-D.: Eklogit |
| 15203541 | Cima-Lunga-D.: Granatit | Cima-Lunga-D.: Granatit |
| 15203536 | Cima-Lunga-D.: Kalkschiefer und Marmor | Cima-Lunga-D.: Kalkschiefer und Marmor |
| 15203538 | Cima-Lunga-D.: Paragneis | Cima-Lunga-D.: Paragneis |
| 15203544 | Cima-Lunga-D.: Ultramafitit | Cima-Lunga-D.: Ultramafitit |
| 15200017 | Cladocoropsis-Kalk | Cladocoropsis-Kalk |
| 15204140 | Clavadatsch-Brekzie | Clavadatsch-Brekzie |
| 15202262 | Clavaniev-Zone | Clavaniev-Zone |
| 15203192 | Cleuson-Member | Cleuson-Member |
| 15203062 | Clôt-la-Cime-Formation | Clôt-la-Cime-Formation |
| 15204043 | Cluozza-Member | Cluozza-Member |
| 15203294 | Cocco-Gneis | Cocco-Gneis |
| 15203290 | Coicon-Serie | Coicon-Serie |
| 15203186 | Col-de-Chassoure- Formation | Col-de-Chassoure- Formation |
| 15203089 | Col-de-Cordon-Member | Col-de-Cordon-Member |
| 15202397 | Col-de-la-Plaine-Morte- Bank | Col-de-la-Plaine-Morte- Bank |
| 15203042 | Col-de-Lys-Member | Col-de-Lys-Member |
| 15203590 | Col-de-Tompey- und Agreblierai-Member, undifferenziert | Col-de-Tompey- und Agreblierai-Member, undifferenziert |
| 15203585 | Col-de-Tompey- und Bois-de-Luan-Member, undifferenziert | Col-de-Tompey- und Bois-de-Luan-Member, undifferenziert |
| 15203059 | Col-de-Tompey-Formation | Col-de-Tompey-Formation |
| 15202419 | Col-du-Jorat-Member | Col-du-Jorat-Member |
| 15205025 | Coldrerio-Flysch | Coldrerio-Flysch |
| 15203344 | Colerin-Konglomerat | Colerin-Konglomerat |
| 15203036 | Comba-d'Avau-Member | Comba-d'Avau-Member |
| 15203049 | Combe-du-Pissot- Formation | Combe-du-Pissot- Formation |
| 15200304 | Combe-Girard-Bentonit | Combe-Girard-Bentonit |
| 15200625 | Combe-Girard-Member | Combe-Girard-Member |
| 15205015 | Como-Konglomerat | Como-Konglomerat |
| 15200024 | Complexe récifal | Complexe récifal |
| 15200205 | Comptum-Bank | Comptum-Bank |
| 15202354 | Corandoni-Amphibolit | Corandoni-Amphibolit |
| 15200317 | Cornalle-Sandstein | Cornalle-Sandstein |

| GeolCode | Deutsch | Français |
|----------|---|---|
| 15204141 | Corno-di-Campo-Granodiorit | Corno-di-Campo-Granodiorit |
| 15203403 | Corno-Gneis | Corno-Gneis |
| 15202119 | Coroi-Formation | Coroi-Formation |
| 15203315 | Cortascia-Gneis | Cortascia-Gneis |
| 15204123 | Corvatsch-Granodiorit | Corvatsch-Granodiorit |
| 15203018 | Couches-Rouges-Gruppe | Couches-Rouges-Gruppe |
| 15203366 | Couches-Rouges (Falknis, Sulzfluh, Tasna) | Couches-Rouges (Falknis, Sulzfluh, Tasna) |
| 15203242 | Couches-Rouges der Brekzien-Decke | Couches-Rouges der Brekzien-Decke |
| 15203291 | Couches-Rouges der Klippen-Decke, undifferenziert | Couches-Rouges der Klippen-Decke, undifferenziert |
| 15203563 | Couches-Rouges der ZSK | Couches-Rouges der ZSK |
| 15203016 | Coulaytes-Melange | Coulaytes-Melange |
| 15203587 | Coulaytes-Melange und Cuvigne-Derrey-Formation, undifferenziert | Coulaytes-Melange und Cuvigne-Derrey-Formation, undifferenziert |
| 15200445 | Courcelon-Süsswasserkalk | Courcelon-Süsswasserkalk |
| 15200003 | Courgenay-Formation | Courgenay-Formation |
| 15200019 | Courtedoux-Member | Courtedoux-Member |
| 15200025 | Couvaloup-Member | Couvaloup-Member |
| 15202423 | Covayes-Formation | Covayes-Formation |
| 15204035 | Crappa-Mala-Mergel | Crappa-Mala-Mergel |
| 15200112 | Crenularis-Member | Crenularis-Member |
| 15200626 | Crêt-du-Loche-Formation | Crêt-du-Loche-Formation |
| 15200306 | Crêt-du-Loche-Formation, Gompholitfazies | Crêt-du-Loche-Formation, Gompholitfazies |
| 15200627 | Crêt-du-Loche-Formation, Mergelfazies | Crêt-du-Loche-Formation, Mergelfazies |
| 15200022 | Creugenat-Schichten | Creugenat-Schichten |
| 15203051 | Creux-de-l'Ours-Member | Creux-de-l'Ours-Member |
| 15202227 | Cristallina-Granodiorit | Cristallina-Granodiorit |
| 15200334 | Cuarny-Sandstein | Cuarny-Sandstein |
| 15200355 | Cucloz-Sandstein | Cucloz-Sandstein |
| 15200354 | Cucloz-Subformation | Cucloz-Subformation |
| 15200666 | Cul-du-Nozon-Bank | Cul-du-Nozon-Bank |
| 15205052 | Cunardo-Formation | Cunardo-Formation |
| 15202189 | Curtin-Monzodiorit | Curtin-Monzodiorit |
| 15203017 | Cuvigne-Derrey-Formation | Cuvigne-Derrey-Formation |
| 15200368 | Cyathulabank (Laufen-Becken) | Cyathulabank (Laufen-Becken) |
| 15200369 | Cyrenenmergel | Cyrenenmergel |
| 15202490 | Dachquarzit (Leventina) | Dachquarzit (Leventina) |
| 15202449 | Dammagletscher-Diorit | Dammagletscher-Diorit |
| 15203308 | Danis-Formation | Danis-Formation |
| 15200620 | Dardagny-Sandstein | Dardagny-Sandstein |

| GeolCode | Deutsch | Français |
|----------|---------------------------------------|---------------------------------------|
| 15200393 | Daubrée-Kalk | Daubrée-Kalk |
| 15200387 | Daubrée-Konglomerat | Daubrée-Konglomerat |
| 15200293 | Degersheim-Kalknagelfluh | Degersheim-Kalknagelfluh |
| 15200344 | Delémont-Süsswasserkalk | Delémont-Süsswasserkalk |
| 15203189 | Dent-de-Nendaz-Member | Dent-de-Nendaz-Member |
| 15200485 | Dentalienton-Formation | Dentalienton-Formation |
| 15200203 | Dewalquei-Kalk | Dewalquei-Kalk |
| 15206099 | Diabasgang, undifferenziert | Diabasgang, undifferenziert |
| 15202019 | Diablerets-Member | Diablerets-Member |
| 15200463 | Diagonalschichtiger Sandstein | Diagonalschichtiger Sandstein |
| 15204033 | Diavel-Formation | Diavel-Formation |
| 15202174 | Diechtergletscher- Formation | Diechtergletscher- Formation |
| 15200447 | Diegten-Süsswasserkalk | Diegten-Süsswasserkalk |
| 15200144 | Dinkelberg-Formation | Dinkelberg-Formation |
| 15206074 | Diorit, undifferenziert | Diorit, undifferenziert |
| 15202089 | Diphyoides-Kalk | Diphyoides-Kalk |
| 15202348 | Distelgrat-Gneis | Distelgrat-Gneis |
| 15203194 | Distulberg-Formation | Distulberg-Formation |
| 15203272 | Dogger der Klippen-Decke | Dogger der Klippen-Decke |
| 15202106 | Dogger des Helvetikums | Dogger des Helvetikums |
| 15200055 | Dogger des Juragebirges | Dogger des Juragebirges |
| 15204087 | Dogger des Ostalpins | Dogger des Ostalpins |
| 15205074 | Dogger des Südalpins | Dogger des Südalpins |
| 15206026 | Dogger, undifferenziert | Dogger, undifferenziert |
| 15205001 | Dolin-Gruppe | Dolin-Gruppe |
| 15205002 | Dolin-Kalkbrekzie | Dolin-Kalkbrekzie |
| 15203061 | Dolomies Blondes | Dolomies Blondes |
| 15205101 | Dolomit-Band (Meride) | Dolomit-Band (Meride) |
| 15205103 | Dolomit der Dolin-Gruppe | Dolomit der Dolin-Gruppe |
| 15202546 | Dolomit der Helvetische Trias | Dolomit der Helvetische Trias |
| 15203568 | Dolomit der Klippen-Decke | Dolomit der Klippen-Decke |
| 15203458 | Dolomit der Nordpenninische Trias | Dolomit der Nordpenninische Trias |
| 15203569 | Dolomit und Kalk der Klippen-Decke | Dolomit und Kalk der Klippen-Decke |
| 15206023 | Dolomit, undifferenziert | Dolomit, undifferenziert |
| 15203250 | Dolomitbrekzie (Terri) | Dolomitbrekzie (Terri) |
| 15206102 | Dolomitmarmor, undifferenziert | Dolomitmarmor, undifferenziert |
| 15200216 | Dolomitzone | Dolomitzone |
| 15202518 | Domérien-Sandstein | Domérien-Sandstein |
| 15203099 | Dorchaux-Member | Dorchaux-Member |
| 15202359 | Dorénaz-Konglomerat | Dorénaz-Konglomerat |
| 15204105 | Dorfberg-Gneis | Dorfberg-Gneis |

| GeolCode | Deutsch | Français |
|----------|--|--|
| 15203082 | Dorfflüe-Formation | Dorfflüe-Formation |
| 15204109 | Döss-Radond-Vulkanite | Döss-Radond-Vulkanite |
| 15200411 | Dreilinden-Nagelfluh | Dreilinden-Nagelfluh |
| 15203346 | Dréveneuse-Bauxit | Dréveneuse-Bauxit |
| 15202077 | Drusberg-Member | Drusberg-Member |
| 15204063 | Ducan-Formation | Ducan-Formation |
| 15202118 | Dugny-Formation | Dugny-Formation |
| 15202045 | Dünden-Konglomerat | Dünden-Konglomerat |
| 15200213 | Dünnlenberg-Bank | Dünnlenberg-Bank |
| 15202059 | Durschlägi-Bank | Durschlägi-Bank |
| 15202179 | Düssi-Diorit | Düssi-Diorit |
| 15202325 | Dzéman-Member | Dzéman-Member |
| 15200540 | Ebnat-Sandstein | Ebnat-Sandstein |
| 15200115 | Effingen-Member | Effingen-Member |
| 15203165 | Eggberg-Formation | Eggberg-Formation |
| 15200519 | Eggen-Member | Eggen-Member |
| 15200502 | Eichbol-Tuffit | Eichbol-Tuffit |
| 15203152 | Eichholztobel-Formation | Eichholztobel-Formation |
| 15200260 | Eimätteli-Member | Eimätteli-Member |
| 15202038 | Einsiedeln-Member | Einsiedeln-Member |
| 15202589 | Einsiedeln-Member, «Älterer Quarzsandstein» | Einsiedeln-Member, «Älterer Quarzsandstein» |
| 15202592 | Einsiedeln-Member, Alveolinenkalk-Fazies | Einsiedeln-Member, Alveolinenkalk-Fazies |
| 15204066 | Eisendolomit-Member | Eisendolomit-Member |
| 15206050 | Eklogit, undifferenziert | Eklogit, undifferenziert |
| 15202540 | Elm- und Matt-Formation, undifferenziert | Elm- und Matt-Formation, undifferenziert |
| 15202541 | Elm- und Matt-Formation: Quarzsandstein | Elm- und Matt-Formation: Quarzsandstein |
| 15202009 | Elm-Formation | Elm-Formation |
| 15200379 | Elsässer Molasse s.l. | Elsässer Molasse s.l. |
| 15200343 | Elsässer Molasse s.s. | Elsässer Molasse s.s. |
| 15203310 | Embd-Member | Embd-Member |
| 15204004 | Emmat-Formation | Emmat-Formation |
| 15202210 | Emosson-Glimmerschiefer | Emosson-Glimmerschiefer |
| 15202007 | Engi-Dachschiefer | Engi-Dachschiefer |
| 15202263 | Engi-Granit | Engi-Granit |
| 15200524 | Ennetbühl-Member | Ennetbühl-Member |
| 15200212 | Eptingen-Member | Eptingen-Member |
| 15203199 | Ergischhorn-Komplex | Ergischhorn-Komplex |
| 15200210 | Ergolz-Member | Ergolz-Member |
| 15200072 | Eriwis-Bank | Eriwis-Bank |
| 15200073 | Erlimoos-Bank | Erlimoos-Bank |
| 15203094 | Erpilles-Member | Erpilles-Member |
| 15204015 | Err-Brekzie | Err-Brekzie |
| 15204102 | Err-Granodiorit | Err-Granodiorit |
| 15202197 | Erstfeld-Gneiskomplex | Erstfeld-Gneiskomplex |

| GeolCode | Deutsch | Français |
|----------|--|--|
| 15202532 | Erstfeld-Gneiskomplex, permisch verwittert | Erstfeld-Gneiskomplex, permisch verwittert |
| 15202551 | Erstfeld-Gneiskomplex: Biotit-Plagioklasgneis | Erstfeld-Gneiskomplex: Biotit-Plagioklasgneis |
| 15202553 | Erstfeld-Gneiskomplex: Migmatit | Erstfeld-Gneiskomplex: Migmatit |
| 15202552 | Erstfeld-Gneiskomplex: Orthogneis | Erstfeld-Gneiskomplex: Orthogneis |
| 15202107 | Erzegg-Formation | Erzegg-Formation |
| 15200446 | Erzmatt-Krustenkalk | Erzmatt-Krustenkalk |
| 15203124 | Estavannens-Flysch | Estavannens-Flysch |
| 15200468 | Estherien-Schichten | Estherien-Schichten |
| 15202171 | Estuarisches Member | Estuarisches Member |
| 15200023 | Etiollets-Formation | Etiollets-Formation |
| 15200643 | Etzgen-Granit | Etzgen-Granit |
| 15202036 | Euthal-Formation | Euthal-Formation |
| 15202596 | Euthal-Formation und Steinbach-Member, undiff. | Euthal-Formation und Steinbach-Member, undiff. |
| 15202604 | Euthal-Formation: schwarzer schiefriger Tonstein | Euthal-Formation: schwarzer schiefriger Tonstein |
| 15203260 | Exergillod-Brekzie | Exergillod-Brekzie |
| 15203167 | Fadura-Formation | Fadura-Formation |
| 15200279 | Falätschen-Mergel | Falätschen-Mergel |
| 15203326 | Fäldbach-Gruppe | Fäldbach-Gruppe |
| 15203216 | Falknis-Brekzie | Falknis-Brekzie |
| 15203210 | Falknis-Flysch | Falknis-Flysch |
| 15203499 | Falotta-Radiolarit | Falotta-Radiolarit |
| 15202278 | Fanee-Trias | Fanee-Trias |
| 15204041 | Fanez-Dolomit | Fanez-Dolomit |
| 15204039 | Fanez-Formation | Fanez-Formation |
| 15203144 | Fanola-Formation | Fanola-Formation |
| 15200084 | Fasiswald-Member | Fasiswald-Member |
| 15204096 | Fedoz-Gneiskomplex | Fedoz-Gneiskomplex |
| 15204097 | Fedoz-Metagabbro | Fedoz-Metagabbro |
| 15200275 | Fellitobel-Süsswasserkalk | Fellitobel-Süsswasserkalk |
| 15203372 | Ferret-Schiefer | Ferret-Schiefer |
| 15200196 | Ferrugineus-Oolith | Ferrugineus-Oolith |
| 15203228 | Fêta-d'Août-Flysch | Fêta-d'Août-Flysch |
| 15202230 | Fibbia-Granit | Fibbia-Granit |
| 15203138 | Filamentkalk | Filamentkalk |
| 15205133 | Finero-Peridotit | Finero-Peridotit |
| 15200364 | Fischschiefer | Fischschiefer |
| 15203214 | Fleckenkalk-Flysch (Neokom) | Fleckenkalk-Flysch (Neokom) |
| 15202041 | Fliegenspitz-Member | Fliegenspitz-Member |
| 15203497 | Flix-Schichten | Flix-Schichten |
| 15204104 | Flüela-Augnengneis | Flüela-Augnengneis |

| GeolCode | Deutsch | Français |
|----------|--|--|
| 15200556 | Flühli-Nagelfluh | Flühli-Nagelfluh |
| 15203115 | Flysch 2a tonig-sandig | Flysch 2a tonig-sandig |
| 15203114 | Flysch 2b mit sandigen Turbiditen | Flysch 2b mit sandigen Turbiditen |
| 15203113 | Flysch 3a mergelig-sandig | Flysch 3a mergelig-sandig |
| 15203112 | Flysch 3b mit bioklastischen Turbiditen | Flysch 3b mit bioklastischen Turbiditen |
| 15203111 | Flysch 4 mit siltigen Turbiditen | Flysch 4 mit siltigen Turbiditen |
| 15203284 | Flysch 5, mit kieseligen Mikrokonglomeraten | Flysch 5, mit kieseligen Mikrokonglomeraten |
| 15206115 | Flysch, undifferenziert | Flysch, undifferenziert |
| 15202323 | Foostock-Member | Foostock-Member |
| 15200365 | Foraminiferenmergel | Foraminiferenmergel |
| 15203135 | Foraminiferenschichten | Foraminiferenschichten |
| 15203008 | Forclaz-Member | Forclaz-Member |
| 15203022 | Forclettes-Formation | Forclettes-Formation |
| 15203316 | Forcoletta-Gneis | Forcoletta-Gneis |
| 15202033 | Foribach-Member | Foribach-Member |
| 15200330 | Formation der Granitischen Molasse | Formation der Granitischen Molasse |
| 15205095 | Fornale-Gabbro | Fornale-Gabbro |
| 15203342 | Forno-Amphibolit | Forno-Amphibolit |
| 15200651 | Fort-de-l'Ecluse-Member | Fort-de-l'Ecluse-Member |
| 15204117 | Forun-Augengneis | Forun-Augengneis |
| 15202277 | Fossilmarmor | Fossilmarmor |
| 15203134 | Fouyet-Formation | Fouyet-Formation |
| 15202031 | Fräkmünt-Member | Fräkmünt-Member |
| 15202069 | Freschen-Member | Freschen-Member |
| 15200409 | Freudenberg-Nagelfluh | Freudenberg-Nagelfluh |
| 15200082 | Frick-Member | Frick-Member |
| 15200230 | Frühvariszische Intrusiva der Nordschweiz | Frühvariszische Intrusiva der Nordschweiz |
| 15202333 | Frühvariszische Intrusiva des Aiguilles-Rouges-Massivs | Frühvariszische Intrusiva des Aiguilles-Rouges-Massivs |
| 15203005 | Frutigen-Formation | Frutigen-Formation |
| 15203524 | Frutigen-Formation, Conglomérat intermédiaire | Frutigen-Formation, Conglomérat intermédiaire |
| 15203525 | Frutigen-Formation, Schistes inférieurs | Frutigen-Formation, Schistes inférieurs |
| 15202029 | Fruttli-Member | Fruttli-Member |
| 15202177 | Fruttstock-Gruppe | Fruttstock-Gruppe |
| 15206063 | Fuchsit-Zoisitschiefer, undifferenziert | Fuchsit-Zoisitschiefer, undifferenziert |
| 15202150 | Fuggstock-Member | Fuggstock-Member |
| 15202494 | Fulen-Formation | Fulen-Formation |
| 15200182 | Fulie-Member | Fulie-Member |

| GeolCode | Deutsch | Français |
|----------|------------------------------------|------------------------------------|
| 15202482 | Fully-Gneiskomplex | Fully-Gneiskomplex |
| 15202202 | Fully-Granodiorit | Fully-Granodiorit |
| 15202350 | Fuorcla-Paradis-Serpentinit | Fuorcla-Paradis-Serpentinit |
| 15204070 | Fuorn-Formation | Fuorn-Formation |
| 15200198 | Furcil-Mergel | Furcil-Mergel |
| 15203438 | Furgg-Serie | Furgg-Serie |
| 15200215 | Fützen-Bank | Fützen-Bank |
| 15206075 | Gabbro, undifferenziert | Gabbro, undifferenziert |
| 15200496 | Gabelspitz-Schichten | Gabelspitz-Schichten |
| 15200515 | Gäbris-Nagelfluh | Gäbris-Nagelfluh |
| 15200087 | Gächlingen-Bank | Gächlingen-Bank |
| 15202127 | Galm-Member | Galm-Member |
| 15203393 | Gälmji-Gneiss | Gälmji-Gneiss |
| 15202067 | Gams-Schichten | Gams-Schichten |
| 15202228 | Gamsboden-Granit | Gamsboden-Granit |
| 15206024 | Ganggesteine, undifferenziert | Ganggesteine, undifferenziert |
| 15203514 | Ganna-Gneis | Ganna-Gneis |
| 15202353 | Ganneretsch-Gneis | Ganneretsch-Gneis |
| 15200209 | Gansingen-Member | Gansingen-Member |
| 15203321 | Ganter-Gneis | Ganter-Gneis |
| 15206073 | Garbenschiefer, undifferenziert | Garbenschiefer, undifferenziert |
| 15203227 | Garde-de-Bordon-Serie | Garde-de-Bordon-Serie |
| 15203254 | Garenstock-Augengneis | Garenstock-Augengneis |
| 15204048 | Garone-Formation | Garone-Formation |
| 15202052 | Garschella-Formation | Garschella-Formation |
| 15202329 | Gärsthorn-Gneiskomplex | Gärsthorn-Gneiskomplex |
| 15202529 | Garwiidi-Diorit | Garwiidi-Diorit |
| 15203377 | Garzott-Brekzie | Garzott-Brekzie |
| 15203154 | Gaschlo-Formation | Gaschlo-Formation |
| 15202095 | Gassen-Kalk | Gassen-Kalk |
| 15202158 | Gastern-Granit | Gastern-Granit |
| 15203086 | Gastlosen-Oolith | Gastlosen-Oolith |
| 15202476 | Geimen-Augengneis | Geimen-Augengneis |
| 15202305 | Geissbach-Konglomerat | Geissbach-Konglomerat |
| 15200113 | Geissberg-Member | Geissberg-Member |
| 15203323 | Geisspfad-Serpentinit | Geisspfad-Serpentinit |
| 15203200 | Gelbhorn-Flysch | Gelbhorn-Flysch |
| 15202021 | Gemmenalp-Kalk | Gemmenalp-Kalk |
| 15202082 | Gemsmättli-Bank | Gemsmättli-Bank |
| 15200537 | Gérignoz-Formation | Gérignoz-Formation |
| 15203032 | Gérignoz-Kalk | Gérignoz-Kalk |
| 15200389 | Geröllsande | Geröllsande |
| 15200683 | Gersbach-Schiefer | Gersbach-Schiefer |
| 15200116 | Gerstenhübel-Bank | Gerstenhübel-Bank |
| 15203245 | Gets-Ophiolith | Gets-Ophiolith |
| 15202293 | Ghölzwald-Member | Ghölzwald-Member |

| GeolCode | Deutsch | Français |
|----------|---|---|
| 15203567 | Gibel- und Griggeli-Formation | Gibel- und Griggeli-Formation |
| 15203069 | Gibel-Formation | Gibel-Formation |
| 15203071 | Gibel-Member | Gibel-Member |
| 15203399 | Ginals-Gneis | Ginals-Gneis |
| 15200074 | Gipf-Bank | Gipf-Bank |
| 15202548 | Gips der Helvetische Trias | Gips der Helvetische Trias |
| 15203241 | Gips der Klippen-Decke | Gips der Klippen-Decke |
| 15204145 | Gips der Raibl-Gruppe | Gips der Raibl-Gruppe |
| 15203526 | Gips der Zone Submédiane | Gips der Zone Submédiane |
| 15206021 | Gips, undifferenziert | Gips, undifferenziert |
| 15203572 | Gipsmergel und Sandstein der Klippen-Decke | Gipsmergel und Sandstein der Klippen-Decke |
| 15200200 | Gisliflue-Korallenkalk | Gisliflue-Korallenkalk |
| 15200628 | Gitzigrabe-Grobsandstein | Gitzigrabe-Grobsandstein |
| 15200528 | Gitzischöpf-Nagelfluh | Gitzischöpf-Nagelfluh |
| 15200632 | Gitzitobel-Süsswasserkalk | Gitzitobel-Süsswasserkalk |
| 15202339 | Giubine-Gneiskomplex | Giubine-Gneiskomplex |
| 15205083 | Giumello-Gneis | Giumello-Gneis |
| 15202188 | Giuv-Syenit | Giuv-Syenit |
| 15203421 | Glanzschiefer der Zermatt-Saas-Decke | Glanzschiefer der Zermatt-Saas-Decke |
| 15202144 | Glarus-Verrucano | Glarus-Verrucano |
| 15200180 | Glassand | Glassand |
| 15202495 | Glattmatt-Member | Glattmatt-Member |
| 15200480 | Glaukonitsandmergel-Subformation | Glaukonitsandmergel-Subformation |
| 15206065 | Glaukophanschiefer, undifferenziert | Glaukophanschiefer, undifferenziert |
| 15200274 | Glimmersandstein-Formation | Glimmersandstein-Formation |
| 15205118 | Glimmerschiefer der Arolla-Gruppe | Glimmerschiefer der Arolla-Gruppe |
| 15203446 | Glimmerschiefer der Monte-Rosa-Decke | Glimmerschiefer der Monte-Rosa-Decke |
| 15205132 | Glimmerschiefer der Sesia-Decke | Glimmerschiefer der Sesia-Decke |
| 15206072 | Glimmerschiefer, undifferenziert | Glimmerschiefer, undifferenziert |
| 15203211 | Globorotalien-Schichten | Globorotalien-Schichten |
| 15202416 | Glockhaus-Member | Glockhaus-Member |
| 15202545 | Glockhaus-Member: Schieferiger Eisensandstein | Glockhaus-Member: Schieferiger Eisensandstein |
| 15205110 | Gneis der Arolla-Gruppe, mikroaugig | Gneis der Arolla-Gruppe, mikroaugig |
| 15205109 | Gneis der Arolla-Gruppe, mylonitisch | Gneis der Arolla-Gruppe, mylonitisch |

| GeolCode | Deutsch | Français |
|----------|---|---|
| 15206070 | Gneis, undifferenziert | Gneis, undifferenziert |
| 15203247 | Gneisquarzit der Zone Piz Terri - Lunschania | Gneisquarzit der Zone Piz Terri - Lunschania |
| 15203364 | Gneiss basale (Lebendun) | Gneiss basale (Lebendun) |
| 15204001 | God-Drosa-Flysch | God-Drosa-Flysch |
| 15200511 | Golat-Süsswasserkalk | Golat-Süsswasserkalk |
| 15200661 | Goldberg- bis Vuache-Formation, undifferenziert | Goldberg- bis Vuache-Formation, undifferenziert |
| 15200156 | Goldberg-Formation | Goldberg-Formation |
| 15200410 | Goldbrunnen-Schichten | Goldbrunnen-Schichten |
| 15200361 | Goldegg-Sandstein | Goldegg-Sandstein |
| 15203190 | Goli-d'Aget-Member | Goli-d'Aget-Member |
| 15202256 | Goltschenried-Formation | Goltschenried-Formation |
| 15202267 | Goms-Gneiskomplex | Goms-Gneiskomplex |
| 15202510 | Gonzen-Eisenerzhorizont | Gonzen-Eisenerzhorizont |
| 15200092 | Gorges-de-l'Orbe- und Vallorbe-Formation, undifferenziert | Gorges-de-l'Orbe- und Vallorbe-Formation, undifferenziert |
| 15200096 | Gorges-de-l'Orbe-Formation | Gorges-de-l'Orbe-Formation |
| 15204115 | Gosau-Gruppe | Gosau-Gruppe |
| 15200488 | Gosheim-Formation | Gosheim-Formation |
| 15203187 | Gouille-Verte-Member | Gouille-Verte-Member |
| 15200547 | Goumoëns-Sandstein | Goumoëns-Sandstein |
| 15204067 | Gracilis-Member | Gracilis-Member |
| 15200043 | Graitery-Member | Graitery-Member |
| 15206098 | Granatamphibolit, undifferenziert | Granatamphibolit, undifferenziert |
| 15206068 | Granatglimmerschiefer, undifferenziert | Granatglimmerschiefer, undifferenziert |
| 15205098 | Grand-Dolin-Brekzie | Grand-Dolin-Brekzie |
| 15200660 | Grand-Essert- bis Narlay-Formation, undifferenziert | Grand-Essert- bis Narlay-Formation, undifferenziert |
| 15200150 | Grand-Essert-Formation | Grand-Essert-Formation |
| 15203267 | Grand-Herba-Kalk | Grand-Herba-Kalk |
| 15203054 | Grande-Bonavau-Formation | Grande-Bonavau-Formation |
| 15203589 | Grande-Bonavau-Formation und Formation spathique, undifferenziert | Grande-Bonavau-Formation und Formation spathique, undifferenziert |
| 15203006 | Grande-Eau-Formation | Grande-Eau-Formation |
| 15200670 | Grande-Varappe-Bank | Grande-Varappe-Bank |
| 15206032 | Granit, undifferenziert | Granit, undifferenziert |
| 15202246 | Granitartige Gesteine | Granitartige Gesteine |
| 15202260 | Granitischer Gneis der Ausserberg-Avat-Zone | Granitischer Gneis der Ausserberg-Avat-Zone |

| GeolCode | Deutsch | Français |
|----------|---|---|
| 15205066 | Granophyr | Granophyr |
| 15206071 | Graphitschiefer, undifferenziert | Graphitschiefer, undifferenziert |
| 15202094 | Graspass-Member | Graspass-Member |
| 15200392 | Graue Molasse | Graue Molasse |
| 15200564 | Graupensand | Graupensand |
| 15200037 | Grellingen-Member | Grellingen-Member |
| 15200063 | Grenchenberg-Member | Grenchenberg-Member |
| 15200467 | Grenzdolomit | Grenzdolomit |
| 15200481 | Grenzkalk | Grenzkalk |
| 15200016 | Grenznerineen-Bank | Grenznerineen-Bank |
| 15205037 | Grenzposidonienschichten | Grenzposidonienschichten |
| 15202525 | Grenzquarzit der Bommerstein-Formation | Grenzquarzit der Bommerstein-Formation |
| 15202473 | Grépillon- Leukogranitporphyr | Grépillon- Leukogranitporphyr |
| 15203009 | Grès de Passage | Grès de Passage |
| 15200336 | Grès et Marnes Gris à Gypse | Grès et Marnes Gris à Gypse |
| 15203480 | Grosso-Someo-Zone | Grosso-Someo-Zone |
| 15202138 | Griaz-Member | Griaz-Member |
| 15203068 | Griggeli-Bank | Griggeli-Bank |
| 15203066 | Griggeli-Formation | Griggeli-Formation |
| 15200422 | Grilly-Süßwasserkalk | Grilly-Süßwasserkalk |
| 15200414 | Grimmelfingen-Formation | Grimmelfingen-Formation |
| 15202161 | Grimsel-Granodiorit | Grimsel-Granodiorit |
| 15202568 | Grimsel-Granodiorit: aplitische Randfazies | Grimsel-Granodiorit: aplitische Randfazies |
| 15200550 | Grindelegg-Formation | Grindelegg-Formation |
| 15202043 | Grindelwald-Marmor | Grindelwald-Marmor |
| 15202322 | Grisch-Member | Grisch-Member |
| 15200352 | Grisigen-Mergel | Grisigen-Mergel |
| 15202317 | Gros-Plané-Melange | Gros-Plané-Melange |
| 15200071 | Gross-Wolf-Member | Gross-Wolf-Member |
| 15202380 | Grotzen-Austernbank | Grotzen-Austernbank |
| 15203511 | Gruf-Migmatit | Gruf-Migmatit |
| 15200207 | Gruhalde-Member | Gruhalde-Member |
| 15203447 | Grundberg-Serie | Grundberg-Serie |
| 15200194 | Grüne Mumienbank | Grüne Mumienbank |
| 15206036 | Grüngestein, undifferenziert | Grüngestein, undifferenziert |
| 15203467 | Grüngesteine der Distulberg-Formation | Grüngesteine der Distulberg-Formation |
| 15203179 | Grüngesteine der Grava- und Tomül-Decke | Grüngesteine der Grava- und Tomül-Decke |
| 15202173 | Grünhorn-Member («Vulkanisches Member») | Grünhorn-Member («Vulkanisches Member») |
| 15200081 | Grünschholz-Member | Grünschholz-Member |

| GeolCode | Deutsch | Français |
|----------|--|--|
| 15202071 | Grüntten-Member | Grüntten-Member |
| 15202008 | Gruontal-Konglomerat | Gruontal-Konglomerat |
| 15205028 | Gruppe der Scaglia Lombarda | Gruppe der Scaglia Lombarda |
| 15205023 | Gruppe des Lombardischen Flysch | Gruppe des Lombardischen Flysch |
| 15205010 | Gruppe des Lombardischen Gompfolit | Gruppe des Lombardischen Gompfolit |
| 15202442 | Gryonne-Formation | Gryonne-Formation |
| 15200516 | Gstaldenbach-Member | Gstaldenbach-Member |
| 15203121 | Guber-Sandstein | Guber-Sandstein |
| 15203131 | Gueyras-Komplex | Gueyras-Komplex |
| 15202501 | Gufelialp-Member | Gufelialp-Member |
| 15200657 | Gugenmühle-Member | Gugenmühle-Member |
| 15200298 | Guggershorn-Formation | Guggershorn-Formation |
| 15200099 | Guiers-Member | Guiers-Member |
| 15200425 | Gümnenen-Formation | Gümnenen-Formation |
| 15203083 | Gummfluh-Mikrofazies | Gummfluh-Mikrofazies |
| 15200573 | Günsberg- und Vellerat-Formation, undifferenziert | Günsberg- und Vellerat-Formation, undifferenziert |
| 15200160 | Günsberg-, Vellerat-, Villigen-, Balsthal- und Courgenay-Formation, undifferenziert | Günsberg-, Vellerat-, Villigen-, Balsthal- und Courgenay-Formation, undifferenziert |
| 15200118 | Günsberg-Formation | Günsberg-Formation |
| 15200321 | Gunten-Quarzitnagelfluh | Gunten-Quarzitnagelfluh |
| 15202111 | Guppen-Fossilhorizont | Guppen-Fossilhorizont |
| 15203110 | Gurnigel-Flysch | Gurnigel-Flysch |
| 15202112 | Gursbach-Fossilhorizont | Gursbach-Fossilhorizont |
| 15202242 | Gurschen-Gneis | Gurschen-Gneis |
| 15202509 | Guschakopf-Sandstein | Guschakopf-Sandstein |
| 15202243 | Guspis-Gneis | Guspis-Gneis |
| 15204084 | Güstizia-Gneis | Güstizia-Gneis |
| 15204068 | Gutenstein-Formation | Gutenstein-Formation |
| 15202198 | Guttannen-Gneiskomplex | Guttannen-Gneiskomplex |
| 15202575 | Guttannen-Gneiskomplex: Amphibolit führend | Guttannen-Gneiskomplex: Amphibolit führend |
| 15202576 | Guttannen-Gneiskomplex: aplitischer Granit | Guttannen-Gneiskomplex: aplitischer Granit |
| 15202556 | Guttannen-Gneiskomplex: Biotit-Choritschiefer | Guttannen-Gneiskomplex: Biotit-Choritschiefer |
| 15202557 | Guttannen-Gneiskomplex: Chlorit-Serizitschiefer | Guttannen-Gneiskomplex: Chlorit-Serizitschiefer |
| 15202577 | Guttannen-Gneiskomplex: Marmor | Guttannen-Gneiskomplex: Marmor |
| 15202574 | Guttannen-Gneiskomplex: Migmatit | Guttannen-Gneiskomplex: Migmatit |

| GeolCode | Deutsch | Français |
|----------|---|---|
| 15202555 | Guttannen-Gneiskomplex: Orthogneis | Guttannen-Gneiskomplex: Orthogneis |
| 15202554 | Guttannen-Gneiskomplex: Paragneis | Guttannen-Gneiskomplex: Paragneis |
| 15202585 | Guttannen-Gneiskomplex: schieferiger Biotit-Chlorit-Serizit-Gneis | Guttannen-Gneiskomplex: schieferiger Biotit-Chlorit-Serizit-Gneis |
| 15202578 | Guttannen-Gneiskomplex: Ultramafit | Guttannen-Gneiskomplex: Ultramafit |
| 15202313 | Gwürz-Flysch | Gwürz-Flysch |
| 15203166 | Gyrenspitz-Formation | Gyrenspitz-Formation |
| 15202316 | Habkern-Granit | Habkern-Granit |
| 15202001 | Habkern-Melange | Habkern-Melange |
| 15202496 | Hahnenstock-Keratophyr | Hahnenstock-Keratophyr |
| 15200566 | Haldenhof-Mergel | Haldenhof-Mergel |
| 15200090 | Hallau-Bank | Hallau-Bank |
| 15200486 | Hamitenton-Formation | Hamitenton-Formation |
| 15200469 | Hangende-Bankkalke- Formation | Hangende-Bankkalke- Formation |
| 15202157 | Haslital-Gruppe | Haslital-Gruppe |
| 15200241 | Hauenstein-Granit | Hauenstein-Granit |
| 15200069 | Hauenstein-Member | Hauenstein-Member |
| 15205050 | Hauptdolomit | Hauptdolomit |
| 15204150 | Hauptdolomit-Gr.: bituminöse Dolomitbrekzie | Hauptdolomit-Gr.: bituminöse Dolomitbrekzie |
| 15204030 | Hauptdolomit-Gruppe | Hauptdolomit-Gruppe |
| 15204127 | Haupter-Brekzie | Haupter-Brekzie |
| 15200030 | Hauptmumienbank- Member | Hauptmumienbank- Member |
| 15200008 | Hauptrogenstein | Hauptrogenstein |
| 15203263 | Hauta-Crêtaz-Formation | Hauta-Crêtaz-Formation |
| 15203382 | Haute-Pointe-Formation | Haute-Pointe-Formation |
| 15200152 | Hauterive-Mergel | Hauterive-Mergel |
| 15200458 | Hautes-Roches-Algenkalk | Hautes-Roches-Algenkalk |
| 15200264 | Hegau-Basalt | Hegau-Basalt |
| 15200266 | Hegau-Deckentuffe | Hegau-Deckentuffe |
| 15200265 | Hegau-Phonolith | Hegau-Phonolith |
| 15200263 | Hegau-Vulkanite | Hegau-Vulkanite |
| 15200517 | Heiden-Member | Heiden-Member |
| 15203586 | Heiti- und Rossinière-Formation, undifferenziert | Heiti- und Rossinière-Formation, undifferenziert |
| 15203048 | Heiti-Formation | Heiti-Formation |
| 15200565 | Heliciden-Mergel | Heliciden-Mergel |
| 15203116 | Hellstätt-Formation | Hellstätt-Formation |
| 15202079 | Helvetischer Kieselkalk | Helvetischer Kieselkalk |
| 15202515 | Helvetischer Kieselkalk, Basisschiefer | Helvetischer Kieselkalk, Basisschiefer |

| GeolCode | Deutsch | Français |
|----------|---------------------------------------|---------------------------------------|
| 15202513 | Helvetischer Kieselkalk, Oberer Teil | Helvetischer Kieselkalk, Oberer Teil |
| 15202514 | Helvetischer Kieselkalk, Unterer Teil | Helvetischer Kieselkalk, Unterer Teil |
| 15200684 | Herdern-Streifengneis | Herdern-Streifengneis |
| 15200044 | Herznach-Member | Herznach-Member |
| 15200339 | Heuboden-Äschitannen-Nagelfluh | Heuboden-Äschitannen-Nagelfluh |
| 15204022 | Hierlatz-Kalk | Hierlatz-Kalk |
| 15200358 | Hilfern-Formation | Hilfern-Formation |
| 15202483 | Hinterbalm-Granit | Hinterbalm-Granit |
| 15200068 | Hirnichopf-Member | Hirnichopf-Member |
| 15200525 | Hochalp-Member | Hochalp-Member |
| 15200268 | Höchegg-Brekzie | Höchegg-Brekzie |
| 15200523 | Hochfläschli-Member | Hochfläschli-Member |
| 15202070 | Hochkugel-Schichten | Hochkugel-Schichten |
| 15203020 | Hochmatt-Kalkarenit | Hochmatt-Kalkarenit |
| 15202363 | Höchst-Flysch | Höchst-Flysch |
| 15202113 | Hochstollen-Formation | Hochstollen-Formation |
| 15200501 | Hohenolber-Tuffit | Hohenolber-Tuffit |
| 15200655 | Hohentengen-Formation | Hohentengen-Formation |
| 15202022 | Hohgant-Sandstein | Hohgant-Sandstein |
| 15202593 | Hohgant-Sandstein, Sandkalk und Kalk | Hohgant-Sandstein, Sandkalk und Kalk |
| 15200315 | Höhronen-Nagelfluh | Höhronen-Nagelfluh |
| 15203091 | Holzerhorn-Einheit | Holzerhorn-Einheit |
| 15203324 | Holzerspitz-Gruppe | Holzerspitz-Gruppe |
| 15203325 | Holzerspitz-Kalkschiefer | Holzerspitz-Kalkschiefer |
| 15200190 | Holzflue-Member | Holzflue-Member |
| 15200513 | Hombach-Member | Hombach-Member |
| 15200514 | Homberg-Formation | Homberg-Formation |
| 15200178 | Homomya-Mergel | Homomya-Mergel |
| 15200529 | Honegg-Mergel | Honegg-Mergel |
| 15200299 | Horgen-Käpfnach-Süsswasserkalk | Horgen-Käpfnach-Süsswasserkalk |
| 15205115 | Hornblendegabbro der Arolla-Decke | Hornblendegabbro der Arolla-Decke |
| 15206091 | Hornblendegneis, undifferenziert | Hornblendegneis, undifferenziert |
| 15200111 | Hornbuck-Member | Hornbuck-Member |
| 15200646 | Hornbüel-Melange | Hornbüel-Melange |
| 15206090 | Hornfels, undifferenziert | Hornfels, undifferenziert |
| 15203080 | Horngraben-Formation | Horngraben-Formation |
| 15200297 | Hörnli-Formation | Hörnli-Formation |
| 15200267 | Hörnligipfel-Nagelfluh | Hörnligipfel-Nagelfluh |
| 15200269 | Hörnligubel-Mergel | Hörnligubel-Mergel |
| 15200350 | Horw-Sandstein | Horw-Sandstein |
| 15200292 | Hüllistein-Konglomerat | Hüllistein-Konglomerat |

| GeolCode | Deutsch | Français |
|----------|---|---|
| 15200066 | Humphriesi-Schichten | Humphriesi-Schichten |
| 15200490 | Humphriesioolith-Subformation | Humphriesioolith-Subformation |
| 15203140 | Hundsrügg-Formation | Hundsrügg-Formation |
| 15200531 | Hünibach-Nagelfluh | Hünibach-Nagelfluh |
| 15200177 | Hupper | Hupper |
| 15202381 | Hurst-Mergel | Hurst-Mergel |
| 15203428 | Hyperaugengneis der Monte-Leone-Decke | Hyperaugengneis der Monte-Leone-Decke |
| 15202308 | Iberg-Melange | Iberg-Melange |
| 15200007 | Ifenthal-Formation | Ifenthal-Formation |
| 15202508 | Ignimbritisches Member (Tscharren) | Ignimbritisches Member (Tscharren) |
| 15202153 | Ilanz-Verrucano | Ilanz-Verrucano |
| 15202502 | Ilanz-Verrucano s.s. | Ilanz-Verrucano s.s. |
| 15200478 | Impressamergel-Formation | Impressamergel-Formation |
| 15202122 | Inferno-Formation | Inferno-Formation |
| 15202402 | Inferno-Formation, Mittlerer Teil | Inferno-Formation, Mittlerer Teil |
| 15202401 | Inferno-Formation, Oberer Teil | Inferno-Formation, Oberer Teil |
| 15202403 | Inferno-Formation, Unterer Teil | Inferno-Formation, Unterer Teil |
| 15206016 | Informelle Zuordnung | Informelle Zuordnung |
| 15203282 | Infrabrèche-Melange | Infrabrèche-Melange |
| 15202307 | Infrapräalpines Melange | Infrapräalpines Melange |
| 15202195 | Innertkirchen-Migmatit | Innertkirchen-Migmatit |
| 15202531 | Innertkirchen-Migmatit, permisch verwittert | Innertkirchen-Migmatit, permisch verwittert |
| 15202573 | Innertkirchen-Migmatit: Marmor | Innertkirchen-Migmatit: Marmor |
| 15202168 | Intschi-Formation | Intschi-Formation |
| 15203034 | Intyamon-Formation | Intyamon-Formation |
| 15202311 | Isentobel-Komplex | Isentobel-Komplex |
| 15202521 | Iserin-Flysch | Iserin-Flysch |
| 15205134 | Ivrea Mafischer Komplex | Ivrea Mafischer Komplex |
| 15202424 | Javrex-Formation | Javrex-Formation |
| 15200399 | Jensberg-Schichten | Jensberg-Schichten |
| 15203215 | Jes-Formation | Jes-Formation |
| 15202015 | Jochstock-Konglomerat | Jochstock-Konglomerat |
| 15202432 | Jogne-Formation | Jogne-Formation |
| 15200360 | Jordisboden-Mergel | Jordisboden-Mergel |
| 15206010 | Jorio-Tonalit | Jorio-Tonalit |
| 15202438 | Joux-Galez-Member | Joux-Galez-Member |
| 15203102 | Joux-Verte-Formation | Joux-Verte-Formation |
| 15204124 | Julier-Granodiorit | Julier-Granodiorit |
| 15200226 | Jüngere Flussablagerungen | Jüngere Flussablagerungen |

| GeolCode | Deutsch | Français |
|----------|---|---|
| 15200302 | Jura-Nagelfluh | Jura-Nagelfluh |
| 15202298 | Jura des Helvetikums | Jura des Helvetikums |
| 15200162 | Jura des Juragebirges | Jura des Juragebirges |
| 15200575 | Jurensismergel-Formation | Jurensismergel-Formation |
| 15200139 | Kaiseraugst-Formation | Kaiseraugst-Formation |
| 15200211 | Kaisten-Bank | Kaisten-Bank |
| 15200408 | Kalchstätten-Formation | Kalchstätten-Formation |
| 15205102 | Kalk der Dolin-Gruppe | Kalk der Dolin-Gruppe |
| 15204134 | kalkkalkalische Intrusiva des Ostalpins | kalkkalkalische Intrusiva des Ostalpins |
| 15203207 | Kalkberg-Gruppe | Kalkberg-Gruppe |
| 15202451 | Kalkiger Mines-Lias | Kalkiger Mines-Lias |
| 15203581 | Kalkiger Tonschiefer der Grava-Decke | Kalkiger Tonschiefer der Grava-Decke |
| 15206101 | Kalkmarmor, undifferenziert | Kalkmarmor, undifferenziert |
| 15200536 | Kalksandstein-Serie | Kalksandstein-Serie |
| 15203455 | Kalkschiefer der Fäldbach-Serie | Kalkschiefer der Fäldbach-Serie |
| 15206104 | Kalkschiefer, undifferenziert | Kalkschiefer, undifferenziert |
| 15205054 | Kalkschieferzone | Kalkschieferzone |
| 15206052 | Kalksilikatfels | Kalksilikatfels |
| 15206108 | Kalkstein, undifferenziert | Kalkstein, undifferenziert |
| 15200530 | Kaltbach-Nagelfluh | Kaltbach-Nagelfluh |
| 15200647 | Kalter-Wangen-Formation | Kalter-Wangen-Formation |
| 15202054 | Kamm-Bank | Kamm-Bank |
| 15200544 | Kännelegg-Nagelfluh | Kännelegg-Nagelfluh |
| 15206056 | Känozoikum, undifferenziert | Känozoikum, undifferenziert |
| 15202491 | Kapfen-Formation | Kapfen-Formation |
| 15202492 | Kapfen-Sandstein | Kapfen-Sandstein |
| 15200509 | Käpfnach-Formation | Käpfnach-Formation |
| 15203473 | Karbon der Maggia-Decke | Karbon der Maggia-Decke |
| 15203348 | Karbon der Zone-Houillère | Karbon der Zone-Houillère |
| 15206080 | Karbon, undifferenziert | Karbon, undifferenziert |
| 15200644 | Karbonatreiche Molasse | Karbonatreiche Molasse |
| 15200645 | Karbonatreiche Molasse: Kalk-Dolomit-Nagelfluh | Karbonatreiche Molasse: Kalk-Dolomit-Nagelfluh |
| 15200147 | Karneol-Horizont | Karneol-Horizont |
| 15203527 | Karpatischer Keuper | Karpatischer Keuper |
| 15202147 | Kärpf-Formation | Kärpf-Formation |
| 15202493 | Kärpfgipfel-Sernifit | Kärpfgipfel-Sernifit |
| 15202148 | Karrenstock-Formation | Karrenstock-Formation |
| 15204118 | Kesch-Augengneis | Kesch-Augengneis |
| 15200125 | Keuper | Keuper |
| 15200134 | Kienberg-Member | Kienberg-Member |
| 15202364 | Kiental-Melange | Kiental-Melange |

| GeolCode | Deutsch | Français |
|----------|---------------------------------------|---------------------------------------|
| 15200413 | Kirchberg-Formation | Kirchberg-Formation |
| 15202292 | Kistenstöckli-Member | Kistenstöckli-Member |
| 15202062 | Klaus-Bank | Klaus-Bank |
| 15202296 | Kleintal-Konglomerat | Kleintal-Konglomerat |
| 15200234 | Klemmbach-Granit | Klemmbach-Granit |
| 15200126 | Klettgau-Formation | Klettgau-Formation |
| 15202028 | Klimsenhorn-Formation | Klimsenhorn-Formation |
| 15200120 | Klingnau-Formation | Klingnau-Formation |
| 15203562 | Klippen-Flysch | Klippen-Flysch |
| 15203171 | Klus-Formation | Klus-Formation |
| 15203090 | Klus-Konglomerat | Klus-Konglomerat |
| 15200518 | Klusbach-Member | Klusbach-Member |
| 15200108 | Knollen-Bank | Knollen-Bank |
| 15203065 | Knollenargovien | Knollenargovien |
| 15200121 | Knorri-Ton | Knorri-Ton |
| 15200229 | Kohle-Serie | Kohle-Serie |
| 15206064 | Konglomerat, undifferenziert | Konglomerat, undifferenziert |
| 15203376 | Konglomeratgneis (Terri) | Konglomeratgneis (Terri) |
| 15206109 | Konglomeratgneis, undifferenziert | Konglomeratgneis, undifferenziert |
| 15204024 | Kössen-Formation | Kössen-Formation |
| 15202047 | Kreide des Helvetikums | Kreide des Helvetikums |
| 15200161 | Kreide des Juragebirges | Kreide des Juragebirges |
| 15204089 | Kreide des Ostalpins | Kreide des Ostalpins |
| 15205072 | Kreide des Südalpins | Kreide des Südalpins |
| 15206028 | Kreide, undifferenziert | Kreide, undifferenziert |
| 15200681 | Kreuzlingen-Granit | Kreuzlingen-Granit |
| 15200273 | Krinau-Schichten | Krinau-Schichten |
| 15203400 | Kristallin der Berisal-Decke | Kristallin der Berisal-Decke |
| 15205127 | Kristallin der Margna-Sella | Kristallin der Margna-Sella |
| 15203320 | Kristallin der Monte-Leone-Decke | Kristallin der Monte-Leone-Decke |
| 15200616 | Kristallin der Nordschweiz | Kristallin der Nordschweiz |
| 15203448 | Kristallin der Portjengrat-Decke | Kristallin der Portjengrat-Decke |
| 15203433 | Kristallin der Ruginenta-Decke | Kristallin der Ruginenta-Decke |
| 15203402 | Kristallin der Rutor-Decke | Kristallin der Rutor-Decke |
| 15203405 | Kristallin des Briançonnais | Kristallin des Briançonnais |
| 15202466 | Kristallin des Helvetikums | Kristallin des Helvetikums |
| 15204091 | Kristallin des Ostalpins | Kristallin des Ostalpins |
| 15205078 | Kristallin des Südalpins | Kristallin des Südalpins |
| 15206031 | Kristallingestein, undifferenziert | Kristallingestein, undifferenziert |
| 15200316 | Kronberg-Nagelfluh | Kronberg-Nagelfluh |
| 15200526 | Krummenau-Member | Krummenau-Member |
| 15200424 | Krustenkalk | Krustenkalk |

| GeolCode | Deutsch | Français |
|----------|---|---|
| 15202027 | Küblibad-Member | Küblibad-Member |
| 15203271 | Kummli-Schichten | Kummli-Schichten |
| 15200288 | Küsnacht-Bentonit | Küsnacht-Bentonit |
| 15200109 | Küssaburg-Member | Küssaburg-Member |
| 15200449 | La-Charrue- Süsswasserkalk | La-Charrue- Süsswasserkalk |
| 15200342 | La-Chaux-Süsswasserkalk | La-Chaux-Süsswasserkalk |
| 15203398 | La-Dotse-Albitkalk | La-Dotse-Albitkalk |
| 15200027 | La-May-Member | La-May-Member |
| 15200438 | La-Presta-Mergel | La-Presta-Mergel |
| 15204113 | La-Rösa-Orthogneis | La-Rösa-Orthogneis |
| 15200665 | La-Vaux-Bank | La-Vaux-Bank |
| 15200448 | La-Verrerie- Süsswasserkalk | La-Verrerie- Süsswasserkalk |
| 15202213 | Lac-Cornu-Eklogit | Lac-Cornu-Eklogit |
| 15203395 | Lacerandes-Augengneis | Lacerandes-Augengneis |
| 15200474 | Lacunosamergel- Formation | Lacunosamergel- Formation |
| 15203367 | Lagensandkalk | Lagensandkalk |
| 15203483 | Lago-Scuro-Formation | Lago-Scuro-Formation |
| 15202234 | Laiets-Gneiskomplex | Laiets-Gneiskomplex |
| 15202170 | Lakustrisches Member | Lakustrisches Member |
| 15203244 | Lamperehubel-Sandstein | Lamperehubel-Sandstein |
| 15200456 | Landaize-Kalk | Landaize-Kalk |
| 15204058 | Landwasser-Member | Landwasser-Member |
| 15203588 | Langel- und Col-de-Cordon-Member, undifferenziert | Langel- und Col-de-Cordon-Member, undifferenziert |
| 15203239 | Langel-Member | Langel-Member |
| 15203578 | Langel-Member der Zentralschweizer Klippen | Langel-Member der Zentralschweizer Klippen |
| 15203328 | Langenegg-Formation | Langenegg-Formation |
| 15203007 | Langy-Member | Langy-Member |
| 15202587 | Laubersmad-Flysch | Laubersmad-Flysch |
| 15200395 | Laufen-Juranagelfluh | Laufen-Juranagelfluh |
| 15200191 | Laufen-Member | Laufen-Member |
| 15200249 | Laufenburg-Gneiskomplex | Laufenburg-Gneiskomplex |
| 15203232 | Lavagna-Formation | Lavagna-Formation |
| 15204093 | Lavatèra-Brekzie | Lavatèra-Brekzie |
| 15204126 | Lavinèr-Brekzie | Lavinèr-Brekzie |
| 15202286 | Lavtina-Sandstein | Lavtina-Sandstein |
| 15200671 | Le-Coin-Formation | Le-Coin-Formation |
| 15200623 | Le-Locle-Formation | Le-Locle-Formation |
| 15200624 | Le-Verger-Member | Le-Verger-Member |
| 15203430 | Lebendun-Gneis, arkosisch | Lebendun-Gneis, arkosisch |
| 15203431 | Lebendun-Gneis, konglomeratisch | Lebendun-Gneis, konglomeratisch |
| 15203318 | Lebendun-Gneiskomplex | Lebendun-Gneiskomplex |

| GeolCode | Deutsch | Français |
|----------|-------------------------------------|-------------------------------------|
| 15204003 | Lech-Formation | Lech-Formation |
| 15203557 | Legiuna-Gneis | Legiuna-Gneis |
| 15202422 | Leiboden-Mergel | Leiboden-Mergel |
| 15200282 | Leimbach-Bentonit | Leimbach-Bentonit |
| 15203155 | Leimern-Kalk | Leimern-Kalk |
| 15203574 | Leimern-Schichten | Leimern-Schichten |
| 15202421 | Leist-Mergel | Leist-Mergel |
| 15200240 | Lenzkirch-Steina-Granit | Lenzkirch-Steina-Granit |
| 15200572 | Les-Bayards-Juranagelfluh | Les-Bayards-Juranagelfluh |
| 15203098 | Lessus-Member | Lessus-Member |
| 15200107 | Letzi-Member | Letzi-Member |
| 15200538 | Leuenfall-Nagelfluh | Leuenfall-Nagelfluh |
| 15203427 | Leukogneis der Monte-Leone-Decke | Leukogneis der Monte-Leone-Decke |
| 15200464 | Leutschenberg-Member | Leutschenberg-Member |
| 15203551 | Leventina-D.: Amphibolit | Leventina-D.: Amphibolit |
| 15203548 | Leventina-D.: Kalksilikatfels | Leventina-D.: Kalksilikatfels |
| 15203549 | Leventina-D.: Leukogneis | Leventina-D.: Leukogneis |
| 15203550 | Leventina-D.: Paragneis | Leventina-D.: Paragneis |
| 15202273 | Leventina-Gneis | Leventina-Gneis |
| 15203546 | Leventina-Gneis: oberer Teil | Leventina-Gneis: oberer Teil |
| 15203547 | Leventina-Gneis: unterer Teil | Leventina-Gneis: unterer Teil |
| 15203010 | Leyderry-Member | Leyderry-Member |
| 15203251 | Lias-Kalk (Grava) | Lias-Kalk (Grava) |
| 15203275 | Lias der Klippen-Decke | Lias der Klippen-Decke |
| 15202120 | Lias des Helvetikums | Lias des Helvetikums |
| 15200056 | Lias des Juragebirges | Lias des Juragebirges |
| 15204090 | Lias des Ostalpins | Lias des Ostalpins |
| 15205075 | Lias des Südalpins | Lias des Südalpins |
| 15206025 | Lias, undifferenziert | Lias, undifferenziert |
| 15200296 | Lichtensteig-Schichten | Lichtensteig-Schichten |
| 15202081 | Lidernen-Member | Lidernen-Member |
| 15203149 | Liechtenstein-Flysch | Liechtenstein-Flysch |
| 15200133 | Liedertswil-Member | Liedertswil-Member |
| 15200471 | Liegende-Bankkalke- Formation | Liegende-Bankkalke- Formation |
| 15200637 | Lienegg-Formation | Lienegg-Formation |
| 15200040 | Liesberg-Member | Liesberg-Member |
| 15200619 | Limnischer Horizont (OMM-I) | Limnischer Horizont (OMM-I) |
| 15200431 | Limnischer Horizont (OMM-II) | Limnischer Horizont (OMM-II) |
| 15200680 | Lindau-Granit | Lindau-Granit |
| 15203197 | Lirec-Formation | Lirec-Formation |

| GeolCode | Deutsch | Français |
|----------|--|--|
| 15206020 | Lithologische Einheit, undifferenziert | Lithologische Einheit, undifferenziert |
| 15203518 | Lizun-Grünschiefer | Lizun-Grünschiefer |
| 15202411 | Lochegg-Brekzie | Lochegg-Brekzie |
| 15200476 | Lochen-Subformation | Lochen-Subformation |
| 15206018 | Lochsiten-Kalk | Lochsiten-Kalk |
| 15203313 | Lodano-Gneis | Lodano-Gneis |
| 15202218 | Lognan-Orthogneis | Lognan-Orthogneis |
| 15205033 | Lombardische Radiolarit-Gruppe | Lombardische Radiolarit-Gruppe |
| 15200590 | Loorenkopf-Nagelfluh | Loorenkopf-Nagelfluh |
| 15203488 | Loranco-Amphibolit | Loranco-Amphibolit |
| 15200532 | Loseneegg-Formation | Loseneegg-Formation |
| 15205093 | Losone-Schiefer | Losone-Schiefer |
| 15202520 | Lotharingien-Sandstein | Lotharingien-Sandstein |
| 15202200 | Lötschental-Gneiskomplex | Lötschental-Gneiskomplex |
| 15202560 | Lötschental-Gneiskomplex: Chloritschiefer | Lötschental-Gneiskomplex: Chloritschiefer |
| 15202559 | Lötschental-Gneiskomplex: migmatitischer Biotitgneis | Lötschental-Gneiskomplex: migmatitischer Biotitgneis |
| 15202558 | Lötschental-Gneiskomplex: Muskovitgneis | Lötschental-Gneiskomplex: Muskovitgneis |
| 15205011 | Lucino-Konglomerat | Lucino-Konglomerat |
| 15203081 | Lückengraben-Formation | Lückengraben-Formation |
| 15203374 | Lugnez-Schiefer | Lugnez-Schiefer |
| 15202211 | Luisin-Orthogneis | Luisin-Orthogneis |
| 15202068 | Luitere-Bank | Luitere-Bank |
| 15200312 | Luzern-Formation | Luzern-Formation |
| 15202448 | Maasplanggstock-Metaandesit | Maasplanggstock-Metaandesit |
| 15205043 | Macchia Vecchia | Macchia Vecchia |
| 15200482 | Macrocephalenoolith-Subformation | Macrocephalenoolith-Subformation |
| 15203385 | Macugnaga-Augengneis | Macugnaga-Augengneis |
| 15200199 | Maeandrina-Schichten | Maeandrina-Schichten |
| 15203552 | Maggia-D.: Amphibolit | Maggia-D.: Amphibolit |
| 15203476 | Maggia-D.: Paragneis | Maggia-D.: Paragneis |
| 15205092 | Maia-Metagabbro | Maia-Metagabbro |
| 15205032 | Maiolica Lombarda | Maiolica Lombarda |
| 15203341 | Malenco-Serpentinit | Malenco-Serpentinit |
| 15203269 | Malm der Klippen-Decke | Malm der Klippen-Decke |
| 15202096 | Malm des Helvetikums | Malm des Helvetikums |
| 15200012 | Malm des Juragebirges | Malm des Juragebirges |
| 15204088 | Malm des Ostalpins | Malm des Ostalpins |
| 15205073 | Malm des Südalpins | Malm des Südalpins |
| 15206027 | Malm, undifferenziert | Malm, undifferenziert |
| 15202538 | Malmbrekzie | Malmbrekzie |
| 15203064 | Malmkalk | Malmkalk |

| GeolCode | Deutsch | Français |
|----------|---|---|
| 15205016 | Malnate-Sandstein | Malnate-Sandstein |
| 15204099 | Maloja-Gneiskomplex | Maloja-Gneiskomplex |
| 15204098 | Maloja-Orthogneis | Maloja-Orthogneis |
| 15202294 | Malor-Member | Malor-Member |
| 15200232 | Malsburg-Granit | Malsburg-Granit |
| 15200239 | Mambach-Granit | Mambach-Granit |
| 15206053 | Mamor, undifferenziert | Mamor, undifferenziert |
| 15203133 | Manche-Formation | Manche-Formation |
| 15205070 | Manno-Formation | Manno-Formation |
| 15203494 | Maran-Brekzie | Maran-Brekzie |
| 15200558 | Marbach-Member | Marbach-Member |
| 15202151 | Mären-Formation | Mären-Formation |
| 15205126 | Marinelli-Formation | Marinelli-Formation |
| 15203158 | Marmontains-Schichten | Marmontains-Schichten |
| 15203410 | Marmor der Tsaté-Decke | Marmor der Tsaté-Decke |
| 15205121 | Marmor der Valpelline-Gruppe | Marmor der Valpelline-Gruppe |
| 15203418 | Marmor der Zermatt-Saas-Decke | Marmor der Zermatt-Saas-Decke |
| 15200356 | Marnes gris-souris | Marnes gris-souris |
| 15202281 | Martinsmad-Formation | Martinsmad-Formation |
| 15202331 | Massa-Gneiskomplex | Massa-Gneiskomplex |
| 15203485 | Massari-Formation | Massari-Formation |
| 15200546 | Mathod-Sandstein | Mathod-Sandstein |
| 15203317 | Matorello-Gneis | Matorello-Gneis |
| 15203188 | Matse-Member | Matse-Member |
| 15202006 | Matt-Formation | Matt-Formation |
| 15202362 | Mättental-Melange | Mättental-Melange |
| 15205096 | Matterhorn-Gabbro | Matterhorn-Gabbro |
| 15203100 | Mattes-Melange | Mattes-Melange |
| 15202034 | Mattgrat-Member | Mattgrat-Member |
| 15200345 | Matzendorf- Süßwasserkalk | Matzendorf- Süßwasserkalk |
| 15202226 | Medel-Granit | Medel-Granit |
| 15203355 | Medola-Quarzit | Medola-Quarzit |
| 15200366 | Meeressand | Meeressand |
| 15202374 | Meierhof-Phyllit | Meierhof-Phyllit |
| 15200294 | Meilen-Kalk | Meilen-Kalk |
| 15200507 | Meilen-Schichten | Meilen-Schichten |
| 15202285 | Meilleret-Formation | Meilleret-Formation |
| 15202523 | Meilleret-Formation, Arkose | Meilleret-Formation, Arkose |
| 15202522 | Meilleret-Formation, Calcaires organo-détritiques | Meilleret-Formation, Calcaires organo-détritiques |
| 15202524 | Meilleret-Formation, Conglomérat basal | Meilleret-Formation, Conglomérat basal |

| GeolCode | Deutsch | Français |
|----------|---|---|
| 15200416 | Meinisberg-Muschelsandstein | Meinisberg-Muschelsandstein |
| 15206005 | Melirolo-Augengneis | Melirolo-Augengneis |
| 15202584 | Mels- und Röti-Formation, undifferenziert | Mels- und Röti-Formation, undifferenziert |
| 15202141 | Mels-Formation | Mels-Formation |
| 15200454 | Mergel- und Kalkzone (MKZ) | Mergel- und Kalkzone (MKZ) |
| 15200184 | Mergelkalk-Zone | Mergelkalk-Zone |
| 15206118 | Mergelstein, undifferenziert | Mergelstein, undifferenziert |
| 15203298 | Mergoscia-Gneis | Mergoscia-Gneis |
| 15205053 | Meride-Formation | Meride-Formation |
| 15206034 | Mesozoikum, undifferenziert | Mesozoikum, undifferenziert |
| 15205112 | Metabasit der Arolla-Gruppe | Metabasit der Arolla-Gruppe |
| 15205113 | Metabasit der Arolla-Gruppe, mylonitisch | Metabasit der Arolla-Gruppe, mylonitisch |
| 15205111 | Metagranitoide der Arolla-Gruppe | Metagranitoide der Arolla-Gruppe |
| 15203193 | Métailler-Formation | Métailler-Formation |
| 15203411 | Metaradiolarit der Tsaté-Decke | Metaradiolarit der Tsaté-Decke |
| 15203492 | Metasedimente der Arosa-Decke | Metasedimente der Arosa-Decke |
| 15203502 | Metasedimente der Avers-Decke | Metasedimente der Avers-Decke |
| 15203496 | Metasedimente der Platta-Decke | Metasedimente der Platta-Decke |
| 15203409 | Metasedimente der Tsaté-Decke | Metasedimente der Tsaté-Decke |
| 15203412 | Metasedimente der Zermatt-Saas-Decke | Metasedimente der Zermatt-Saas-Decke |
| 15204042 | Mezdi-Member | Mezdi-Member |
| 15203439 | Mezzalama-Granit | Mezzalama-Granit |
| 15204017 | Mezzaun-Member | Mezzaun-Member |
| 15203274 | Mieussy-Member | Mieussy-Member |
| 15202205 | Miéville-Mylonit | Miéville-Mylonit |
| 15202259 | Migmatit der Ausserberg-Avat-Zone | Migmatit der Ausserberg-Avat-Zone |
| 15202269 | Migmatit der Ausserbinn-Piz-Cavel-Zone | Migmatit der Ausserbinn-Piz-Cavel-Zone |
| 15205122 | Migmatit der Valpelline-Gruppe | Migmatit der Valpelline-Gruppe |
| 15206086 | Migmatit, undifferenziert | Migmatit, undifferenziert |
| 15206061 | Mikrodiorit, undifferenziert | Mikrodiorit, undifferenziert |
| 15206044 | Mikrogranit | Mikrogranit |

| GeolCode | Deutsch | Français |
|----------|--|--|
| 15206043 | Mineralisierter Gang | Mineralisierter Gang |
| 15204046 | Mingèr-Dolomit | Mingèr-Dolomit |
| 15204045 | Mingèr-Formation | Mingèr-Formation |
| 15203505 | Minschun-Brekzie | Minschun-Brekzie |
| 15203465 | Minugrat-Eklogit | Minugrat-Eklogit |
| 15204026 | Mitgel-Member | Mitgel-Member |
| 15202159 | Mittagflue-Granit | Mittagflue-Granit |
| 15203577 | Mittellias der Klippen-Decke | Mittellias der Klippen-Decke |
| 15202332 | Mittelvariszische Intrusiva des Aiguilles-Rouges-Massivs | Mittelvariszische Intrusiva des Aiguilles-Rouges-Massivs |
| 15200562 | Mittlere Juranagelfluh | Mittlere Juranagelfluh |
| 15203129 | Mocausa-Nagelfluh | Mocausa-Nagelfluh |
| 15200254 | Molasse | Molasse |
| 15200337 | Molasse à Charbon | Molasse à Charbon |
| 15200332 | Molasse Grise de Lausanne | Molasse Grise de Lausanne |
| 15200338 | Molasse Rouge | Molasse Rouge |
| 15200545 | Molasse Rouge des Jurasüdfusses | Molasse Rouge des Jurasüdfusses |
| 15200549 | Molasse Rouge von Monthey | Molasse Rouge von Monthey |
| 15200548 | Molasse Rouge von Vevey | Molasse Rouge von Vevey |
| 15203039 | Moléson-Formation | Moléson-Formation |
| 15200420 | Molière-Muschelsandstein | Molière-Muschelsandstein |
| 15205041 | Molino-Member | Molino-Member |
| 15202117 | Mols-Member | Mols-Member |
| 15205040 | Moltrasio-Formation | Moltrasio-Formation |
| 15204082 | Mönchalp-Augengneis | Mönchalp-Augengneis |
| 15203462 | Moncucco-Peridotit | Moncucco-Peridotit |
| 15203191 | Mondra-Member | Mondra-Member |
| 15202216 | Mont-Blanc-Granit | Mont-Blanc-Granit |
| 15205005 | Mont-Collon-Komplex | Mont-Collon-Komplex |
| 15203415 | Mont-des-Ritzes- Metabasalt | Mont-des-Ritzes- Metabasalt |
| 15202126 | Mont-Joly-Formation | Mont-Joly-Formation |
| 15205086 | Mont-Morion-Granit | Mont-Morion-Granit |
| 15203396 | Mont-Mort-Metapelit | Mont-Mort-Metapelit |
| 15200318 | Mont-Pèlerin-Nagelfluh | Mont-Pèlerin-Nagelfluh |
| 15203196 | Mont-Rogneux-Metagranit | Mont-Rogneux-Metagranit |
| 15200083 | Mont-Terri-Member | Mont-Terri-Member |
| 15200586 | Montauban-Mergel | Montauban-Mergel |
| 15200587 | Montauban-Sandstein | Montauban-Sandstein |
| 15200386 | Montchaibeux-Member | Montchaibeux-Member |
| 15200653 | Montcherand-Member | Montcherand-Member |
| 15206008 | Monte-Bassetta- Quarzdiorit | Monte-Bassetta- Quarzdiorit |

| GeolCode | Deutsch | Français |
|----------|--|--|
| 15203299 | Monte-Rosa-Gneis | Monte-Rosa-Gneis |
| 15203440 | Monte-Rosa-Orthogneis, grobkörnig | Monte-Rosa-Orthogneis, grobkörnig |
| 15203453 | Monte-Rosa-Orthogneis, mittelkörnig | Monte-Rosa-Orthogneis, mittelkörnig |
| 15203442 | Monte-Rosa-Orthogneis, mylonitisch | Monte-Rosa-Orthogneis, mylonitisch |
| 15206013 | Monte-Rosso-Mikrogranit | Monte-Rosso-Mikrogranit |
| 15200419 | Montécu-Schichten | Montécu-Schichten |
| 15202206 | Montées-Pélissiers-Granit | Montées-Pélissiers-Granit |
| 15202217 | Montenvers-Granit | Montenvers-Granit |
| 15202123 | Monts-Rosset-Formation | Monts-Rosset-Formation |
| 15204047 | Mora-Member | Mora-Member |
| 15205038 | Morbio-Formation | Morbio-Formation |
| 15202480 | Morcles-Mikrogranit | Morcles-Mikrogranit |
| 15200588 | Mornex-Nagelfluh | Mornex-Nagelfluh |
| 15200664 | Morteau-Bänke | Morteau-Bänke |
| 15200669 | Morteau-Mergel | Morteau-Mergel |
| 15204116 | Morteratsch-Serpentinit | Morteratsch-Serpentinit |
| 15200442 | Mortier-Mergel | Mortier-Mergel |
| 15200119 | Moutier-Korallenkalk | Moutier-Korallenkalk |
| 15200059 | Movelier-Schichten | Movelier-Schichten |
| 15200618 | Mümliswil-Süsswasserkalk | Mümliswil-Süsswasserkalk |
| 15200236 | Münsterhalden-Granit | Münsterhalden-Granit |
| 15202180 | Munt-Dado-Granit | Munt-Dado-Granit |
| 15202290 | Muot-da-Rubi-Formation | Muot-da-Rubi-Formation |
| 15200493 | Murchisonaeoolith- Formation | Murchisonaeoolith- Formation |
| 15203343 | Muretto-Quarzit | Muretto-Quarzit |
| 15203013 | Murgaz-Kalk | Murgaz-Kalk |
| 15202324 | Murgtal-Formation | Murgtal-Formation |
| 15200248 | Murgtal-Gneiskomplex | Murgtal-Gneiskomplex |
| 15202044 | Mürren-Brekzie | Mürren-Brekzie |
| 15204031 | Murtèr-Plattenkalk | Murtèr-Plattenkalk |
| 15204032 | Murteret-Dolomit | Murteret-Dolomit |
| 15202101 | Mürtschen-Member | Mürtschen-Member |
| 15204037 | Müschauns-Dolomit | Müschauns-Dolomit |
| 15200129 | Muschelkalk | Muschelkalk |
| 15200391 | Muschelsandstein | Muschelsandstein |
| 15205124 | Musella-Granit | Musella-Granit |
| 15203073 | Musenalp-Member | Musenalp-Member |
| 15200078 | Müsenegg-Bank | Müsenegg-Bank |
| 15200181 | Mussel-Member | Mussel-Member |
| 15205119 | Mylonit der Valpelline-Gruppe | Mylonit der Valpelline-Gruppe |
| 15206051 | Mylonit, undifferenziert | Mylonit, undifferenziert |
| 15203067 | Mythen-Kieselkalk | Mythen-Kieselkalk |
| 15203088 | Mytilus-Schichten | Mytilus-Schichten |

| GeolCode | Deutsch | Français |
|----------|---|---|
| 15204092 | Nair-Porphyrroid | Nair-Porphyrroid |
| 15200258 | Napf-Formation | Napf-Formation |
| 15200622 | Napf-Formation, distale Fazies | Napf-Formation, distale Fazies |
| 15200621 | Napf-Formation, proximale Fazies | Napf-Formation, proximale Fazies |
| 15203486 | Naret-Formation | Naret-Formation |
| 15200148 | Narlay-Formation | Narlay-Formation |
| 15202237 | Nelva-Gneiskomplex | Nelva-Gneiskomplex |
| 15203063 | Neokom | Neokom |
| 15200649 | Netzbachtal-Nagelfluh | Netzbachtal-Nagelfluh |
| 15202020 | Niederhorn-Formation | Niederhorn-Formation |
| 15202060 | Nideri-Schichten | Nideri-Schichten |
| 15200401 | Niedermatt-Formation | Niedermatt-Formation |
| 15203001 | Niesen-Flysch | Niesen-Flysch |
| 15203004 | Niesenkulm-Formation | Niesenkulm-Formation |
| 15203205 | Nisellas-Gruppe | Nisellas-Gruppe |
| 15203176 | Nolla-Kalkschiefer | Nolla-Kalkschiefer |
| 15203209 | Nolla-Kristallin | Nolla-Kristallin |
| 15203177 | Nolla-Tonschiefer | Nolla-Tonschiefer |
| 15203579 | Nolla-Tonschiefer: Quarzsandstein | Nolla-Tonschiefer: Quarzsandstein |
| 15202005 | Nordhelvetische Flysch-Gruppe | Nordhelvetische Flysch-Gruppe |
| 15202542 | Nordhelvetische Flysch-Gruppe, vorw. schiefriger Tonstein | Nordhelvetische Flysch-Gruppe, vorw. schiefriger Tonstein |
| 15203252 | Nordpenninische Trias | Nordpenninische Trias |
| 15203456 | Nordpenninischer Dogger | Nordpenninischer Dogger |
| 15203457 | Nordpenninischer Lias | Nordpenninischer Lias |
| 15206002 | Novate-Intrusiva | Novate-Intrusiva |
| 15202369 | Nufenen-Granatschiefer | Nufenen-Granatschiefer |
| 15202367 | Nufenen-Knotenschiefer | Nufenen-Knotenschiefer |
| 15202368 | Nufenen-Sandstein | Nufenen-Sandstein |
| 15200578 | Numismalischmergel-Formation | Numismalischmergel-Formation |
| 15202257 | Oberaar-Furka-Zone | Oberaar-Furka-Zone |
| 15203164 | Oberäpli-Formation | Oberäpli-Formation |
| 15200331 | Oberaquitane Mergelzone | Oberaquitane Mergelzone |
| 15200430 | Oberdorf-Süsswasserkalk | Oberdorf-Süsswasserkalk |
| 15200472 | Obere-Felsenkalke-Formation | Obere-Felsenkalke-Formation |
| 15200061 | Obere Acuminata-Schichten | Obere Acuminata-Schichten |
| 15203104 | Obere Brekzie | Obere Brekzie |
| 15200429 | Obere bunte Molasse | Obere bunte Molasse |
| 15202282 | Obere Flyschabfolge (Sardona) | Obere Flyschabfolge (Sardona) |

| GeolCode | Deutsch | Français |
|----------|---|---|
| 15200412 | Obere Grenznagelfluh | Obere Grenznagelfluh |
| 15203246 | Obere Kalk- und Tonschiefer der Zone Piz Terri - Lunschania | Obere Kalk- und Tonschiefer der Zone Piz Terri - Lunschania |
| 15200307 | Obere Meeresmolasse (OMM) | Obere Meeresmolasse (OMM) |
| 15200060 | Obere Oolithische Serie (Grande Oolithe) | Obere Oolithische Serie (Grande Oolithe) |
| 15203240 | Obere Rauwacke der Klippen-Decke | Obere Rauwacke der Klippen-Decke |
| 15202534 | Obere Sandsteine (Spirstock) | Obere Sandsteine (Spirstock) |
| 15203105 | Obere Schiefer (Schistes Ardoisiers) | Obere Schiefer (Schistes Ardoisiers) |
| 15200136 | Obere Sufatzzone | Obere Sufatzzone |
| 15200255 | Obere Süswassermolasse (OSM) | Obere Süswassermolasse (OSM) |
| 15203120 | Obere Tonsteinschichten | Obere Tonsteinschichten |
| 15203470 | Oberems-Albitgneis | Oberems-Albitgneis |
| 15205099 | Oberer Meride-Kalk | Oberer Meride-Kalk |
| 15202302 | Oberer Quintner Kalk | Oberer Quintner Kalk |
| 15202599 | Oberer Quintner Kalk: Korallenkalk | Oberer Quintner Kalk: Korallenkalk |
| 15202600 | Oberer Quintner Kalk: Unterer Kalk | Oberer Quintner Kalk: Unterer Kalk |
| 15200217 | Oberer Schuttfächer | Oberer Schuttfächer |
| 15200380 | Oberer Teil des Hauptrogensteins | Oberer Teil des Hauptrogensteins |
| 15200015 | Oberer Virgula-Mergel | Oberer Virgula-Mergel |
| 15200475 | Oberjura-Massenkalk- Formation | Oberjura-Massenkalk- Formation |
| 15202352 | Oberstafel-Gneis | Oberstafel-Gneis |
| 15203078 | Obflue-Formation | Obflue-Formation |
| 15203201 | Obrist-Gruppe | Obrist-Gruppe |
| 15200579 | Obtususton-Formation | Obtususton-Formation |
| 15200303 | Oehningien des Juragebirges | Oehningien des Juragebirges |
| 15200346 | Oensingen- Süswasserkalk | Oensingen- Süswasserkalk |
| 15202201 | Ofenhorn-Stampfhorn- Gneiskomplex | Ofenhorn-Stampfhorn- Gneiskomplex |
| 15202580 | Ofenhorn-Stampfhorn- Gneiskomplex: aplitischer Granit | Ofenhorn-Stampfhorn- Gneiskomplex: aplitischer Granit |
| 15202563 | Ofenhorn-Stampfhorn- Gneiskomplex: Biotitgneis | Ofenhorn-Stampfhorn- Gneiskomplex: Biotitgneis |

| GeolCode | Deutsch | Français |
|----------|--|--|
| 15202561 | Ofenhorn-Stampfhorn-Gneiskomplex: gebänderter Biotit-Plagioklasgneis | Ofenhorn-Stampfhorn-Gneiskomplex: gebänderter Biotit-Plagioklasgneis |
| 15202562 | Ofenhorn-Stampfhorn-Gneiskomplex: Migmatit | Ofenhorn-Stampfhorn-Gneiskomplex: Migmatit |
| 15202579 | Ofenhorn-Stampfhorn-Gneiskomplex: mit Schollenamphibolit | Ofenhorn-Stampfhorn-Gneiskomplex: mit Schollenamphibolit |
| 15202564 | Ofenhorn-Stampfhorn-Gneiskomplex: Orthogneis | Ofenhorn-Stampfhorn-Gneiskomplex: Orthogneis |
| 15202581 | Ofenhorn-Stampfhorn-Gneiskomplex: Schollenamphibolit | Ofenhorn-Stampfhorn-Gneiskomplex: Schollenamphibolit |
| 15202582 | Ofenhorn-Stampfhorn-Gneiskomplex: Ultramafit | Ofenhorn-Stampfhorn-Gneiskomplex: Ultramafit |
| 15200503 | Öhningen-Formation | Öhningen-Formation |
| 15200504 | Öhningen-Süsswasserkalk | Öhningen-Süsswasserkalk |
| 15200272 | Öhningen-Zone im Hörnligebiet | Öhningen-Zone im Hörnligebiet |
| 15202091 | Öhrli-Formation | Öhrli-Formation |
| 15202527 | Öhrli-Formation, von Siderolithikum durchsetzt | Öhrli-Formation, von Siderolithikum durchsetzt |
| 15200638 | Öligraben-Formation | Öligraben-Formation |
| 15200192 | Olten-Member | Olten-Member |
| 15200553 | Oltingue-Kalkarenit | Oltingue-Kalkarenit |
| 15200311 | OMM-I | OMM-I |
| 15200308 | OMM-II | OMM-II |
| 15200567 | OMM-J | OMM-J |
| 15200028 | Oolithe-Rousse-Member | Oolithe-Rousse-Member |
| 15200010 | Opalinus-Ton | Opalinus-Ton |
| 15206059 | Ophikalzit, undifferenziert | Ophikalzit, undifferenziert |
| 15203424 | Ophiolith der Antrona-Decke | Ophiolith der Antrona-Decke |
| 15203236 | Ophiolith der Arosa-Zone | Ophiolith der Arosa-Zone |
| 15203503 | Ophiolith der Avers-Decke | Ophiolith der Avers-Decke |
| 15203500 | Ophiolith der Platta-Decke | Ophiolith der Platta-Decke |
| 15203491 | Ophiolith der Ramosch-Zone | Ophiolith der Ramosch-Zone |
| 15203414 | Ophiolith der Tsaté-Decke | Ophiolith der Tsaté-Decke |
| 15203422 | Ophiolith der Zermatt-Saas-Decke | Ophiolith der Zermatt-Saas-Decke |
| 15200423 | Orbe-Süsswasserkalk | Orbe-Süsswasserkalk |
| 15200140 | Orbicularis-Mergel | Orbicularis-Mergel |
| 15200479 | Ornatenton-Formation | Ornatenton-Formation |
| 15205006 | Orthogneis der Arolla-Gruppe | Orthogneis der Arolla-Gruppe |

| GeolCode | Deutsch | Français |
|----------|---|---|
| 15205107 | Orthogneis der Arolla-Gruppe, augig | Orthogneis der Arolla-Gruppe, augig |
| 15205106 | Orthogneis der Arolla-Gruppe, leukokrat | Orthogneis der Arolla-Gruppe, leukokrat |
| 15205108 | Orthogneis der Arolla-Gruppe, mylonitisch | Orthogneis der Arolla-Gruppe, mylonitisch |
| 15202274 | Orthogneis der Lukmanier-Decke | Orthogneis der Lukmanier-Decke |
| 15203426 | Orthogneis der Monte-Leone-Decke | Orthogneis der Monte-Leone-Decke |
| 15203449 | Orthogneis der Portjengrat-Decke | Orthogneis der Portjengrat-Decke |
| 15205131 | Orthogneis der Sesia-Decke | Orthogneis der Sesia-Decke |
| 15206076 | Orthogneis, undifferenziert | Orthogneis, undifferenziert |
| 15200295 | OSM-I | OSM-I |
| 15200262 | OSM-II | OSM-II |
| 15200300 | OSM-J | OSM-J |
| 15203268 | Oudiou-Formation | Oudiou-Formation |
| 15202012 | Paläogen des Helvetikums | Paläogen des Helvetikums |
| 15206055 | Paläozoikum, undifferenziert | Paläozoikum, undifferenziert |
| 15202092 | Palfris-Formation | Palfris-Formation |
| 15202382 | Palis-Member | Palis-Member |
| 15203233 | Palombini-Formation | Palombini-Formation |
| 15203218 | Panier-Formation | Panier-Formation |
| 15202351 | Paradis-Gneiskomplex | Paradis-Gneiskomplex |
| 15202261 | Paragneis der Ausserberg-Avat-Zone | Paragneis der Ausserberg-Avat-Zone |
| 15202270 | Paragneis der Ausserbinn-Piz-Cavel-Zone | Paragneis der Ausserbinn-Piz-Cavel-Zone |
| 15202275 | Paragneis der Lukmanier-Decke | Paragneis der Lukmanier-Decke |
| 15203429 | Paragneis der Monte-Leone-Decke | Paragneis der Monte-Leone-Decke |
| 15203443 | Paragneis der Monte-Rosa-Decke | Paragneis der Monte-Rosa-Decke |
| 15203435 | Paragneis der Ruginenta-Decke | Paragneis der Ruginenta-Decke |
| 15206077 | Paragneis, undifferenziert | Paragneis, undifferenziert |
| 15205117 | Paragneiss der Arolla-Gruppe | Paragneiss der Arolla-Gruppe |
| 15204052 | Parai-Alba-Member | Parai-Alba-Member |
| 15204139 | Parait-Chavagl-Granit | Parait-Chavagl-Granit |
| 15202486 | Pardatschas-Granit | Pardatschas-Granit |
| 15200202 | Parkinsoni-Schichten | Parkinsoni-Schichten |
| 15200487 | Parkinsonioolith-Subformation | Parkinsonioolith-Subformation |

| GeolCode | Deutsch | Français |
|----------|---|---|
| 15203307 | Parnegl-Formation | Parnegl-Formation |
| 15204050 | Partnach-Formation | Partnach-Formation |
| 15203482 | Passo-di-Cristallina-Zone | Passo-di-Cristallina-Zone |
| 15200673 | Passwang- bis Ifenthal-Formation, undifferenziert | Passwang- bis Ifenthal-Formation, undifferenziert |
| 15200009 | Passwang-Formation | Passwang-Formation |
| 15200195 | Pecten-Bank | Pecten-Bank |
| 15206040 | Pegmatit | Pegmatit |
| 15202439 | Pereyres-Formation | Pereyres-Formation |
| 15206001 | Periadriatische Vulkanite | Periadriatische Vulkanite |
| 15206096 | Peridotit, undifferenziert | Peridotit, undifferenziert |
| 15203472 | Perm der Maggia-Decke | Perm der Maggia-Decke |
| 15202504 | Perm der Tavetsch-Decke (Val Acla Mulin) | Perm der Tavetsch-Decke (Val Acla Mulin) |
| 15203386 | Perm der Zone-Houillère | Perm der Zone-Houillère |
| 15203389 | Perm der Zone-Houillère, konglomeratisch | Perm der Zone-Houillère, konglomeratisch |
| 15203387 | Perm der Zone-Houillère, quarzschiefrig | Perm der Zone-Houillère, quarzschiefrig |
| 15206100 | Perm, undifferenziert | Perm, undifferenziert |
| 15202255 | Permisch verwittertes Kristallin | Permisch verwittertes Kristallin |
| 15202254 | Permische Sedimente der Ilanz-Zone | Permische Sedimente der Ilanz-Zone |
| 15205065 | Permische Vulkanite | Permische Vulkanite |
| 15203471 | Permo-Karbon der Maggia-Decke | Permo-Karbon der Maggia-Decke |
| 15200221 | Permo-Karbon der Nordschweiz | Permo-Karbon der Nordschweiz |
| 15203406 | Permo-Karbon der Ruitor-Decke | Permo-Karbon der Ruitor-Decke |
| 15203407 | Permo-Karbon der Ruitor-Decke, konglomeratisch | Permo-Karbon der Ruitor-Decke, konglomeratisch |
| 15202266 | Permo-Karbon der Urseren-Garvera-Zone | Permo-Karbon der Urseren-Garvera-Zone |
| 15202465 | Permo-Karbon des Aiguilles-Rouges-Massivs | Permo-Karbon des Aiguilles-Rouges-Massivs |
| 15202142 | Permo-Karbon des Helvetikums | Permo-Karbon des Helvetikums |
| 15204128 | Permo-Karbon des Ostalpins | Permo-Karbon des Ostalpins |
| 15205077 | Permo-Karbon des Südalpins | Permo-Karbon des Südalpins |
| 15206103 | Permokarbon, undifferenziert | Permokarbon, undifferenziert |
| 15203141 | Perrières-Formation | Perrières-Formation |

| GeolCode | Deutsch | Français |
|----------|---|---|
| 15202214 | Perrons-Orthogneis | Perrons-Orthogneis |
| 15203545 | Personico-Gneis | Personico-Gneis |
| 15200149 | Perte-du-Rhône-Formation | Perte-du-Rhône-Formation |
| 15203481 | Pertusio-Zone | Pertusio-Zone |
| 15200571 | Péry-Geröllsande | Péry-Geröllsande |
| 15202220 | Pesciora-Gruppe | Pesciora-Gruppe |
| 15203052 | Petit-Liençon-Formation | Petit-Liençon-Formation |
| 15202219 | Pétoudes-Orthogneis | Pétoudes-Orthogneis |
| 15200512 | Petrefaktenlager | Petrefaktenlager |
| 15203160 | Peula-Schichten | Peula-Schichten |
| 15203084 | Pfad-Mikrofazies | Pfad-Mikrofazies |
| 15200403 | Pfadflüe-Nagelfluh | Pfadflüe-Nagelfluh |
| 15200677 | Pfaffnau-Granit | Pfaffnau-Granit |
| 15200257 | Pfänder-Schichten | Pfänder-Schichten |
| 15200280 | Pfannenstiel-Schichten | Pfannenstiel-Schichten |
| 15203168 | Pfävigrat-Formation | Pfävigrat-Formation |
| 15200542 | Pfiffegg-Nagelfluh | Pfiffegg-Nagelfluh |
| 15200522 | Pfingstboden-Member | Pfingstboden-Member |
| 15204072 | Pflanzenquarzit | Pflanzenquarzit |
| 15203423 | Pfulwe-Metabasalt | Pfulwe-Metabasalt |
| 15203381 | Phengitgneis der Aul-Decke | Phengitgneis der Aul-Decke |
| 15206082 | Phyllit, undifferenziert | Phyllit, undifferenziert |
| 15206095 | Phyllitgneis, undifferenziert | Phyllitgneis, undifferenziert |
| 15203356 | Pianasciom-Kalkschiefer | Pianasciom-Kalkschiefer |
| 15203357 | Piano-delle-Creste- Sandstein | Piano-delle-Creste- Sandstein |
| 15200039 | Pichoux-Formation | Pichoux-Formation |
| 15203408 | Piémont-Glanzschiefer | Piémont-Glanzschiefer |
| 15203413 | Piémont-Ophiolith | Piémont-Ophiolith |
| 15203345 | Pierre-Avoi-Brekzie | Pierre-Avoi-Brekzie |
| 15203156 | Pierre-Avoi-Melange | Pierre-Avoi-Melange |
| 15200058 | Pierre-Blanche | Pierre-Blanche |
| 15200097 | Pierre-Châtel-, Vions- und Chambotte-Formation, undifferenziert | Pierre-Châtel-, Vions- und Chambotte-Formation, undifferenziert |
| 15200101 | Pierre-Châtel-Formation | Pierre-Châtel-Formation |
| 15200151 | Pierre Jaune de Neuchâtel | Pierre Jaune de Neuchâtel |
| 15202017 | Pierredar-Kalk | Pierredar-Kalk |
| 15203026 | Pissot-Member | Pissot-Member |
| 15202455 | Piz-Cuolmet-Gneiskomplex | Piz-Cuolmet-Gneiskomplex |
| 15203507 | Piz-del-Palo-Gneis | Piz-del-Palo-Gneis |
| 15204111 | Piz-Trovat-Metarhyolit | Piz-Trovat-Metarhyolit |
| 15205051 | Pizzella-Mergel | Pizzella-Mergel |
| 15203351 | Pizzo-Castello-Wildflysch | Pizzo-Castello-Wildflysch |
| 15205094 | Pizzo-Leone-Gneis | Pizzo-Leone-Gneis |
| 15203033 | Plagersflue-Kalkarenit | Plagersflue-Kalkarenit |

| GeolCode | Deutsch | Français |
|----------|---|---|
| 15202361 | Plaine-Morte-Melange | Plaine-Morte-Melange |
| 15203060 | Plan-Falcon-Formation | Plan-Falcon-Formation |
| 15202435 | Planière-Member | Planière-Member |
| 15203146 | Planken-Formation | Planken-Formation |
| 15203145 | Planknerbrücke-Formation | Planknerbrücke-Formation |
| 15202304 | Planplatte-Eisenoolith | Planplatte-Eisenoolith |
| 15204085 | Plasseggen-Augengneis | Plasseggen-Augengneis |
| 15203224 | Plattamala-Granit | Plattamala-Granit |
| 15204008 | Plattas-Member | Plattas-Member |
| 15202602 | Plattazüg-Formation | Plattazüg-Formation |
| 15200146 | Plattensandstein | Plattensandstein |
| 15202058 | Plattenwald-Bank | Plattenwald-Bank |
| 15200218 | Playa-Serie | Playa-Serie |
| 15202203 | Plex-Aboyeu-Rhyodazit | Plex-Aboyeu-Rhyodazit |
| 15202519 | Pliensbachien-Spatkalk | Pliensbachien-Spatkalk |
| 15200444 | Poet-Bank | Poet-Bank |
| 15205087 | Pointe-d'Otemma-Granodiorit | Pointe-d'Otemma-Granodiorit |
| 15203264 | Pointe-de-l'Au-Brekzie | Pointe-de-l'Au-Brekzie |
| 15200390 | Polygene Nagelfluh | Polygene Nagelfluh |
| 15200436 | Poncin-Member | Poncin-Member |
| 15200667 | Pont-des-Pierres-Bank | Pont-des-Pierres-Bank |
| 15205009 | Pontegana-Konglomerat | Pontegana-Konglomerat |
| 15200440 | Ponthoud-Bank | Ponthoud-Bank |
| 15205137 | Pontida-Formation | Pontida-Formation |
| 15202236 | Pontino-Gneiskomplex | Pontino-Gneiskomplex |
| 15202207 | Pormenaz-Granit | Pormenaz-Granit |
| 15200370 | Porrentruy-Konglomerat | Porrentruy-Konglomerat |
| 15200026 | Porrentruy-Member | Porrentruy-Member |
| 15200576 | Posidonienschiefer-Formation | Posidonienschiefer-Formation |
| 15204103 | Postvariszische Diabasgänge | Postvariszische Diabasgänge |
| 15200243 | Prä- und frühvariszische Sedimente und Vulkanite der Nordschweiz | Prä- und frühvariszische Sedimente und Vulkanite der Nordschweiz |
| 15202357 | Prä- und Frühvariszische Sedimente und Vulkanite des Aiguilles-Rouges-Massivs | Prä- und Frühvariszische Sedimente und Vulkanite des Aiguilles-Rouges-Massivs |
| 15203029 | Pra-du-Pont-Hartgrund | Pra-du-Pont-Hartgrund |
| 15204036 | Pra-Grata-Member | Pra-Grata-Member |
| 15204078 | Präbichl-Formation | Präbichl-Formation |
| 15203277 | Pralet-Formation | Pralet-Formation |
| 15205114 | Prasinit der Arolla-Gruppe | Prasinit der Arolla-Gruppe |
| 15203468 | Prasinit der Métailler-Formation | Prasinit der Métailler-Formation |
| 15206041 | Prasinit, undifferenziert | Prasinit, undifferenziert |

| GeolCode | Deutsch | Français |
|----------|--|--|
| 15202347 | Prato-Gneis | Prato-Gneis |
| 15203162 | Prättigau-Schiefer | Prättigau-Schiefer |
| 15200253 | Prävariszische Grüngesteine der Nordschweiz | Prävariszische Grüngesteine der Nordschweiz |
| 15204137 | prävariszische Grüngesteine des Ostalpins | prävariszische Grüngesteine des Ostalpins |
| 15205130 | Prävariszische Metaarkose, Orthogneise | Prävariszische Metaarkose, Orthogneise |
| 15205081 | Prävariszische Metasedimente des Südalpins | Prävariszische Metasedimente des Südalpins |
| 15200250 | Prävariszische Migmatite der Nordschweiz | Prävariszische Migmatite der Nordschweiz |
| 15200246 | Prävariszische Orthogneise der Nordschweiz | Prävariszische Orthogneise der Nordschweiz |
| 15204135 | prävariszische Orthogneise des Ostalpins | prävariszische Orthogneise des Ostalpins |
| 15205136 | Prävariszische Orthogneise des Südalpins | Prävariszische Orthogneise des Südalpins |
| 15204136 | prävariszische Paragneise des Ostalpins | prävariszische Paragneise des Ostalpins |
| 15203475 | Prävariszisches Grundgebirge der Maggia-Decke | Prävariszisches Grundgebirge der Maggia-Decke |
| 15205129 | Prävariszisches Grundgebirge der Margna-Sella | Prävariszisches Grundgebirge der Margna-Sella |
| 15203461 | Prävariszisches Grundgebirge des Briançonnais | Prävariszisches Grundgebirge des Briançonnais |
| 15202340 | Prävariszisches polyzyklisches Grundgebirge der Gotthardt-Decke | Prävariszisches polyzyklisches Grundgebirge der Gotthardt-Decke |
| 15200245 | Prävariszisches polyzyklisches Grundgebirge der Nordschweiz | Prävariszisches polyzyklisches Grundgebirge der Nordschweiz |
| 15202355 | Prävariszisches polyzyklisches Grundgebirge der Tavetsch-Decke | Prävariszisches polyzyklisches Grundgebirge der Tavetsch-Decke |

| GeolCode | Deutsch | Français |
|----------|---|---|
| 15202194 | Prävariszisches polyzyklisches Grundgebirge des Aar-Massivs | Prävariszisches polyzyklisches Grundgebirge des Aar-Massivs |
| 15202334 | Prävariszisches polyzyklisches Grundgebirge des Aiguilles-Rouges-Massivs | Prävariszisches polyzyklisches Grundgebirge des Aiguilles-Rouges-Massivs |
| 15202468 | Prävariszisches polyzyklisches Grundgebirge des Helvetikums | Prävariszisches polyzyklisches Grundgebirge des Helvetikums |
| 15202337 | Prävariszisches polyzyklisches Grundgebirge des Mont-Blanc-Massivs | Prävariszisches polyzyklisches Grundgebirge des Mont-Blanc-Massivs |
| 15204119 | prävariszisches polyzyklisches Grundgebirge des Ostalpins | prävariszisches polyzyklisches Grundgebirge des Ostalpins |
| 15206110 | Prävariszisches, polyzyklisches Grundgebirge, undifferenziert | Prävariszisches, polyzyklisches Grundgebirge, undifferenziert |
| 15202440 | Praz-Couquain-Formation | Praz-Couquain-Formation |
| 15203289 | Praz-Serie | Praz-Serie |
| 15203436 | Preja-Formation | Preja-Formation |
| 15205022 | Prella-Konglomerat | Prella-Konglomerat |
| 15205014 | Prestino-Pelite | Prestino-Pelite |
| 15202601 | Prodkamm- bis Sexmor-Formation, undifferenziert | Prodkamm- bis Sexmor-Formation, undifferenziert |
| 15202131 | Prodkamm-Formation | Prodkamm-Formation |
| 15202390 | Prodkamm-Formation, Mittlerer Teil | Prodkamm-Formation, Mittlerer Teil |
| 15202389 | Prodkamm-Formation, Oberer Teil | Prodkamm-Formation, Oberer Teil |
| 15202391 | Prodkamm-Formation, Unterer Teil | Prodkamm-Formation, Unterer Teil |
| 15202271 | Prosa-Granit | Prosa-Granit |
| 15204053 | Prosanto-Formation | Prosanto-Formation |
| 15205085 | Proterozoische und paläozoische Mafite und Ultramafite des Südalpins | Proterozoische und paläozoische Mafite und Ultramafite des Südalpins |
| 15202239 | Prüsfa-Gneiskomplex | Prüsfa-Gneiskomplex |
| 15200582 | Psilonotenton-Formation | Psilonotenton-Formation |
| 15202456 | Pulanera-Gneiskomplex | Pulanera-Gneiskomplex |
| 15204071 | Punt-la-Drossa-Member | Punt-la-Drossa-Member |

| GeolCode | Deutsch | Français |
|----------|---|---|
| 15203371 | Punta-Rossa-Komplex | Punta-Rossa-Komplex |
| 15202184 | Punteglias-Granit | Punteglias-Granit |
| 15202085 | Pygurus-Member | Pygurus-Member |
| 15202136 | Quarten-Formation | Quarten-Formation |
| 15206038 | Quarzgang | Quarzgang |
| 15205105 | Quarzit der Dolin-Gruppe | Quarzit der Dolin-Gruppe |
| 15203404 | Quarzit der Nordpenninische Trias | Quarzit der Nordpenninische Trias |
| 15203419 | Quarzit der Zermatt-Saas-Decke | Quarzit der Zermatt-Saas-Decke |
| 15206062 | Quarzit, undifferenziert | Quarzit, undifferenziert |
| 15200432 | Quarzitnagelfluh (der St.-Gallen-Fm.) | Quarzitnagelfluh (der St.-Gallen-Fm.) |
| 15206083 | Quarzphyllit, undifferenziert | Quarzphyllit, undifferenziert |
| 15203212 | Quarzsandstein-Flysch (Gault) | Quarzsandstein-Flysch (Gault) |
| 15206117 | Quarzsandstein, undiff. | Quarzsandstein, undiff. |
| 15204034 | Quattervals-Formation | Quattervals-Formation |
| 15202097 | Quinten-Formation | Quinten-Formation |
| 15203137 | Radiolarit | Radiolarit |
| 15203235 | Radiolarit der Arosa-Zone | Radiolarit der Arosa-Zone |
| 15206107 | Radiolarit, undifferenziert | Radiolarit, undifferenziert |
| 15200325 | Radiolaritreiche Nagelfluh | Radiolaritreiche Nagelfluh |
| 15202083 | Rahberg-Bank | Rahberg-Bank |
| 15204149 | Raibl-Gr.: Dolomit | Raibl-Gr.: Dolomit |
| 15204038 | Raibl-Gruppe | Raibl-Gruppe |
| 15204151 | Raibl-Gruppe der Zentralschweizer Klippen | Raibl-Gruppe der Zentralschweizer Klippen |
| 15200371 | Raitsche | Raitsche |
| 15204027 | Ramoz-Member | Ramoz-Member |
| 15200505 | Ramschwag-Nagelfluh | Ramschwag-Nagelfluh |
| 15203070 | Rämsi-Member | Rämsi-Member |
| 15203185 | Randa-Augengneis | Randa-Augengneis |
| 15200570 | Randen-Grobkalk | Randen-Grobkalk |
| 15200398 | Randen-Juranagelfluh | Randen-Juranagelfluh |
| 15200235 | Randgranit | Randgranit |
| 15202063 | Rankweil-Member | Rankweil-Member |
| 15203309 | Raschil-Formation | Raschil-Formation |
| 15202418 | Rauwacke (Röti-Fm.) | Rauwacke (Röti-Fm.) |
| 15203243 | Rauwacke der Brekzien-Decke | Rauwacke der Brekzien-Decke |
| 15205104 | Rauwacke der Dolin-Gruppe | Rauwacke der Dolin-Gruppe |
| 15202547 | Rauwacke der Helvetische Trias | Rauwacke der Helvetische Trias |
| 15203571 | Rauwacke der Klippen-Decke | Rauwacke der Klippen-Decke |

| GeolCode | Deutsch | Français |
|----------|--|--|
| 15204146 | Rauwacke der Raibl-Gruppe | Rauwacke der Raibl-Gruppe |
| 15203575 | Rauwacke und Quarzsandstein der Klippen-Decke (basale Trias) | Rauwacke und Quarzsandstein der Klippen-Decke (basale Trias) |
| 15206022 | Rauwacke, undifferenziert | Rauwacke, undifferenziert |
| 15204061 | Ravais-ch-Member | Ravais-ch-Member |
| 15203011 | Raverette-Member | Raverette-Member |
| 15202074 | Rawil-Member | Rawil-Member |
| 15203025 | Rayes-Kalk | Rayes-Kalk |
| 15200400 | Rebhubel-Schichten | Rebhubel-Schichten |
| 15203509 | Rebi-Gneis | Rebi-Gneis |
| 15204069 | Reichenhall-Formation | Reichenhall-Formation |
| 15203125 | Reidigen-Formation | Reidigen-Formation |
| 15204062 | Reifling-Formation | Reifling-Formation |
| 15202108 | Reischiben-Formation | Reischiben-Formation |
| 15203147 | Reiselsberg-Formation | Reiselsberg-Formation |
| 15200042 | Renggeri-Member | Renggeri-Member |
| 15203556 | Renten-Gneis | Renten-Gneis |
| 15200002 | Reuchenette-Formation | Reuchenette-Formation |
| 15203336 | Rhät der Brekzien-Decke | Rhät der Brekzien-Decke |
| 15203142 | Rhenodanubischer Flysch | Rhenodanubischer Flysch |
| 15206045 | Rhétien, undifferenziert | Rhétien, undifferenziert |
| 15200145 | Rhötton | Rhötton |
| 15206035 | Rhyolit, undifferenziert | Rhyolit, undifferenziert |
| 15203362 | Ri-d'Antabia-Konglomerat | Ri-d'Antabia-Konglomerat |
| 15203388 | Ricard-Rhyolit | Ricard-Rhyolit |
| 15200077 | Rickenbach-Member | Rickenbach-Member |
| 15202373 | Riein-Schichten | Riein-Schichten |
| 15200359 | Rietbad-Subformation | Rietbad-Subformation |
| 15200075 | Rietheim-Member | Rietheim-Member |
| 15203420 | Riffelberg-Melange | Riffelberg-Melange |
| 15204147 | Rifffazies der Arlberg-Formation | Rifffazies der Arlberg-Formation |
| 15200322 | Rigi-Formation | Rigi-Formation |
| 15203085 | Rindenkorn-Mikrofazies | Rindenkorn-Mikrofazies |
| 15203327 | Rinderbach-Formation | Rinderbach-Formation |
| 15202489 | Rinderbiel-Mikrogranit | Rinderbiel-Mikrogranit |
| 15202537 | Ringgenberg-Schichten | Ringgenberg-Schichten |
| 15205017 | Rio-dei-Gioghi-Pelite | Rio-dei-Gioghi-Pelite |
| 15202431 | Riondouneire-Member | Riondouneire-Member |
| 15203322 | Ritter-Gneis | Ritter-Gneis |
| 15205049 | Riva-di-Solto-Tonstein | Riva-di-Solto-Tonstein |
| 15200094 | Rivière-Member | Rivière-Member |
| 15203350 | Robiei-Wildflysch | Robiei-Wildflysch |
| 15202393 | Roc-Champion-Konglomerat | Roc-Champion-Konglomerat |

| GeolCode | Deutsch | Français |
|----------|----------------------------------|----------------------------------|
| 15200650 | Rocher-des-Hirondelles-Formation | Rocher-des-Hirondelles-Formation |
| 15206047 | Rodingit | Rodingit |
| 15203128 | Rodomonts-Formation | Rodomonts-Formation |
| 15203037 | Rodosex-Member | Rodosex-Member |
| 15203330 | Roffna-Gneis | Roffna-Gneis |
| 15202310 | Roggenegg-Komplex | Roggenegg-Komplex |
| 15203540 | Rognoi-Gneis | Rognoi-Gneis |
| 15202072 | Rohrbachstein-Bank | Rohrbachstein-Bank |
| 15205123 | Roisan-Marmor | Roisan-Marmor |
| 15205003 | Roisan-Zone | Roisan-Zone |
| 15203329 | Rombach-Formation | Rombach-Formation |
| 15203030 | Rontins-Member | Rontins-Member |
| 15200031 | Röschenz-Member | Röschenz-Member |
| 15202046 | Rosenlaui-Marmor | Rosenlaui-Marmor |
| 15202487 | Rossbodenstock-Diorit | Rossbodenstock-Diorit |
| 15200640 | Rossemaison-Formation | Rossemaison-Formation |
| 15203519 | Rossi-Formation | Rossi-Formation |
| 15203047 | Rossinière-Formation | Rossinière-Formation |
| 15205034 | Rosso ad Aptici | Rosso ad Aptici |
| 15205036 | Rosso Ammonitico Lombardo | Rosso Ammonitico Lombardo |
| 15202378 | Rossplatten-Diorit | Rossplatten-Diorit |
| 15202499 | Rotberg-Sandstein | Rotberg-Sandstein |
| 15203027 | Rote-Platte-Formation | Rote-Platte-Formation |
| 15203023 | Roter-Sattel-Hartgrund | Roter-Sattel-Hartgrund |
| 15200064 | Rothenfluh-Member | Rothenfluh-Member |
| 15202139 | Röti-Formation | Röti-Formation |
| 15202183 | Rötifirn-Gruppe | Rötifirn-Gruppe |
| 15202221 | Rotondo-Granit | Rotondo-Granit |
| 15203441 | Rottal-Migmatit | Rottal-Migmatit |
| 15203490 | Roz-Schiefer | Roz-Schiefer |
| 15203092 | Rubli-Member | Rubli-Member |
| 15203163 | Ruchberg-Formation | Ruchberg-Formation |
| 15203304 | Rudnal-Formation | Rudnal-Formation |
| 15202356 | Rueras-Gneiskomplex | Rueras-Gneiskomplex |
| 15202314 | Ruestel-Flysch | Ruestel-Flysch |
| 15204009 | Ruhpolding-Formation | Ruhpolding-Formation |
| 15204079 | Ruina-Formation | Ruina-Formation |
| 15202376 | Ruinas-Sandstein | Ruinas-Sandstein |
| 15202372 | Runcaleida-Schichten | Runcaleida-Schichten |
| 15203297 | Ruscada-Gneis | Ruscada-Gneis |
| 15202010 | Rüschenschweid-Bank | Rüschenschweid-Bank |
| 15202181 | Russein-Diorit | Russein-Diorit |
| 15204005 | Russenna-Formation | Russenna-Formation |
| 15200095 | Russille-Member | Russille-Member |
| 15202297 | Rütenen-Konglomerat | Rütenen-Konglomerat |
| 15200541 | Rütiberg-Kalksandstein | Rütiberg-Kalksandstein |

| GeolCode | Deutsch | Français |
|----------|---|---|
| 15200283 | Rütschlibach-Riedhof-Süßwasserkalk | Rütschlibach-Riedhof-Süßwasserkalk |
| 15204059 | S-charl-Formation | S-charl-Formation |
| 15200214 | Saalfeld-Bank | Saalfeld-Bank |
| 15203450 | Saas-Fee-Augengneis | Saas-Fee-Augengneis |
| 15203319 | Sabbione-Sandstein | Sabbione-Sandstein |
| 15200225 | Säckingen-Granit | Säckingen-Granit |
| 15200404 | Sädel-Kalknagelfluh | Sädel-Kalknagelfluh |
| 15202223 | Sädelhorn-Diorit | Sädelhorn-Diorit |
| 15200313 | Safenwil-Muschelsandstein | Safenwil-Muschelsandstein |
| 15203175 | Safien-Kalk | Safien-Kalk |
| 15202444 | Saix-Member | Saix-Member |
| 15203533 | Salahorn-Fm.: Metaplutonit | Salahorn-Fm.: Metaplutonit |
| 15203534 | Salahorn-Fm.: Paragneis | Salahorn-Fm.: Paragneis |
| 15204014 | Salamun-Brekzie | Salamun-Brekzie |
| 15203432 | Salarioli-Serie | Salarioli-Serie |
| 15206019 | Salleren-Brekzie | Salleren-Brekzie |
| 15204013 | Salteras-Formation | Salteras-Formation |
| 15205042 | Saltrio-Formation | Saltrio-Formation |
| 15204011 | Saluver-Formation | Saluver-Formation |
| 15204010 | Saluver-Gruppe | Saluver-Gruppe |
| 15202155 | Salvan-Member | Salvan-Member |
| 15200137 | Salzlager | Salzlager |
| 15205080 | San-Bernardo-Gneis | San-Bernardo-Gneis |
| 15206015 | San-Fedelino-Granit | San-Fedelino-Granit |
| 15205058 | San-Giorgio-Dolomit | San-Giorgio-Dolomit |
| 15205061 | San-Salvatore-Dolomit | San-Salvatore-Dolomit |
| 15203217 | Sanalada-Formation | Sanalada-Formation |
| 15202506 | Sandalp-Rhyolith | Sandalp-Rhyolith |
| 15204080 | Sandhubel-Member | Sandhubel-Member |
| 15202392 | Sandpass-Formation | Sandpass-Formation |
| 15206105 | Sandstein, undifferenziert | Sandstein, undifferenziert |
| 15202016 | Sanetsch-Formation | Sanetsch-Formation |
| 15202280 | Sardona-Melange | Sardona-Melange |
| 15202283 | Sardona-Quarzit | Sardona-Quarzit |
| 15204112 | Sass-Queder-Metarhyolith | Sass-Queder-Metarhyolith |
| 15205091 | Sassa-Metagabbro | Sassa-Metagabbro |
| 15203169 | Sassauna-Formation | Sassauna-Formation |
| 15202343 | Sassina-Augengneis | Sassina-Augengneis |
| 15202238 | Sasso-Rosso-Gneiskomplex | Sasso-Rosso-Gneiskomplex |
| 15204125 | Sasso-Rosso-Granodiorit | Sasso-Rosso-Granodiorit |
| 15200050 | Saulcy-Member | Saulcy-Member |
| 15202247 | Saure vulkanische und subvulkanische Gesteine | Saure vulkanische und subvulkanische Gesteine |
| 15206048 | Saurer Gang | Saurer Gang |

| GeolCode | Deutsch | Français |
|----------|---|---|
| 15203305 | Savognin-Formation | Savognin-Formation |
| 15205030 | Scaglia Bianca Lombarda | Scaglia Bianca Lombarda |
| 15205029 | Scaglia Rossa Lombarda | Scaglia Rossa Lombarda |
| 15205031 | Scaglia Variegata Lombarda | Scaglia Variegata Lombarda |
| 15202511 | Schabell-Mélange | Schabell-Mélange |
| 15200676 | Schafisheim-Syenit | Schafisheim-Syenit |
| 15200497 | Schallenberg-Member | Schallenberg-Member |
| 15200089 | Schambelen-Member | Schambelen-Member |
| 15202035 | Scharti-Member | Scharti-Member |
| 15202539 | Schattwald-Mergelkalk | Schattwald-Mergelkalk |
| 15202315 | Scheidegg-Flysch | Scheidegg-Flysch |
| 15200323 | Scheidegg-Nagelfluh | Scheidegg-Nagelfluh |
| 15200045 | Schellenbrücke-Bank | Schellenbrücke-Bank |
| 15200051 | Schelmenloch-Member | Schelmenloch-Member |
| 15203394 | Scherbadung-Gabbro | Scherbadung-Gabbro |
| 15200421 | Scherli-Quarzitnagelfluh | Scherli-Quarzitnagelfluh |
| 15204028 | Schesaplana-Member | Schesaplana-Member |
| 15203434 | Schiefer der Ruginenta-Decke | Schiefer der Ruginenta-Decke |
| 15200244 | Schiefer und Grauwacken | Schiefer und Grauwacken |
| 15206111 | Schiefer, undifferenziert | Schiefer, undifferenziert |
| 15202450 | Schiefriger Mines-Lias | Schiefriger Mines-Lias |
| 15202100 | Schilt-Formation | Schilt-Formation |
| 15202025 | Schimberg-Member | Schimberg-Member |
| 15200130 | Schinznach-Formation | Schinznach-Formation |
| 15203012 | Schistes à Miches | Schistes à Miches |
| 15200357 | Schistes marno-micacés | Schistes marno-micacés |
| 15203397 | Schistes noirs (Pierre Avoi) | Schistes noirs (Pierre Avoi) |
| 15200465 | Schlächtenhaus-Granit | Schlächtenhaus-Granit |
| 15200682 | Schlächtenhaus-Schiefer | Schlächtenhaus-Schiefer |
| 15200088 | Schleitheim-Bank | Schleitheim-Bank |
| 15203117 | Schlieren-Flysch | Schlieren-Flysch |
| 15203576 | Schlieren-Flysch: Hauptmasse (Paläogen) | Schlieren-Flysch: Hauptmasse (Paläogen) |
| 15203118 | Schlieren-Sandstein | Schlieren-Sandstein |
| 15203573 | Schlieren-Sandstein, im Paläogen tektonisch überprägt | Schlieren-Sandstein, im Paläogen tektonisch überprägt |
| 15203153 | Schloss-Formation | Schloss-Formation |
| 15200224 | Schluchsee-Granit | Schluchsee-Granit |
| 15202379 | Schöllenen-Diorit | Schöllenen-Diorit |
| 15200237 | Schönau-Herrenschwand- Granit | Schönau-Herrenschwand- Granit |
| 15202145 | Schönbüel-Formation | Schönbüel-Formation |
| 15202146 | Schönbüel-Quarzit | Schönbüel-Quarzit |
| 15203119 | Schoni-Sandstein | Schoni-Sandstein |
| 15202073 | Schrattenkalk-Formation | Schrattenkalk-Formation |

| GeolCode | Deutsch | Français |
|----------|--|--|
| 15202590 | Schrattenkalk-Formation, vermergelt | Schrattenkalk-Formation, vermergelt |
| 15200261 | Schüpferegg-Nagelfluh | Schüpferegg-Nagelfluh |
| 15202544 | Schwalmern-Kalk | Schwalmern-Kalk |
| 15202543 | Schwalmern-Schiefer | Schwalmern-Schiefer |
| 15200533 | Schwändibach-Nagelfluh | Schwändibach-Nagelfluh |
| 15200641 | Schwaningen-Merenbach-Rhyolith | Schwaningen-Merenbach-Rhyolith |
| 15200642 | Schwaningen-Weizen-Granit | Schwaningen-Weizen-Granit |
| 15200658 | Schwarzbach-Schichten | Schwarzbach-Schichten |
| 15202114 | Schwarzhorn-Member | Schwarzhorn-Member |
| 15200441 | Scie-Besse-Sandstein | Scie-Besse-Sandstein |
| 15203038 | Sciernes-d'Albeuve-Formation | Sciernes-d'Albeuve-Formation |
| 15203363 | Scisti bruni (Lebendun) | Scisti bruni (Lebendun) |
| 15206054 | Sedimentäre Brekzie, undifferenziert | Sedimentäre Brekzie, undifferenziert |
| 15206030 | Sedimentgestein, undifferenziert | Sedimentgestein, undifferenziert |
| 15200227 | Seeablagerungen | Seeablagerungen |
| 15200206 | Seebi-Member | Seebi-Member |
| 15200506 | Seerücken-Tuffit | Seerücken-Tuffit |
| 15202050 | Seewen-Formation | Seewen-Formation |
| 15202500 | Seez-Member | Seez-Member |
| 15202104 | Seeztal-Member | Seeztal-Member |
| 15200498 | Seli-Nagelfluh | Seli-Nagelfluh |
| 15205125 | Sella-Granodiorit | Sella-Granodiorit |
| 15202057 | Sellamatt-Schichten | Sellamatt-Schichten |
| 15202053 | Selun-Member | Selun-Member |
| 15200418 | Sense-Formation | Sense-Formation |
| 15200363 | Septarienton | Septarienton |
| 15202312 | Serhalten-Flysch | Serhalten-Flysch |
| 15203369 | Série conglomératique (Pierre Avoi) | Série conglomératique (Pierre Avoi) |
| 15200552 | Serie der Süßwasserkalke und Dolomite | Serie der Süßwasserkalke und Dolomite |
| 15203181 | Série du Tounô | Série du Tounô |
| 15203226 | Série Grise | Série Grise |
| 15203225 | Série Rousse | Série Rousse |
| 15203391 | Série schisteuse moyenne | Série schisteuse moyenne |
| 15203390 | Série schisto-gréseuse supérieure | Série schisto-gréseuse supérieure |
| 15203368 | Série schisto-quartzitique (Pierre Avoi) | Série schisto-quartzitique (Pierre Avoi) |
| 15203003 | Seron-Formation | Seron-Formation |
| 15203522 | Seron-Formation, Calcschistes zoogènes | Seron-Formation, Calcschistes zoogènes |

| GeolCode | Deutsch | Français |
|----------|---|---|
| 15203523 | Seron-Formation, Conglomérat moyen | Seron-Formation, Conglomérat moyen |
| 15206042 | Serpentinit, undifferenziert | Serpentinit, undifferenziert |
| 15200663 | Serrières-Bank | Serrières-Bank |
| 15204060 | Sertig-Member | Sertig-Member |
| 15205063 | Servino | Servino |
| 15204107 | Sesvenna-Augengneis | Sesvenna-Augengneis |
| 15203360 | Sevinera-Marmor | Sevinera-Marmor |
| 15203361 | Sevinera-Sandstein | Sevinera-Sandstein |
| 15203266 | Sex-du-Tronc-Kalk | Sex-du-Tronc-Kalk |
| 15202447 | Sex-Mort-Flysch | Sex-Mort-Flysch |
| 15202125 | Sexmor-Formation | Sexmor-Formation |
| 15202404 | Sexmor-Formation, Oberer Teil | Sexmor-Formation, Oberer Teil |
| 15202405 | Sexmor-Formation, Unterer Teil | Sexmor-Formation, Unterer Teil |
| 15200679 | Siblingen-Granit | Siblingen-Granit |
| 15202088 | Sichel-Kalk | Sichel-Kalk |
| 15202042 | Siderolithikum (des Helvetikums) | Siderolithikum (des Helvetikums) |
| 15200091 | Siderolithikum des Juragebirges | Siderolithikum des Juragebirges |
| 15203337 | Siderolithisches Dogger der Klippen-Decke | Siderolithisches Dogger der Klippen-Decke |
| 15203558 | Simano-D.: Amphibolit | Simano-D.: Amphibolit |
| 15203554 | Simano-D.: Dolomitmarmor | Simano-D.: Dolomitmarmor |
| 15203553 | Simano-D.: Kalkmarmor | Simano-D.: Kalkmarmor |
| 15203555 | Simano-D.: Paragneis | Simano-D.: Paragneis |
| 15203559 | Simano-D.: Ultramafitit | Simano-D.: Ultramafitit |
| 15203292 | Simmen-Flysch, undifferenziert | Simmen-Flysch, undifferenziert |
| 15200070 | Sissach-Member | Sissach-Member |
| 15203516 | Sivigia-Gneis | Sivigia-Gneis |
| 15202330 | Sogn-Placi-Gneiskomplex | Sogn-Placi-Gneiskomplex |
| 15203584 | Soladier- und Verdy-Member, undifferenziert | Soladier- und Verdy-Member, undifferenziert |
| 15203045 | Soladier-Member | Soladier-Member |
| 15203495 | Solis-Kalk | Solis-Kalk |
| 15200426 | Solothurner Schildkrötenkalk | Solothurner Schildkrötenkalk |
| 15203046 | Sommant-Formation | Sommant-Formation |
| 15200327 | Sommersberg-Nagelfluh | Sommersberg-Nagelfluh |
| 15202497 | Sonnenberg-Horizonte | Sonnenberg-Horizonte |
| 15202002 | Sörenberg-Melange | Sörenberg-Melange |
| 15202244 | Sorescia-Gneis | Sorescia-Gneis |
| 15206009 | Sorico-Tonalit | Sorico-Tonalit |

| GeolCode | Deutsch | Français |
|----------|---|---|
| 15200041 | Sornetan-Member | Sornetan-Member |
| 15203375 | Sosto-Schiefer | Sosto-Schiefer |
| 15203184 | Sous-le-Rocher-Member | Sous-le-Rocher-Member |
| 15200220 | Spät- bis postvariszische Intrusiva der Nordschweiz | Spät- bis postvariszische Intrusiva der Nordschweiz |
| 15202336 | Spät- bis postvariszische Intrusiva des Mont-Blanc-Massivs | Spät- bis postvariszische Intrusiva des Mont-Blanc-Massivs |
| 15202164 | Spät- bis postvariszische Sedimente und Vulkanite des Aar-Massivs | Spät- bis postvariszische Sedimente und Vulkanite des Aar-Massivs |
| 15202464 | Spät- bis postvariszische Sedimente und Vulkanite des Helvetikums | Spät- bis postvariszische Sedimente und Vulkanite des Helvetikums |
| 15200057 | Spatkalk | Spatkalk |
| 15203139 | Spatkalk (Tissota-Melange) | Spatkalk (Tissota-Melange) |
| 15200319 | Speer-Formation | Speer-Formation |
| 15203303 | Spegnas-Formation | Spegnas-Formation |
| 15202394 | Spirstock-Member | Spirstock-Member |
| 15203076 | Spis-Kalk | Spis-Kalk |
| 15202086 | Spitzern-Member | Spitzern-Member |
| 15202128 | Spitzmeilen-Formation | Spitzmeilen-Formation |
| 15202388 | Spitzmeilen-Formation, Basaler Teil | Spitzmeilen-Formation, Basaler Teil |
| 15202386 | Spitzmeilen-Formation, Oberer Teil | Spitzmeilen-Formation, Oberer Teil |
| 15202387 | Spitzmeilen-Formation, Unterer Teil | Spitzmeilen-Formation, Unterer Teil |
| 15204095 | Sprenkel-Schiefer | Sprenkel-Schiefer |
| 15200054 | St-Brais-Member | St-Brais-Member |
| 15203157 | St-Christophe-Schichten | St-Christophe-Schichten |
| 15200309 | St-Gallen-Formation | St-Gallen-Formation |
| 15203096 | St-Triphon-Formation | St-Triphon-Formation |
| 15200005 | St-Ursanne-Formation | St-Ursanne-Formation |
| 15200238 | St.-Blasien-Granit | St.-Blasien-Granit |
| 15205082 | Stabbiello-Gneis | Stabbiello-Gneis |
| 15202013 | Stad-Formation | Stad-Formation |
| 15202597 | Stad-Formation (e6) | Stad-Formation (e6) |
| 15202588 | Stad-Formation, «Jüngerer Quarzsandstein» | Stad-Formation, «Jüngerer Quarzsandstein» |
| 15200310 | Staffelbach-Grobsandstein | Staffelbach-Grobsandstein |
| 15200011 | Staffelegg-Formation | Staffelegg-Formation |
| 15200675 | Staffelegg-Formation und Opalinus-Ton, undifferenziert | Staffelegg-Formation und Opalinus-Ton, undifferenziert |
| 15203041 | Staldengraben-Formation | Staldengraben-Formation |
| 15200132 | Stamberg-Member | Stamberg-Member |
| 15203074 | Stanserhorn-Formation | Stanserhorn-Formation |

| GeolCode | Deutsch | Français |
|----------|---|---|
| 15203172 | Stätzerhorn-Gruppe | Stätzerhorn-Gruppe |
| 15200466 | Steinatal-Gneiskomplex | Steinatal-Gneiskomplex |
| 15202037 | Steinbach-Member | Steinbach-Member |
| 15203072 | Steinberg-Konglomerat | Steinberg-Konglomerat |
| 15200193 | Steinibach-Member | Steinibach-Member |
| 15203223 | Steinsberg-Kalk | Steinsberg-Kalk |
| 15203454 | Stellihorn-Mylonit | Stellihorn-Mylonit |
| 15202598 | Stgir- und Inferno-Formation, undifferenziert | Stgir- und Inferno-Formation, undifferenziert |
| 15202133 | Stgir-Formation | Stgir-Formation |
| 15202371 | Stgir-Formation, Oberer Teil | Stgir-Formation, Oberer Teil |
| 15202370 | Stgir-Formation, Unterer Teil | Stgir-Formation, Unterer Teil |
| 15200222 | Stockberg-Quarzporphyr | Stockberg-Quarzporphyr |
| 15203273 | Stockenflue-Kalk | Stockenflue-Kalk |
| 15202306 | Stöcki-Sandstein | Stöcki-Sandstein |
| 15202199 | Straligenstöckli- Gneiskomplex | Straligenstöckli- Gneiskomplex |
| 15206033 | Stratigraphische Einheit, undifferenziert | Stratigraphische Einheit, undifferenziert |
| 15202240 | Streifengneis-Komplex | Streifengneis-Komplex |
| 15202186 | Strem-Granit | Strem-Granit |
| 15200639 | Studweid-Formation | Studweid-Formation |
| 15204044 | Stugl-Member | Stugl-Member |
| 15202319 | Subalpiner Flysch | Subalpiner Flysch |
| 15200123 | Subfurcatum-Bank | Subfurcatum-Bank |
| 15203257 | Submédiane-Melange | Submédiane-Melange |
| 15203370 | Südegg-Komplex | Südegg-Komplex |
| 15202295 | Südelbach-Member | Südelbach-Member |
| 15202004 | Südhelvetische Flyscheinheiten | Südhelvetische Flyscheinheiten |
| 15202162 | Südwestlicher Aare-Granit | Südwestlicher Aare-Granit |
| 15200520 | Sulzbach-Member | Sulzbach-Member |
| 15200521 | Sulzbach-Nagelfluh | Sulzbach-Nagelfluh |
| 15203219 | Sulzfluh-Flysch | Sulzfluh-Flysch |
| 15203221 | Sulzfluh-Granit | Sulzfluh-Granit |
| 15203220 | Sulzfluh-Kalk | Sulzfluh-Kalk |
| 15203335 | Sulzgrabe-Formation | Sulzgrabe-Formation |
| 15202309 | Surbrunnen-Flysch | Surbrunnen-Flysch |
| 15202533 | Suren-Flysch | Suren-Flysch |
| 15206113 | Süswasserkalk, undifferenziert | Süswasserkalk, undifferenziert |
| 15206088 | Syenit, undifferenziert | Syenit, undifferenziert |
| 15200584 | Tabalcon-Kalk | Tabalcon-Kalk |
| 15202443 | Taffon-Member | Taffon-Member |

| GeolCode | Deutsch | Français |
|----------|---|---|
| 15206060 | Talkschiefer, undifferenziert | Talkschiefer, undifferenziert |
| 15203352 | Tamier-Zött-Wildflysch | Tamier-Zött-Wildflysch |
| 15202570 | Tamina-Gneiskomplex | Tamina-Gneiskomplex |
| 15202572 | Tamina-Gneiskomplex: mylonitisch | Tamina-Gneiskomplex: mylonitisch |
| 15202571 | Tamina-Gneiskomplex: schiefriger Biotitgneis | Tamina-Gneiskomplex: schiefriger Biotitgneis |
| 15200256 | Tannenberg-Schichten | Tannenberg-Schichten |
| 15200495 | Tannenwald-Schichten | Tannenwald-Schichten |
| 15203506 | Tasna-Altkristallin | Tasna-Altkristallin |
| 15203222 | Tasna-Flysch | Tasna-Flysch |
| 15203333 | Taspegn-Gneis | Taspegn-Gneis |
| 15202011 | Taveyannaz-Formation | Taveyannaz-Formation |
| 15202512 | Taveyannaz-Sandstein, Dachschiefer vorherrschend | Taveyannaz-Sandstein, Dachschiefer vorherrschend |
| 15203354 | Teggiolo-Kalkschiefer | Teggiolo-Kalkschiefer |
| 15206017 | Tektonische Brekzie, undifferenziert | Tektonische Brekzie, undifferenziert |
| 15206114 | Tektonisches Melange | Tektonisches Melange |
| 15202594 | Tektonisches Melange der Internen Einsiedeln-Schuppen | Tektonisches Melange der Internen Einsiedeln-Schuppen |
| 15202453 | Tektonisierte Basis des Glarner-Verrucano | Tektonisierte Basis des Glarner-Verrucano |
| 15206089 | Tektonit, undifferenziert | Tektonit, undifferenziert |
| 15202526 | Telltistock-Granit | Telltistock-Granit |
| 15202233 | Tenelin-Gneiskomplex | Tenelin-Gneiskomplex |
| 15200568 | Tenniken- Muschelagglomerat | Tenniken- Muschelagglomerat |
| 15202366 | Termen-Kalkschiefer | Termen-Kalkschiefer |
| 15202365 | Termen-Tonschiefer | Termen-Tonschiefer |
| 15205020 | Ternate-Formation | Ternate-Formation |
| 15203349 | Terri-Schiefer | Terri-Schiefer |
| 15203373 | Terri-Schiefer_Basale | Terri-Schiefer_Basale |
| 15205071 | Tertiär des Südalpins | Tertiär des Südalpins |
| 15205089 | Tête-de-Valpelline-Phyllit | Tête-de-Valpelline-Phyllit |
| 15200320 | Thun-Formation | Thun-Formation |
| 15203195 | Thyon-Metagranophyr | Thyon-Metagranophyr |
| 15204055 | Tiaun-Brekzie | Tiaun-Brekzie |
| 15202026 | Tierberg-Member | Tierberg-Member |
| 15202129 | Tierces-Formation | Tierces-Formation |
| 15200033 | Tiergarten-Member | Tiergarten-Member |
| 15202075 | Tierwis-Formation | Tierwis-Formation |
| 15200551 | Tillerée-Schichten | Tillerée-Schichten |
| 15203340 | Timun-Komplex | Timun-Komplex |
| 15203130 | Tissota-Melange | Tissota-Melange |

| GeolCode | Deutsch | Français |
|----------|---|---|
| 15202516 | Toarcienschiefer | Toarcienschiefer |
| 15202517 | Toarcienspatkalk | Toarcienspatkalk |
| 15202185 | Tödi-Granit | Tödi-Granit |
| 15200247 | Todtmoos-Horbach- Gneiskomplex | Todtmoos-Horbach- Gneiskomplex |
| 15203180 | Tomül-Mélange | Tomül-Mélange |
| 15204144 | Tonale-Schiefer | Tonale-Schiefer |
| 15206087 | Tonalit, undifferenziert | Tonalit, undifferenziert |
| 15203582 | Toniger Kalkschiefer der Grava-Decke | Toniger Kalkschiefer der Grava-Decke |
| 15206106 | Tonschiefer, undifferenziert | Tonschiefer, undifferenziert |
| 15203312 | Törbel-Gneis | Törbel-Gneis |
| 15205026 | Torre-Konglomerat | Torre-Konglomerat |
| 15203417 | Torrembey-Brekzie | Torrembey-Brekzie |
| 15203040 | Torrent-de-Lessoc- Formation | Torrent-de-Lessoc- Formation |
| 15202124 | Torrentalp-Member | Torrentalp-Member |
| 15202320 | Torrenthorn-Formation | Torrenthorn-Formation |
| 15200270 | Tösswald-Schichten | Tösswald-Schichten |
| 15203493 | Totalp-Serpentinit | Totalp-Serpentinit |
| 15200080 | Trasadingen-Bank | Trasadingen-Bank |
| 15202235 | Tremola-Gneiskomplex | Tremola-Gneiskomplex |
| 15205047 | Tremona-Formation | Tremona-Formation |
| 15203293 | Trepsen-Flysch | Trepsen-Flysch |
| 15203109 | Trias der Brekzien-Decke | Trias der Brekzien-Decke |
| 15203583 | Trias der Grava-Decke, undifferenziert | Trias der Grava-Decke, undifferenziert |
| 15203276 | Trias der Klippen-Decke | Trias der Klippen-Decke |
| 15203014 | Trias der Niesen-Decke | Trias der Niesen-Decke |
| 15202134 | Trias des Helvetikums | Trias des Helvetikums |
| 15200163 | Trias des Juragebirges | Trias des Juragebirges |
| 15204086 | Trias des Ostalpins | Trias des Ostalpins |
| 15205076 | Trias des Südalpins | Trias des Südalpins |
| 15206029 | Trias, undifferenziert | Trias, undifferenziert |
| 15203150 | Triesen-Formation | Triesen-Formation |
| 15202167 | Trift-Formation | Trift-Formation |
| 15203213 | Tristel-Formation | Tristel-Formation |
| 15204064 | Trochitendolomit-Member | Trochitendolomit-Member |
| 15200629 | Trois-Rods-Süßwasserkalk | Trois-Rods-Süßwasserkalk |
| 15200635 | Tröleten-Süßwasserkalk | Tröleten-Süßwasserkalk |
| 15203259 | Trom-Brekzie | Trom-Brekzie |
| 15202098 | Tros-Kalk | Tros-Kalk |
| 15203261 | Troublon-Kalk | Troublon-Kalk |
| 15203258 | Truche-Brekzie | Truche-Brekzie |
| 15204019 | Trupchun-Member | Trupchun-Member |
| 15203508 | Truzzo-Granit | Truzzo-Granit |
| 15202018 | Tsanfleuron-Member | Tsanfleuron-Member |

| GeolCode | Deutsch | Français |
|----------|---|---|
| 15202175 | Tscharren-Formation | Tscharren-Formation |
| 15203203 | Tschera-Marmor | Tschera-Marmor |
| 15204101 | Tschima-da-Flix-Granit | Tschima-da-Flix-Granit |
| 15200636 | Tschöplihof- Süsswasserkalk | Tschöplihof- Süsswasserkalk |
| 15204083 | Tschuggen-Augengneis | Tschuggen-Augengneis |
| 15202507 | Tuffitisches Member (Tscharren) | Tuffitisches Member (Tscharren) |
| 15200378 | Tüllingen-Süsswasserkalk | Tüllingen-Süsswasserkalk |
| 15203206 | Tumpriv-Gruppe | Tumpriv-Gruppe |
| 15204076 | Tuors-Member | Tuors-Member |
| 15204057 | Turettas-Member | Turettas-Member |
| 15200569 | Turritellen-Kalk | Turritellen-Kalk |
| 15200001 | Twannbach-Formation | Twannbach-Formation |
| 15202061 | Twäriberg-Bank | Twäriberg-Bank |
| 15202152 | Üblital-Formation | Üblital-Formation |
| 15200534 | Uerscheli-Formation | Uerscheli-Formation |
| 15200278 | Uetliberg-Mergel | Uetliberg-Mergel |
| 15200276 | Uetliberg-Schichten | Uetliberg-Schichten |
| 15200277 | Uetliberggipfel-Nagelfluh | Uetliberggipfel-Nagelfluh |
| 15202229 | Uffiern-Diorit | Uffiern-Diorit |
| 15204138 | Uglix-Plattenkalk | Uglix-Plattenkalk |
| 15200406 | Ulmiz-Quarzitnagelfluh | Ulmiz-Quarzitnagelfluh |
| 15202279 | Ultrahelvetische Flyscheinheiten | Ultrahelvetische Flyscheinheiten |
| 15206057 | Ultramafische Gesteine | Ultramafische Gesteine |
| 15203469 | Ultramafit der Métailler-Formation | Ultramafit der Métailler-Formation |
| 15205116 | Ultramafitit der Arolla-Gruppe | Ultramafitit der Arolla-Gruppe |
| 15200353 | UMM-I | UMM-I |
| 15200351 | UMM-II | UMM-II |
| 15200349 | UMM-III | UMM-III |
| 15200362 | UMM-J | UMM-J |
| 15202245 | Undifferenzierte Kristallingesteine | Undifferenzierte Kristallingesteine |
| 15202469 | Undifferenziertes Kristallin des Helvetikums | Undifferenziertes Kristallin des Helvetikums |
| 15200453 | Unité Inférieure Oolithique (UIO) | Unité Inférieure Oolithique (UIO) |
| 15200452 | Unité Moyenne Calcaire (UMC) | Unité Moyenne Calcaire (UMC) |
| 15202485 | Unter-der-Flue-Fazies | Unter-der-Flue-Fazies |
| 15200048 | Unter-Erli-Bank | Unter-Erli-Bank |
| 15200555 | Unter-Lochsiti-Nagelfluh | Unter-Lochsiti-Nagelfluh |
| 15200473 | Untere-Felsenkalke- Formation | Untere-Felsenkalke- Formation |

| GeolCode | Deutsch | Français |
|----------|--|--|
| 15200201 | Untere Acuminata-Schichten | Untere Acuminata-Schichten |
| 15203106 | Untere Brekzie | Untere Brekzie |
| 15200560 | Untere Bunte Molasse des Jurasüdfusses | Untere Bunte Molasse des Jurasüdfusses |
| 15202284 | Untere Flyschabfolge (Sardona) | Untere Flyschabfolge (Sardona) |
| 15202396 | Untere Götzis-Bank | Untere Götzis-Bank |
| 15203248 | Untere Kalk- und Tonschiefer der Zone Piz Terri - Lunschania | Untere Kalk- und Tonschiefer der Zone Piz Terri - Lunschania |
| 15203108 | Untere Kalke | Untere Kalke |
| 15200348 | Untere Meeresmolasse (UMM) | Untere Meeresmolasse (UMM) |
| 15200062 | Untere Oolithische Serie (Oolithe Subcompacte) | Untere Oolithische Serie (Oolithe Subcompacte) |
| 15203281 | Untere Rauwacke der Klippen-Decke | Untere Rauwacke der Klippen-Decke |
| 15202536 | Untere Sandsteine (Spirstock) | Untere Sandsteine (Spirstock) |
| 15203107 | Untere Schiefer | Untere Schiefer |
| 15200138 | Untere Sulfatzone | Untere Sulfatzone |
| 15200314 | Untere Süßwassermolasse (USM) | Untere Süßwassermolasse (USM) |
| 15203122 | Untere Tonsteinschichten | Untere Tonsteinschichten |
| 15205100 | Unterer Meride-Kalk | Unterer Meride-Kalk |
| 15202303 | Unterer Quintner Kalk | Unterer Quintner Kalk |
| 15200219 | Unterer Schuttfächer | Unterer Schuttfächer |
| 15200076 | Unterer Stein | Unterer Stein |
| 15200382 | Unterer Teil des Hauptrogensteins | Unterer Teil des Hauptrogensteins |
| 15200018 | Unterer Virgula-Mergel | Unterer Virgula-Mergel |
| 15204073 | Unteres Member der Fuorn-Formation | Unteres Member der Fuorn-Formation |
| 15202341 | Unterwassern-Gneis | Unterwassern-Gneis |
| 15204100 | Ur-Brekzie | Ur-Brekzie |
| 15200289 | Urdorf-Bentonit | Urdorf-Bentonit |
| 15200335 | USM-I | USM-I |
| 15200329 | USM-II | USM-II |
| 15200326 | USM-III | USM-III |
| 15200589 | USM-III bis OSM-I | USM-III bis OSM-I |
| 15200341 | USM-J | USM-J |
| 15200183 | Uttins-Mergel | Uttins-Mergel |
| 15200405 | Utzigen-Muschelsandstein | Utzigen-Muschelsandstein |
| 15200021 | Vabenau-Member | Vabenau-Member |
| 15203539 | Vacarisc-Gneis | Vacarisc-Gneis |
| 15203151 | Vaduz-Flysch | Vaduz-Flysch |
| 15202212 | Val-Bérard-Gneiskomplex | Val-Bérard-Gneiskomplex |

| GeolCode | Deutsch | Français |
|----------|--|--|
| 15203513 | Val-Chironico-Gneis | Val-Chironico-Gneis |
| 15202289 | Val-d'Illiez-Sandstein | Val-d'Illiez-Sandstein |
| 15202488 | Val-da-Surplattas-Diorit | Val-da-Surplattas-Diorit |
| 15202192 | Val-Gliems-Formation | Val-Gliems-Formation |
| 15205013 | Val-Grande-Sandstein | Val-Grande-Sandstein |
| 15202349 | Val-Gronda-Augengneis | Val-Gronda-Augengneis |
| 15202225 | Val-Lavaz-Gruppe | Val-Lavaz-Gruppe |
| 15206011 | Val-Masino-Granodiorit | Val-Masino-Granodiorit |
| 15204074 | Val-Müstair-Gruppe | Val-Müstair-Gruppe |
| 15202346 | Val-Nalps-Gneiskomplex | Val-Nalps-Gneiskomplex |
| 15202265 | Val-Pigniu-Gneiskomplex | Val-Pigniu-Gneiskomplex |
| 15204077 | Val-Püra-Member | Val-Püra-Member |
| 15202231 | Val-Rondadura-Gruppe | Val-Rondadura-Gruppe |
| 15204122 | Val-Rude-Orthogneis | Val-Rude-Orthogneis |
| 15203484 | Val-Sabbia-Formation | Val-Sabbia-Formation |
| 15205059 | Val-Serrata-Tuffite | Val-Serrata-Tuffite |
| 15202276 | Val-Stgira-Riffmarmor | Val-Stgira-Riffmarmor |
| 15202272 | Val-Tremola-Granit | Val-Tremola-Granit |
| 15204040 | Valbella-Member | Valbella-Member |
| 15203459 | Valgrande-Paragneis | Valgrande-Paragneis |
| 15204054 | Vallatscha-Formation | Vallatscha-Formation |
| 15204056 | Vallatscha-Member | Vallatscha-Member |
| 15200093 | Vallorbe-Member | Vallorbe-Member |
| 15202204 | Vallorcine-Granit | Vallorcine-Granit |
| 15202156 | Vallorcine-Konglomerat | Vallorcine-Konglomerat |
| 15205007 | Valpelline-Serie | Valpelline-Serie |
| 15203170 | Valzeina-Formation | Valzeina-Formation |
| 15203043 | Vanil-Carré-Member | Vanil-Carré-Member |
| 15203359 | Vanis-Formation | Vanis-Formation |
| 15204094 | Varaina-Schiefer | Varaina-Schiefer |
| 15205027 | Varesotto-Flysch | Varesotto-Flysch |
| 15200484 | Variansmergel-Formation | Variansmergel-Formation |
| 15203474 | Variszische Intrusiva der Maggia-Decke | Variszische Intrusiva der Maggia-Decke |
| 15205128 | Variszische Intrusiva der Margna-Sella | Variszische Intrusiva der Margna-Sella |
| 15203460 | Variszische Intrusiva des Briançonnais | Variszische Intrusiva des Briançonnais |
| 15204132 | Variszische Intrusiva des Ostalpins | Variszische Intrusiva des Ostalpins |
| 15205079 | Variszische Intrusiva des Südalpins | Variszische Intrusiva des Südalpins |
| 15200617 | Variszisches Grundgebirge der Nordschweiz | Variszisches Grundgebirge der Nordschweiz |
| 15202467 | Variszisches Kristallin des Helvetikums | Variszisches Kristallin des Helvetikums |
| 15202400 | Vättis-Fossilbrekzie | Vättis-Fossilbrekzie |
| 15200443 | Vauglène-Bänke | Vauglène-Bänke |

| GeolCode | Deutsch | Français |
|----------|---|---|
| 15204108 | Vaüglia-Granodiorit | Vaüglia-Granodiorit |
| 15200554 | Vaulruz-Formation (UMM-II+III undiff.) | Vaulruz-Formation (UMM-II+III undiff.) |
| 15200004 | Vellerat-Formation | Vellerat-Formation |
| 15203044 | Verdy-Member | Verdy-Member |
| 15200189 | Verena-Member | Verena-Member |
| 15203314 | Vergeletto-Gneis | Vergeletto-Gneis |
| 15200305 | Vermes-Süßwasserkalk | Vermes-Süßwasserkalk |
| 15202154 | Vernayaz-Formation | Vernayaz-Formation |
| 15200439 | Vernettes-Sandstein | Vernettes-Sandstein |
| 15202143 | Verrucano-Gruppe | Verrucano-Gruppe |
| 15205064 | Verrucano Lombardo | Verrucano Lombardo |
| 15203161 | Versoyen-Schichten | Versoyen-Schichten |
| 15203231 | Verspala-Formation | Verspala-Formation |
| 15206058 | Verwitterter Fels, undifferenziert | Verwitterter Fels, undifferenziert |
| 15203295 | Verzasca-Gneis | Verzasca-Gneis |
| 15202430 | Veveyse-de-Châtel- Member | Veveyse-de-Châtel- Member |
| 15202140 | Vieux-Emosson-Formation | Vieux-Emosson-Formation |
| 15203501 | Vignun-Gneis | Vignun-Gneis |
| 15205019 | Villa-Olmo-Konglomerat | Villa-Olmo-Konglomerat |
| 15202429 | Villarbeney-Formation | Villarbeney-Formation |
| 15200451 | Villers-Schichten | Villers-Schichten |
| 15200105 | Villigen-Formation | Villigen-Formation |
| 15200100 | Vions-Formation | Vions-Formation |
| 15202209 | Viséen | Viséen |
| 15202090 | Vitznau-Mergel | Vitznau-Mergel |
| 15203202 | Vizan-Brekzie | Vizan-Brekzie |
| 15200179 | Vogesen-Sandstein | Vogesen-Sandstein |
| 15203296 | Vogorno-Gneis | Vogorno-Gneis |
| 15203285 | Voirons-Flysch | Voirons-Flysch |
| 15203288 | Voirons-Sandstein | Voirons-Sandstein |
| 15202182 | Voralp-Granit | Voralp-Granit |
| 15202569 | Voralp-Granit: saure Randfazies | Voralp-Granit: saure Randfazies |
| 15203143 | Vorarlberg-Flysch | Vorarlberg-Flysch |
| 15200032 | Vorbourg-Member | Vorbourg-Member |
| 15203287 | Vouan-Konglomerat | Vouan-Konglomerat |
| 15200013 | Vouglans-Member | Vouglans-Member |
| 15200437 | Vraconne-Sandstein | Vraconne-Sandstein |
| 15200153 | Vuache-Formation | Vuache-Formation |
| 15202434 | Vuavres-Member | Vuavres-Member |
| 15203056 | Vudalla-Formation | Vudalla-Formation |
| 15206078 | Vulkanische Gesteine, undifferenziert | Vulkanische Gesteine, undifferenziert |
| 15202023 | Wagenmoos-Bänke | Wagenmoos-Bänke |
| 15203283 | Wägital-Flysch | Wägital-Flysch |

| GeolCode | Deutsch | Français |
|----------|--|--|
| 15203566 | Wägital-Flysch: basaler, tektonisierter Teil | Wägital-Flysch: basaler, tektonisierter Teil |
| 15203564 | Wägital-Flysch: oberer Teil (Paläogen) | Wägital-Flysch: oberer Teil (Paläogen) |
| 15203565 | Wägital-Flysch: untererer Teil (Kreide) | Wägital-Flysch: untererer Teil (Kreide) |
| 15200067 | Waldenburg-Member | Waldenburg-Member |
| 15202375 | Waltensburg-Verrucano | Waltensburg-Verrucano |
| 15200388 | Wanderblock-Bildungen | Wanderblock-Bildungen |
| 15203087 | Wandfluh-Mikrofazies | Wandfluh-Mikrofazies |
| 15202299 | Wang-Brekzie | Wang-Brekzie |
| 15202048 | Wang-Formation | Wang-Formation |
| 15200659 | Wangen- und Letzi-Member, undifferenziert | Wangen- und Letzi-Member, undifferenziert |
| 15202014 | Wängen-Kalk | Wängen-Kalk |
| 15202591 | Wängen-Kalk, Lithothamnienkalk-Fazies | Wängen-Kalk, Lithothamnienkalk-Fazies |
| 15200110 | Wangen-Member | Wangen-Member |
| 15200500 | Wangen-Tuffit | Wangen-Tuffit |
| 15200106 | Wangental-Member | Wangental-Member |
| 15202056 | Wannenalp-Bank | Wannenalp-Bank |
| 15200491 | Wedelsandstein-Formation | Wedelsandstein-Formation |
| 15200543 | Weggis-Formation | Weggis-Formation |
| 15200252 | Wehratal-Syenit | Wehratal-Syenit |
| 15200287 | Wehrenbach-Höckler-Süßwasserkalk | Wehrenbach-Höckler-Süßwasserkalk |
| 15200159 | Weiach-Formation | Weiach-Formation |
| 15200656 | Weilergraben-Formation | Weilergraben-Formation |
| 15203132 | Weissenburg-Flysch | Weissenburg-Flysch |
| 15200085 | Weissenstein-Member | Weissenstein-Member |
| 15202321 | Weissgandstöckli-Bank | Weissgandstöckli-Bank |
| 15203452 | Weissmies-Paragneis | Weissmies-Paragneis |
| 15200158 | Weitenau-Formation | Weitenau-Formation |
| 15200142 | Wellendolomit | Wellendolomit |
| 15200141 | Wellenkalk / Wellenmergel | Wellenkalk / Wellenmergel |
| 15202165 | Wendenjoch-Formation | Wendenjoch-Formation |
| 15200103 | Wettigen-Member | Wettigen-Member |
| 15200251 | Wiesen-Wehratal-Komplex | Wiesen-Wehratal-Komplex |
| 15200157 | Wiesental-Formation | Wiesental-Formation |
| 15200114 | Wildeggen-Formation | Wildeggen-Formation |
| 15203028 | Wildenbach-Member | Wildenbach-Member |
| 15203280 | Wildgrimmi-Member | Wildgrimmi-Member |
| 15202003 | Wildhaus-Melange | Wildhaus-Melange |
| 15202024 | Wildstrubel-Formation | Wildstrubel-Formation |
| 15202166 | Windgällen-Formation | Windgällen-Formation |
| 15202505 | Windgällen-Formation, Mikrogranit | Windgällen-Formation, Mikrogranit |

| GeolCode | Deutsch | Français |
|----------|---|---|
| 15202327 | Windgällen-Formation, Rhyolith | Windgällen-Formation, Rhyolith |
| 15202105 | Windgällen-Member | Windgällen-Member |
| 15202224 | Winterhorn-Granit | Winterhorn-Granit |
| 15200539 | Wintersberg-Member | Wintersberg-Member |
| 15200284 | Winterthur-Bentonit | Winterthur-Bentonit |
| 15203095 | Wiriehorn-Formation | Wiriehorn-Formation |
| 15203204 | Wissberg-Brekzie | Wissberg-Brekzie |
| 15200633 | Wissenbach- Süsswasserkalk | Wissenbach- Süsswasserkalk |
| 15200197 | Wittnau-Korallenkalk | Wittnau-Korallenkalk |
| 15200477 | Wohlgeschichtete-Kalke- Formation | Wohlgeschichtete-Kalke- Formation |
| 15200631 | Wolhusen-Bentonit | Wolhusen-Bentonit |
| 15200122 | Wuerttembergica- Schichten | Wuerttembergica- Schichten |
| 15200508 | Wulp-Rotzone | Wulp-Rotzone |
| 15200483 | Wutach-Formation | Wutach-Formation |
| 15200347 | Wynau-Süsswasserkalk | Wynau-Süsswasserkalk |
| 15202196 | Zäsenberg-Gneis | Zäsenberg-Gneis |
| 15200135 | Zeglingen-Formation | Zeglingen-Formation |
| 15202603 | Zemenstein- bis Garschella-Formation, undifferenziert | Zemenstein- bis Garschella-Formation, undifferenziert |
| 15200470 | Zementmergel-Formation | Zementmergel-Formation |
| 15202093 | Zementstein-Formation | Zementstein-Formation |
| 15202160 | Zentraler Aare-Granit | Zentraler Aare-Granit |
| 15203253 | Zervreila-Granitgneis | Zervreila-Granitgneis |
| 15202586 | Zettenalp-Trochematt- Melange | Zettenalp-Trochematt- Melange |
| 15204025 | Zirmenkopf-Kalk | Zirmenkopf-Kalk |
| 15206014 | Zocca-Aplit | Zocca-Aplit |
| 15205135 | Zona Dioritico-Kinzigitica | Zona Dioritico-Kinzigitica |
| 15200557 | Zone der Schiefermergel (der St.-Gallen-Fm.) | Zone der Schiefermergel (der St.-Gallen-Fm.) |
| 15203075 | Zoophycos-Schichten | Zoophycos-Schichten |
| 15205046 | Zu-Kalk | Zu-Kalk |
| 15200186 | Zuckerkörniger Kalk | Zuckerkörniger Kalk |
| 15203262 | Zünegg-Knollenkalk | Zünegg-Knollenkalk |
| 15200281 | Zürich-Schichten | Zürich-Schichten |
| 15200678 | Zurzach-Granit | Zurzach-Granit |
| 15206094 | Zweiglimmergneis, undifferenziert | Zweiglimmergneis, undifferenziert |
| 15203528 | Zwischenmythen-Mergel | Zwischenmythen-Mergel |
| 999997 | Unknown | Unknown |
| 999998 | Not applicable | Not applicable |

litho *Lithologische Beschreibung*

| GeolCode | Deutsch | Français |
|----------|--|--|
| 15104015 | (Meso)Kataklasit | (Meso)Kataklasit |
| 15104044 | Adergneis | Adergneis |
| 15104046 | agmatischer Gneis | agmatischer Gneis |
| 15104087 | Albitit | Albitit |
| 15103040 | Alkalirhyolith | Alkalirhyolith |
| 15103013 | Alkalisyenit | Alkalisyenit |
| 15103046 | Alkalitrachyt | Alkalitrachyt |
| 15103006 | Alkalogranit | Alkalogranit |
| 15101039 | Alluvion, undifferenziert | Alluvion, undifferenziert |
| 15104060 | Amphibolit | Amphibolit |
| 15104063 | Amphibolitgneis | Amphibolitgneis |
| 15104074 | Anatexit, undifferenziert | Anatexit, undifferenziert |
| 15103045 | Andesit | Andesit |
| 15102071 | Anhydrit | Anhydrit |
| 15102059 | Anthrazit | Anthrazit |
| 15101067 | anthropogene Elemente, undifferenziert | anthropogene Elemente, undifferenziert |
| 15101062 | äolischer Sand, Flugsand | äolischer Sand, Flugsand |
| 15101061 | äolisches Sediment, undifferenziert | äolisches Sediment, undifferenziert |
| 15103030 | Aplit | Aplit |
| 15102044 | Aptychenkalk | Aptychenkalk |
| 15102038 | Arenit | Arenit |
| 15102016 | Arkose | Arkose |
| 15103058 | Aschentuff | Aschentuff |
| 15101071 | Auffüllung | Auffüllung |
| 15101070 | Aufschüttung, Damm | Aufschüttung, Damm |
| 15104042 | Augengneis | Augengneis |
| 15101041 | Bachschutt | Bachschutt |
| 15104061 | Bänderamphibolit | Bänderamphibolit |
| 15104043 | Bändergneis | Bändergneis |
| 15103048 | Basalt | Basalt |
| 15103068 | basisches Ganggestein | basisches Ganggestein |
| 15103069 | Basisches Gestein | Basisches Gestein |
| 15103066 | Bentonit | Bentonit |
| 15101006 | Bergsturzablagerung | Bergsturzablagerung |
| 15102045 | biogener Kalkstein, undifferenziert | biogener Kalkstein, undifferenziert |
| 15102032 | biogenes / biochemisches / organisches Sedimentgestein, undifferenziert | biogenes / biochemisches / organisches Sedimentgestein, undifferenziert |
| 15102106 | bioklastischer Kalk | bioklastischer Kalk |
| 15104085 | Biotitit | Biotitit |
| 15101015 | Blockgletscher | Blockgletscher |
| 15101010 | Blockschutt | Blockschutt |

| GeolCode | Deutsch | Français |
|----------|---|---|
| 15102082 | Bohnerz | Bohnerz |
| 15102087 | Boluston | Boluston |
| 15102006 | Brekzie | Brekzie |
| 15102093 | Caliche | Caliche |
| 15102068 | chemisches Sedimentgestein, undifferenziert | chemisches Sedimentgestein, undifferenziert |
| 15104089 | Chloritit | Chloritit |
| 15104034 | Chloritschiefer | Chloritschiefer |
| 15103043 | Dazit | Dazit |
| 15101072 | Deponie | Deponie |
| 15101049 | detritische Verlandungsbildung | detritische Verlandungsbildung |
| 15102046 | detritischer Kalk | detritischer Kalk |
| 15104079 | Diatexit mit nebulitischer Textur | Diatexit mit nebulitischer Textur |
| 15104080 | Diatexit mit Schlierentextur | Diatexit mit Schlierentextur |
| 15104081 | Diatexit mit Schollentextur | Diatexit mit Schollentextur |
| 15103011 | Diorit | Diorit |
| 15103035 | Dolerit | Dolerit |
| 15102049 | Dolomit | Dolomit |
| 15102109 | Dolomitbrekzie | Dolomitbrekzie |
| 15104216 | dolomitischer Marmor | dolomitischer Marmor |
| 15102012 | Dolomitsandstein | Dolomitsandstein |
| 15101075 | dünne Lockermaterialbedeckung | dünne Lockermaterialbedeckung |
| 15102100 | Echinodermenkalk | Echinodermenkalk |
| 15102061 | Eisenoolith | Eisenoolith |
| 15102103 | Eisensandstein | Eisensandstein |
| 15102108 | eisenschüssiger Kalk | eisenschüssiger Kalk |
| 15104064 | Eklogit | Eklogit |
| 15101086 | Entwässerungssediment | Entwässerungssediment |
| 15103039 | Ergussgestein, undifferenziert | Ergussgestein, undifferenziert |
| 15103023 | Essexit | Essexit |
| 15102070 | Evaporit, undifferenziert | Evaporit, undifferenziert |
| 15103037 | Extrusivgestein, undifferenziert | Extrusivgestein, undifferenziert |
| 15104053 | Fels, undifferenziert | Fels, undifferenziert |
| 15101007 | Felssturzablagerung | Felssturzablagerung |
| 15101040 | fluviatiler Schotter | fluviatiler Schotter |
| 15101026 | fluviatiles Sediment, undifferenziert | fluviatiles Sediment, undifferenziert |
| 15102017 | Flyschsandstein, Grauwacke | Flyschsandstein, Grauwacke |
| 15103015 | Gabbro | Gabbro |

| GeolCode | Deutsch | Français |
|----------|---|---|
| 15103026 | Ganggestein, undifferenziert | Ganggestein, undifferenziert |
| 15101035 | gemischter Schutt | gemischter Schutt |
| 15101076 | geringmächtige Lockergesteinsbedeckung | geringmächtige Lockergesteinsbedeckung |
| 15104210 | Geröll führender Metasandstein | Geröll führender Metasandstein |
| 15102018 | Geröll führender Sandstein | Geröll führender Sandstein |
| 15104027 | Gestein der Regional- und Kontaktmetamorphose, undifferenziert | Gestein der Regional- und Kontaktmetamorphose, undifferenziert |
| 15104002 | Gestein der Störungszone | Gestein der Störungszone |
| 15104003 | Gestein der Störungszone, undifferenziert | Gestein der Störungszone, undifferenziert |
| 15104006 | Gesteinsmehl | Gesteinsmehl |
| 15102072 | Gips | Gips |
| 15102101 | glaukonitischer Kalkstein | glaukonitischer Kalkstein |
| 15102104 | glaukonitischer Mergel | glaukonitischer Mergel |
| 15102020 | Glaukonitsandstein | Glaukonitsandstein |
| 15104036 | Glaukophanschiefer | Glaukophanschiefer |
| 15101031 | glazifluviatiler Schotter | glazifluviatiler Schotter |
| 15101028 | glazifluviatiles Sediment, undifferenziert | glazifluviatiles Sediment, undifferenziert |
| 15101019 | glazigenes Sediment, undifferenziert | glazigenes Sediment, undifferenziert |
| 15101047 | glazilakustrisches Deltasediment | glazilakustrisches Deltasediment |
| 15101046 | glazilakustrisches Sediment, undifferenziert | glazilakustrisches Sediment, undifferenziert |
| 15102019 | Glimmersandstein | Glimmersandstein |
| 15104035 | Glimmerschiefer | Glimmerschiefer |
| 15104072 | Gneis mit Feldspatblasten | Gneis mit Feldspatblasten |
| 15104041 | Gneis, undifferenziert | Gneis, undifferenziert |
| 15104097 | Granat-Glimmerschiefer | Granat-Glimmerschiefer |
| 15103007 | Granit | Granit |
| 15103008 | Granodiorit | Granodiorit |
| 15103024 | Granophyr | Granophyr |
| 15104058 | Granulit | Granulit |
| 15101003 | gravitative Sedimente und Verwitterungsbildungen, undifferenziert | gravitative Sedimente und Verwitterungsbildungen, undifferenziert |
| 15104071 | Greisen | Greisen |
| 15104098 | Grünschiefer | Grünschiefer |
| 15101079 | Gyttja | Gyttja |
| 15101073 | Halde | Halde |
| 15101014 | Hanglehm, Schwemmlehm | Hanglehm, Schwemmlehm |
| 15101009 | Hangschutt | Hangschutt |
| 15104086 | Hornblendit | Hornblendit |

| GeolCode | Deutsch | Français |
|----------|--|--|
| 15104067 | Hornfels | Hornfels |
| 15102054 | Hornstein, Chert | Hornstein, Chert |
| 15102088 | Huppererde | Huppererde |
| 15101081 | hydrochemische Bildungen (Kalksinter) | hydrochemische Bildungen (Kalksinter) |
| 15103054 | Ignimbrit | Ignimbrit |
| 15101083 | In-situ- Verwitterungsschutt | In-situ- Verwitterungsschutt |
| 15103003 | Intrusivgestein, undifferenziert | Intrusivgestein, undifferenziert |
| 15104005 | Kakirit, undifferenziert | Kakirit, undifferenziert |
| 15102041 | Kalkbrekzie | Kalkbrekzie |
| 15102029 | Kalkmergelstein | Kalkmergelstein |
| 15102042 | Kalkoolith | Kalkoolith |
| 15102011 | Kalksandstein | Kalksandstein |
| 15104037 | Kalkschiefer | Kalkschiefer |
| 15104054 | Kalksilikatfels | Kalksilikatfels |
| 15102034 | Kalkstein, undifferenziert | Kalkstein, undifferenziert |
| 15104056 | Karbonat- und Silikat führendes Gestein | Karbonat- und Silikat führendes Gestein |
| 15102075 | Karbonat, undifferenziert | Karbonat, undifferenziert |
| 15103051 | Karbonatit | Karbonatit |
| 15104010 | Kataklasit, undifferenziert | Kataklasit, undifferenziert |
| 15102013 | kieseliger Sandstein | kieseliger Sandstein |
| 15102051 | kieseliges Gestein, undifferenziert | kieseliges Gestein, undifferenziert |
| 15102035 | Kieselkalk | Kieselkalk |
| 15104051 | Kinzigit | Kinzigit |
| 15102003 | klastisches Sedimentgestein, undifferenziert | klastisches Sedimentgestein, undifferenziert |
| 15104007 | Kluftletten | Kluftletten |
| 15102056 | Kohle, undifferenziert | Kohle, undifferenziert |
| 15102007 | Konglomerat | Konglomerat |
| 15102005 | Konglomerat und Brekzie, undifferenziert (Psephit, Korngrösse: Kies, Steine und Blöcke) | Konglomerat und Brekzie, undifferenziert (Psephit, Korngrösse: Kies, Steine und Blöcke) |
| 15102105 | kreidiger Kalk | kreidiger Kalk |
| 15103057 | Kristalltuff | Kristalltuff |
| 15102094 | Krustenkalk | Krustenkalk |
| 15101069 | künstliche Ablagerung, undifferenziert | künstliche Ablagerung, undifferenziert |
| 15101057 | lakustrisches Deltasediment | lakustrisches Deltasediment |
| 15101044 | lakustrisches Sediment, undifferenziert | lakustrisches Sediment, undifferenziert |
| 15103033 | Lamprophyr | Lamprophyr |

| GeolCode | Deutsch | Français |
|----------|--------------------------------------|--------------------------------------|
| 15103056 | Lapillituff | Lapillituff |
| 15101008 | Lawinenschutt | Lawinenschutt |
| 15104047 | Leptinit | Leptinit |
| 15102057 | Lignit (organisches Sedimentgestein) | Lignit (organisches Sedimentgestein) |
| 15101054 | Lignit (palustrisches Sediment) | Lignit (palustrisches Sediment) |
| 15102102 | Lithothamniensandstein | Lithothamniensandstein |
| 15101001 | Lockergestein | Lockergestein |
| 15101063 | Löss, Lösslehm | Löss, Lösslehm |
| 15103001 | Magmatit | Magmatit |
| 15104055 | Marmor (Fels) | Marmor (Fels) |
| 15104215 | Marmor (sedimentärer Protolith) | Marmor (sedimentärer Protolith) |
| 15102014 | mergeliger Sandstein | mergeliger Sandstein |
| 15102107 | Mergelkalk | Mergelkalk |
| 15102027 | Mergelstein | Mergelstein |
| 15104433 | Metaalkalirhyolith | Metaalkalirhyolith |
| 15104411 | Metaalkalisyenit | Metaalkalisyenit |
| 15104439 | Metaalkalitrachyt | Metaalkalitrachyt |
| 15104404 | Metaalkalogranit | Metaalkalogranit |
| 15104438 | Metaandesit | Metaandesit |
| 15104427 | Metaaplit | Metaaplit |
| 15104208 | Metaarkose | Metaarkose |
| 15104441 | Metabasalt | Metabasalt |
| 15104203 | Metabrekzie | Metabrekzie |
| 15104436 | Metadazit | Metadazit |
| 15104409 | Metadiorit | Metadiorit |
| 15104432 | Metadolerit | Metadolerit |
| 15104421 | Metaessexit | Metaessexit |
| 15104413 | Metagabbro | Metagabbro |
| 15104423 | Metaganggestein | Metaganggestein |
| 15104405 | Metagranit | Metagranit |
| 15104406 | Metagranodiorit | Metagranodiorit |
| 15104422 | Metagranophyr | Metagranophyr |
| 15104209 | Metagrauwacke | Metagrauwacke |
| 15104445 | Metaignimbrit | Metaignimbrit |
| 15104218 | Metakarbonat | Metakarbonat |
| 15104204 | Metakonglomerat | Metakonglomerat |
| 15104430 | Metalamprophyr | Metalamprophyr |
| 15104401 | Metamagmatit | Metamagmatit |
| 15104214 | Metamergel | Metamergel |
| 15104428 | Metamikrodiorit | Metamikrodiorit |
| 15104429 | Metamikrogabbro | Metamikrogabbro |
| 15104424 | Metamikrogranit | Metamikrogranit |
| 15104415 | Metamonzodiorit | Metamonzodiorit |
| 15104416 | Metamonzogabbro | Metamonzogabbro |
| 15104417 | Metamonzonit | Metamonzonit |

| GeolCode | Deutsch | Français |
|----------|--|--|
| 15104402 | metamorph überprägtes Intrusivgestein | metamorph überprägtes Intrusivgestein |
| 15104444 | metamorph überprägtes pyroklastisches Gestein | metamorph überprägtes pyroklastisches Gestein |
| 15104001 | Metamorphit | Metamorphit |
| 15104095 | Metamorphit (magmatischer Protolith erkennbar) | Metamorphit (magmatischer Protolith erkennbar) |
| 15104092 | Metamorphit (Protolith erkennbar) | Metamorphit (Protolith erkennbar) |
| 15104093 | Metamorphit (sedimentärer Protolith erkennbar) | Metamorphit (sedimentärer Protolith erkennbar) |
| 15104414 | Metanorit | Metanorit |
| 15104426 | Metapegmatit | Metapegmatit |
| 15104211 | Metapelit | Metapelit |
| 15104419 | Metaperidotit | Metaperidotit |
| 15104443 | Metaphonolit | Metaphonolit |
| 15104431 | Metapikrit | Metapikrit |
| 15104403 | Metaplutonit | Metaplutonit |
| 15104207 | Metapsammit | Metapsammit |
| 15104202 | Metapsephit | Metapsephit |
| 15104418 | Metapyroxenit | Metapyroxenit |
| 15104437 | Metaquarzandesit | Metaquarzandesit |
| 15104407 | Metaquarzdiorit | Metaquarzdiorit |
| 15104412 | Metaquarzgabbro | Metaquarzgabbro |
| 15104217 | Metaradiolarit | Metaradiolarit |
| 15104435 | Metarhyodazit | Metarhyodazit |
| 15104434 | Metarhyolith | Metarhyolith |
| 15104205 | Metasandstein | Metasandstein |
| 15104201 | Metasediment | Metasediment |
| 15104212 | Metasiltstein | Metasiltstein |
| 15104069 | Metasomatit, undifferenziert | Metasomatit, undifferenziert |
| 15104410 | Metasyenit | Metasyenit |
| 15104076 | Metatexit mit Fleckentextur | Metatexit mit Fleckentextur |
| 15104078 | Metatexit mit Netztextur | Metatexit mit Netztextur |
| 15104077 | Metatexit mit stromatitischer Textur | Metatexit mit stromatitischer Textur |
| 15104408 | Metatonalit | Metatonalit |
| 15104440 | Metatrachyt | Metatrachyt |
| 15104446 | Metavulkanit | Metavulkanit |
| 15104075 | Migmatit | Migmatit |
| 15102037 | Mikrit | Mikrit |
| 15103031 | Mikrodiorit | Mikrodiorit |
| 15103032 | Mikrogabbro | Mikrogabbro |
| 15103027 | Mikrogranit | Mikrogranit |

| GeolCode | Deutsch | Français |
|----------|--|--|
| 15104084 | monomineralischer Metamorphit, undifferenziert | monomineralischer Metamorphit, undifferenziert |
| 15103017 | Monzodiorit | Monzodiorit |
| 15103018 | Monzogabbro | Monzogabbro |
| 15103019 | Monzonit | Monzonit |
| 15101021 | Moräne (Till), undifferenziert | Moräne (Till), undifferenziert |
| 15101024 | Moräne auf Gletscher oder Toteis (Glacier or Dead Ice covered by Till) | Moräne auf Gletscher oder Toteis (Glacier or Dead Ice covered by Till) |
| 15101037 | Murgangablagerung | Murgangablagerung |
| 15102022 | Muschelsandstein | Muschelsandstein |
| 15104020 | Mylonit | Mylonit |
| 15104018 | Mylonit, undifferenziert | Mylonit, undifferenziert |
| 15104420 | nephelinitischer Metasyenit | nephelinitischer Metasyenit |
| 15103022 | nephelinitischer Syenit | nephelinitischer Syenit |
| 15103016 | Norit | Norit |
| 15102043 | Nummulitenkalk | Nummulitenkalk |
| 15102021 | Nummulitensandstein | Nummulitensandstein |
| 15104099 | Ophikalzit | Ophikalzit |
| 15104049 | Orthogneis | Orthogneis |
| 15101050 | palustrisches Sediment | palustrisches Sediment |
| 15101051 | palustrisches Sediment, undifferenziert | palustrisches Sediment, undifferenziert |
| 15104048 | Paragneis | Paragneis |
| 15102092 | pedogenes Karbonat, undifferenziert | pedogenes Karbonat, undifferenziert |
| 15103029 | Pegmatit | Pegmatit |
| 15102024 | Pelit, undifferenziert | Pelit, undifferenziert |
| 15103021 | Peridotit (Intrusivgestein) | Peridotit (Intrusivgestein) |
| 15104065 | Peridotit (Metamorphit) | Peridotit (Metamorphit) |
| 15103050 | Phonolith | Phonolith |
| 15102065 | phosphoritreicher Kalkstein | phosphoritreicher Kalkstein |
| 15102066 | phosphoritreicher Mergelstein | phosphoritreicher Mergelstein |
| 15102064 | phosphoritreicher Sandstein | phosphoritreicher Sandstein |
| 15102063 | phosphoritreiches Gestein, undifferenziert | phosphoritreiches Gestein, undifferenziert |
| 15104029 | Phyllit | Phyllit |
| 15104023 | Phyllonit | Phyllonit |
| 15103049 | Pikrit (Effusiva) | Pikrit (Effusiva) |
| 15103034 | Pikrit (Intrusivgestein) | Pikrit (Intrusivgestein) |
| 15101013 | Plateaulehm | Plateaulehm |
| 15104038 | Prasinit | Prasinit |

| GeolCode | Deutsch | Français |
|----------|--|--|
| 15104014 | Protokataklasit | Protokataklasit |
| 15104019 | Protomylonit | Protomylonit |
| 15104025 | Pseudotachylit | Pseudotachylit |
| 15103055 | Pyroklastische Brekzie | Pyroklastische Brekzie |
| 15103053 | pyroklastisches Gestein, undifferenziert (vulkanischer Tuff, > 75 % pyroklast. Komp.) | pyroklastisches Gestein, undifferenziert (vulkanischer Tuff, > 75 % pyroklast. Komp.) |
| 15103020 | Pyroxenit (Intrusivgestein) | Pyroxenit (Intrusivgestein) |
| 15104088 | Pyroxenit (monomineralischer Metamorphit) | Pyroxenit (monomineralischer Metamorphit) |
| 15103044 | Quarzandesit | Quarzandesit |
| 15103009 | Quarzdiorit | Quarzdiorit |
| 15103014 | Quarzgabbro | Quarzgabbro |
| 15104091 | Quarzit (monomineralischer Metamorphit) | Quarzit (monomineralischer Metamorphit) |
| 15104206 | Quarzit (sedimentärer Protolith) | Quarzit (sedimentärer Protolith) |
| 15102089 | Quarzsand | Quarzsand |
| 15102010 | Quarzsandstein | Quarzsandstein |
| 15104096 | Quarzschiefer | Quarzschiefer |
| 15101080 | Quelltuff (Kalksinter, Lockergestein) | Quelltuff (Kalksinter, Lockergestein) |
| 15102077 | Quelltuff (Kalksinter, Sedimentgestein) | Quelltuff (Kalksinter, Sedimentgestein) |
| 15102052 | Radiolarit | Radiolarit |
| 15101030 | randglazialer Schotter | randglazialer Schotter |
| 15104011 | Rauwacke (Kataklasit) | Rauwacke (Kataklasit) |
| 15102076 | Rauwacke (Sedimentgestein) | Rauwacke (Sedimentgestein) |
| 15102080 | Residualgestein / pedogen überprägtes Gestein, undifferenziert | Residualgestein / pedogen überprägtes Gestein, undifferenziert |
| 15103042 | Rhyodazit | Rhyodazit |
| 15103041 | Rhyolith | Rhyolith |
| 15103028 | Rhyolithporphyr | Rhyolithporphyr |
| 15102040 | Riffkalk | Riffkalk |
| 15104059 | Rodingit | Rodingit |
| 15101033 | Rückzugsschotter | Rückzugsschotter |
| 15102039 | Rudit | Rudit |
| 15101017 | Rutschmasse | Rutschmasse |
| 15102009 | Sandstein, undifferenziert (Psammit: Sandkorngrösse) | Sandstein, undifferenziert (Psammit: Sandkorngrösse) |
| 15103067 | saures Ganggestein | saures Ganggestein |
| 15104031 | Schiefer, undifferenziert | Schiefer, undifferenziert |

| GeolCode | Deutsch | Français |
|----------|---|---|
| 15102030 | Schlammstein | Schlammstein |
| 15104062 | Schollenamphibolit | Schollenamphibolit |
| 15101087 | Sedimentärer Gang (clastic dike) | Sedimentärer Gang (clastic dike) |
| 15102001 | Sedimentgestein | Sedimentgestein |
| 15101058 | Seebodensediment | Seebodensediment |
| 15101059 | Seekreide | Seekreide |
| 15104033 | Serizitschiefer | Serizitschiefer |
| 15104090 | Serpentinit | Serpentinit |
| 15102084 | siderolithische Verwitterungsbildungen | siderolithische Verwitterungsbildungen |
| 15102090 | Silcrete | Silcrete |
| 15104057 | silikatreicher Marmor | silikatreicher Marmor |
| 15102086 | silikatreiches Gestein, undifferenziert | silikatreiches Gestein, undifferenziert |
| 15102025 | Siltstein | Siltstein |
| 15104070 | Skarn | Skarn |
| 15102036 | Spatkalk | Spatkalk |
| 15102053 | Spiculit | Spiculit |
| 15101034 | Stauschotter | Stauschotter |
| 15102058 | Steinkohle | Steinkohle |
| 15102073 | Steinsalz | Steinsalz |
| 15101056 | Strandablagerungen | Strandablagerungen |
| 15104050 | Stronalit | Stronalit |
| 15101084 | strukturiertes Hangschutt | strukturiertes Hangschutt |
| 15101005 | Sturzablagerung, undifferenziert | Sturzablagerung, undifferenziert |
| 15101048 | subaquatisch abgelagerte Moräne (Waterlaid Till) | subaquatisch abgelagerte Moräne (Waterlaid Till) |
| 15101052 | Sumpf | Sumpf |
| 15102047 | Süßwasserkalk | Süßwasserkalk |
| 15103012 | Syenit | Syenit |
| 15104039 | Talkschiefer | Talkschiefer |
| 15104008 | tektonische Brekzie (kohäsionslos) | tektonische Brekzie (kohäsionslos) |
| 15104013 | tektonische Brekzie (mit Kohäsion) | tektonische Brekzie (mit Kohäsion) |
| 15104012 | tektonische Dolomitbrekzie | tektonische Dolomitbrekzie |
| 15104448 | tektonische Kalkbrekzie | tektonische Kalkbrekzie |
| 15103005 | Tiefengestein, undifferenziert | Tiefengestein, undifferenziert |
| 15101078 | tiefgründige Verwitterungsdecke | tiefgründige Verwitterungsdecke |
| 15103010 | Tonalit | Tonalit |
| 15102015 | toniger Sandstein | toniger Sandstein |
| 15102028 | Tonmergelstein | Tonmergelstein |
| 15104032 | Tonschiefer (Schiefer) | Tonschiefer (Schiefer) |

| GeolCode | Deutsch | Français |
|----------|--|--|
| 15104213 | Tonschiefer (sedimentärer Protolith) | Tonschiefer (sedimentärer Protolith) |
| 15102026 | Tonstein | Tonstein |
| 15101053 | Torfmoor, Torf | Torfmoor, Torf |
| 15103047 | Trachyt | Trachyt |
| 15101082 | Travertin (Kalksinter, Lockergestein) | Travertin (Kalksinter, Lockergestein) |
| 15102078 | Travertin (Kalksinter, Sedimentgestein) | Travertin (Kalksinter, Sedimentgestein) |
| 15101085 | Tsunamiablagerung | Tsunamiablagerung |
| 15103060 | Tuffit, undifferenziert (pyroklast. und nicht vulk. Sedimente, 75-25 % pyroklast. Komp.) | Tuffit, undifferenziert (pyroklast. und nicht vulk. Sedimente, 75-25 % pyroklast. Komp.) |
| 15103061 | tuffitische Brekzie | tuffitische Brekzie |
| 15103063 | tuffitischer Sandstein | tuffitischer Sandstein |
| 15103064 | tuffitischer Siltstein | tuffitischer Siltstein |
| 15103065 | tuffitischer Tonstein | tuffitischer Tonstein |
| 15103062 | tuffitisches Konglomerat | tuffitisches Konglomerat |
| 15101042 | Überschwemmungssediment | Überschwemmungssediment |
| 15103070 | Ultrabasisches Gestein | Ultrabasisches Gestein |
| 15104016 | Ultrakataklasit | Ultrakataklasit |
| 15104447 | ultramafisches Gestein | ultramafisches Gestein |
| 15104021 | Ultramylonit | Ultramylonit |
| 15101012 | Verwitterungslehm, undifferenziert | Verwitterungslehm, undifferenziert |
| 15101032 | Vorstossschotter | Vorstossschotter |
| 15101065 | vulkanische Asche | vulkanische Asche |
| 15101016 | zerrüttete Sackungsmasse | zerrüttete Sackungsmasse |
| 15104045 | Zweiglimmergneis | Zweiglimmergneis |
| 999997 | Unknown | Unknown |
| 999998 | Not applicable | Not applicable |

chrono_t Chronostratigraphische Zuordnung der Obergrenze der Kartiereinheit (Top)

| GeolCode | Deutsch | Français |
|----------|------------|------------|
| 15001074 | Aalénien | Aalénien |
| 15001059 | Albien | Albien |
| 15001087 | Anisien | Anisien |
| 15001060 | Aptien | Aptien |
| 15001028 | Aquitanién | Aquitanién |
| 15001153 | Archaikum | Archaikum |
| 15001113 | Artinskien | Artinskien |
| 15001117 | Asselien | Asselien |
| 15001073 | Bajocien | Bajocien |

| GeolCode | Deutsch | Français |
|----------|----------------------|----------------------|
| 15001061 | Barrémien | Barrémien |
| 15001041 | Bartonien | Bartonien |
| 15001140 | Bashkirien | Bashkirien |
| 15001072 | Bathonien | Bathonien |
| 15001064 | Berriasien | Berriasien |
| 15001025 | Burdigalien | Burdigalien |
| 15001010 | Calabrien | Calabrien |
| 15001071 | Callovien | Callovien |
| 15001053 | Campanien | Campanien |
| 15001102 | Capitanien | Capitanien |
| 15001084 | Carnien | Carnien |
| 15001057 | Cénomanien | Cénomanien |
| 15001096 | Changhsingien | Changhsingien |
| 15001031 | Chattien | Chattien |
| 15001151 | Chibanien | Chibanien |
| 15001110 | Cisuralien | Cisuralien |
| 15001055 | Coniacien | Coniacien |
| 15001048 | Danien | Danien |
| 15001128 | Devon | Devon |
| 15001035 | Eozän | Eozän |
| 15001058 | Frühe Kreide | Frühe Kreide |
| 15001088 | Frühe Trias | Frühe Trias |
| 15001075 | Früher Jura | Früher Jura |
| 15001027 | frühes Burdigalien | frühes Burdigalien |
| 15001033 | frühes Chattien | frühes Chattien |
| 15001129 | Frühes Devon | Frühes Devon |
| 15001043 | Frühes Eozän | Frühes Eozän |
| 15001024 | Frühes Miozän | Frühes Miozän |
| 15001127 | Frühes Mississippien | Frühes Mississippien |
| 15001150 | Frühes Ordovizium | Frühes Ordovizium |
| 15001123 | Frühes Pennsylvanien | Frühes Pennsylvanien |
| 15001009 | Frühes Pleistozän | Frühes Pleistozän |
| 15001039 | frühes Priabonien | frühes Priabonien |
| 15001011 | Gélasien | Gélasien |
| 15001101 | Guadalupien | Guadalupien |
| 15001137 | Gzhélien | Gzhélien |
| 15001062 | Hauterivien | Hauterivien |
| 15001079 | Hettangien | Hettangien |
| 15001004 | Holozän | Holozän |
| 15001090 | Indusien | Indusien |
| 15001065 | Jura | Jura |
| 15001135 | Kambrium | Kambrium |
| 15001002 | Känozoikum | Känozoikum |
| 15001119 | Karbon | Karbon |
| 15001138 | Kasimovien | Kasimovien |
| 15001068 | Kimméridgien | Kimméridgien |
| 15001050 | Kreide | Kreide |
| 15001111 | Kungurien | Kungurien |

| GeolCode | Deutsch | Français |
|----------|-------------------------|-------------------------|
| 15001086 | Ladinien | Ladinien |
| 15001023 | Langhien | Langhien |
| 15001147 | Llandovery | Llandovery |
| 15001095 | Lopingien | Lopingien |
| 15001145 | Ludlow | Ludlow |
| 15001042 | Lutétien | Lutétien |
| 15001052 | Maastrichtien | Maastrichtien |
| 15001049 | Mesozoikum | Mesozoikum |
| 15001019 | Messinien | Messinien |
| 15001017 | Miozän | Miozän |
| 15001124 | Mississippien | Mississippien |
| 15001085 | Mittlere Trias | Mittlere Trias |
| 15001070 | Mittlerer Jura | Mittlerer Jura |
| 15001130 | Mittleres Devon | Mittleres Devon |
| 15001040 | Mittleres Eozän | Mittleres Eozän |
| 15001021 | Mittleres Miozän | Mittleres Miozän |
| 15001126 | Mittleres Mississippien | Mittleres Mississippien |
| 15001149 | Mittleres Ordovizium | Mittleres Ordovizium |
| 15001122 | Mittleres Pennsylvanien | Mittleres Pennsylvanien |
| 15001007 | Mittleres Pleistozän | Mittleres Pleistozän |
| 15001139 | Moscovien | Moscovien |
| 15001013 | Neogen | Neogen |
| 15001083 | Norien | Norien |
| 15001089 | Olénékien | Olénékien |
| 15001030 | Oligozän | Oligozän |
| 15001134 | Ordovizium | Ordovizium |
| 15001069 | Oxfordien | Oxfordien |
| 15001029 | Paläogen | Paläogen |
| 15001091 | Paläozoikum | Paläozoikum |
| 15001045 | Paleozän | Paleozän |
| 15001120 | Pennsylvanien | Pennsylvanien |
| 15001093 | Perm | Perm |
| 15001001 | Phanerozoikum | Phanerozoikum |
| 15001015 | Plaisancien | Plaisancien |
| 15001005 | Pleistozän | Pleistozän |
| 15001077 | Pliensbachien | Pliensbachien |
| 15001014 | Pliozän | Pliozän |
| 15001152 | Präkambrium | Präkambrium |
| 15001037 | Priabonien | Priabonien |
| 15001144 | Pridoli | Pridoli |
| 15001136 | Proterozoikum | Proterozoikum |
| 15001003 | Quartär | Quartär |
| 15001082 | Rhät | Rhät |
| 15001108 | Roadien | Roadien |
| 15001034 | Rupélien | Rupélien |
| 15001115 | Sakmarien | Sakmarien |
| 15001054 | Santonien | Santonien |
| 15001047 | Sélandien | Sélandien |

| GeolCode | Deutsch | Français |
|----------|----------------------|----------------------|
| 15001141 | Serpukhovien | Serpukhovien |
| 15001022 | Serravallien | Serravallien |
| 15001133 | Silur | Silur |
| 15001078 | Sinémurien | Sinémurien |
| 15001051 | Späte Kreide | Späte Kreide |
| 15001081 | Späte Trias | Späte Trias |
| 15001066 | Später Jura | Später Jura |
| 15001026 | spätes Burdigalien | spätes Burdigalien |
| 15001032 | spätes Chattien | spätes Chattien |
| 15001131 | Spätes Devon | Spätes Devon |
| 15001036 | Spätes Eozän | Spätes Eozän |
| 15001018 | Spätes Miozän | Spätes Miozän |
| 15001125 | Spätes Mississippien | Spätes Mississippien |
| 15001148 | Spätes Ordovizium | Spätes Ordovizium |
| 15001121 | Spätes Pennsylvanien | Spätes Pennsylvanien |
| 15001006 | Spätes Pleistozän | Spätes Pleistozän |
| 15001038 | spätes Priabonien | spätes Priabonien |
| 15001012 | Tertiär | Tertiär |
| 15001046 | Thanétien | Thanétien |
| 15001067 | Tithonien | Tithonien |
| 15001076 | Toarcien | Toarcien |
| 15001020 | Tortonien | Tortonien |
| 15001143 | Tournaisien | Tournaisien |
| 15001080 | Trias | Trias |
| 15001056 | Turonien | Turonien |
| 15001063 | Valanginien | Valanginien |
| 15001142 | Viséen | Viséen |
| 15001146 | Wenlock | Wenlock |
| 15001106 | Wordien | Wordien |
| 15001098 | Wuchiapingien | Wuchiapingien |
| 15001044 | Yprésien | Yprésien |
| 15001016 | Zancléen | Zancléen |
| 999997 | Unknown | Unknown |
| 999998 | Not applicable | Not applicable |

chrono_b Chronostratigraphische Zuordnung der Untergrenze der Kartiereinheit (Basis)

| GeolCode | Deutsch | Français |
|----------|-------------|-------------|
| 15001074 | Aalénien | Aalénien |
| 15001059 | Albien | Albien |
| 15001087 | Anisien | Anisien |
| 15001060 | Aptien | Aptien |
| 15001028 | Aquitaniien | Aquitaniien |
| 15001153 | Archaikum | Archaikum |
| 15001113 | Artinskien | Artinskien |

| GeolCode | Deutsch | Français |
|----------|----------------------|----------------------|
| 15001117 | Asselien | Asselien |
| 15001073 | Bajocien | Bajocien |
| 15001061 | Barrémien | Barrémien |
| 15001041 | Bartonien | Bartonien |
| 15001140 | Bashkirien | Bashkirien |
| 15001072 | Bathonien | Bathonien |
| 15001064 | Berriasien | Berriasien |
| 15001025 | Burdigalien | Burdigalien |
| 15001010 | Calabrien | Calabrien |
| 15001071 | Callovien | Callovien |
| 15001053 | Campanien | Campanien |
| 15001102 | Capitanien | Capitanien |
| 15001084 | Carnien | Carnien |
| 15001057 | Cénomanien | Cénomanien |
| 15001096 | Changhsingien | Changhsingien |
| 15001031 | Chattien | Chattien |
| 15001151 | Chibanien | Chibanien |
| 15001110 | Cisuralien | Cisuralien |
| 15001055 | Coniacien | Coniacien |
| 15001048 | Danien | Danien |
| 15001128 | Devon | Devon |
| 15001035 | Eozän | Eozän |
| 15001058 | Frühe Kreide | Frühe Kreide |
| 15001088 | Frühe Trias | Frühe Trias |
| 15001075 | Früher Jura | Früher Jura |
| 15001027 | frühes Burdigalien | frühes Burdigalien |
| 15001033 | frühes Chattien | frühes Chattien |
| 15001129 | Frühes Devon | Frühes Devon |
| 15001043 | Frühes Eozän | Frühes Eozän |
| 15001024 | Frühes Miozän | Frühes Miozän |
| 15001127 | Frühes Mississippien | Frühes Mississippien |
| 15001150 | Frühes Ordovizium | Frühes Ordovizium |
| 15001123 | Frühes Pennsylvanien | Frühes Pennsylvanien |
| 15001009 | Frühes Pleistozän | Frühes Pleistozän |
| 15001039 | frühes Priabonien | frühes Priabonien |
| 15001011 | Gélasien | Gélasien |
| 15001101 | Guadalupien | Guadalupien |
| 15001137 | Gzhélien | Gzhélien |
| 15001062 | Hauterivien | Hauterivien |
| 15001079 | Hettangien | Hettangien |
| 15001004 | Holozän | Holozän |
| 15001090 | Indusien | Indusien |
| 15001065 | Jura | Jura |
| 15001135 | Kambrium | Kambrium |
| 15001002 | Känozoikum | Känozoikum |
| 15001119 | Karbon | Karbon |
| 15001138 | Kasimovien | Kasimovien |
| 15001068 | Kimméridgien | Kimméridgien |

| GeolCode | Deutsch | Français |
|----------|-------------------------|-------------------------|
| 15001050 | Kreide | Kreide |
| 15001111 | Kungurien | Kungurien |
| 15001086 | Ladinien | Ladinien |
| 15001023 | Langhien | Langhien |
| 15001147 | Llandovery | Llandovery |
| 15001095 | Lopingien | Lopingien |
| 15001145 | Ludlow | Ludlow |
| 15001042 | Lutétien | Lutétien |
| 15001052 | Maastrichtien | Maastrichtien |
| 15001049 | Mesozoikum | Mesozoikum |
| 15001019 | Messinien | Messinien |
| 15001017 | Miozän | Miozän |
| 15001124 | Mississippien | Mississippien |
| 15001085 | Mittlere Trias | Mittlere Trias |
| 15001070 | Mittlerer Jura | Mittlerer Jura |
| 15001130 | Mittleres Devon | Mittleres Devon |
| 15001040 | Mittleres Eozän | Mittleres Eozän |
| 15001021 | Mittleres Miozän | Mittleres Miozän |
| 15001126 | Mittleres Mississippien | Mittleres Mississippien |
| 15001149 | Mittleres Ordovizium | Mittleres Ordovizium |
| 15001122 | Mittleres Pennsylvanien | Mittleres Pennsylvanien |
| 15001007 | Mittleres Pleistozän | Mittleres Pleistozän |
| 15001139 | Moscovien | Moscovien |
| 15001013 | Neogen | Neogen |
| 15001083 | Norien | Norien |
| 15001089 | Olénékien | Olénékien |
| 15001030 | Oligozän | Oligozän |
| 15001134 | Ordovizium | Ordovizium |
| 15001069 | Oxfordien | Oxfordien |
| 15001029 | Paläogen | Paläogen |
| 15001091 | Paläozoikum | Paläozoikum |
| 15001045 | Paleozän | Paleozän |
| 15001120 | Pennsylvanien | Pennsylvanien |
| 15001093 | Perm | Perm |
| 15001001 | Phanerozoikum | Phanerozoikum |
| 15001015 | Plaisancien | Plaisancien |
| 15001005 | Pleistozän | Pleistozän |
| 15001077 | Pliensbachien | Pliensbachien |
| 15001014 | Pliozän | Pliozän |
| 15001152 | Präkambrium | Präkambrium |
| 15001037 | Priabonien | Priabonien |
| 15001144 | Pridoli | Pridoli |
| 15001136 | Proterozoikum | Proterozoikum |
| 15001003 | Quartär | Quartär |
| 15001082 | Rhät | Rhät |
| 15001108 | Roadien | Roadien |
| 15001034 | Rupélien | Rupélien |
| 15001115 | Sakmarien | Sakmarien |

| GeolCode | Deutsch | Français |
|----------|----------------------|----------------------|
| 15001054 | Santonien | Santonien |
| 15001047 | Sélandien | Sélandien |
| 15001141 | Serpukhovien | Serpukhovien |
| 15001022 | Serravallien | Serravallien |
| 15001133 | Silur | Silur |
| 15001078 | Sinémurien | Sinémurien |
| 15001051 | Späte Kreide | Späte Kreide |
| 15001081 | Späte Trias | Späte Trias |
| 15001066 | Später Jura | Später Jura |
| 15001026 | spätes Burdigalien | spätes Burdigalien |
| 15001032 | spätes Chattien | spätes Chattien |
| 15001131 | Spätes Devon | Spätes Devon |
| 15001036 | Spätes Eozän | Spätes Eozän |
| 15001018 | Spätes Miozän | Spätes Miozän |
| 15001125 | Spätes Mississippien | Spätes Mississippien |
| 15001148 | Spätes Ordovizium | Spätes Ordovizium |
| 15001121 | Spätes Pennsylvanien | Spätes Pennsylvanien |
| 15001006 | Spätes Pleistozän | Spätes Pleistozän |
| 15001038 | spätes Priabonien | spätes Priabonien |
| 15001012 | Tertiär | Tertiär |
| 15001046 | Thanétien | Thanétien |
| 15001067 | Tithonien | Tithonien |
| 15001076 | Toarcien | Toarcien |
| 15001020 | Tortonien | Tortonien |
| 15001143 | Tournaisien | Tournaisien |
| 15001080 | Trias | Trias |
| 15001056 | Turonien | Turonien |
| 15001063 | Valanginien | Valanginien |
| 15001142 | Viséen | Viséen |
| 15001146 | Wenlock | Wenlock |
| 15001106 | Wordien | Wordien |
| 15001098 | Wuchiapingien | Wuchiapingien |
| 15001044 | Yprésien | Yprésien |
| 15001016 | Zancléen | Zancléen |
| 999997 | Unknown | Unknown |
| 999998 | Not applicable | Not applicable |

tecto Tektonische Zugehörigkeit

| GeolCode | Deutsch | Français |
|----------|-------------------------------------|-------------------------------------|
| 15301125 | «Zone Kronberg-Süd» | «Zone Kronberg-Süd» |
| 15303009 | Aar-Massiv | Aar-Massiv |
| 15301027 | Abgescherter Tafeljura | Abgescherter Tafeljura |
| 15301001 | Abgeschertes Nordalpines Vorland | Abgeschertes Nordalpines Vorland |
| 15307004 | Adamello-Intrusion | Adamello-Intrusion |

| GeolCode | Deutsch | Français |
|----------|----------------------------------|----------------------------------|
| 15304018 | Adula-Decke | Adula-Decke |
| 15303003 | Aiguilles-Rouges-Massiv | Aiguilles-Rouges-Massiv |
| 15305007 | Allgäu-Decke | Allgäu-Decke |
| 15304151 | Antigorio-Decke | Antigorio-Decke |
| 15304010 | Antigorio-Deckenkomplex | Antigorio-Deckenkomplex |
| 15304092 | Antrona-Decke | Antrona-Decke |
| 15303081 | Anzeinde-Decke | Anzeinde-Decke |
| 15303017 | Ardon-Decke | Ardon-Decke |
| 15304076 | Areua-Bruschghorn-Melange | Areua-Bruschghorn-Melange |
| 15304130 | Argio-Schuppe | Argio-Schuppe |
| 15308015 | Arolla-Einheit | Arolla-Einheit |
| 15304100 | Arosa-Decke | Arosa-Decke |
| 15303075 | Arveyes-Decke | Arveyes-Decke |
| 15304158 | Aubrig-Schuppe | Aubrig-Schuppe |
| 15305053 | Augstenberg-Schuppe | Augstenberg-Schuppe |
| 15304036 | Aul-Decke | Aul-Decke |
| 15302040 | Autochtones Nordalpines Vorland | Autochtones Nordalpines Vorland |
| 15301022 | Avant-Monts-Zone | Avant-Monts-Zone |
| 15304097 | Avers-Decke | Avers-Decke |
| 15303041 | Axen-Decke | Axen-Decke |
| 15303131 | Axen-Nordschuppe | Axen-Nordschuppe |
| 15303130 | Axen-Südschuppe | Axen-Südschuppe |
| 15303086 | Bächistock-Schuppe | Bächistock-Schuppe |
| 15303119 | Bad-Ragaz-Decke | Bad-Ragaz-Decke |
| 15305043 | Bardella-Padella-Schuppenkomplex | Bardella-Padella-Schuppenkomplex |
| 15303002 | Belledonne-Massiv | Belledonne-Massiv |
| 15301131 | Belmont-Schuppe | Belmont-Schuppe |
| 15304082 | Berisal-Decke | Berisal-Decke |
| 15305029 | Bernina-Decke | Bernina-Decke |
| 15305028 | Bernina-Deckenkomplex | Bernina-Deckenkomplex |
| 15303074 | Bex-Laubhorn-Decke | Bex-Laubhorn-Decke |
| 15303082 | Blattengrat-Decke | Blattengrat-Decke |
| 15301127 | Blueme-Beichle-Schuppe | Blueme-Beichle-Schuppe |
| 15304131 | Bodengo-Schuppe | Bodengo-Schuppe |
| 15303109 | Bois-de-Bouleyres-Schuppe | Bois-de-Bouleyres-Schuppe |
| 15304078 | Bombogno-Zone | Bombogno-Zone |
| 15304026 | Bosco-Zone | Bosco-Zone |
| 15307006 | Bregaglia-Intrusion | Bregaglia-Intrusion |
| 15304065 | Brekzien-Decke | Brekzien-Decke |
| 15302046 | Bresse-Graben | Bresse-Graben |
| 15303105 | Broc-Schuppenkomplex | Broc-Schuppenkomplex |
| 15303099 | Bürgenstock-Urmiberg-Schuppe | Bürgenstock-Urmiberg-Schuppe |
| 15303091 | Calanda-Decke | Calanda-Decke |

| GeolCode | Deutsch | Français |
|----------|--|--|
| 15303145 | Calanda-Decke (Blattengrat-Anteil) | Calanda-Decke (Blattengrat-Anteil) |
| 15303149 | Calanda-Decke (Sardona-Anteil) | Calanda-Decke (Sardona-Anteil) |
| 15303151 | Calanda-Schuppe (Aar-Massiv-Anteil) | Calanda-Schuppe (Aar-Massiv-Anteil) |
| 15303102 | Camosci-Decke | Camosci-Decke |
| 15305019 | Campo-Decke | Campo-Decke |
| 15304153 | Camughera-Decke | Camughera-Decke |
| 15306004 | Canavese-Zone | Canavese-Zone |
| 15305039 | Carungas-Schuppe | Carungas-Schuppe |
| 15305060 | Casanna-Schuppe | Casanna-Schuppe |
| 15303027 | Cavistrau-Decke | Cavistrau-Decke |
| 15303011 | Chaînes-subalpines-Decke | Chaînes-subalpines-Decke |
| 15303121 | Chamerstock-Schuppe | Chamerstock-Schuppe |
| 15301139 | Champotey-Ramsera- Schuppe | Champotey-Ramsera- Schuppe |
| 15305042 | Chastelets-Schuppe | Chastelets-Schuppe |
| 15308028 | Chatillon-Schuppe | Chatillon-Schuppe |
| 15308026 | Chatillon-St-Vincent- Schuppen | Chatillon-St-Vincent- Schuppen |
| 15304034 | Chiavenna-Decke | Chiavenna-Decke |
| 15301123 | Chräzerli-Schuppe | Chräzerli-Schuppe |
| 15303128 | Chropfsberg-Gaffia- Schuppen | Chropfsberg-Gaffia- Schuppen |
| 15303094 | Chropfsberg-Schuppe | Chropfsberg-Schuppe |
| 15304017 | Cima-Lunga-Decke | Cima-Lunga-Decke |
| 15304055 | Cimes-Blanches-Decke | Cimes-Blanches-Decke |
| 15303120 | Clariden- Schuppenkomplex | Clariden- Schuppenkomplex |
| 15304118 | Claro-Schuppe | Claro-Schuppe |
| 15305041 | Corvatsch-Schuppe | Corvatsch-Schuppe |
| 15301133 | Cully-Schuppe | Cully-Schuppe |
| 15304128 | Darlun-Schuppe | Darlun-Schuppe |
| 15308014 | Dent-Blanche-Decke | Dent-Blanche-Decke |
| 15303030 | Diablerets-Decke | Diablerets-Decke |
| 15303016 | Doldenhorn-Decke | Doldenhorn-Decke |
| 15305058 | Dorfberg-Decke | Dorfberg-Decke |
| 15304107 | Dranses-Decke | Dranses-Decke |
| 15305056 | Drei-Schwestern-Schuppe | Drei-Schwestern-Schuppe |
| 15304148 | Dros-Scholle | Dros-Scholle |
| 15303046 | Drusberg-Decke | Drusberg-Decke |
| 15301150 | Eichberg-Schuppe | Eichberg-Schuppe |
| 15303060 | Einsiedeln- Schuppenkomplex | Einsiedeln- Schuppenkomplex |
| 15305032 | Ela-Decke | Ela-Decke |
| 15305038 | Err-Decke | Err-Decke |
| 15305035 | Err-Deckenkomplex | Err-Deckenkomplex |

| GeolCode | Deutsch | Français |
|----------|----------------------------|----------------------------|
| 15308025 | Etirol-Levaz-Schuppe | Etirol-Levaz-Schuppe |
| 15303061 | Externe | Externe |
| | Einsiedeln-Schuppen | Einsiedeln-Schuppen |
| 15301024 | Externer Faltenjura | Externer Faltenjura |
| 15303112 | Externes Aar-Massiv | Externes Aar-Massiv |
| 15303141 | Externes | Externes |
| | Belledonne-Massiv | Belledonne-Massiv |
| 15303115 | Externes | Externes |
| | Mont-Blanc-Massiv | Mont-Blanc-Massiv |
| 15301025 | Faisceaux | Faisceaux |
| 15304066 | Falknis-Decke | Falknis-Decke |
| 15304113 | Fanella-Schuppe | Fanella-Schuppe |
| 15304029 | Ferret-Schuppe | Ferret-Schuppe |
| 15304043 | Feuerstätter-Decke | Feuerstätter-Decke |
| 15303127 | Fiseten-Orthalgen-Schuppen | Fiseten-Orthalgen-Schuppen |
| 15303071 | Fläscherberg-Decke | Fläscherberg-Decke |
| 15304134 | Forcellina-Schuppe | Forcellina-Schuppe |
| 15304056 | Frilihorn-Decke | Frilihorn-Decke |
| 15303138 | Friteren-Schuppe | Friteren-Schuppe |
| 15301126 | Gäbris-Schuppe | Gäbris-Schuppe |
| 15303095 | Gaffia-Schuppe | Gaffia-Schuppe |
| 15304143 | Gälmji-Zone | Gälmji-Zone |
| 15304117 | Gana-Palinger-Schuppe | Gana-Palinger-Schuppe |
| 15304111 | Garzott-Schuppe | Garzott-Schuppe |
| 15303008 | Gastern-Massiv | Gastern-Massiv |
| 15303122 | Geisstritt-Schuppe | Geisstritt-Schuppe |
| 15304070 | Gelbhorn-Decke | Gelbhorn-Decke |
| 15303020 | Gellihorn-Decke | Gellihorn-Decke |
| 15303124 | Gemsfairen-Schuppe | Gemsfairen-Schuppe |
| 15301137 | Gérignoz-La-Roche-Schuppe | Gérignoz-La-Roche-Schuppe |
| 15304096 | Gets-Decke | Gets-Decke |
| 15301151 | Giebelegg-Schuppe | Giebelegg-Schuppe |
| 15303026 | Gitschen-Decke | Gitschen-Decke |
| 15303038 | Glarner Deckenkomplex | Glarner Deckenkomplex |
| 15304139 | Glegghorn-Schuppe | Glegghorn-Schuppe |
| 15308019 | Gneiss-minuti-Einheit | Gneiss-minuti-Einheit |
| 15303044 | Gonzen-Walenstadt-Schuppen | Gonzen-Walenstadt-Schuppen |
| 15304140 | Gornergrat-Decke | Gornergrat-Decke |
| 15305052 | Gorvion-Schuppe | Gorvion-Schuppe |
| 15304147 | Gotschnawang-Scholle | Gotschnawang-Scholle |
| 15303058 | Gotthard-Decke | Gotthard-Decke |
| 15304138 | Grauspitz-Schuppe | Grauspitz-Schuppe |
| 15304038 | Grava-Decke | Grava-Decke |
| 15303023 | Griessstock-Decke | Griessstock-Decke |
| 15303106 | Gros-Plané-Melange | Gros-Plané-Melange |

| GeolCode | Deutsch | Français |
|----------|-----------------------------------|-----------------------------------|
| 15304129 | Groven-Schuppe | Groven-Schuppe |
| 15305059 | Grüenhorn-Schuppe | Grüenhorn-Schuppe |
| 15304019 | Gruf-Komplex | Gruf-Komplex |
| 15308030 | Grun-Schuppe | Grun-Schuppe |
| 15308027 | Grun-Schuppe | Grun-Schuppe |
| 15304006 | Güida-Alpettas-Schuppen | Güida-Alpettas-Schuppen |
| 15304103 | Gurnigel-Decke | Gurnigel-Decke |
| 15303077 | Habkern-Melange-Zone | Habkern-Melange-Zone |
| 15304145 | Haupterhorn-Scholle | Haupterhorn-Scholle |
| 15302042 | Haute-Saône-Tafel | Haute-Saône-Tafel |
| 15302020 | Hegau-Bodensee-Störungszone | Hegau-Bodensee-Störungszone |
| 15307010 | Hegau-Provinz | Hegau-Provinz |
| 15303100 | Helvetikum | Helvetikum |
| 15305055 | Heubühl-Schuppe | Heubühl-Schuppe |
| 15301128 | Hilfern-Schuppe | Hilfern-Schuppe |
| 15301148 | Hirschberg-Schuppe | Hirschberg-Schuppe |
| 15303088 | Hoch-Fulen-Decke | Hoch-Fulen-Decke |
| 15303133 | Höch-Turm-Schuppen | Höch-Turm-Schuppen |
| 15303101 | Hochflue-Schuppe | Hochflue-Schuppe |
| 15303040 | Hohenems-Decke | Hohenems-Decke |
| 15301120 | Höhronen-Schuppe | Höhronen-Schuppe |
| 15301149 | Hölzliberg-Schuppe | Hölzliberg-Schuppe |
| 15301129 | Hornbüel-Schuppenzone | Hornbüel-Schuppenzone |
| 15303104 | Iberg-Melange | Iberg-Melange |
| 15308018 | Ila Zona | Ila Zona |
| | Dioritico-Kinzigitica | Dioritico-Kinzigitica |
| 15303055 | Ilanz-Decke | Ilanz-Decke |
| 15304154 | Infra-Niesen-Melange | Infra-Niesen-Melange |
| 15304159 | Infrapräalpines Melange | Infrapräalpines Melange |
| 15305005 | Inntal-Decke | Inntal-Decke |
| 15303062 | Interne | Interne |
| | Einsiedeln-Schuppen | Einsiedeln-Schuppen |
| 15301023 | Interner Faltenjura | Interner Faltenjura |
| 15303113 | Internes Aar-Massiv | Internes Aar-Massiv |
| 15303140 | Internes | Internes |
| | Belledonne-Massiv | Belledonne-Massiv |
| 15303116 | Internes | Internes |
| | Mont-Blanc-Massiv | Mont-Blanc-Massiv |
| 15304025 | Isorno-Zone | Isorno-Zone |
| 15306002 | Ivrea-Verbano-Zone | Ivrea-Verbano-Zone |
| 15303018 | Jägerchrüz-Decke | Jägerchrüz-Decke |
| 15305033 | Julier-Decke | Julier-Decke |
| 15303129 | Kaminspitz-Schuppe | Kaminspitz-Schuppe |
| 15303025 | Kammlistock-Decke | Kammlistock-Decke |
| 15307009 | Känozoische magmatische Provinzen | Känozoische magmatische Provinzen |
| 15304120 | Kiental-Melange | Kiental-Melange |

| GeolCode | Deutsch | Français |
|----------|---|---|
| 15303024 | Klausenpass-Schuppen | Klausenpass-Schuppen |
| 15304057 | Klippen-Decke | Klippen-Decke |
| 15304073 | Knorren-Melange | Knorren-Melange |
| 15305004 | Krabachjoch-Decke | Krabachjoch-Decke |
| 15301124 | Kronberg-Schuppe | Kronberg-Schuppe |
| 15301140 | La-Pattaz-La-Holena-Schuppe | La-Pattaz-La-Holena-Schuppe |
| 15303126 | Langfirn-Schuppe | Langfirn-Schuppe |
| 15305020 | Languard-Decke | Languard-Decke |
| 15301134 | Lavaux-Schuppe | Lavaux-Schuppe |
| 15304011 | Lebendun-Decke | Lebendun-Decke |
| 15305006 | Lechtal-Decke | Lechtal-Decke |
| 15304123 | Lenk-Decke | Lenk-Decke |
| 15303108 | Les-Pléiades-Schuppe | Les-Pléiades-Schuppe |
| 15304002 | Leventina-Lucomagno-Decke | Leventina-Lucomagno-Decke |
| 15303068 | Liebenstein-Decke | Liebenstein-Decke |
| 15304133 | Livizung-Schuppe | Livizung-Schuppe |
| 15303096 | Logsbach-Schuppe | Logsbach-Schuppe |
| 15301132 | Lutry-Thonon-Schuppe | Lutry-Thonon-Schuppe |
| 15305072 | Madrisa-Schuppe | Madrisa-Schuppe |
| 15305031 | Madulain-Schuppenkomplex | Madulain-Schuppenkomplex |
| 15304086 | Maggia-Decke | Maggia-Decke |
| 15303139 | Maisander-Schuppe | Maisander-Schuppe |
| 15304098 | Malenco-Forno-Lizun-Decke | Malenco-Forno-Lizun-Decke |
| 15303155 | Maliens-Schuppe | Maliens-Schuppe |
| 15301142 | Marbach-Berneck-Dreieckzone | Marbach-Berneck-Dreieckzone |
| 15303144 | Marchegghorn-Schuppe (Blattengrat-Anteil) | Marchegghorn-Schuppe (Blattengrat-Anteil) |
| 15303147 | Marchegghorn-Schuppe (Sardona-Anteil) | Marchegghorn-Schuppe (Sardona-Anteil) |
| 15308022 | Margna-Decke | Margna-Decke |
| 15304075 | Martegnas-Melange | Martegnas-Melange |
| 15303118 | Mättental-Melange | Mättental-Melange |
| 15304121 | Meilleret-Decke | Meilleret-Decke |
| 15304132 | Mergoscia-Zone | Mergoscia-Zone |
| 15305030 | Mezzaun-Schuppe | Mezzaun-Schuppe |
| 15308021 | Micascisti-eclogitici-Einheit | Micascisti-eclogitici-Einheit |
| 15306008 | Milan Belt | Milan Belt |
| 15303092 | Mirutta-Decke | Mirutta-Decke |
| 15303152 | Mirutta-Schuppen (Aar-Massiv-Anteil) | Mirutta-Schuppen (Aar-Massiv-Anteil) |
| 15303146 | Mirutta-Schuppen (Blattengrat-Anteil) | Mirutta-Schuppen (Blattengrat-Anteil) |

| GeolCode | Deutsch | Français |
|----------|--|--|
| 15303150 | Mirutta-Schuppen (Sardona-Anteil) | Mirutta-Schuppen (Sardona-Anteil) |
| 15304049 | Mittelpenninikum | Mittelpenninikum |
| 15304077 | Moncucco-Decke | Moncucco-Decke |
| 15303007 | Mont-Blanc-Massiv | Mont-Blanc-Massiv |
| 15303049 | Mont-Chétif-Decke | Mont-Chétif-Decke |
| 15308009 | Mont-Emilius-Decke | Mont-Emilius-Decke |
| 15304084 | Mont-Fort-Decke | Mont-Fort-Decke |
| 15303033 | Mont-Gond-Decke | Mont-Gond-Decke |
| 15308010 | Mont-Mary-Decke | Mont-Mary-Decke |
| 15301135 | Mont-Pèlerin-Schuppe | Mont-Pèlerin-Schuppe |
| 15304012 | Monte-Leone-Decke | Monte-Leone-Decke |
| 15304085 | Monte-Rosa-Decke | Monte-Rosa-Decke |
| 15303107 | Montsalvens-Schuppe | Montsalvens-Schuppe |
| 15303015 | Morcles-Decke | Morcles-Decke |
| 15304030 | Moûtiers-Schuppe | Moûtiers-Schuppe |
| 15305036 | Murtiröl-Schuppe | Murtiröl-Schuppe |
| 15303039 | Mürtschen-Decke | Mürtschen-Decke |
| 15304047 | Muttler-Decke | Muttler-Decke |
| 15304155 | Mythen-Roggenegg- Schuppe | Mythen-Roggenegg- Schuppe |
| 15303098 | Niederhorn-Pilatus- Schuppe | Niederhorn-Pilatus- Schuppe |
| 15304027 | Niesen-Decke | Niesen-Decke |
| 15307005 | Novate-Intrusion | Novate-Intrusion |
| 15308013 | Obere Einheit der Mont-Mary-Decke | Obere Einheit der Mont-Mary-Decke |
| 15306005 | Obere Orobische Decke | Obere Orobische Decke |
| 15304156 | Obere Rotenflue-Schuppe | Obere Rotenflue-Schuppe |
| 15304081 | Obere Stalden-Decke | Obere Stalden-Decke |
| 15304142 | Obere Vals-Schuppen | Obere Vals-Schuppen |
| 15303028 | Oberhelvetikum | Oberhelvetikum |
| 15305002 | Oberostalpin | Oberostalpin |
| 15304091 | Oberpenninikum | Oberpenninikum |
| 15302045 | Oberrhein-Graben | Oberrhein-Graben |
| 15305054 | Ochsenkopf-Schuppe | Ochsenkopf-Schuppe |
| 15304122 | Ochsenweid-Decke | Ochsenweid-Decke |
| 15303143 | Orglen-Schuppen (Aar-Massiv-Anteil) | Orglen-Schuppen (Aar-Massiv-Anteil) |
| 15303148 | Orglen-Schuppen (Sardona-Anteil) | Orglen-Schuppen (Sardona-Anteil) |
| 15304119 | Orselina-Bellinzona-Zone | Orselina-Bellinzona-Zone |
| 15305018 | Ortler-Decke | Ortler-Decke |
| 15305001 | Ostalpin | Ostalpin |
| 15305013 | Ötztal-Decke | Ötztal-Decke |
| 15304014 | Penninikum | Penninikum |
| 15307003 | Periadriatische Provinz | Periadriatische Provinz |

| GeolCode | Deutsch | Français |
|----------|--|--|
| 15307008 | Periadriatische Vulkanite entlang der Insubrischen Linie | Periadriatische Vulkanite entlang der Insubrischen Linie |
| 15304033 | Petit-St-Bernard-Schuppe | Petit-St-Bernard-Schuppe |
| 15304032 | Pierre-Avoi-Schuppe | Pierre-Avoi-Schuppe |
| 15303103 | Piora-Peiden-Schuppenkomplex | Piora-Peiden-Schuppenkomplex |
| 15303111 | Piz-d'Artgas-Decke | Piz-d'Artgas-Decke |
| 15304005 | Piz-Terri-Lunschania-Decke | Piz-Terri-Lunschania-Decke |
| 15303137 | Pizalun-Schuppe | Pizalun-Schuppe |
| 15304013 | Pizzo-del-Vallone-Decke | Pizzo-del-Vallone-Decke |
| 15303072 | Plaine-Morte-Decke | Plaine-Morte-Decke |
| 15303019 | Plammis-Decke | Plammis-Decke |
| 15301026 | Plateaus | Plateaus |
| 15304099 | Platta-Decke | Platta-Decke |
| 15306007 | Po-Becken | Po-Becken |
| 15308029 | Pontey-Schuppe | Pontey-Schuppe |
| 15304126 | Portjengrat-Decke | Portjengrat-Decke |
| 15304058 | Préalpes médianes plastiques | Préalpes médianes plastiques |
| 15304059 | Préalpes médianes rigides | Préalpes médianes rigides |
| 15305015 | Quattervals-Decke | Quattervals-Decke |
| 15301147 | Ralligen-Schuppenzone | Ralligen-Schuppenzone |
| 15304046 | Ramosch-Zone | Ramosch-Zone |
| 15301118 | Rigi-Rossberg-Schuppe | Rigi-Rossberg-Schuppe |
| 15305070 | Roggenstock-Mördergruebi-Decke | Roggenstock-Mördergruebi-Decke |
| 15304031 | Roignais-Versoyen-Schuppe | Roignais-Versoyen-Schuppe |
| 15308011 | Roisan-Cignana-Scherzone | Roisan-Cignana-Scherzone |
| 15303029 | Roselette-Decke | Roselette-Decke |
| 15304152 | Rosswald-Schuppe | Rosswald-Schuppe |
| 15305024 | Rothorn-Decke | Rothorn-Decke |
| 15303125 | Rotstock-Schuppe | Rotstock-Schuppe |
| 15304045 | Roz-Champatsch-Melange | Roz-Champatsch-Melange |
| 15304125 | Ruginenta-Decke | Ruginenta-Decke |
| 15304080 | Ruitor-Decke | Ruitor-Decke |
| 15305012 | S-chanf-Schuppen | S-chanf-Schuppen |
| 15305016 | S-charl-Sesvenna-Decke | S-charl-Sesvenna-Decke |
| 15304108 | Saane-Decke | Saane-Decke |
| 15308001 | Salassikum | Salassikum |
| 15308002 | Salassikum Sub-Domäne undifferenziert | Salassikum Sub-Domäne undifferenziert |
| 15304088 | Sambuco-Decke | Sambuco-Decke |
| 15304109 | San-Giorgio-Schuppe | San-Giorgio-Schuppe |
| 15303045 | Säntis-Decke | Säntis-Decke |
| 15303069 | Sardona-Decke | Sardona-Decke |
| 15304150 | Sasseneire-Decke | Sasseneire-Decke |

| GeolCode | Deutsch | Français |
|----------|-------------------------|-------------------------|
| 15303135 | Schabell-Melange | Schabell-Melange |
| 15303132 | Schächentaler | Schächentaler |
| | Windgällen-Schuppen | Windgällen-Schuppen |
| 15305057 | Schaffläger-Decke | Schaffläger-Decke |
| 15304069 | Schams-Deckenkomplex | Schams-Deckenkomplex |
| 15301130 | Schangnau-Schuppe | Schangnau-Schuppe |
| 15305051 | Schesaplana-Schuppe | Schesaplana-Schuppe |
| 15305048 | Schiahorn-Decke | Schiahorn-Decke |
| 15304105 | Schlieren-Decke | Schlieren-Decke |
| 15301122 | Schorhüttenberg-Schuppe | Schorhüttenberg-Schuppe |
| 15303078 | Scopi-Decke | Scopi-Decke |
| 15301144 | Seftigschwand-Schuppe | Seftigschwand-Schuppe |
| 15308023 | Sella-Decke | Sella-Decke |
| 15308017 | Sesia-Decke | Sesia-Decke |
| 15303073 | Sex-Mort-Decke | Sex-Mort-Decke |
| 15303085 | Silberen-Schuppen | Silberen-Schuppen |
| 15305009 | Silvretta-Decke | Silvretta-Decke |
| 15304008 | Simano-Decke | Simano-Decke |
| 15308024 | Simmen-Decke | Simmen-Decke |
| 15304028 | Sion-Courmayeur-Decke | Sion-Courmayeur-Decke |
| 15304083 | Siviez-Mischabel-Decke | Siviez-Mischabel-Decke |
| 15304115 | Soazza-Schuppe | Soazza-Schuppe |
| 15304004 | Soja-Decke | Soja-Decke |
| 15303154 | Sörenberg-Melange | Sörenberg-Melange |
| 15301121 | Speer-Stockberg-Schuppe | Speer-Stockberg-Schuppe |
| 15301119 | St.-Jost-Schuppe | St.-Jost-Schuppe |
| 15304157 | Stäglerenegg- | Stäglerenegg- |
| | Brünnelistock-Schuppen | Brünnelistock-Schuppen |
| 15305027 | Stammerspitz-Schuppe | Stammerspitz-Schuppe |
| 15301145 | Steffisburg-Schuppe | Steffisburg-Schuppe |
| 15303142 | Stelli-Schuppe | Stelli-Schuppe |
| 15303123 | Stichplatten-Schuppe | Stichplatten-Schuppe |
| 15304127 | Stockhorn-Decke | Stockhorn-Decke |
| 15306003 | Strona-Ceneri-Zone | Strona-Ceneri-Zone |
| 15303059 | Subalpine Flysch-Zone | Subalpine Flysch-Zone |
| 15301116 | Subalpine Molasse | Subalpine Molasse |
| 15301143 | Subalpiner | Subalpiner |
| | Schuppenkomplex | Schuppenkomplex |
| 15303034 | Sublage-Decke | Sublage-Decke |
| 15306001 | Südalpin | Südalpin |
| 15306009 | Südalpin Sub-Domäne | Südalpin Sub-Domäne |
| | undifferenziert | undifferenziert |
| 15302043 | Süddeutsche Tafel | Süddeutsche Tafel |
| 15303153 | Südelbach-Zone | Südelbach-Zone |
| 15304067 | Sulzfluh-Decke | Sulzfluh-Decke |
| 15304090 | Suretta-Decke | Suretta-Decke |
| 15304089 | Tambo-Decke | Tambo-Decke |
| 15304068 | Tasna-Decke | Tasna-Decke |

| GeolCode | Deutsch | Français |
|----------|------------------------------------|------------------------------------|
| 15303057 | Tavetsch-Decke | Tavetsch-Decke |
| 15304112 | Terri-Schuppe | Terri-Schuppe |
| 15305047 | Terza-Schuppe | Terza-Schuppe |
| 15304041 | Tomül-Decke | Tomül-Decke |
| 15305022 | Tonale-Decke | Tonale-Decke |
| 15303097 | Toralp-Schuppe | Toralp-Schuppe |
| 15304149 | Totalp-Ophiolithkomplex | Totalp-Ophiolithkomplex |
| 15304114 | Trescolmen-Schuppe | Trescolmen-Schuppe |
| 15304136 | Triesenberg-Schuppenkomplex | Triesenberg-Schuppenkomplex |
| 15303114 | Trun-Punteglias-Teilmassiv | Trun-Punteglias-Teilmassiv |
| 15304094 | Tsaté-Decke | Tsaté-Decke |
| 15303021 | Tschep-Schuppe | Tschep-Schuppe |
| 15304072 | Tschera-Kalkberg-Decke | Tschera-Kalkberg-Decke |
| 15304137 | Tschingel-Schuppe | Tschingel-Schuppe |
| 15303136 | Tschingelhörner-Schuppe | Tschingelhörner-Schuppe |
| 15305026 | Tschirpen-Decke | Tschirpen-Decke |
| 15303110 | Tulle-Melange | Tulle-Melange |
| 15303048 | Ultrahelvetikum | Ultrahelvetikum |
| 15305082 | Umbrail-Chavalatsch-Schuppen | Umbrail-Chavalatsch-Schuppen |
| 15305014 | Umbrail-Terza-Schuppenkomplex | Umbrail-Terza-Schuppenkomplex |
| 15308012 | Untere Einheit der Mont-Mary-Decke | Untere Einheit der Mont-Mary-Decke |
| 15306006 | Untere Orobische Decke | Untere Orobische Decke |
| 15304054 | Untere Stalden-Schuppe | Untere Stalden-Schuppe |
| 15304141 | Untere Vals-Schuppen | Untere Vals-Schuppen |
| 15303001 | Unterhelvetikum | Unterhelvetikum |
| 15305023 | Unterostalpin | Unterostalpin |
| 15304015 | Unterpenninikum | Unterpenninikum |
| 15304044 | Üntschen-Decke | Üntschen-Decke |
| 15304135 | Val-Gronda-Schuppe | Val-Gronda-Schuppe |
| 15308016 | Valpelline-Einheit | Valpelline-Einheit |
| 15304035 | Vals-Schuppenkomplex | Vals-Schuppenkomplex |
| 15301138 | Vaulruz-Schuppe | Vaulruz-Schuppe |
| 15304009 | Verampio-Decke | Verampio-Decke |
| 15301136 | Vevey-Evian-Schuppe | Vevey-Evian-Schuppe |
| 15301141 | Villarvolard-Schuppe | Villarvolard-Schuppe |
| 15304053 | Visperterminen-Schuppe | Visperterminen-Schuppe |
| 15304104 | Voirons-Decke | Voirons-Decke |
| 15308031 | Vollon-Schuppe | Vollon-Schuppe |
| 15301031 | Vorfaltenzone | Vorfaltenzone |
| 15301030 | Vorlandplateau | Vorlandplateau |
| 15303037 | Wageten-Schuppe | Wageten-Schuppe |
| 15304106 | Wägital-Decke | Wägital-Decke |
| 15304146 | Weissfluh-Scholle | Weissfluh-Scholle |
| 15303063 | Wildhaus-Melange | Wildhaus-Melange |

| GeolCode | Deutsch | Français |
|----------|------------------------|------------------------|
| 15303031 | Wildhorn-Deckenkomplex | Wildhorn-Deckenkomplex |
| 15303042 | Wissberg-Schuppe | Wissberg-Schuppe |
| 15303134 | Wissenwand-Schuppe | Wissenwand-Schuppe |
| 15301146 | Wolfsegg-Schuppe | Wolfsegg-Schuppe |
| 15304093 | Zermatt-Saas-Fee-Decke | Zermatt-Saas-Fee-Decke |
| 15304116 | Zervreila-Schuppe | Zervreila-Schuppe |
| 15304050 | Zone Houillère | Zone Houillère |
| 15304051 | Zone Houillère externe | Zone Houillère externe |
| 15304052 | Zone Houillère interne | Zone Houillère interne |
| 15304048 | Zone Submédiane | Zone Submédiane |
| 999997 | Unknown | Unknown |
| 999998 | Not applicable | Not applicable |

orig_descr Originalbezeichnung gemäss der Legende der zugrundeliegenden geologischen Karte

buried_out Wurde das Festgestein wieder verdeckt (ja / nein)?

exotic_ele Handelt es sich bei der Objektart um ein exotisches Element; z.B. Einschluss, Linse, Tasche, Olistholith (ja / nein)?

colour Farbe des Gesteins. Präzisieren ob es sich um die Bruchfarbe, die Verwitterungsfarbe, etc. handelt; z.B. Verwitterungsfarbe grau.

sedi_main_com Hauptgesteinskomponente des klastischen Sedimentgesteins

| GeolCode | Deutsch | Français |
|----------|---|---|
| 15602006 | Dolomitstein | Dolomitstein |
| 15602001 | Gesteinsbruchstück undifferenziert | Gesteinsbruchstück undifferenziert |
| 15602005 | Kalkstein | Kalkstein |
| 15602002 | kieselige Gesteine (Quarzit, Quarz (Mineralisch), Radiolarit, Kieselkalk, Quarzsandstein, Hornstein) | kieselige Gesteine (Quarzit, Quarz (Mineralisch), Radiolarit, Kieselkalk, Quarzsandstein, Hornstein) |
| 15602007 | Kristallingestein undifferenziert | Kristallingestein undifferenziert |
| 15602010 | Mergelstein | Mergelstein |
| 15602009 | Metamorphit | Metamorphit |
| 15602003 | Sedimentgestein undifferenziert | Sedimentgestein undifferenziert |
| 15602004 | Tonstein | Tonstein |
| 15602008 | Vulkanit | Vulkanit |
| 999997 | Unknown | Unknown |
| 999998 | Not applicable | Not applicable |

sedi_seco_com *Nebengesteinskomponente des Sedimentgesteins*

| GeolCode | Deutsch | Français |
|----------|---------------------------------------|---------------------------------------|
| 20001019 | biogene Komponenten | biogene Komponenten |
| 20001024 | Bitumen | Bitumen |
| 20001005 | Dolomitstein | Dolomitstein |
| 20001026 | Eisenmineralien | Eisenmineralien |
| 20001025 | Evaporit | Evaporit |
| 20001012 | Feldspat | Feldspat |
| 20001001 | Gesteinsbruchstück undifferenziert | Gesteinsbruchstück undifferenziert |
| 20001013 | Glaukonit | Glaukonit |
| 20001014 | Glimmer | Glimmer |
| 20001015 | intraformationelle Gerölle | intraformationelle Gerölle |
| 20001016 | Kalkkonkretionen | Kalkkonkretionen |
| 20001004 | Kalkstein | Kalkstein |
| 20001023 | Kohle | Kohle |
| 20001006 | Kristallingestein undifferenziert | Kristallingestein undifferenziert |
| 20001022 | Mergelstein | Mergelstein |
| 20001008 | Metamorphit | Metamorphit |
| 20001021 | Phosphorit | Phosphorit |
| 20001010 | pyroklastische Komponenten | pyroklastische Komponenten |
| 20001011 | Quarz | Quarz |
| 20001009 | Quarzit | Quarzit |
| 20001002 | Sedimentgestein undifferenziert | Sedimentgestein undifferenziert |
| 20001017 | Sideritkonkretionen | Sideritkonkretionen |
| 20001018 | Silexkonkretionen | Silexkonkretionen |
| 20001020 | terrigenen Detritus | terrigenen Detritus |
| 20001003 | Tonstein | Tonstein |
| 20001007 | Vulkanit | Vulkanit |
| 999997 | Unknown | Unknown |
| 999998 | Not applicable | Not applicable |

sedi_bond_mat *Bindemittel des Sedimentgesteins*

| GeolCode | Deutsch | Français |
|----------|-------------------------------|-------------------------------|
| 14313008 | dolomitische Matrix | dolomitische Matrix |
| 14313002 | dolomitischer Zement | dolomitischer Zement |
| 14313007 | kalkige Matrix | kalkige Matrix |
| 14313001 | kalkiger Zement | kalkiger Zement |
| 14313003 | kieseliger Zement | kieseliger Zement |
| 14313010 | mineralische Imprägnierung | mineralische Imprägnierung |

| GeolCode | Deutsch | Français |
|----------|------------------------------------|------------------------------------|
| 14313009 | organische Imprägnierung (Asphalt) | organische Imprägnierung (Asphalt) |
| 14313006 | sandige Matrix | sandige Matrix |
| 14313005 | siltige Matrix | siltige Matrix |
| 14313004 | tonige Matrix | tonige Matrix |
| 999997 | Unknown | Unknown |
| 999998 | Not applicable | Not applicable |

sedi_bedding Schichtung des Sedimentgesteins

| GeolCode | Deutsch | Français |
|----------|---------------------|---------------------|
| 20101005 | blätterig | blätterig |
| 20101003 | dickbankig (>30cm) | dickbankig (>30cm) |
| 20101004 | dünnbankig (1-10cm) | dünnbankig (1-10cm) |
| 20101002 | gebankt | gebankt |
| 20101006 | knauerig | knauerig |
| 20101007 | knollig | knollig |
| 20101008 | linsenförmig | linsenförmig |
| 20101001 | massig | massig |
| 999997 | Unknown | Unknown |
| 999998 | Not applicable | Not applicable |

sedi_str Textur des Sedimentgesteins

| GeolCode | Deutsch | Français |
|----------|--------------------------|--------------------------|
| 20201007 | bioturbirt | bioturbirt |
| 20201002 | geschichtet | geschichtet |
| 20201006 | invers gradiert | invers gradiert |
| 20201004 | laminirt | laminirt |
| 20201005 | normal gradiert | normal gradiert |
| 20201003 | schräg-/kreuzgeschichtet | schräg-/kreuzgeschichtet |
| 20201008 | stromatolitisch | stromatolitisch |
| 20201001 | texturlos | texturlos |
| 999997 | Unknown | Unknown |
| 999998 | Not applicable | Not applicable |

sedi_tex Sedimentstruktur

| GeolCode | Deutsch | Français |
|----------|--------------|--------------|
| 20301005 | bioklastisch | bioklastisch |
| 20301003 | mikritisch | mikritisch |
| 20301001 | monomikt | monomikt |

| GeolCode | Deutsch | Français |
|----------|----------------|----------------|
| 20301007 | onkolithisch | onkolithisch |
| 20301008 | oolithisch | oolithisch |
| 20301009 | pelitisch | pelitisch |
| 20301010 | pisolithisch | pisolithisch |
| 20301002 | polymikt | polymikt |
| 20301004 | spätig | spätig |
| 999997 | Unknown | Unknown |
| 999998 | Not applicable | Not applicable |

igne_text Struktur des magmatischen Gesteins

| GeolCode | Deutsch | Français |
|----------|----------------|----------------|
| 14317001 | gleichkörnig | gleichkörnig |
| 14317003 | porphyrisch | porphyrisch |
| 14317002 | ungleichkörnig | ungleichkörnig |
| 999997 | Unknown | Unknown |
| 999998 | Not applicable | Not applicable |

igne_grain_si Korngrösse des magmatischen Gesteins

| GeolCode | Deutsch | Français |
|----------|----------------|----------------|
| 14318003 | aphanitisch | aphanitisch |
| 14318002 | feinkörnig | feinkörnig |
| 14318001 | grobkörnig | grobkörnig |
| 999997 | Unknown | Unknown |
| 999998 | Not applicable | Not applicable |

igne_affinity Affinität zu einer magmatischen Serie.

| GeolCode | Deutsch | Français |
|----------|----------------|----------------|
| 15733001 | alkalisch | alkalisch |
| 15733002 | kalkalkalisch | kalkalkalisch |
| 15733003 | tholeiitisch | tholeiitisch |
| 999997 | Unknown | Unknown |
| 999998 | Not applicable | Not applicable |

meta_full_name Bezeichnung des metamorphen Gesteins

meta_mineral Wichtiges Mineral des metamorphen Gesteins

| GeolCode | Deutsch | Français |
|----------|-----------------|-----------------|
| 20401056 | Adular | Adular |
| 20401057 | Aegirin | Aegirin |
| 20401058 | Aegirin-Augit | Aegirin-Augit |
| 20401001 | Aktinolith | Aktinolith |
| 20401002 | Albit | Albit |
| 20401024 | Alkalifeldspat | Alkalifeldspat |
| 20401003 | Allanit | Allanit |
| 20401004 | Almandin | Almandin |
| 20401050 | Alumosilikat | Alumosilikat |
| 20401005 | Amphibol | Amphibol |
| 20401006 | Andalusit | Andalusit |
| 20401059 | Andesin | Andesin |
| 20401060 | Anhydrit | Anhydrit |
| 20401007 | Ankerit | Ankerit |
| 20401061 | Annit | Annit |
| 20401008 | Anorthit | Anorthit |
| 20401009 | Antigorit | Antigorit |
| 20401062 | Aragonit | Aragonit |
| 20401063 | Augit | Augit |
| 20401010 | Biotit | Biotit |
| 20401014 | Chlorit | Chlorit |
| 20401015 | Chloritoid | Chloritoid |
| 20401064 | Chrysotil | Chrysotil |
| 20401017 | Coesit | Coesit |
| 20401018 | Cordierit | Cordierit |
| 20401019 | Diopsid | Diopsid |
| 20401020 | Disthen | Disthen |
| 20401021 | Dolomit | Dolomit |
| 20401082 | Enstatit | Enstatit |
| 20401022 | Epidot | Epidot |
| 20401081 | Fayalit | Fayalit |
| 20401023 | Feldspat | Feldspat |
| 20401080 | Forsterit | Forsterit |
| 20401085 | Fuchsit | Fuchsit |
| 20401026 | Glaukophan | Glaukophan |
| 20401032 | Glimmer | Glimmer |
| 20401028 | Granat | Granat |
| 20401027 | Graphit | Graphit |
| 20401065 | Grossular | Grossular |
| 20401033 | Hellglimmer | Hellglimmer |
| 20401029 | Hornblende | Hornblende |
| 20401066 | Jadeit | Jadeit |
| 20401011 | Kalzit | Kalzit |
| 20401012 | Karbonatmineral | Karbonatmineral |
| 20401013 | Karpholith | Karpholith |
| 20401070 | Klinopyroxen | Klinopyroxen |
| 20401016 | Klinozoisit | Klinozoisit |
| 20401030 | Lawsonit | Lawsonit |

| GeolCode | Deutsch | Français |
|----------|----------------|----------------|
| 20401031 | Magnetit | Magnetit |
| 20401067 | Margarit | Margarit |
| 20401034 | Mikroclin | Mikroclin |
| 20401035 | Muskovit | Muskovit |
| 20401068 | Oligoklas | Oligoklas |
| 20401036 | Olivin | Olivin |
| 20401037 | Omphazit | Omphazit |
| 20401038 | Orthoklas | Orthoklas |
| 20401069 | Orthopyroxen | Orthopyroxen |
| 20401039 | Paragonit | Paragonit |
| 20401071 | Phengit | Phengit |
| 20401040 | Phlogopit | Phlogopit |
| 20401041 | Plagioklas | Plagioklas |
| 20401042 | Prehnit | Prehnit |
| 20401072 | Pumpellyit | Pumpellyit |
| 20401043 | Pyrit | Pyrit |
| 20401044 | Pyrop | Pyrop |
| 20401045 | Pyrophyllit | Pyrophyllit |
| 20401046 | Pyroxen | Pyroxen |
| 20401047 | Quarz | Quarz |
| 20401073 | Sanidin | Sanidin |
| 20401074 | Sapphirin | Sapphirin |
| 20401084 | Serizit | Serizit |
| 20401049 | Serpentin | Serpentin |
| 20401051 | Sillimanit | Sillimanit |
| 20401075 | Spessartin | Spessartin |
| 20401076 | Spinell | Spinell |
| 20401052 | Staurolith | Staurolith |
| 20401053 | Stilpnomelan | Stilpnomelan |
| 20401054 | Talk | Talk |
| 20401077 | Titanit | Titanit |
| 20401078 | Tremolit | Tremolit |
| 20401079 | Turmalin | Turmalin |
| 20401083 | Zeolith | Zeolith |
| 20401055 | Zoisit | Zoisit |
| 999997 | Unknown | Unknown |
| 999998 | Not applicable | Not applicable |

meta_str Textur des metamorphen Gesteins

| GeolCode | Deutsch | Français |
|----------|----------------------------|----------------------------|
| 20501016 | agmatitisch (migmatitisch) | agmatitisch (migmatitisch) |
| 20501003 | augig | augig |
| 20501017 | brekziös | brekziös |
| 20501015 | flaserig | flaserig |
| 20501012 | geadert | geadert |

| GeolCode | Deutsch | Français |
|----------|----------------|----------------|
| 20501002 | gebändert | gebändert |
| 20501010 | gebankt | gebankt |
| 20501011 | gefältelt | gefältelt |
| 20501008 | lagig | lagig |
| 20501007 | laminert | laminert |
| 20501014 | linsig | linsig |
| 20501001 | massig | massig |
| 20501004 | mit Schollen | mit Schollen |
| 20501006 | phyllitisch | phyllitisch |
| 20501009 | plattig | plattig |
| 20501005 | schiefrig | schiefrig |
| 20501013 | schlierig | schlierig |
| 999997 | Unknown | Unknown |
| 999998 | Not applicable | Not applicable |

Theme GEOMORPHOLOGY

Class Instability_Structures_PT

Die Klasse Instability_Structures_PT enthält lokal beobachtete Hinweise auf Hanginstabilitäten (Rutschungen), die räumlich nicht abgegrenzt werden können. Wenn möglich, sollen instabile Gesteinsmassen durch Polygone erfasst werden (Klasse Instabilities_within_Unconsolidated_Deposits_PLG), die punktförmige Aufnahme ist zu vermeiden und vorwiegend für die Vektorisierung älterer gedruckter Karten gedacht.

| Name | Type | Description |
|------|---------|-------------------------|
| kind | subtype | Spezifische Eigenschaft |
| [1] | 11601 | |

kind *Spezifische Eigenschaft*

| GeolCode | Deutsch | Français |
|----------|-----------------------------------|-----------------------------------|
| 11601001 | Gins Hinweis auf Hanginstabilität | Gins Hinweis auf Hanginstabilität |

Class Instability_Structures_L

Die Klasse Instability_Structures_L umfasst linienförmige Morphologien, die sich als Folge von Hanginstabilitäten an der Oberfläche ausgebildet haben. Beim Abrissrand handelt es sich um den oberen Rand der durch das Abgleiten der bewegten Masse freigelegten Gleitfläche einer Rutschung oder Sackung (Abrissnische)

| Name | Type | Description |
|------|---------|-------------------------|
| kind | subtype | Spezifische Eigenschaft |
| [1] | 11701 | |

kind *Spezifische Eigenschaft*

| GeolCode | Deutsch | Français |
|----------|-------------------------------------|-------------------------------------|
| 11701001 | Gins Stauchwulst | Gins Stauchwulst |
| 11701002 | Gins Nackentälchen, Zerrstruktur | Gins Nackentälchen, Zerrstruktur |
| 11701003 | Gins Abrissrand | Gins Abrissrand |
| 11701004 | Gins offene Spalte | Gins offene Spalte |

Class Instabilities_within_Unconsolidated_Deposits_PLG

Die Klasse *Instabilities_within_Unconsolidated_Deposits_PLG* beinhaltet alle Polygone, die Gebiete mit instabilen Lockergesteinen begrenzen. In dieser Klasse werden die Prozessräume der verschiedenen Typen von gleitenden Massenbewegungsprozessen ausgeschieden; die eigentlichen Gesteinskörper und Ablagerungen, die von Massenbewegungsprozessen betroffen bzw. gebildet worden sind, werden in der Klasse *Unconsolidated_Deposits_PLG* beschrieben. Zur näheren Erklärung der verschiedenen Objektarten sind im Anhang A einige Fallbeispiele abgebildet.

| Name | Type | Description |
|------|---------|-------------------------|
| kind | subtype | Spezifische Eigenschaft |
| [1] | 11801 | |

kind *Spezifische Eigenschaft*

| GeolCode | Deutsch | Français |
|----------|---------|----------|
| | | |

Class Instabilities_within_Bedrock_PLG

Die Klasse *Instabilities_within_Bedrock_PLG* beinhaltet alle Polygone, die Gebiete mit instabilen Festgesteinen begrenzen. In dieser Klasse werden die Prozessräume der verschiedenen Typen von gleitenden Massenbewegungsprozessen ausgeschieden; die eigentlichen Gesteinskörper, die von Massenbewegungsprozessen betroffen sind, werden in der Klasse *Bedrock_PLG* beschrieben. Zur näheren

Erklärung der verschiedenen Objektarten sind im Anhang A einige Fallbeispiele abgebildet.

| Name | Type | Description |
|----------|--------------------------|-------------------------|
| kind | subtype | Spezifische Eigenschaft |
| [1] | 11501 | |
| main_mov | CD | Hauptbewegungsphase |
| [0..1] | GC_SURF_GINS_MAIN_MOV_CD | |

kind *Spezifische Eigenschaft*

| GeolCode | Deutsch | Français |
|----------|---------|----------|
| | | |

main_mov *Hauptbewegungsphase*

| GeolCode | Deutsch | Français |
|----------|---|---|
| 11502002 | Hauptbewegungsphase nach dem letzteiszeitlichen Maximum | Hauptbewegungsphase nach dem letzteiszeitlichen Maximum |
| 11502001 | Hauptbewegungsphase vor dem letzteiszeitlichen Maximum | Hauptbewegungsphase vor dem letzteiszeitlichen Maximum |
| 999997 | Unknown | Unknown |
| 999998 | Not applicable | Not applicable |

Class Glacial_Structures_PT

Die Klasse Glacial_Structures_PT enthält Objektarten, welche die ehemalige Anwesenheit eines Gletschers punktuell dokumentieren (Gletscherschliff ist ein räumlich orientiertes Objekt und befindet sich deshalb in der Klasse Lineation_PT).

| Name | Type | Description |
|------|---------|-------------------------|
| kind | subtype | Spezifische Eigenschaft |
| [1] | 11201 | |

kind *Spezifische Eigenschaft*

| GeolCode | Deutsch | Français |
|----------|--------------------------------------|--------------------------------------|
| 11201002 | Ggla Gletschermühle, Strudeloch | Ggla Gletschermühle, Strudeloch |
| 11201001 | Ggla glazitektonische Deformation | Ggla glazitektonische Deformation |

Class Glacial_and_Periglacial_Structures_L

Die Klasse Glacial_and_Periglacial_Structures_L enthält linienförmige Strukturen, die auf ein glaziales oder periglaziales Bildungsmilieu hindeuten. Mit Ausnahme der Schliiffgrenze handelt es sich in dieser Klasse ausschliesslich um akkumulative Landschaftsformen wie Moränenwälle oder Blockwülste im Blockgletscher.

| Name | Type | Description |
|----------|-------------------------|---|
| kind | subtype | Objektart |
| [1] | 11301 | |
| morai_mo | CD | Morphologie der Moräne |
| [0..1] | GC_LIN_GGLA_MORAI_MO_CD | |
| glac_typ | CD | Gletschertyp, auf welchen die Objektart bezogen ist |
| [0..1] | GC_LIN_GGLA_GLAC_TYP_CD | |
| ice_m_p | CD | Räumlicher Gletscherstand |
| [0..1] | GC_LIN_GGLA_ICE_M_P_CD | |
| quat_str | CD | Zeitliche quar-tärstratigraphische Zuordnung des Moränenwälls |
| [0..1] | GC_LIN_GGLA_QUAT_STR_CD | |
| ref_year | integer | Referenzjahr des älteren Gletscherstandes. |
| [0..1] | | |
| source | string | Quellenangabe der historischen Unterlagen |
| [0..1] | | |

kind *Objektart*

| GeolCode | Deutsch | Français |
|----------|------------------|------------------|
| 11301001 | Ggla Moränenwall | Ggla Moränenwall |

| GeolCode | Deutsch | Français |
|----------|---|---|
| 11301002 | Ggla Moränenwall auf Gletscher oder auf Toteis | Ggla Moränenwall auf Gletscher oder auf Toteis |
| 11301003 | Ggla Kameterrassenkante | Ggla Kameterrassenkante |
| 11301004 | Ggla älterer Gletscherstand, basierend auf historischen Daten | Ggla älterer Gletscherstand, basierend auf historischen Daten |
| 11301005 | Ggla Schliffgrenze | Ggla Schliffgrenze |
| 11301006 | Ggla Protalus Rampart Wulst | Ggla Protalus Rampart Wulst |
| 11301007 | Ggla Blockwulst im Blockgletscher | Ggla Blockwulst im Blockgletscher |
| 11301008 | Ggla Schneehaldenmoränenwall | Ggla Schneehaldenmoränenwall |
| 11301009 | Ggla Verbreitungsgrenze von Geschiebe | Ggla Verbreitungsgrenze von Geschiebe |

morai_mo Morphologie der Moräne

| GeolCode | Deutsch | Français |
|----------|---------------------|---------------------|
| 11302002 | einseitig abfallend | einseitig abfallend |
| 11302001 | symmetrisch | symmetrisch |
| 999997 | Unknown | Unknown |
| 999998 | Not applicable | Not applicable |

glac_typ Gletschertyp, auf welchen die Objektart bezogen ist

| GeolCode | Deutsch | Français |
|----------|----------------------------------|----------------------------------|
| 11303002 | grosse Tal- und Vorlandgletscher | grosse Tal- und Vorlandgletscher |
| 11303001 | Lokalgletscher | Lokalgletscher |
| 999997 | Unknown | Unknown |
| 999998 | Not applicable | Not applicable |

ice_m_p Räumlicher Gletscherstand

| GeolCode | Deutsch | Français |
|----------|-----------------------------|-----------------------------|
| 11304002 | Bern | Bern |
| 11304050 | Bremgarten I | Bremgarten I |
| 11304051 | Bremgarten II | Bremgarten II |
| 11304003 | Bremgarten, undifferenziert | Bremgarten, undifferenziert |
| 11304052 | Bülach I | Bülach I |

| GeolCode | Deutsch | Français |
|----------|------------------------------------|------------------------------------|
| 11304053 | Bülach II | Bülach II |
| 11304054 | Bülach, undifferenziert | Bülach, undifferenziert |
| 11304037 | Chur | Chur |
| 11304055 | Dättikon | Dättikon |
| 11304028 | Feuerthalen I | Feuerthalen I |
| 11304029 | Feuerthalen II | Feuerthalen II |
| 11304005 | Feuerthalen, undifferenziert | Feuerthalen, undifferenziert |
| 11304040 | Fideris | Fideris |
| 11304006 | Gurten | Gurten |
| 11304007 | Hurden | Hurden |
| 11304008 | Killwangen | Killwangen |
| 11304039 | Koblach | Koblach |
| 11304004 | Konstanz | Konstanz |
| 11304035 | Küblis | Küblis |
| 11304036 | Lunden | Lunden |
| 11304001 | Maximalstand, undifferenziert | Maximalstand, undifferenziert |
| 11304009 | Mellingen | Mellingen |
| 11304010 | Muri | Muri |
| 11304056 | Regensdorf | Regensdorf |
| 11304011 | Rotkreuz | Rotkreuz |
| 11304038 | Sargans | Sargans |
| 11304030 | Schaffhausen I | Schaffhausen I |
| 11304031 | Schaffhausen II | Schaffhausen II |
| 11304012 | Schaffhausen, undifferenziert | Schaffhausen, undifferenziert |
| 11304048 | Schlieren I | Schlieren I |
| 11304049 | Schlieren II | Schlieren II |
| 11304013 | Schlieren, undifferenziert | Schlieren, undifferenziert |
| 11304014 | Schosshalde | Schosshalde |
| 11304057 | Seeb | Seeb |
| 11304015 | Seftigschwand | Seftigschwand |
| 11304041 | Serneus | Serneus |
| 11304016 | Solothurn | Solothurn |
| 11304017 | Spreitenbach | Spreitenbach |
| 11304018 | Spreitenbach-Killwangen | Spreitenbach-Killwangen |
| 11304045 | Staffelbach-Stand | Staffelbach-Stand |
| 11304025 | Stein-am-Rhein I | Stein-am-Rhein I |
| 11304026 | Stein-am-Rhein II | Stein-am-Rhein II |
| 11304027 | Stein-am-Rhein III | Stein-am-Rhein III |
| 11304019 | Stein am Rhein, undifferenziert | Stein am Rhein, undifferenziert |
| 11304058 | Stetten I | Stetten I |
| 11304059 | Stetten II | Stetten II |
| 11304020 | Stetten, undifferenziert | Stetten, undifferenziert |
| 11304043 | Sursee | Sursee |
| 11304044 | Triengen | Triengen |

| GeolCode | Deutsch | Français |
|----------|---------------------------|---------------------------|
| 11304021 | Wangen I | Wangen I |
| 11304022 | Wangen II | Wangen II |
| 11304042 | Wangen, undifferenziert | Wangen, undifferenziert |
| 11304023 | Wittigkofen | Wittigkofen |
| 11304060 | Würenlos I | Würenlos I |
| 11304061 | Würenlos II | Würenlos II |
| 11304062 | Würenlos, undifferenziert | Würenlos, undifferenziert |
| 11304046 | Zürich I | Zürich I |
| 11304047 | Zürich II | Zürich II |
| 11304024 | Zürich, undifferenziert | Zürich, undifferenziert |
| 999997 | Unknown | Unknown |
| 999998 | Not applicable | Not applicable |

quat_str Zeitliche quartärstratigraphische Zuordnung des Moränenwälls

| GeolCode | Deutsch | Français |
|----------|---|---|
| 11305001 | 1. Vergletscherung der letzten Eiszeit (MIS 5d) | 1. Vergletscherung der letzten Eiszeit (MIS 5d) |
| 11305002 | 2. Vergletscherung der letzten Eiszeit (MIS 4) | 2. Vergletscherung der letzten Eiszeit (MIS 4) |
| 11305003 | 3. Vergletscherung der letzten Eiszeit (LGM, MIS 2) | 3. Vergletscherung der letzten Eiszeit (LGM, MIS 2) |
| 11305005 | Clavadel | Clavadel |
| 11305006 | Daun | Daun |
| 11305007 | Egesen | Egesen |
| 11305004 | Gschnitz | Gschnitz |
| 11305008 | Mittleres Pleistozän | Mittleres Pleistozän |
| 999997 | Unknown | Unknown |
| 999998 | Not applicable | Not applicable |

ref_year Referenzjahr des älteren Gletscherstandes.

source Quellenangabe der historischen Unterlagen

Class Glacial_Structures_PLG

Die Klasse Glacial_Structures_PLG umfasst flächenhafte glaziale Landschaftsformen, die durch basales Fliessen des Gletschereises oder dessen Abschmelzen entstanden sind.

| Name | Type | Description |
|-------------|------------------|-------------|
| kind [1] | subtype 11401 | Objektart |

kind *Objektart*

| GeolCode | Deutsch | Français |
|----------|--|--|
| 11401001 | Ggla Drumlin, drumlinartige Kieskuppe | Ggla Drumlin, drumlinartige Kieskuppe |
| 11401003 | Ggla Rundhöcker | Ggla Rundhöcker |
| 11401004 | Ggla Toteisloch, Soll | Ggla Toteisloch, Soll |

Class Erosional_Structures_PT

Die Klasse Erosional_Structures_PT beinhaltet lokale Landschaftselemente, die sich im Laufe der Zeit unter Einwirkung von diversen Erosionsprozessen gebildet haben.

| Name | Type | Description |
|-------------|------------------|-------------|
| kind [1] | subtype 11001 | Objektart |

kind *Objektart*

| GeolCode | Deutsch | Français |
|----------|------------------|------------------|
| 11001001 | Gero Erdpyramide | Gero Erdpyramide |

Class Erosional_Structures_L

Die Klasse Erosional_Structures_L enthält linienförmige erosive Formen wie Erosionsränder im Allgemeinen oder Terrassenkanten. Auf älteren gedruckten Karten wurden Erosionsränder und Terrassenkanten oftmals nicht unterschieden. In den Vektordaten wird diese Unterscheidung jedoch konsequent vollzogen. Dies bedingt, dass im Rahmen der Vektorisierung älterer gedruckter Karten Erosionsränder und Terrassenkanten aufgeteilt werden müssen. Terrassenkanten werden nur dann als solche attribuiert, wenn sie durch ihre Lage und entsprechende Schotterterrassen eindeutig zugeordnet werden können. Zweifelhafte Fälle werden als Erosionsränder aufgenommen.

| Name | Type | Description |
|-------------|------------------|-------------|
| kind [1] | subtype 11101 | Objektart |

kind *Objektart*

| GeolCode | Deutsch | Français |
|----------|-------------------------|-------------------------|
| 11101001 | Gero Erosionsrand | Gero Erosionsrand |
| 11101002 | Gero Terrassenkante | Gero Terrassenkante |
| 11101003 | Gero Schichtstufenkante | Gero Schichtstufenkante |

Class Karstic_Structures_PT

Die Klasse Karstic_Structures_PT beinhaltet Karstphänomene, die punktförmig dargestellt werden. Darunter fallen u.a. der Ponor oder der Eingang zu einer Höhle.

| Name | Type | Description |
|----------|---------|---|
| kind | subtype | Objektart |
| [1] | 11301 | |
| ice_cave | boolean | Handelt es sich bei der Höhle um eine Eisgrotte («glacière», aussergewöhnlich kalte Höhle in der sich |

durch die winterlichen Schneefälle oder durch das Gefrieren von eingedrungenem Wasser Eis akkumuliert und das auch die warme Jahreszeit überdauert) (ja / nein)?

[0..1] | |

kind *Objektart*

| GeolCode | Deutsch | Français |
|----------|---|---|
| 11301001 | Ggla Moränenwall | Ggla Moränenwall |
| 11301002 | Ggla Moränenwall auf Gletscher oder auf Toteis | Ggla Moränenwall auf Gletscher oder auf Toteis |
| 11301003 | Ggla Kameterrassenkante | Ggla Kameterrassenkante |
| 11301004 | Ggla älterer Gletscherstand, basierend auf historischen Daten | Ggla älterer Gletscherstand, basierend auf historischen Daten |
| 11301005 | Ggla Schliffgrenze | Ggla Schliffgrenze |
| 11301006 | Ggla Protalus Rampart Wulst | Ggla Protalus Rampart Wulst |
| 11301007 | Ggla Blockwulst im Blockgletscher | Ggla Blockwulst im Blockgletscher |
| 11301008 | Ggla Schneehaldenmoränenwall | Ggla Schneehaldenmoränenwall |
| 11301009 | Ggla Verbreitungsgrenze von Geschiebe | Ggla Verbreitungsgrenze von Geschiebe |

ice_cave Handelt es sich bei der Höhle um eine Eisgrotte («glacière», aussergewöhnlich kalte Höhle in der sich durch die winterlichen Schneefälle oder durch das Gefrieren von eingedrungenem Wasser Eis akkumuliert und das auch die warme Jahreszeit überdauert) (ja / nein)?

Class Karstic_Structures_PLG

Die Klasse Karstic_Structures_PLG umfasst flächenhafte Karstformen wie Dolinen oder Poljen. Dolinen werden immer als Polygone erfasst (das bildet dafür eine wichtige Grundlage). Kleine Dolinen (Durchmesser < 25 m), werden durch eine definierte Einheitsfläche von 500 m² dargestellt.

| Name | Type | Description |
|-------------|------------------|-------------|
| kind [1] | subtype 12001 | Objektart |

kind *Objektart*

| GeolCode | Deutsch | Français |
|----------|---------------------------------------|---------------------------------------|
| 12001001 | Gkar Senke ohne oberirdischen Abfluss | Gkar Senke ohne oberirdischen Abfluss |
| 12001002 | Gkar Doline | Gkar Doline |
| 12001003 | Gkar Karrenfeld | Gkar Karrenfeld |
| 12001004 | Gkar Polje | Gkar Polje |

Class Alluvial_and_Lacustrine_Structures_L

Die Klasse Alluvial_and_Lacustrine_Structures_L beinhaltet linienförmige Morphologien fluviatilen oder lakustrischen Ursprungs.

| Name | Type | Description |
|---------------|--------------------------|----------------------|
| kind [1] | subtype 10901 | Objektart |
| age [0..1] | CD GC_LIN_GALL_AGE_CD | Alter der Objektart. |

kind *Objektart*

| GeolCode | Deutsch | Français |
|----------|-------------------------------|-------------------------------|
| 10901001 | Gall Strandwall | Gall Strandwall |
| 10901002 | Gall Achse einer Murgangrinne | Gall Achse einer Murgangrinne |

age Alter der Objektart.

| GeolCode | Deutsch | Français |
|----------|----------------|----------------|
| 10902001 | fossil | fossil |
| 10902002 | rezent | rezent |
| 999997 | Unknown | Unknown |
| 999998 | Not applicable | Not applicable |

Theme TECTONICS

Class Deformation_Structures_PT

Die Klasse Deformation_Structures_PT beinhaltet punktuell beobachtete tektonische Deformationsstrukturen wie lokal stark verfaltete Stellen (Fältelung) oder Orte mit ausgeprägter Klüftung. Ebenfalls in dieser Klasse befinden sich konstruierte Punkte wie z.B. die Orientierung der Faltenachsenfläche. Die Darstellung der Spur einer Achsenfläche entspricht der Symbolisierung eines konstruierten Faltenscharniers, in einem Punkt der Intersektion einer Achsenfläche und der Topografie. Diese beiden letzterwähnten Objektarten sind im Anhang A zur besseren Verständlichkeit abgebildet.

| Name | Type | Description |
|---------|---------|---|
| kind | subtype | Objektart |
| [1] | 14601 | |
| azimuth | integer | Fallrichtung (Azimut) der jeweiligen Punktobjektart. Wert in Grad (0° 359°) im Uhrzeigersinn gemessen. |
| [0..1] | | |
| dip | integer | Einfallswert der jeweiligen Punktobjektart. Wert in Grad gemessen aus der Horizontalen (0°) nach unten bis in die |

Vertikale (90°).

[0..1] | | fold_typ | CD | Objekttyp [0..1] | GC_PNT_TDEF_FOLD_TYP_CD | fold_for | CD | Objektform [0..1] | GC_PNT_TDEF_FOLD_FOR_CD |

kind Objektart

| GeolCode | Deutsch | Français |
|----------|--|--|
| 14601001 | Tdef punktuell beobachtete tektonische Brekzie | Tdef punktuell beobachtete tektonische Brekzie |
| 14601002 | Tdef ausgeprägte Klüftung | Tdef ausgeprägte Klüftung |
| 14601003 | Tdef tektonische Diskordanz | Tdef tektonische Diskordanz |
| 14601004 | Tdef Orientierung der Faltenachsenfläche | Tdef Orientierung der Faltenachsenfläche |
| 14601005 | Tdef Fältelung | Tdef Fältelung |
| 14601006 | Tdef Darstellung der Spur einer Achsenfläche | Tdef Darstellung der Spur einer Achsenfläche |
| 14601007 | Tdef Chevron-Falte, Kink Fold | Tdef Chevron-Falte, Kink Fold |

azimuth Fallrichtung (Azimut) der jeweiligen Punktojektart. Wert in Grad (0° 359°) im Uhrzeigersinn gemessen.

dip Einfallswert der jeweiligen Punktojektart. Wert in Grad gemessen aus der Horizontalen (0°) nach unten bis in die Vertikale (90°).

fold_typ Objekttyp

| GeolCode | Deutsch | Français |
|----------|----------------|----------------|
| 14604001 | Antiklinale | Antiklinale |
| 14604002 | Synklinale | Synklinale |
| 999997 | Unknown | Unknown |
| 999998 | Not applicable | Not applicable |

fold_for Objektform

| GeolCode | Deutsch | Français |
|----------|----------------|----------------|
| 14605001 | Antiform | Antiform |
| 14605002 | Synform | Synform |
| 999997 | Unknown | Unknown |
| 999998 | Not applicable | Not applicable |

Class Deformation_Structures_L

Die Klasse Deformation_Structures_L enthält linienförmige tektonische Deformationsstrukturen, wie den Verlauf des Faltenscharniers. Ein Beispiel der Objektart ist zur Veranschaulichung im Anhang A abgebildet.

| Name | Type | Description |
|-------------|------------------|-------------|
| kind [1] | subtype 14701 | Objektart |

kind *Objektart*

| GeolCode | Deutsch | Français |
|----------|----------------------|----------------------|
| 14701001 | Tdef Faltenscharnier | Tdef Faltenscharnier |

Class Deformation_Structures_PLG

In der Klasse Deformation_Structures_PLG befinden sich tektonisch geprägte Zonen wie tektonisierte Zonen oder Kluftzonen.

| Name | Type | Description |
|--------------------|-----------------------------|--------------------------------|
| kind [1] | subtype 14801 | Objektart |
| type | CD | Charakteristik der Objektarten |
| [0..1] gen_rela | GC_SURF_TDEF_TYPE_CD CDD | Genetische Beziehung. |
| [0..1] | None | |

kind *Objektart*

| GeolCode | Deutsch | Français |
|----------|-------------------------|-------------------------|
| 14801001 | Tdef Kluftzone | Tdef Kluftzone |
| 14801002 | Tdef tektonisierte Zone | Tdef tektonisierte Zone |

type *Charakteristik der Objektarten*

| GeolCode | Deutsch | Français |
|----------|--------------------|--------------------|
| 14802002 | kakiritisch | kakiritisch |
| 14802001 | kataklastisch | kataklastisch |
| 14802003 | mylonitisch | mylonitisch |
| 14802004 | pseudotachylitisch | pseudotachylitisch |
| 999997 | Unknown | Unknown |
| 999998 | Not applicable | Not applicable |

gen_rela *Genetische Beziehung.*

Class Tectonic_Boundaries_L

Die Klasse Tectonic_Boundaries_L umfasst alle tektonischen Verwerfungen. Die Horizontal- verschiebungen in der Schweiz können als «Bruch, (Attribut «Fault_Mo» (Fault Movement)) parallel zur Streichrichtung» abgebildet werden. Als Pendant zu «Überschiebung» oder «Abschiebung» gibt es in der Schweiz keine «Horizontalverschiebung» mit vergleichbarer Grössenausdehnung. Ein Abscherhorizont wird als «Überschiebung» oder als «Abschiebung» dargestellt. Wenn die Bewegungsrichtung nicht bekannt ist, wird er zur «tektonischen Grenze mit unbekannter Bewegungsrichtung». Zur näheren Erklärung der verschiedenen Objektarten sind im Anhang A Beispiele abgebildet.

| Name | Type | Description |
|----------------------|------------------------------------|--|
| kind [1] | subtype 14901 | Objektart |
| fault_mo | CD | Bewegungsrichtung des Bruchs |
| [0..1] verti_mo | GC_LIN_TTEC_FAULT_MO_CD CD | Bewegung parallel zur Fallrichtung der Bruchfläche. |
| [0..1] horiz_mo | GC_LIN_TTEC_VERTI_MO_CD CD | Bewegung parallel zur Streichrichtung der Bruch- oder Scherfläche |
| [0..1] lim_tect_b | GC_LIN_TTEC_HORIZ_MO_CD boolean | Grenze einer tektonischen Einheit wie Deckengrenze, Schuppengrenze, Zonengrenze, etc. (ja / nein)? |
| [1] status | CD | Zustand der Objektart |
| [1] activity | GC_LIN_TTEC_STATUS_CD TODO | Aktivität der Objektart |
| [0..1] meta_sta | CD | Tektonometamorphe Chronologie der Objektart |
| [0..1] name | GC_LIN_TTEC_META_STA_CD string | Spezifischer Name der Objektart. |
| [0..1] | | |

kind *Objektart*

| GeolCode | Deutsch | Français |
|----------|------------------------|------------------------|
| 14901001 | Ttec Überschiebung | Ttec Überschiebung |
| 14901002 | Ttec Abschiebung | Ttec Abschiebung |
| 14901004 | Ttec Bruch | Ttec Bruch |
| 14901005 | Ttec Aufschiebung | Ttec Aufschiebung |
| 14901006 | Ttec Blattverschiebung | Ttec Blattverschiebung |
| 14901007 | Ttec komplexe Störung | Ttec komplexe Störung |
| 14901008 | Ttec Störung i. Allg. | Ttec Störung i. Allg. |

fault_mo *Bewegungsrichtung des Bruchs*

| GeolCode | Deutsch | Français |
|----------|--|--|
| 14902003 | parallel zur Fallrichtung (strike slip) | parallel zur Fallrichtung (strike slip) |
| 14902002 | parallel zur Streichrichtung (Horizontalverschiebung) | parallel zur Streichrichtung (Horizontalverschiebung) |
| 14902001 | schrägverschiebend (oblique slip) | schrägverschiebend (oblique slip) |
| 999997 | Unknown | Unknown |
| 999998 | Not applicable | Not applicable |

verti_mo *Bewegung parallel zur Fallrichtung der Bruchfläche.*

| GeolCode | Deutsch | Français |
|----------|----------------|----------------|
| 14903002 | abschiebend | abschiebend |
| 14903001 | aufschiebend | aufschiebend |
| 999997 | Unknown | Unknown |
| 999998 | Not applicable | Not applicable |

horiz_mo *Bewegung parallel zur Streichrichtung der Bruch- oder Scherfläche*

| GeolCode | Deutsch | Français |
|----------|----------------|----------------|
| 14904001 | dextral | dextral |
| 14904002 | sinistral | sinistral |
| 999997 | Unknown | Unknown |
| 999998 | Not applicable | Not applicable |

lim_tect_b *Grenze einer tektonischen Einheit wie Deckengrenze, Schuppengrenze, Zonengrenze, etc. (ja / nein)?*

status *Zustand der Objektart*

| GeolCode | Deutsch | Français |
|----------|------------------------------------|------------------------------------|
| 14906004 | aus Seismikdaten interpretiert | aus Seismikdaten interpretiert |
| 14906001 | gesichert, im Allgemeinen | gesichert, im Allgemeinen |
| 14906002 | gesichert, unter Tage festgestellt | gesichert, unter Tage festgestellt |
| 14906003 | vermutet | vermutet |
| 999997 | Unknown | Unknown |
| 999998 | Not applicable | Not applicable |

activity *Aktivität der Objektart*

meta_sta *Tektonometamorphe Chronologie der Objektart*

| GeolCode | Deutsch | Français |
|----------|-----------------------------------|-----------------------------------|
| 14908003 | nach der Platznahme der Decken | nach der Platznahme der Decken |
| 14908001 | vor der Platznahme der Decken | vor der Platznahme der Decken |
| 14908002 | während der Platznahme der Decken | während der Platznahme der Decken |
| 999997 | Unknown | Unknown |
| 999998 | Not applicable | Not applicable |

name *Spezifischer Name der Objektart.*

Theme MEASUREMENTS_SPATIAL_ORIENTATION

Class Folds_PT

Die Klasse Folds_PT enthält Objektarten, welche die räumliche Lage von verfalteten geologischen Objekten (mit direkten Feldmessungen) beschreiben. Beispiele der Objektarten Orientierung der Faltenachse und der Scheitellinie sind im Anhang A zur besseren Verständlichkeit abgebildet.

| Name | Type | Description |
|----------|-------------------------|--------------------|
| kind | subtype | Objektart |
| [1] | 13601 | |
| fold_typ | CD | Objekttyp |
| [0..1] | GC_PNT_MFOL_FOLD_TYP_CD | |
| fold_for | | Form der Objektart |
| [0..1] | 13603 | |
| phase | CD | Deformationsphase. |
| [0..1] | GC_PNT_MFOL_PHASE_CD | |

| Name | Type | Description |
|-------------------|---------|--|
| phase_ref | string | Referenz für die Angabe der Deformationsphase. |
| [0..1] azimuth | integer | Einfallsrichtung (Azimut) der jeweiligen Punktobjektart (z.B. Scheitellinie, Faltenachse). |

Wert in Grad (0° 359°) im Uhrzeigersinn gemessen

[1] | | dip | integer | Einfallswert der jeweiligen Punktobjektart. Wert in Grad gemessen aus der Horizontalen (0°) nach unten bis in die Vertikale (90°).

[0..1] | |

kind *Objektart*

| GeolCode | Deutsch | Français |
|----------|-------------------------------------|-------------------------------------|
| 13601001 | Mfol Orientierung der Faltenachse | Mfol Orientierung der Faltenachse |
| 13601002 | Mfol Orientierung der Scheitellinie | Mfol Orientierung der Scheitellinie |
| 13601003 | Mfol Orientierung der Muldenlinie | Mfol Orientierung der Muldenlinie |

fold_typ *Objekttyp*

| GeolCode | Deutsch | Français |
|----------|----------------|----------------|
| 13602001 | Antiklinale | Antiklinale |
| 13602002 | Synklinale | Synklinale |
| 999997 | Unknown | Unknown |
| 999998 | Not applicable | Not applicable |

fold_for *Form der Objektart*

phase *Deformationsphase*.

| GeolCode | Deutsch | Français |
|----------|---------------|---------------|
| 13604001 | F1 (1. Phase) | F1 (1. Phase) |
| 13604002 | F2 (2. Phase) | F2 (2. Phase) |

| GeolCode | Deutsch | Français |
|----------|----------------|----------------|
| 13604003 | F3 (3. Phase) | F3 (3. Phase) |
| 999997 | Unknown | Unknown |
| 999998 | Not applicable | Not applicable |

phase_ref Referenz für die Angabe der Deformationsphase.

azimuth Einfallrichtung (Azimut) der jeweiligen Punktobjektart (z.B. Scheitellinie, Faltenachse). Wert in Grad (0° 359°) im Uhrzeigersinn gemessen

dip Einfallswert der jeweiligen Punktobjektart. Wert in Grad gemessen aus der Horizontalen (0°) nach unten bis in die Vertikale (90°).

Class Lineation_PT

In der Klasse Lineation_PT finden sich Objektarten, welche die räumliche Lage von diversen Linearen mit direkten Feldmessungen beschreiben. Die räumliche Lage u.a. von Gletscherschliffen und Rutschharnischen ist ebenso Teil dieser Klasse wie die Orientierung von Streckungs- oder Intersektionslineationen.

| Name | Type | Description |
|---------|---------|---|
| kind | subtype | Objektart |
| [1] | 13701 | |
| azimuth | integer | Einfallrichtung (Azimut) der jeweiligen Punktobjektart (z.B. Scheitellinie, Faltenachse). |

Wert in Grad (0° 359°) im Uhrzeigersinn gemessen

[1] | | dip | | Einfallswert der jeweiligen Punktobjektart. Wert in Grad gemessen aus der Horizontalen (0°) nach unten bis in die Vertikale (90°).

[] | |

kind Objektart

| GeolCode | Deutsch | Français |
|----------|--|--|
| 13701001 | Mlin Orientierung der Intersektionslineation | Mlin Orientierung der Intersektionslineation |
| 13701002 | Mlin Orientierung der Streckungslineation | Mlin Orientierung der Streckungslineation |

| GeolCode | Deutsch | Français |
|----------|--|--|
| 13701003 | Mlin Orientierung von Rutschharnischen | Mlin Orientierung von Rutschharnischen |
| 13701004 | Mlin Orientierung von Gletscherschliffen | Mlin Orientierung von Gletscherschliffen |

azimuth *Einfallsrichtung (Azimut) der jeweiligen Punktojektart (z.B. Scheitellinie, Faltenachse). Wert in Grad (0° 359°) im Uhrzeigersinn gemessen*

dip *Einfallswert der jeweiligen Punktojektart. Wert in Grad gemessen aus der Horizontalen (0°) nach unten bis in die Vertikale (90°).*

Class Planar_Structures_PT

Die Klasse Planar_Structures_PT enthält Objektarten, welche die räumliche Lage von planaren Strukturen mit direkten Feldmessungen beschreiben. Ein Beispiel der Objektart Orientierung der Schieferung ist im Anhang A zur Veranschaulichung abgebildet.

| Name | Type | Description |
|------------|-------------------------|---|
| kind | subtype | Objektart |
| [1] | 13801 | |
| polarity | CD | Position der Objektart im Raum |
| [0..1] | GC_PNT_MPLA_POLARITY_CD | |
| phase | CD | Deformationsphase |
| [] | GC_PNT_MPLA_PHASE_CD | |
| phase_ref | string | Referenz für die Angabe der Deformationsphase. |
| [0..1] | | |
| ob_dip_slo | boolean | Dip slope beobachtet (ja / nein)? |
| [0..1] | | |
| azimuth | integer | Einfallsrichtung (Azimut) der jeweiligen Punktojektart (z.B. Scheitellinie, Faltenachse). |

Wert in Grad (0° 359°) im Uhrzeigersinn gemessen

[1] | | dip | | Einfallswert der jeweiligen Punktojektart. Wert in Grad gemessen aus der Horizontalen (0°) nach unten bis in die Vertikale (90°).

[] | |

kind *Objektart*

| GeolCode | Deutsch | Français |
|----------|---|---|
| 13801002 | Mpla Orientierung eines Ganges | Mpla Orientierung eines Ganges |
| 13801003 | Mpla Orientierung einer Bruchfläche | Mpla Orientierung einer Bruchfläche |
| 13801004 | Mpla Orientierung der Schieferung | Mpla Orientierung der Schieferung |
| 13801005 | Mpla Orientierung einer Schichtung oder Schieferung | Mpla Orientierung einer Schichtung oder Schieferung |
| 13801001 | Mpla Orientierung der Schichten | Mpla Orientierung der Schichten |
| 13801006 | Mpla Schüttungsrichtung | Mpla Schüttungsrichtung |

polarity *Position der Objektart im Raum*

| GeolCode | Deutsch | Français |
|----------|----------------|----------------|
| 13802001 | normal | normal |
| 13802002 | überkippt | überkippt |
| 999997 | Unknown | Unknown |
| 999998 | Not applicable | Not applicable |

phase *Deformationsphase*

| GeolCode | Deutsch | Français |
|----------|----------------|----------------|
| 13803001 | S1 (1. Phase) | S1 (1. Phase) |
| 13803002 | S2 (2. Phase) | S2 (2. Phase) |
| 13803003 | S3 (3. Phase) | S3 (3. Phase) |
| 999997 | Unknown | Unknown |
| 999998 | Not applicable | Not applicable |

phase_ref *Referenz für die Angabe der Deformationsphase.*

ob_dip_slo *Dip slope beobachtet (ja / nein)?*

azimuth *Einfallsrichtung (Azimut) der jeweiligen Punktobjektart (z.B. Scheitellinie, Faltenachse). Wert in Grad (0° 359°) im Uhrzeigersinn gemessen*

dip *Einfallswert der jeweiligen Punktobjektart. Wert in Grad gemessen aus der Horizontalen (0°) nach unten bis in die Vertikale (90°).*

Theme LOCAL_ADDITIONAL_INFORMATION

Class Anomalies_PT

Die Klasse Anomalies_PT beinhaltet lokal beobachtete und / oder gemessene Anomalien.

| Name | Type | Description |
|------|---------|-------------------------------|
| kind | subtype | Objektart |
| [1] | 128001 | |
| type | | Charakteristik der Objektart. |
| [] | 128002 | |

kind *Objektart*

| GeolCode | Deutsch | Français |
|----------|---------|----------|
| | | |

type *Charakteristik der Objektart.*

Class Fossils_PT

Die Klasse Fossils_PT enthält alle Fossilfundstellen.

| Name | Type | Description |
|-----------|--------------------------|--|
| kind | subtype | Objektart |
| [1] | 12901 | |
| division | CD | Fossilienkategorie, zu welcher die Objektinstanz gehört. |
| [0..1] | GC_FOSS_LFOS_DIVISION_CD | |
| system | table | Fossiliengruppe. |
| [0..1] | gc_system | |
| dat_meth | CD | Datierungsmethode. |
| [0..1] | GC_FOSS_LFOS_DAT_METH_CD | |
| status | CD | Zustand der Objektart |
| [0..1] | GC_FOSS_LFOS_STATUS_CD | |
| protected | boolean | Geschützte Fossilfundstelle (ja / nein)? |
| [0..1] | | |

kind *Objektart*

| GeolCode | Deutsch | Français |
|----------|-----------------------|-----------------------|
| 12901001 | Lfos Fossilfundstelle | Lfos Fossilfundstelle |

division *Fossilienkategorie, zu welcher die Objektinstanz gehört.*

| GeolCode | Deutsch | Français |
|----------|-------------------------|-------------------------|
| 12902006 | Einzeller | Einzeller |
| 12902002 | Pflanzen- und Tierreste | Pflanzen- und Tierreste |
| 12902003 | Pflanzenreste | Pflanzenreste |
| 12902004 | Spuren | Spuren |
| 12902001 | Tierreste | Tierreste |
| 999997 | Unknown | Unknown |
| 999998 | Not applicable | Not applicable |

system *Fossiliengruppe.*

dat_meth *Datierungsmethode.*

| GeolCode | Deutsch | Français |
|----------|-----------------------|-----------------------|
| 12904001 | radiometrisch datiert | radiometrisch datiert |
| 999997 | Unknown | Unknown |
| 999998 | Not applicable | Not applicable |

status *Zustand der Objektart*

| GeolCode | Deutsch | Français |
|----------|-----------------|-----------------|
| 12905001 | aufgeschlossen | aufgeschlossen |
| 12905002 | wieder verdeckt | wieder verdeckt |
| 999997 | Unknown | Unknown |
| 999998 | Not applicable | Not applicable |

protected *Geschützte Fossilfundstelle (ja / nein)?*

Class Indication_of_Resources_PT

Die Klasse Indication_of_Resources_PT beinhaltet Fundstellen von vulkanischen, mineralischen und nicht-mineralischen Rohstoffen.

| Name | Type | Description |
|-------------|------------------|-------------|
| kind [1] | subtype 13201 | Objektart |

| Name | Type | Description |
|---------------------|-----------------------------------|---|
| status | CD | Zustand der Objektart |
| [0..1] material | GC_PNT_LRES_STATUS_CD CD | Material, das mit der Objektart in Verbindung steht |
| [0..1] chemistry | GC_PNT_LRES_MATERIAL_CD string | Chemische Komponente(n) oder Mineralien, welche die Natur der Objektart charakterisieren. |
| [0..1] | | |

kind *Objektart*

| GeolCode | Deutsch | Français |
|----------|--|--|
| 13201001 | Lres Mineralfundstelle | Lres Mineralfundstelle |
| 13201002 | Lres Gasquelle | Lres Gasquelle |
| 13201003 | Lres Anzeichen auf Öl | Lres Anzeichen auf Öl |
| 13201006 | Lres Fundstelle vulkanischer Auswürflinge (Tephra) | Lres Fundstelle vulkanischer Auswürflinge (Tephra) |
| 13201007 | Lres Fundstelle von Ries-Auswürflingen | Lres Fundstelle von Ries-Auswürflingen |
| 13201008 | Lres Asphalt, vereinzelt Vorkommen | Lres Asphalt, vereinzelt Vorkommen |
| 13201005 | Lres Fundstelle von vulkanischem Tuffit | Lres Fundstelle von vulkanischem Tuffit |
| 13201004 | Lres Tasche, Karsttasche, Kluft, mit Füllung von siderolithischem Sediment | Lres Tasche, Karsttasche, Kluft, mit Füllung von siderolithischem Sediment |
| 13201009 | Lres Meteoritenfundstelle | Lres Meteoritenfundstelle |

status *Zustand der Objektart*

| GeolCode | Deutsch | Français |
|----------|-----------------|-----------------|
| 13202001 | aufgeschlossen | aufgeschlossen |
| 13202002 | wieder verdeckt | wieder verdeckt |
| 999997 | Unknown | Unknown |
| 999998 | Not applicable | Not applicable |

material *Material, das mit der Objektart in Verbindung steht*

| GeolCode | Deutsch | Français |
|----------|-------------------|-------------------|
| 13203003 | Bohnerz | Bohnerz |
| 13203001 | Boluston | Boluston |
| 13203004 | Glas- / Quarzsand | Glas- / Quarzsand |
| 13203002 | Huppererde | Huppererde |
| 13203005 | Walkerde | Walkerde |
| 999997 | Unknown | Unknown |
| 999998 | Not applicable | Not applicable |

chemistry *Chemische Komponente(n) oder Mineralien, welche die Natur der Objektart charakterisieren.*

Class Mineralised_Zone_L

| Name | Type | Description |
|-----------|---------|---|
| kind | subtype | Objektart |
| [1] | 13301 | |
| chemistry | string | Chemische Komponente(n), welche die Natur der Objektart charakterisieren. |
| [0..1] | | |

kind *Objektart*

| GeolCode | Deutsch | Français |
|----------|---------------------|---------------------|
| 13301001 | Lmin Vererzungszone | Lmin Vererzungszone |

chemistry *Chemische Komponente(n), welche die Natur der Objektart charakterisieren.*

Class Sedimentary_Structures_PT

| Name | Type | Description |
|---------|---------|---|
| kind | subtype | Objektart |
| [1] | 13401 | |
| azimuth | integer | Orientierung des Symbols. Wert in Grad (0° 359°) im Uhrzeigersinn gemessen. |

| Name | Type | Description |
|--------|------|-------------|
| [0..1] | | |

kind *Objektart*

| GeolCode | Deutsch | Français |
|----------|--|--|
| 13401001 | Lsed Sedimentstrukturen | Lsed Sedimentstrukturen |
| 13401002 | Lsed Riffstrukturen | Lsed Riffstrukturen |
| 13401003 | Lsed Erosions- oder Omissionsfläche, Hartgrund, Kondensationshorizont | Lsed Erosions- oder Omissionsfläche, Hartgrund, Kondensationshorizont |
| 13401004 | Lsed stratigraphische Lage (Polarität) einer Schichtserie | Lsed stratigraphische Lage (Polarität) einer Schichtserie |
| 13401005 | Lsed Winkeldiskordanz | Lsed Winkeldiskordanz |
| 13401006 | Lsed Entwässerungstrichter (blow-out structure) | Lsed Entwässerungstrichter (blow-out structure) |

azimuth *Orientierung des Symbols. Wert in Grad (0° 359°) im Uhrzeigersinn gemessen.*

Class Type_Localities_PT

Die Klasse Type_Localities_PT beinhaltet diejenigen Objektarten, die Typlokalitäten oder wichtige geologische Aufschlüsse beschreiben.

| Name | Type | Description |
|--------|-----------------------|---|
| kind | subtype | Objektart |
| [1] | 13501 | |
| strati | Cd | Lithostratigraphischer Zusatz zum Objekt |
| [0..1] | GC_PNT_LTYP_STRATI_CD | |
| name | string | Name der Typlokalität. / Beschreibung des geologisch relevanten Aufschlusses |
| [0..1] | | |

| Name | Type | Description |
|---------------------|---------|--|
| accessibil | boolean | Ist die Objektart zum Zeitpunkt der Aufnahme aufgeschlossen (ja / nein)? |
| [0..1] protected | boolean | Geschütztes geologisches Objekt (ja / nein)? |
| [0..1] | | |

kind *Objektart*

| GeolCode | Deutsch | Français |
|----------|---------------------------------------|---------------------------------------|
| 13501001 | Ltyp geologisch relevanter Aufschluss | Ltyp geologisch relevanter Aufschluss |
| 13501003 | Ltyp Typusprofil | Ltyp Typusprofil |

strati *Lithostratigraphischer Zusatz zum Objekt*

name *Name der Typlokalität. / Beschreibung des geologisch relevanten Aufschlusses*

accessibil *Ist die Objektart zum Zeitpunkt der Aufnahme aufgeschlossen (ja / nein)?*

protected *Geschütztes geologisches Objekt (ja / nein)?*

Class Prominent_Lithological_Features_L

In der Klasse Prominent_Lithological_Features_L befinden sich linienförmige Gesteinshorizonte. Diese Gesteinshorizonte haben bloss Hinweischarakter (z.B. «markante Sandsteinbank» innerhalb von Wechsellagerungen von Sandstein und Mergel) und sind von den Leithorizonten (z.B. «Spatkalk im Haupttrogenstein») zu unterscheiden. Leithorizonte befinden sich im Thema Rock Bodies.

| Name | Type | Description |
|----------|-------------------------|--|
| kind | subtype | Objektart |
| [1] | 13101 | |
| cong_spe | CD | Charakterisation der Konglomerate nach ihrem Geröllspektrum. |
| [0..1] | GC_LIN_LPRO_CONG_SPE_CD | |

| Name | Type | Description |
|----------------------|-----------------|--|
| name_horiz | | Name des Bentonit-Leithorizonts. |
| [0..1] orig_descr | 13103 string | Originalbezeichnung gemäss der Legende der zugrundeliegenden geologischen Karte. |
| [0..1] litho | table | Materialbezeichnung (lithologische Einheit). |
| [1] | gc_litho | |

kind *Objektart*

| GeolCode | Deutsch | Français |
|----------|-----------------------|-----------------------|
| 13101001 | Lpro Gesteinshorizont | Lpro Gesteinshorizont |

cong_spe *Charakterisation der Konglomerate nach ihrem Geröllspektrum.*

| GeolCode | Deutsch | Français |
|----------|--|--|
| 13102003 | bunte bis polygene Nagelfluh | bunte bis polygene Nagelfluh |
| 13102004 | Flyschsandstein-Nagelfluh, Riesenkonglomerat | Flyschsandstein-Nagelfluh, Riesenkonglomerat |
| 13102001 | kristallinfreie bis -arme (Kalk-)Nagelfluh | kristallinfreie bis -arme (Kalk-)Nagelfluh |
| 13102002 | kristallinführende (Kalk-)Nagelfluh | kristallinführende (Kalk-)Nagelfluh |
| 999997 | Unknown | Unknown |
| 999998 | Not applicable | Not applicable |

name_horiz *Name des Bentonit-Leithorizonts.*

orig_descr *Originalbezeichnung gemäss der Legende der zugrundeliegenden geologischen Karte.*

litho *Materialbezeichnung (lithologische Einheit).*

Class Miscellaneous_PT

Die Klasse Miscellaneous_PT ist für lokale, sehr spezielle geologische Objekte reserviert, die für die Gesamtheit der geologischen Daten ir-

relevant sind und deshalb im Datenmodell Geologie nicht standardisiert werden

| Name | Type | Description |
|------------------|------------------|---|
| kind [1] | subtype 15501 | Objektart |
| orig_name [1] | string | Ursprüngliche Bezeichnung des Objektes. |

kind *Objektart*

| | | |
|----------|--------------|--------------|
| GeolCode | Deutsch | Français |
| 15501001 | Lmis Diverse | Lmis Diverse |

orig_name *Ursprüngliche Bezeichnung des Objektes.*

Class Geological_Outlines_L

Die Klasse Geological_Outlines_L beinhaltet geologische Konturen. Darunter fallen die Umriss von Fest- und Lockergesteinen, von tektonisierten Zonen, sowie die Umgrenzungen von Rutschungs- und Sackungsmassen, welche nicht durch andere Konturarten (z.B. tektonische Grenzen) abgegrenzt werden. Eine geologische Kontur mit Status im Allgemeinen umfasst stratigraphische und petrographische Grenzen. Geologische Konturen, welche von quartären Ablagerungen, Gewässern oder Gletschern bedeckt sind oder graduelle Übergänge in Locker- und Festgesteinen (keine klaren lithologischen Grenzen; im Sinne der Signaturgrenze nach dem Zeichenverzeichnis (ZV)), haben den Status vermutet. Künstliche geologische Konturen sind Konturen, welche Gebiete mit detaillierter Information von Gebieten mit geringerer Informationsdichte aufgrund fehlender Informationen oder aus darstellerischen Gründen (Digitalisierungsmassstab) abgrenzen (Abgrenzungskontur nach dem ZV).

| Name | Type | Description |
|------------------|-----------------------------|------------------------|
| kind [1] | subtype 13001 | Objektart |
| status [0..1] | CD GC_LIN_LGEO_STATUS_CD | Zustand der Objektart. |

kind *Objektart*

| GeolCode | Deutsch | Français |
|----------|-------------------------|-------------------------|
| 13001001 | Lgeo geologische Kontur | Lgeo geologische Kontur |

status *Zustand der Objektart.*

| GeolCode | Deutsch | Français |
|----------|------------------------------------|------------------------------------|
| 13002004 | gesichert, tektonisch überprägt | gesichert, tektonisch überprägt |
| 13002001 | im Allgemeinen | im Allgemeinen |
| 13002003 | künstlich | künstlich |
| 13002002 | vermutet | vermutet |
| 13002005 | vermutet, tektonisch überprägt | vermutet, tektonisch überprägt |
| 999997 | Unknown | Unknown |
| 999998 | Not applicable | Not applicable |
| 13002006 | Gewässerlinie | Gewässerlinie |

Theme **PARAMETER_AND_MODELLING**

Class **Slope_Bedrock_PT**

Die Klasse Slope_Bedrock_PT enthält Punktinformationen aus Modellierungen des Festgestein- verlaufs im Untergrund.

| Name | Type | Description |
|---------|---------------------|---|
| kind | subtype | Objektart |
| [1] | 14201 | |
| type | CD | Referenzoberfläche. |
| [1] | GC_PNT_PSLO_TYPE_CD | |
| azimuth | integer | Fallrichtung (Azimut) der jeweiligen Punktobjektart. Wert in Grad (0° 359°) im Uhrzeigersinn gemessen. |
| [0..1] | | |
| dip | integer | Einfallswert der jeweiligen Punktobjektart. Wert in Grad gemessen aus der Horizontalen (0°) nach unten bis in die |

Vertikale (90°).

[0..1] | | litstrat | table | Lithostratigraphische Einheit der modellierten Formation [1] |gc_litstrat_bed |

kind *Objektart*

| GeolCode | Deutsch | Français |
|----------|-----------------------|-----------------------|
| 14201001 | Pslo Neigungsrichtung | Pslo Neigungsrichtung |

type *Referenzoberfläche.*

| GeolCode | Deutsch | Français |
|----------|--------------------------------------|--------------------------------------|
| 14202001 | Felsoberfläche | Felsoberfläche |
| 14202002 | Obergrenze einer gegebenen Formation | Obergrenze einer gegebenen Formation |
| 999997 | Unknown | Unknown |
| 999998 | Not applicable | Not applicable |

azimuth *Fallrichtung (Azimut) der jeweiligen Punktojektart. Wert in Grad (0° 359°) im Uhrzeigersinn gemessen.*

dip *Einfallswert der jeweiligen Punktojektart. Wert in Grad gemessen aus der Horizontalen (0°) nach unten bis in die Vertikale (90°).*

litstrat *Lithostratigraphische Einheit der modellierten Formation*

Class Contour_Lines_Bedrock_L

Die Klasse Contour_Lines_Bedrock_L beinhaltet Isohypsen, die sich auf den Verlauf des Fest- gesteins beziehen und die das Resultat von Modellierungen darstellen. U.a. befinden sich die Iso- hypsen der Felsoberfläche in dieser Klasse.

| Name | Type | Description |
|----------|---------------------|--|
| kind | subtype | Objektart |
| [1] | 13901 | |
| type | CD | Referenzoberfläche. |
| [1] | GC_LIN_PCOB_TYPE_CD | |
| altitude | float | Höhenangabe (m ü.M.) von Isohypsen. |
| [1] | | |
| litstrat | table | Lithostratigraphische Einheit der modellierten Formation |
| [1] | gc_litstrat_bed | |

kind *Objektart*

| GeolCode | Deutsch | Français |
|----------|---------------|---------------|
| 13901001 | Pcob Isohypse | Pcob Isohypse |

type *Referenzoberfläche.*

| GeolCode | Deutsch | Français |
|----------|---------------------------------------|---------------------------------------|
| 13902001 | Felsoberfläche | Felsoberfläche |
| 13902002 | Obergrenze einer gegebenen Formation | Obergrenze einer gegebenen Formation |
| 13902003 | Untergrenze einer gegebenen Formation | Untergrenze einer gegebenen Formation |
| 999997 | Unknown | Unknown |
| 999998 | Not applicable | Not applicable |

altitude *Höhenangabe (m ü.M.) von Isohypsen.*

litstrat *Lithostratigraphische Einheit der modellierten Formation*

Class Modelled_Water_Table_PT

Die Klasse Modelled_Water_Table_PT enthält Punktinformationen aus Modellierungen des Grundwasserspiegels.

| Name | Type | Description |
|---------|---------|---|
| kind | subtype | Objektart |
| [1] | 14101 | |
| azimuth | integer | Fallrichtung (Azimut) der jeweiligen Punktobjektart. Wert in Grad (0° 359°) im Uhrzeigersinn gemessen. |
| [0..1] | | |
| dip | integer | Einfallswert der jeweiligen Punktobjektart. Wert in Grad gemessen aus der Horizontalen (0°) nach unten bis in die |

Vertikale (90°).

[0..1] | | height | float | Kote des Grundwasserspiegels (m ü.M.). [0..1]
 | | mea_period | range | Messperiode. [0..1] | |

kind *Objektart*

| GeolCode | Deutsch | Français |
|----------|---|---|
| 14101001 | Pmod Grundwasserfliessrichtung | Pmod Grundwasserfliessrichtung |
| 14101002 | Pmod mittlere Höhe des Grundwasserspiegels | Pmod mittlere Höhe des Grundwasserspiegels |

azimuth *Fallrichtung (Azimut) der jeweiligen Punktojektart. Wert in Grad (0° 359°) im Uhrzeigersinn gemessen.*

dip *Einfallswert der jeweiligen Punktojektart. Wert in Grad gemessen aus der Horizontalen (0°) nach unten bis in die Vertikale (90°).*

height *Kote des Grundwasserspiegels (m ü.M.).*

mea_period *Messperiode.*

Class Contour_Lines_Hydro_L

In der Klasse Contour_Lines_Hydro_L befinden sich die Isohypsen, die sich auf das Grundwasser beziehen.

| Name | Type | Description |
|----------|-------------------------|-------------------------------------|
| kind | subtype | Objektart |
| [1] | 14001 | |
| confine | CD | Druckzustand im Grundwasserleiter. |
| [0..1] | GC_LIN_PCOH_CONFINE_CD | |
| altitude | | Höhenangabe (m ü.M.) von Isohypsen. |
| [1] | | |
| wa_table | CD | Wasserstand. |
| [0..1] | GC_LIN_PCOH_WA_TABLE_CD | |

kind *Objektart*

| GeolCode | Deutsch | Français |
|----------|--|--|
| 14001001 | Pcoh Isohypse des Grundwasserspiegels | Pcoh Isohypse des Grundwasserspiegels |

confine *Druckzustand im Grundwasserleiter.*

| GeolCode | Deutsch | Français |
|----------|----------------|----------------|
| 14002003 | artesisch | artesisch |
| 14002001 | frei | frei |
| 14002002 | gespannt | gespannt |
| 999997 | Unknown | Unknown |
| 999998 | Not applicable | Not applicable |

altitude *Höhenangabe (m ü.M.) von Isohypsen.*

wa_table *Wasserstand.*

| GeolCode | Deutsch | Français |
|----------|---------------------------------------|---------------------------------------|
| 14004002 | mittlere Höhe des Hochwasserstands | mittlere Höhe des Hochwasserstands |
| 14004001 | mittlere Höhe des Niedrigwasserstands | mittlere Höhe des Niedrigwasserstands |
| 999997 | Unknown | Unknown |
| 999998 | Not applicable | Not applicable |

Theme ANTHROPOGENIC_FEATURES

Class Archaeology_PT

Die Klasse Archaeology_PT enthält Objektarten zu einzelnen archäologischen Relikten.

| Name | Type | Description |
|--------|---------------------|---------------------------------------|
| kind | subtype | Objektart |
| [] | 10101 | |
| epoch | CD | Archäologische Epoche der Objektart |
| [0..1] | GC_AARC_EPOCH_CD | |
| period | CD | Archäologische Periode der Objektart. |
| [0..1] | GC_AARC_PERIOD_CD | |
| age | CD | Archäologisches Alter der Objektart. |
| [0..1] | GC_AARC_AGE_CD | |
| type | CD | Art des Kultsteins. |
| [0..1] | GC_PNT_AARC_TYPE_CD | |

kind *Objektart*

| GeolCode | Deutsch | Français |
|----------|--|--|
| 10101001 | Aarc archäologische Fundstelle, Anlage, Siedlungsreste | Aarc archäologische Fundstelle, Anlage, Siedlungsreste |
| 10101005 | Aarc Gräber, Gräberfeld | Aarc Gräber, Gräberfeld |
| 10101007 | Aarc Grabhügel, Dolmengrab | Aarc Grabhügel, Dolmengrab |
| 10101008 | Aarc Kultstein | Aarc Kultstein |
| 10101009 | Aarc Kalkofen | Aarc Kalkofen |
| 10101010 | Aarc Felsenkeller | Aarc Felsenkeller |
| 10101011 | Aarc Schlackenhalde | Aarc Schlackenhalde |
| 10101012 | Aarc Glashütte | Aarc Glashütte |
| 10101013 | Aarc Schmelzofen | Aarc Schmelzofen |
| 10101004 | Aarc Burgstelle, Burghügel, Wachturm | Aarc Burgstelle, Burghügel, Wachturm |
| 10101002 | Aarc Höhlensiedlung, Abri | Aarc Höhlensiedlung, Abri |
| 10101003 | Aarc Pfahlbauten | Aarc Pfahlbauten |
| 10101006 | Aarc Steinplattengrab | Aarc Steinplattengrab |
| 10101015 | Aarc Abbaustelle | Aarc Abbaustelle |

epoch Archäologische Epoche der Objektart

| GeolCode | Deutsch | Français |
|----------|----------------|----------------|
| 10002001 | historisch | historisch |
| 10002002 | prähistorisch | prähistorisch |
| 999997 | Unknown | Unknown |
| 999998 | Not applicable | Not applicable |

period Archäologische Periode der Objektart.

| GeolCode | Deutsch | Français |
|----------|----------------|----------------|
| 10003005 | Bronzezeit | Bronzezeit |
| 10003004 | Eisenzeit | Eisenzeit |
| 10003002 | Mittelalter | Mittelalter |
| 10003001 | Neuzeit | Neuzeit |
| 10003003 | Römerzeit | Römerzeit |
| 10003006 | Steinzeit | Steinzeit |
| 999997 | Unknown | Unknown |
| 999998 | Not applicable | Not applicable |

age Archäologisches Alter der Objektart.

| GeolCode | Deutsch | Français |
|----------|------------------|------------------|
| 10004005 | Altbronzezeit | Altbronzezeit |
| 10004002 | Hallstattzeit | Hallstattzeit |
| 10004003 | Jungbronzezeit | Jungbronzezeit |
| 10004001 | Latènezeit | Latènezeit |
| 10004007 | Mesolithikum | Mesolithikum |
| 10004004 | Mittelbronzezeit | Mittelbronzezeit |
| 10004006 | Neolithikum | Neolithikum |
| 10004008 | Paläolithikum | Paläolithikum |
| 999997 | Unknown | Unknown |
| 999998 | Not applicable | Not applicable |

type *Art des Kultsteins.*

| GeolCode | Deutsch | Français |
|----------|----------------|----------------|
| 10105001 | Menhir | Menhir |
| 10105002 | Schalenstein | Schalenstein |
| 999997 | Unknown | Unknown |
| 999998 | Not applicable | Not applicable |

Class Archaeology_L

Die Klasse Archaeology_L umfasst linienförmige archäologische Elemente. Historische Strassen, Hohlwege oder Befestigungsgräben sind Teile dieser Klasse.

| Name | Type | Description |
|--------|-------------------|---------------------------------------|
| kind | subtype | Objektart |
| [] | 10201 | |
| epoch | CD | Archäologische Epoche der Objektart |
| [0..1] | GC_AARC_EPOCH_CD | |
| period | CD | Archäologische Periode der Objektart. |
| [0..1] | GC_AARC_PERIOD_CD | |
| age | CD | Archäologisches Alter der Objektart. |
| [0..1] | GC_AARC_AGE_CD | |

kind *Objektart*

| GeolCode | Deutsch | Français |
|----------|------------------|------------------|
| 10201001 | Aarc Verkehrsweg | Aarc Verkehrsweg |

| GeolCode | Deutsch | Français |
|----------|--|--|
| 10201002 | Aarc Hohlweg | Aarc Hohlweg |
| 10201003 | Aarc künstlicher Graben, Befestigungsgraben | Aarc künstlicher Graben, Befestigungsgraben |
| 10201004 | Aarc künstlicher Erdwall | Aarc künstlicher Erdwall |
| 10201005 | Aarc Wasserleitung | Aarc Wasserleitung |
| 10201006 | Aarc Steinreihe | Aarc Steinreihe |
| 10201007 | Aarc Schützengraben | Aarc Schützengraben |

epoch Archäologische Epoche der Objektart

| GeolCode | Deutsch | Français |
|----------|----------------|----------------|
| 10002001 | historisch | historisch |
| 10002002 | prähistorisch | prähistorisch |
| 999997 | Unknown | Unknown |
| 999998 | Not applicable | Not applicable |

period Archäologische Periode der Objektart.

| GeolCode | Deutsch | Français |
|----------|----------------|----------------|
| 10003005 | Bronzezeit | Bronzezeit |
| 10003004 | Eisenzeit | Eisenzeit |
| 10003002 | Mittelalter | Mittelalter |
| 10003001 | Neuzeit | Neuzeit |
| 10003003 | Römerzeit | Römerzeit |
| 10003006 | Steinzeit | Steinzeit |
| 999997 | Unknown | Unknown |
| 999998 | Not applicable | Not applicable |

age Archäologisches Alter der Objektart.

| GeolCode | Deutsch | Français |
|----------|------------------|------------------|
| 10004005 | Altbronzezeit | Altbronzezeit |
| 10004002 | Hallstattzeit | Hallstattzeit |
| 10004003 | Jungbronzezeit | Jungbronzezeit |
| 10004001 | Latènezeit | Latènezeit |
| 10004007 | Mesolithikum | Mesolithikum |
| 10004004 | Mittelbronzezeit | Mittelbronzezeit |
| 10004006 | Neolithikum | Neolithikum |
| 10004008 | Paläolithikum | Paläolithikum |
| 999997 | Unknown | Unknown |
| 999998 | Not applicable | Not applicable |

Class Archaeology_PLG

Die Klasse Archaeology_PLG beinhaltet archäologische Relikte (z.B. römisches Castrum), die ein grösseres Gebiet (Fläche) abdecken.

| Name | Type | Description |
|------------------|-------------------------|---------------------------------------|
| kind [] | subtype 10301 | Objektart |
| epoch | CD | Archäologische Epoche der Objektart |
| [0..1] period | GC_AARC_EPOCH_CD CD | Archäologische Periode der Objektart. |
| [0..1] age | GC_AARC_PERIOD_CD CD | Archäologisches Alter der Objektart. |
| [0..1] | GC_AARC_AGE_CD | |

kind *Objektart*

| GeolCode | Deutsch | Français |
|----------|--|--|
| 10301001 | Aarc Castrum | Aarc Castrum |
| 10301002 | Aarc Refugium, Höhensiedlung, Erdwerk | Aarc Refugium, Höhensiedlung, Erdwerk |

epoch *Archäologische Epoche der Objektart*

| GeolCode | Deutsch | Français |
|----------|----------------|----------------|
| 10002001 | historisch | historisch |
| 10002002 | prähistorisch | prähistorisch |
| 999997 | Unknown | Unknown |
| 999998 | Not applicable | Not applicable |

period *Archäologische Periode der Objektart.*

| GeolCode | Deutsch | Français |
|----------|-------------|-------------|
| 10003005 | Bronzezeit | Bronzezeit |
| 10003004 | Eisenzeit | Eisenzeit |
| 10003002 | Mittelalter | Mittelalter |
| 10003001 | Neuzeit | Neuzeit |
| 10003003 | Römerzeit | Römerzeit |
| 10003006 | Steinzeit | Steinzeit |
| 999997 | Unknown | Unknown |

| GeolCode | Deutsch | Français |
|----------|----------------|----------------|
| 999998 | Not applicable | Not applicable |

age Archäologisches Alter der Objektart.

| GeolCode | Deutsch | Français |
|----------|------------------|------------------|
| 10004005 | Altbronzezeit | Altbronzezeit |
| 10004002 | Hallstattzeit | Hallstattzeit |
| 10004003 | Jungbronzezeit | Jungbronzezeit |
| 10004001 | Latènezeit | Latènezeit |
| 10004007 | Mesolithikum | Mesolithikum |
| 10004004 | Mittelbronzezeit | Mittelbronzezeit |
| 10004006 | Neolithikum | Neolithikum |
| 10004008 | Paläolithikum | Paläolithikum |
| 999997 | Unknown | Unknown |
| 999998 | Not applicable | Not applicable |

Class Exploitation_Geomaterials_PT

Die Klasse Exploitation_Geomaterials_PT enthält punktförmige Angaben zu Abbaustellen von Geomaterialien.

| Name | Type | Description |
|-----------|--------------------------------|--|
| kind | subtype | Objektart |
| [] | 10601 | |
| exp_unit | table | Abgebaute lithostratigraphische Einheit. |
| [0..*] | gc_litstrat_bed | |
| status | Cd | Abbaustatus. |
| [0..1] | GC_EX_GEO_PNT_AEXP_STATUS_CD | |
| depth_tot | float | Endtiefe (m ab Terrainoberfläche) der Objektart. |
| [0..1] | | |
| targ_mat | CD | Abgebautes Material. |
| [0..1] | GC_EX_GEO_PNT_AEXP_TARG_MAT_CD | |

kind Objektart

| GeolCode | Deutsch | Français |
|----------|-------------------------------|-------------------------------|
| 10601001 | Aexp Bergwerk, Untertageabbau | Aexp Bergwerk, Untertageabbau |
| 10601002 | Aexp Stolleneingang | Aexp Stolleneingang |

| GeolCode | Deutsch | Français |
|----------|---|---|
| 10601003 | Aexp Schacht | Aexp Schacht |
| 10601004 | Aexp Pinge (dolinenartiger Stolleneinbruch) | Aexp Pinge (dolinenartiger Stolleneinbruch) |
| 10601005 | Aexp Schürfloch | Aexp Schürfloch |
| 10601006 | Aexp ausgeräumte Bohnerztasche | Aexp ausgeräumte Bohnerztasche |

exp_unit Abgebaute lithostratigraphische Einheit.

status Abbaustatus.

depth_tot Endtiefe (m ab Terrainoberfläche) der Objektart.

targ_mat Abgebautes Material.

| GeolCode | Deutsch | Français |
|----------|---|---|
| 10605010 | Antimon | Antimon |
| 10605023 | Asbest | Asbest |
| 10605029 | Asphalt / Bitumen | Asphalt / Bitumen |
| 10605011 | Baryt | Baryt |
| 10605006 | Blei-Zink | Blei-Zink |
| 10605022 | Bohnerz | Bohnerz |
| 10605007 | Chrom-Nickel, z.T. mit Kobalt | Chrom-Nickel, z.T. mit Kobalt |
| 10605031 | Dachschiefer / Tafelschiefer | Dachschiefer / Tafelschiefer |
| 10605005 | Eisen / Eisenoolith | Eisen / Eisenoolith |
| 10605001 | Erze allgemein | Erze allgemein |
| 10605013 | Fluorit | Fluorit |
| 10605034 | Gips | Gips |
| 10605002 | Gold | Gold |
| 10605027 | Graphit | Graphit |
| 10605030 | Hartgestein | Hartgestein |
| 10605012 | Kalzit | Kalzit |
| 10605015 | Kaolin | Kaolin |
| 10605040 | Kies | Kies |
| 10605024 | Kohle allgemein | Kohle allgemein |
| 10605004 | Kupfer, z.T. mit Silber, Wismut und Arsen | Kupfer, z.T. mit Silber, Wismut und Arsen |
| 10605026 | Lignit | Lignit |
| 10605016 | Magnesit | Magnesit |
| 10605017 | Magnesium | Magnesium |
| 10605008 | Mangan | Mangan |
| 10605009 | Molybdän und Wolfram | Molybdän und Wolfram |
| 10605028 | Ölschiefer | Ölschiefer |
| 10605018 | Phosphorit, Apatit | Phosphorit, Apatit |
| 10605039 | Pyrit | Pyrit |

| GeolCode | Deutsch | Français |
|----------|---------------------------|---------------------------|
| 10605014 | Quarz | Quarz |
| 10605035 | Salz / Steinsalz | Salz / Steinsalz |
| 10605037 | Sand | Sand |
| 10605038 | Sand und Kies | Sand und Kies |
| 10605020 | Schwefel | Schwefel |
| 10605032 | Serpentin | Serpentin |
| 10605003 | Silber | Silber |
| 10605033 | Speckstein | Speckstein |
| 10605025 | Steinkohle / Anthrazit | Steinkohle / Anthrazit |
| 10605019 | Talk | Talk |
| 10605036 | Ton / Ton und Silt (Lehm) | Ton / Ton und Silt (Lehm) |
| 10605021 | Uran | Uran |
| 999997 | Unknown | Unknown |
| 999998 | Not applicable | Not applicable |

Class Exploitation_Geomaterials_L

Die Klasse Exploitation_Geomaterials_L beinhaltet linienförmige Informationen zum Abbau von Geomaterialien (z.B. Verlauf der Abbaufont).

| Name | Type | Description |
|--------|-----------------------|--------------|
| kind | subtype | Objektart |
| [] | 10701 | |
| status | Cd | Abbaustatus. |
| [0..1] | GC_LIN_AEXP_STATUS_CD | |

kind *Objektart*

| GeolCode | Deutsch | Français |
|----------|-----------------------|-----------------------|
| 10701001 | Aexp Abbaufont | Aexp Abbaufont |
| 10701002 | Aexp Bergwerksstollen | Aexp Bergwerksstollen |

status *Abbaustatus.*

Class Exploitation_Geomaterials_PLG

Die Klasse Exploitation_Geomaterials_PLG enthält Flächen, wo zur Zeit der geologischen Aufnahmen Geomaterialien abgebaut wurden.

| Name | Type | Description |
|------|---------|-------------|
| kind | subtype | Objektart |
| [] | 10801 | |

| Name | Type | Description |
|---------------------|---------------------------------------|--|
| exp_unit | table | Abgebaute lithostratigraphische Einheit. |
| [1..*] status | gc_litstrat_bed Cd | Abbaustatus. |
| [0..1] depth_tot | GC_EX_GEO_PLG_AEXP_STATUS_CD float | Endtiefe (m ab Terrainoberfläche) der Objektart. |
| [0..1] targ_mat | CD | Abgebautes Material. |
| [0..1] | GC_EX_GEO_PLG_AEXP_TARG_MAT_CD | |

kind *Objektart*

| GeolCode | Deutsch | Français |
|----------|-------------------------------------|-------------------------------------|
| 10801001 | Aexp Steinbruch | Aexp Steinbruch |
| 10801002 | Aexp Grube (Lockergesteinsabbau) | Aexp Grube (Lockergesteinsabbau) |

exp_unit *Abgebaute lithostratigraphische Einheit.*

status *Abbaustatus.*

depth_tot *Endtiefe (m ab Terrainoberfläche) der Objektart.*

targ_mat *Abgebautes Material.*

| GeolCode | Deutsch | Français |
|----------|---------------------------------|---------------------------------|
| 10804015 | Asbest | Asbest |
| 10804010 | Baryt | Baryt |
| 10804016 | Bohnerz | Bohnerz |
| 10804005 | Dachschiefer / Tafelschiefer | Dachschiefer / Tafelschiefer |
| 10804012 | Eisen / Eisenoolithe | Eisen / Eisenoolithe |
| 10804006 | Gips | Gips |
| 10804004 | Hartgestein | Hartgestein |
| 10804011 | Kalzit / Kalk | Kalzit / Kalk |
| 10804013 | Kaolin | Kaolin |
| 10804021 | Kies | Kies |
| 10804019 | Kohle | Kohle |
| 10804018 | Mergel | Mergel |
| 10804014 | Quarz / Quarzit | Quarz / Quarzit |
| 10804020 | Salz / Steinsalz | Salz / Steinsalz |
| 10804002 | Sand | Sand |
| 10804003 | Sand und Kies | Sand und Kies |

| GeolCode | Deutsch | Français |
|----------|---------------------------|---------------------------|
| 10804007 | Serpentin | Serpentin |
| 10804008 | Speckstein | Speckstein |
| 10804009 | Talk | Talk |
| 10804001 | Ton / Ton und Silt (Lehm) | Ton / Ton und Silt (Lehm) |
| 10804017 | Torf | Torf |
| 999997 | Unknown | Unknown |
| 999998 | Not applicable | Not applicable |

Class Boreholes_PT

Die Klasse Boreholes_PT beinhaltet Bohrungen und Sondierungen. (Auf alten gedruckten Karten wurde die Art der Sondierung nicht immer unterschieden. Es kann daher sein, dass in alten Karten Rammkernsondierungen als Bohrungen aufgenommen wurden.)

| Name | Type | Description |
|---------------|---------|---|
| kind | subtype | Objektart |
| [] | 10501 | |
| drill_mo | | Bohrmethode. |
| [0..1] | 10502 | |
| depth_bedrock | float | Tiefe (in Meter ab Terrainoberfläche) der Felsober- |

fläche. (Sofern die Bohrung das Festgestein nicht Depth_Bedrock erreicht, z.B. «Bohrung, Fels nicht erreicht», beträgt der Wert -9999, falls die Bohrung bereits im Festgestein beginnt, beträgt der Wert 0). Falls Festgestein erreicht wurde, aber nicht klar ist, dass es sich um die Felsoberfläche handelt, beträgt der Wert -8888.

[0..1] | | d_c_underg | boolean | Bohransatzpunkt unter Terrain (ja / nein) [1] | | main_tar | CD | Ziel der Sondierung. [0..1] |GC_PNT_ABOR_MAIN_TAR_CD | targ_mat | CD | Durch die Sondierung gefördertes Material. [0..1] |GC_PNT_ABOR_TARG_MAT_CD | depth_tot | float | Gemessene Länge (Measured Depth) der Bohrung. Vgl. DM Bohrdaten. Die tatsächliche Tiefe (True Vertical Depth) ist oft nicht bekannt.

[0..1] | | fm_a | table | Lithostratigraphische Einheit der erreichten Formation A [0..1] |gc_litstrat_bed | depth_fm_a | float | Tiefe (m ab Terrainoberfläche) der erreichten Formation A. [0..1] | | fm_b | table | Lithostratigraphische Einheit der erreichten Formation B [0..1] |gc_litstrat_bed | depth_fm_b | float | Tiefe (m ab Terrainoberfläche) der erreichten Formation B. [0..1] | | depth_wt | float | Tiefe (m ab Terrainoberfläche) des Grundwasserspiegels. [0..1] | | azimuth | integer | Fallrichtung (Azimut) der jeweiligen Punktobjektart. Wert in Grad (0° 359°) im Uhrzeigersinn gemessen. [0..1] | | dip | integer |

Einfallswert der jeweiligen Punktojektart. Wert in Grad gemessen aus der Horizontalen (0°) nach unten bis in die Vertikale (90°).

[0..1] | | ref_number | integer | Bohrungs-ID der Objektart in einem zusätzlichen Dokument (Erläuterungen, ...). [0..1] | | link | integer | Objektnummer in der Datenbank von INFOGEOL. [0..1] | |

kind *Objektart*

| GeolCode | Deutsch | Français |
|----------|----------------------------|----------------------------|
| 10501001 | Abor Bohrung | Abor Bohrung |
| 10501002 | Abor Sondierschlitz | Abor Sondierschlitz |
| 10501003 | Abor Handsondierung | Abor Handsondierung |
| 10501004 | Abor Rammsondierung | Abor Rammsondierung |
| 10501005 | Abor Rammkernsondierung | Abor Rammkernsondierung |

drill_mo *Bohrmethode.*

depth_bedrock *Tiefe (in Meter ab Terrainoberfläche) der Felsoberfläche. (Sofern die Bohrung das Festgestein nicht Depth_Bedrock erreicht, z.B. «Bohrung, Fels nicht erreicht», beträgt der Wert -9999, falls die Bohrung bereits im Festgestein beginnt, beträgt der Wert 0). Falls Festgestein erreicht wurde, aber nicht klar ist, dass es sich um die Felsoberfläche handelt, beträgt der Wert -8888.*

d_c_underg *Bohransatzpunkt unter Terrain (ja / nein)*

main_tar *Ziel der Sondierung.*

| GeolCode | Deutsch | Français |
|----------|------------------------|------------------------|
| 10505006 | belasteter Standort | belasteter Standort |
| 10505012 | Forschung | Forschung |
| 10505001 | Geotechnik | Geotechnik |
| 10505008 | Geothermie | Geothermie |
| 10505002 | Hydrogeologie | Hydrogeologie |
| 10505005 | Kohlenwasserstoffe | Kohlenwasserstoffe |
| 10505004 | mineralische Rohstoffe | mineralische Rohstoffe |
| 10505013 | Naturgefahren | Naturgefahren |
| 10505007 | Seismik | Seismik |
| 999997 | Unknown | Unknown |
| 999998 | Not applicable | Not applicable |

targ_mat *Durch die Sondierung gefördertes Material.*

| GeolCode | Deutsch | Français |
|----------|---------|----------|
| 10506003 | Erdgas | Erdgas |
| 10506002 | Erdöl | Erdöl |

| GeolCode | Deutsch | Français |
|----------|------------------|------------------|
| 10506004 | Erdwärme | Erdwärme |
| 10506006 | Grundwasser | Grundwasser |
| 10506007 | Mineralwasser | Mineralwasser |
| 10506001 | Salz / Steinsalz | Salz / Steinsalz |
| 10506005 | Thermalwasser | Thermalwasser |
| 999997 | Unknown | Unknown |
| 999998 | Not applicable | Not applicable |

depth_tot Gemessene Länge (Measured Depth) der Bohrung. Vgl. DM Bohrdaten. Die tatsächliche Tiefe (True Vertical Depth) ist oft nicht bekannt.

fm_a Lithostratigraphische Einheit der erreichten Formation A

depth_fm_a Tiefe (m ab Terrainoberfläche) der erreichten Formation A.

fm_b Lithostratigraphische Einheit der erreichten Formation B

depth_fm_b Tiefe (m ab Terrainoberfläche) der erreichten Formation B.

depth_wt Tiefe (m ab Terrainoberfläche) des Grundwasserspiegels.

azimuth Fallrichtung (Azimut) der jeweiligen Punktojektart. Wert in Grad (0° 359°) im Uhrzeigersinn gemessen.

dip Einfallswert der jeweiligen Punktojektart. Wert in Grad gemessen aus der Horizontalen (0°) nach unten bis in die Vertikale (90°).

ref_number Bohrungs-ID der Objektart in einem zusätzlichen Dokument (Erläuterungen, ...).

link Objektnummer in der Datenbank von INFOGEOL.

Class Artificial_Surface_Modifications_PLG

Die Klasse Artificial_Surface_Modifications_PLG enthält bedeutende künstliche Veränderungen des Geländes (Golfplatz, Skigebiet, etc.), die zur Folge haben, dass das ursprüngliche Relief nicht mehr zu erkennen ist, was bei einer geomorphologischen Deutung zu falschen Schlüssen führen könnte.

| Name | Type | Description |
|-------------|------------------|-------------|
| kind [1] | subtype 10401 | Objektart |

kind Objektart

| GeolCode | Deutsch | Français |
|----------|---|---|
| 10401001 | Aart künstlich verändertes Gelände | Aart künstlich verändertes Gelände |
| 10401002 | Aart künstliche Ablagerung, undifferenziert | Aart künstliche Ablagerung, undifferenziert |
| 10401003 | Aart Aufschüttung, Damm | Aart Aufschüttung, Damm |
| 10401004 | Aart Auffüllung | Aart Auffüllung |
| 10401005 | Aart Deponie | Aart Deponie |
| 10401006 | Aart Halde | Aart Halde |

Theme HYDROGEOLOGY

Class Construction_PT

Die Klasse Construction_PT beinhaltet Wasserbauten wie Grundwasserfassungen und Zisternen. Desweiteren kommen in dieser Klasse auch Messgeräte wie Piezometer und Limnigraphen vor.

| Name | Type | Description |
|------------|-----------------------|--|
| kind | subtype | Objektart |
| [1] | 12101 | |
| status | Cd | Zustand der Objektart. |
| [0..1] | GC_PNT_HCON_STATUS_CD | |
| epoch | Cd | Epoche der Erbauung der Objektart. |
| [0..1] | GC_PNT_HCON_EPOCH_CD | |
| depth | float | Tiefe der Objektart (m ab Terrainoberfläche). |
| [0..1] | | |
| depth_wt | float | Tiefe (m ab Terrainoberfläche) des Grundwasserspiegels (Mittelwert). |
| [0..1] | | |
| mea_period | range | Messperiode. |
| [0..1] | | |

kind *Objektart*

| GeolCode | Deutsch | Français |
|----------|-------------------------|-------------------------|
| 12101001 | Hcon Grundwasserfassung | Hcon Grundwasserfassung |
| 12101002 | Hcon Zisterne | Hcon Zisterne |

| GeolCode | Deutsch | Français |
|----------|---|---|
| 12101003 | Hcon laufender Brunnen (in wasserarmem Gebiet) | Hcon laufender Brunnen (in wasserarmem Gebiet) |
| 12101004 | Hcon Sodbrunnen | Hcon Sodbrunnen |
| 12101005 | Hcon Versickerungsschacht | Hcon Versickerungsschacht |
| 12101006 | Hcon Limnigraph | Hcon Limnigraph |
| 12101007 | Hcon Piezometer | Hcon Piezometer |

status *Zustand der Objektart.*

epoch *Epoche der Erbauung der Objektart.*

depth *Tiefe der Objektart (m ab Terrainoberfläche).*

depth_wt *Tiefe (m ab Terrainoberfläche) des Grundwasserspiegels (Mittelwert).*

mea_period *Messperiode.*

Class Construction_L

Die Klasse Construction_L enthält linienförmige Wasserbauten wie den Wasserfassungsstollen, welcher mit Objektarten der Klasse Surface_Water_PT kombiniert werden kann.

| Name | Type | Description |
|--------|----------------------|---|
| kind | subtype | Objektart |
| [1] | 12201 | |
| combi | CD | Objektart einer anderen Klasse, die mit der Objektart in Kombination vorkommen kann |
| [0..1] | GC_LIN_HCON_COMBI_CD | |

kind *Objektart*

| GeolCode | Deutsch | Français |
|----------|----------------------------------|----------------------------------|
| 12201001 | Hcon Wasserfassungsstollen | Hcon Wasserfassungsstollen |
| 12201002 | Hcon künstlicher Gewässerlauf | Hcon künstlicher Gewässerlauf |

combi *Objektart einer anderen Klasse, die mit der Objektart in Kombination vorkommen kann*

| GeolCode | Deutsch | Français |
|----------|---|---|
| 12202002 | mit gefasster Mineralquelle (orientiert) in Stollen | mit gefasster Mineralquelle (orientiert) in Stollen |
| 12202003 | mit gefasster Thermalquelle (orientiert) in Stollen | mit gefasster Thermalquelle (orientiert) in Stollen |
| 12202001 | mit Quelfassung (orientiert) in Stollen | mit Quelfassung (orientiert) in Stollen |
| 999997 | Unknown | Unknown |
| 999998 | Not applicable | Not applicable |

Class Palaeohydrology_L

In der Klasse Palaeohydrology_L befinden sich alle linienförmigen Objektarten, welche einen gewissen Bezug zu einem ehemaligen Gewässer aufweisen.

| Name | Type | Description |
|----------|------------------------|--|
| kind | subtype | Objektart |
| [1] | 12301 | |
| rel_age | CD | Relatives Alter der Objektart |
| [0..1] | GC_LIN_HPAL_REL_AGE_CD | |
| chrono | table | Chronostratigraphische Zuordnung. |
| [0..1] | gc_chrono | |
| ref_year | integer | Referenzjahr der ehemaligen Uferlinie. |
| [1] | | |
| source | string | Datenquelle der historischen Unterlagen. |
| [0..1] | | |

kind *Objektart*

| GeolCode | Deutsch | Français |
|----------|---------------------------------------|---------------------------------------|
| 12301001 | Hpal Paläotal | Hpal Paläotal |
| 12301002 | Hpal ehemalige Entwässerungsrinne | Hpal ehemalige Entwässerungsrinne |
| 12301004 | Hpal Trockental | Hpal Trockental |
| 12301005 | Hpal ehemaliges Bachbett | Hpal ehemaliges Bachbett |
| 12301006 | Hpal Ufer eines ehemaligen Flussbetts | Hpal Ufer eines ehemaligen Flussbetts |
| 12301007 | Hpal ehemalige Uferlinie | Hpal ehemalige Uferlinie |

| GeolCode | Deutsch | Français |
|----------|--------------------------------------|--------------------------------------|
| 12301003 | Hpal ehemalige glaziale Abflussrinne | Hpal ehemalige glaziale Abflussrinne |

rel_age Relatives Alter der Objektart

| GeolCode | Deutsch | Français |
|----------|----------------------------|----------------------------|
| 12302002 | älter als die Jüngste | älter als die Jüngste |
| 12302003 | älter als die Zweitjüngste | älter als die Zweitjüngste |
| 12302001 | die Jüngste oder Einzige | die Jüngste oder Einzige |
| 999997 | Unknown | Unknown |
| 999998 | Not applicable | Not applicable |

chrono Chronostratigraphische Zuordnung.

ref_year Referenzjahr der ehemaligen Uferlinie.

source Datenquelle der historischen Unterlagen.

Class Subsurface_Water_L

In der Klasse Subsurface_Water_L befinden sich linienförmigen Objektarten, welche einen unterirdischen Gewässerlauf anzeigen. Der genaue Verlauf des unterirdischen Gewässerlaufes ist in fast jedem Fall vermutet, mit wenigen Ausnahmen von erforschten Höhlensystemen. Liegen Färbversuche vor, so werden diese in den Erläuterungen erwähnt, sofern diese existieren. Der unterirdische Gewässerlauf kann mit Objekten aus der Klasse Surface_Water_PT kombiniert werden.

| Name | Type | Description |
|--------|----------------------|---|
| kind | subtype | Objektart |
| [1] | 12401 | |
| combi | CD | Objektart einer anderen Klasse, die mit der Objektart in Kombination vorkommen kann |
| [0..1] | GC_LIN_HSUB_COMBI_CD | |

kind Objektart

| GeolCode | Deutsch | Français |
|----------|----------------------------------|----------------------------------|
| 12401001 | Hsub unterirdischer Gewässerlauf | Hsub unterirdischer Gewässerlauf |

combi *Objektart einer anderen Klasse, die mit der Objektart in Kombination vorkommen kann*

| GeolCode | Deutsch | Français |
|----------|--|--|
| 12402001 | mit Versickerungsstelle eines Baches | mit Versickerungsstelle eines Baches |
| 12402002 | mit Wiederaustritt eines unterirdischen Bachlaufes | mit Wiederaustritt eines unterirdischen Bachlaufes |
| 999997 | Unknown | Unknown |
| 999998 | Not applicable | Not applicable |

Class Surface_Water_PT

Die Klasse Surface_Water_PT umfasst lokal (punktuell) beobachtete Oberflächengewässer, wie natürliche Wasseraustritts- und Versickerungsstellen. Zudem befindet sich die Objektart Steilstufe in Bachrinne, Wasserfall in dieser Klasse, die eine spezielle Stelle in Fließgewässern markiert und die durch die darunterliegende Geologie bedingt ist. Eine Quelle wird als «Thermalquelle» bezeichnet, wenn das Wasser eine mittlere Jahrestem- 20°C aufweist. Für diesen Quelltyp ist das Attribut «Temp» vorgesehen und beschränkt sich i.d.R. auf die mittlere Wassertemperatur. Deshalb wird für dieses Attribut auch kein Datum einer Analyse angegeben. Um eine Mineralquelle handelt es sich bei einer Quelle mit einer Mineralkonzentration 1g / l Wasser oder einer CO2- 250 mg / l Wasser. Für diesen Quelltyp ist das Attribut «Chemistry» vorgesehen. D.h. unter diesem Attribut wird das charakteristische chemische Element im Mineralwasser angegeben und nicht die komplette Wasserchemie.

| Name | Type | Description |
|----------|-------------------------|------------------------------|
| kind | subtype | Objektart |
| [1] | 12501 | |
| status | Cd | Zustand der Objektart. |
| [0..1] | GC_PNT_HSUR_STATUS_CD | |
| flow_con | CD | Wasserfluss Bedingungen. |
| [0..1] | GC_PNT_HSUR_FLOW_CON_CD | |
| type | CD | Charakteristik der Objektart |
| [0..1] | GC_PNT_HSUR_TYPE_CD | |

| Name | Type | Description |
|---------------------|---------------------------------|---|
| dis_loca | CD | Ort des Wasserausflusses. |
| [0..1] combi | GC_PNT_HSUR_DIS_LOCA_CD CD | Objektart einer anderen Klasse, die mit der Objektart in Kombination vorkommen kann |
| [0..1] temp | GC_PNT_HSUR_COMBI_CD integer | Mittlere Wassertemperatur (°C). |
| [0..1] chemistry | string | Charakteristisches chemisches Element im Mineralwasser (z.B. Fe). |
| [0..1] azimuth | integer | Richtung (Azimut) der jeweiligen Punktobjektart. Wert in |

Grad (0° 359°) im Uhrzeigersinn gemessen.

[0..1] | |

kind *Objektart*

| GeolCode | Deutsch | Français |
|----------|---|---|
| 12501001 | Hsur Quelle | Hsur Quelle |
| 12501002 | Hsur diffuse Quelle | Hsur diffuse Quelle |
| 12501003 | Hsur Wiederaustritt eines unterirdischen Bachlaufes | Hsur Wiederaustritt eines unterirdischen Bachlaufes |
| 12501004 | Hsur Versickerungsstelle eines Baches | Hsur Versickerungsstelle eines Baches |
| 12501005 | Hsur Steilstufe in Bachrinne, Wasserfall | Hsur Steilstufe in Bachrinne, Wasserfall |
| 12501006 | Hsur Grundwasseraufstoss | Hsur Grundwasseraufstoss |

status *Zustand der Objektart.*

flow_con *Wasserfluss Bedingungen.*

| GeolCode | Deutsch | Français |
|----------|----------------|----------------|
| 12503001 | perennierend | perennierend |
| 12503002 | temporär | temporär |
| 12503003 | versiegt | versiegt |
| 999997 | Unknown | Unknown |
| 999998 | Not applicable | Not applicable |

type Charakteristik der Objektart

| GeolCode | Deutsch | Français |
|----------|----------------|----------------|
| 12504001 | Karstquelle | Karstquelle |
| 12504002 | Mineralquelle | Mineralquelle |
| 12504003 | Thermalquelle | Thermalquelle |
| 999997 | Unknown | Unknown |
| 999998 | Not applicable | Not applicable |

dis_loca Ort des Wasserausflusses.

| GeolCode | Deutsch | Français |
|----------|----------------|----------------|
| 12505002 | in Stollen | in Stollen |
| 999997 | Unknown | Unknown |
| 999998 | Not applicable | Not applicable |

combi Objektart einer anderen Klasse, die mit der Objektart in Kombination vorkommen kann

| GeolCode | Deutsch | Français |
|----------|---------------------------------|---------------------------------|
| 12506002 | mit unterirdischem Gewässerlauf | mit unterirdischem Gewässerlauf |
| 12506001 | mit Wasserfassungsstollen | mit Wasserfassungsstollen |
| 999997 | Unknown | Unknown |
| 999998 | Not applicable | Not applicable |

temp Mittlere Wassertemperatur (°C).

chemistry Charakteristisches chemisches Element im Mineralwasser (z.B. Fe).

azimuth Richtung (Azimut) der jeweiligen Punktobjektart. Wert in Grad (0° 359°) im Uhrzeigersinn gemessen.

Class Surface_Water_L

In der Klasse Surface_Water_L sind linienförmige Oberflächengewässer (Quellhorizonte) beschrieben.

| Name | Type | Description |
|-------------|------------------|-------------|
| kind [1] | subtype 12601 | Objektart |

kind *Objektart*

| GeolCode | Deutsch | Français |
|----------|--------------------|--------------------|
| 12601001 | Hsur Quellhorizont | Hsur Quellhorizont |
| 12601002 | Hsur Bachlauf | Hsur Bachlauf |

Class Surface_Water_PLG

Die Klasse Surface_Water_PLG beinhaltet oberflächliche Wasserspeicher wie Gletscher, Seen und Flüsse, welche geologische Einheiten bedecken und oftmals eine Interpretation der darunter- liegenden Geologie verunmöglichen. Das vollständige Gewässernetz ist nicht Teil des Daten- modells Geologie

| Name | Type | Description |
|-------------|------------------|-------------|
| kind [1] | subtype 12701 | Objektart |

kind *Objektart*

| GeolCode | Deutsch | Français |
|----------|----------------|----------------|
| 12701001 | Hsur Gletscher | Hsur Gletscher |
| 12701002 | Hsur See | Hsur See |
| 12701003 | Hsur Fluss | Hsur Fluss |

Theme META_DATA

Class Mapsheet

Die Klasse Mapsheet ist eine geometrieloze Klasse. Sie beinhaltet alle Metadaten zur Objektart (Kartengrundlage). Neben der Kartenart sind Angaben wie der Titel, Massstab, Autor, Datenherr, Publikationsjahr und über die öffentliche Verfügbarkeit der Karte grundlegend. Verfügt die Karte (wie z.B. die Karten der Landesgeologie) über eine Kartennummer, kann dies bei «Map_Nbr» angegeben werden, während bei

«Mapping_Period» die Zeitspanne der Datenaufnahme (Kartierung) erfasst wird. Das Attribut «Basis_Topo» beschreibt die topographische Grundlage und «Basis_Vect» den Vektordatensatz.

| Name | Type | Description |
|------------|---------|---|
| kind | subtype | Objektart |
| [1] | 15410 | |
| map_title | string | Originaltitel (Kartentitel) der Objektart. |
| [1] | | |
| map_nbr | integer | Originalnummer (Kartennummer) der Objektart. |
| [0..1] | | |
| map_scale | string | Massstab der Objektart (Kartenmassstab). |
| [1] | | |
| basis_topo | | Angabe zur topographischen Grundlage der Objektart. |

Wird vor allem bei Karten der Landesgeologie angegeben.

[0..1] | | author | string | Autor oder Autoren der Objektart. [1..*] | | owner | string | Angabe zum Datenherr / zu den Datenherren der Objektart. [1..*] | | map_period | string | Angabe zum Kartierzeitraum der Objektart. [0..1] | | publ_year | integer | Publikationsjahr der Objektart. [1] | | basis_vect | string | Grundlage Vektordatensatz. [0..1] | | restriction | boolean | Angabe darüber, ob die Objektart öffentlich verfügbar ist (ja) oder einer Beschränkung (nein) unterliegt [1] | |

kind *Objektart*

| GeolCode | Deutsch | Français |
|----------|---------|----------|
|----------|---------|----------|

map_title *Originaltitel (Kartentitel) der Objektart.*

map_nbr *Originalnummer (Kartennummer) der Objektart.*

map_scale *Massstab der Objektart (Kartenmassstab).*

basis_topo *Angabe zur topographischen Grundlage der Objektart. Wird vor allem bei Karten der Landesgeologie angegeben.*

author *Autor oder Autoren der Objektart.*

owner *Angabe zum Datenherr / zu den Datenherren der Objektart.*

map_period *Angabe zum Kartierzeitraum der Objektart.*

publ_year *Publikationsjahr der Objektart.*

basis_vect *Grundlage Vektordatensatz.*

restriction *Angabe darüber, ob die Objektart öffentlich verfügbar ist (ja) oder einer Beschränkung (nein) unterliegt*